



ESCUELA TECNICA SUPERIOR DE INGENIEROS AERONAUTICOS

INFLUENCIA DE LAS CORRIENTES
NO HOMOENTROPICAS EN EL DISEÑO DE
TURBINAS DE GAS

José J. Salvá Monfort

UNIVERSIDAD POLITECNICA DE MADRID

Febrero 1973

Turbina axial
Turbinas

UNIVERSIDAD POLITECNICA DE MADRID	
E. T. S. I. AERONAUTICOS	
BIBLIOTECA	
FECHA ENTRADA	
Nº DOCUMENTO	48079
Nº EJEMPLAR	18082
SIGNATURA (043)	SAL. INF.
8.20.28	2

Antes de entrar en el tema objeto de este trabajo, queremos manifestar nuestro sincero agradecimiento a las personas que han contribuido con su ayuda a que esta Tesis se ha ya realizado.

En primer lugar a D. Carlos Sánchez Tarra, Catedrático del grupo XIX: "Propulsión por reacción Aerea y Espacial" de la Escuela y Director de esta Tesis, cuyas sugerencias y consejos durante el desarrollo de la misma han sido de gran valor.

En segundo lugar al Sr. Sánchez Gómez por su competente labor en la fase de delineación y finalmente a la Srta. Raquel Pérez y Sr. Sánchez Vallez por su apoyo prestado en el mecanografiado del original e impresión de esta Tesis.

Madrid, febrero de 1.973

José Salvá Monfort

INDICE

- CAPITULO 0 - INTRODUCCION GENERAL**
- CAPITULO 1 - ESTUDIOS AERODINAMICOS**
- 1-1 - Determinación de las variables fluidas en un escalon. hipótesis y discusión.
 - 1-2 - Estudio aerodinámico del estator.
 - 1-3 - Estudio aerodinámico del rotor.
- CAPITULO 2 - DETERMINACION DE LAS VARIABLES FLUIDAS CUANDO LAS DESVIACIONES RADIALES SON PEQUENAS.**
- 2-1 - Introducción.
 - 2-2 - Determinación de las variables fluidas y ángulos de la corriente en el estator.
 - 2-3 - Determinación de las variables fluidas en el rotor.
 - 2-4 - Expresiones adimensionales.
 - 2-5 - Influencia de la no homoentropía de la corriente.
- CAPITULO 3 - ESTUDIOS TERMOMECAVICOS**
- 3-1 - Introducción.
 - 3-2 - Distribución de temperaturas en el álabe.
 - 3-3 - Determinación de la temperatura de recuperación.
 - 3-4 - Ley de areas y distribución de esfuerzos.
 - 3-5 - Solución analítica de la distribución de temperaturas.
 - 3-6 - influencia de la no homoentropía de la corriente en la distribución de temperatura en el álabe.

CAPITULO 4 - SOLUCION NUMERICA

4-1 - Introducción.

4-2 - Planteamiento de las ecuaciones que resuelven el problema en el estator.

4-3 - Método de calculo y discusión de resultados.

4-4 - Planteamiento de las ecuaciones que resuelven el problema en el rotor.

4-5 - Método de calculo y discusión de resultados.

4-6 - Problema de actuaciones.

4-7 - Juicio crítico de la hipótesis de desviaciones radiales y solución analítica aproximada.

CONCLUSIONES:

APENDICE A ECUACIONES GENERALES APLICADAS A TURBOMAQUINAS

A-1 Ecuación del impulso.

A-2 Ecuación de continuidad.

A-3 Ecuación de la energía.

APENDICE B PROGRAMAS FORTRAN

LISTA DE REFERENCIAS

NOMENCLATURA

- v = velocidad absoluta de la corriente.
- w = velocidad relativa de la corriente.
- t = Tiempo.
- ρ = Densidad del gas.
- T = Temperatura absoluta del gas.
- p = Presión del gas.
- h = Entalpia por unidad de masa.
- S = Entropia.
- u = velocidad de arrastre del rotor.
- ω = Velocidad angular del rotor.
- ζ = Trabajo específico.
- c_p = Calor específico a presión constante.
- r_c = Radio de curvatura.
- φ = Angulo de la velocidad meridional con el eje .
- a = velocidad local del sonido.
- M = Número de Mach.
- α = Angulo de la velocidad absoluta con el eje.
- α_R = Angulo de la velocidad relativa con el eje.
- γ = Relación de calores específicos (en el apendice tiene el mismo significado que γ).
- γ' = Relación de calores específicos (para el apéndice).
- T_r = Temperatura de recuperación del gas.
- T_a = Temperatura del álabe.
- t_r = Temperatura de remanso de la corriente relativa en la sección 2.
- Λ = Perímetro del perfil del álabe.
- h_g = Coeficiente de convección.
- A = Area de una sección del álabe.

k_m = Coeficiente de conducción del álabe.

c = Cuerda.

h = altura del álabe.

k_g = Coeficiente de conducción del gas.

Nu = número de nusselt.

f_M = densidad del álabe.

σ = esfuerzo centrífugo.

C_1 = distancia axial entre secciones 1 y 2.

C_2 = distancia axial entre las secciones 2 y 3.

G = gasto másico.

T_{ev} = tensor de esfuerzos de viscosidad.

r, θ, z = Coordenadas cilíndricas

$\xi = r/r_{e1}$

$\theta_a = T_a/T_{tm}$

$\theta_r = T_a/T_{tm}$

Subíndices:

r, θ, z = Componentes en dirección radial, tangencial y axial.

m = Componente en dirección meridional (en el capítulo 2 y 3, significa condiciones en el punto medio).

1, 2, 3 = variables referidas a la sección 1, 2 ó 3.

e = extremo del álabe.

i = raíz del álabe.

t = Condiciones de remanso.

s = designa evolución isentropica.

m = Punto medio.

INFLUENCIA DE LAS CORRIENTES NO HOMOENTROPICAS EN EL DISEÑO DE TURBINAS DE GAS

INTRODUCCION GENERAL

El tema de investigación con aplicación inmediata al diseño de álabes de turbina, que se estudia en esta Tesis, se basa en el estudio de la corriente aerodinámica que fluye alrededor de los álabes cuando la distribución de temperatura con el radio no es uniforme.

Esta variación de temperatura, es un problema que se presenta con gran frecuencia en la práctica por diferentes razones; Es un hecho conocido que los álabes móviles de la turbina trabajan sometidos a fuertes esfuerzos centrífugos, de flexión y además a fenómenos vibratorios, encontrándose también en condiciones de elevada temperatura. Es por tanto condición fundamental de diseño que no se alcance los límites de deformación ó rotura por termofluencia durante la vida que se fija para los mismos (superiores a 10.000 horas en la mayoría de las aplicaciones).

Los esfuerzos, tanto los centrífugos como los de flexión, son máximos en la raíz del álabe ó en la proximidad de la misma; siendo por tanto ventajoso que las temperaturas en el álabe disminuyan desde el extremo hacia la raíz. Debido a que el disco de la turbina es un sumidero de calor, por estar intensamente refrigerado y por ser elemento de conducción de calor al circuito de lubricación y al resto del motor; tanto en álabes macizos sin refrigeración, como en álabes refrigerados, esta distribución de temperaturas en el interior de los mismos se dá en la práctica. No obstante este efecto puede reforzarse muy notablemente consiguiendo que la corriente de gases, que llega a la turbina procedente de la cámara de combustión, --

presente una variación radial de temperatura decreciente - desde el extremo a la raíz del álabe. Este efecto puede conseguirse, con cierta facilidad, mediante un diseño adecuado de la cámara de combustión en la que se induce una mayor -- proporción de aire en la zona interior de la misma.

En la figura se presenta una distribución de este tipo, objetivo de diseño para una cámara de combustión anular del motor supersónico GE4 de la "General Eléctric" (1) que muestra los resultados obtenidos.

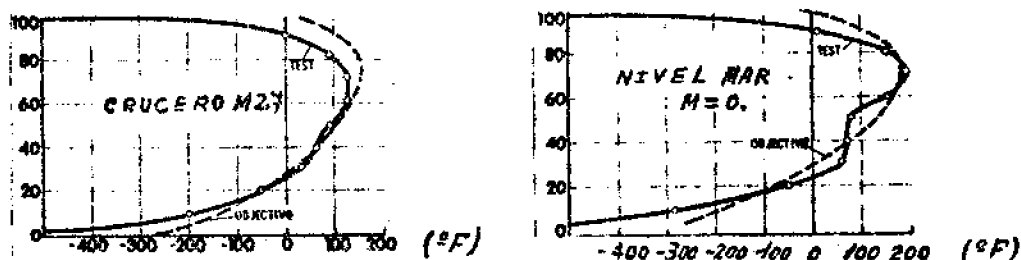


Fig.-1.

Distribución de temperatura radial con respecto a la media.

La segunda razón por la que puede presentarse este fenómeno de no homocentropía de la corriente, es que en una cámara de combustión diseñada para conseguir una distribución de temperaturas, por modificaciones en el sistema de inyección ó - en los ajustes de los tubos de llamas, puede aparecer fortuitamente una distribución no uniforme, que con frecuencia se detecta en las pruebas de distribución de temperaturas que se efectúan en los Motores de Reacción insertando un gran número de termopares en las toberas de salida; por lo que resulta de gran interés prever la influencia y alcance de tal modificación de las condiciones de funcionamiento, sobre las "performances" de la turbina.

Por lo tanto además del efecto termomecánico que produce la no uniformidad de la temperatura, existe otro fenómeno, muy poco estudiado, que consiste en la influencia -- que esta distribución de temperaturas produce en el campo de velocidades de la corriente y en consecuencia en los ángulos de entrada y salida en los anillos de álabes; lo que se traduce en una inmediata variación de las condiciones de funcionamiento de los mismos, criterios de diseño y muy en particular sobre el trabajo máximo y rendimiento que -- puede obtenerse.

Como se verá, durante la exposición y conclusiones -- de esta Tesis, ambos efectos termomecánicos y aerodinámicos pueden ser de considerable importancia.

Es muy escasa la literatura que existe sobre el tema. Sanchez Tarifa y Bollain (2), presentáron un trabajo en el congreso de F.I.S.I.T.A. en 1.964, en el que estudiaron solamente una parte del primer aspecto del problema. Existen otros estudios con distribución radial de temperatura especialmente en relación con refrigeración de álabes (2) y (3), pero estos estudios estan siempre referidos al caso de corriente homocéntrica y no conocemos ningun trabajo publicado sobre el tema objeto de la Tesis, salvo el indicado en -- la referencia (2). Esta escasez de literatura acontece porque, como en todo problema relacionado directamente con el diseño de compresores y turbinas de aviación, los trabajos de investigación son de naturaleza clasificada.

* El estudio del movimiento tridimensional no estacionario que tiene lugar en el interior de las turbomáquinas es



en extremo complicado. El establecimiento de la hipótesis de simetría axial basado en suponer que cada anillo de álabes está formado por infinito número de álabes, infinitamente delgados, simplifica razonablemente el problema que queda reducido de esta forma a un problema bidimensional (5), (6) (7) y (27). Con esto se estudia el movimiento sobre un plano meridional sobre el que se proyecta la superficie de corriente media representativa del movimiento entre álabes, lo que constituye el "método de las líneas de corriente" -- (6) y (7).

La determinación del campo de velocidades alrededor del perfil se realiza, suponiendo que la superficies de corriente son aximétricas, ya sea mediante métodos teóricos como los de Stanitz (9) y Wu y Braun (10) ó mediante métodos experimentales realizados con cascadas de álabes como los de Ainley (11) ó Dunavant y Erwin (12).

En el primer capítulo de esta Tesis, se estudia el aspecto aerodinámico del problema siguiendo el "método de las líneas de corriente.", pero de modo que la no homocentropía de la corriente queda incluida en los términos de la ecuación del impulso de una forma explícita y directamente tratable (8). Se discuten además las hipótesis planteadas con especial mención sobre la forma en la que debe utilizarse la hipótesis de simetría axial, y finalmente se establece la formulación adecuada para la determinación de las variables fluidas en un escalón.

En el segundo capítulo considerándose que las desviaciones

radiales son pequeñas se desprecian los términos en velocidades radiales y sus derivadas (2) y (5), pudiéndose entonces deducir el efecto cualitativo de una distribución de temperaturas no uniforme.

La integración de la componente radial de la ecuación de equilibrio proporciona expresiones generales que determinan la distribución de velocidades con el radio, y con éllo la del resto de variables fluidas, para varias leyes torsionales elegidas y cualquiera que sea el perfil de temperaturas.

Para poner de manifiesto el efecto cuantitativo, que ocasiona la no homocentropía de la corriente, se ha hecho aplicación al caso de distribución lineal de temperatura con el radio, por ser el más interesante en aplicaciones prácticas; así como para el caso de distribución uniforme a fin de comparárlas. Todo esto para varios valores de los parámetros geométricos y funcionales, característicos de la turbina, dentro del margen usual de variación de los mismos (5), (8), (13), (14) y (15). Se presentan en unos gráficos los resultados más representativos, obtenidos para los ángulos absolutos y relativos de la corriente, velocidades y números de Mach; Así como el importante efecto de reducción de la posible zona de diseño, que tiene lugar en el caso no homocentrópico, y que se pone claramente de manifiesto en el diagrama: coeficiente de carga - coeficiente de flujo.

El efecto termomecánico es estudiado a continuación en

el capítulo 3. Partiendo de la ecuación de transmisión de calor unidimensional y en régimen estacionario se plantea el problema con la inclusión de varios parámetros característicos de este fenómeno (16) que generalizan su posible aplicación. Son estudiados igualmente varias, distribuciones radiales de áreas de los perfiles y su influencia en la distribución de esfuerzos (5). Finalmente se determina la distribución de temperatura en el interior del álabe para corriente homocentrópica y no homocentrópica, con la misma distribución de áreas y el supuesto lógico de idéntica evacuación de calor a través del disco para que los resultados sean comparables.

A fin de comprobar la aproximación obtenida al desprender las desviaciones radiales se resuelve el problema aerodinámico de determinación del campo fluido, mediante cálculo numérico, realizado con la IBM-7090 del C.C.U.M. lo que se expone en el capítulo 4^o (25), (26).

Las ecuaciones básicas las constituyen la ecuación del impulso y la ecuación de continuidad. En principio se formuló el problema para un canal determinado y una ley torsional dada; las líneas de corriente se aproximan mediante una línea polinómica de tercer grado (5), (7), (17) y (18); La formulación de la ecuación de continuidad en forma integral plantea por consiguiente un sistema integrodiferencial con condiciones de contorno, para cuya solución se estima la posición inicial de las líneas de corriente según sugiere Novak (7) y Jansen (19). Con este

procedimiento iterativo no se logró encontrar la solución a causa de la falta de convergencia del mismo, a pesar de la técnica de relajación utilizada (5). Por todo esto se estimó mas conveniente y lógico utilizar la ecuación de continuidad en forma diferencia y resolver simultaneamente el sistema de ecuaciones diferenciales, con condiciones de contorno, con la técnica de integración de Kutta-Runge y el criterio de convergencia de Newton-Raphson (20), (21) y (22). Este método de solución, resulta muy satisfactorio y creemos es el más indicado cuando se especifican las condiciones iniciales (es decir en el problema básico de diseño) en lugar de la forma del canal, más propio del problema de actuaciones en el que deben ser datos además los ángulos de entrada y salida de los álabes y no la ley torsional. A continuación se estudia la estabilidad del método (22), encontrándose intervalos de condiciones iniciales para las cuales el Mach meridional se hace igual a la unidad y aparece una singularidad.

Se plantea además el problema directo o de actuaciones ya mencionado que proporciona la influencia sobre las "performances" (11), (23) y (24) de la turbina, cuando diseñada para una distribución uniforme de temperaturas, se la hace funcionar con una distribución lineal.

Los resultados se presentan en curvas en las que se comparan las soluciones obtenidas con las ecuaciones completas y las soluciones obtenidas despreciando las desviaciones radiales; así como tambien las solución del problema directo ó de actuaciones.

Finalmente se critica la validez de la hipótesis de las desviaciones radiales pequeñas y se intenta encontrar una solución analítica aproximada. Linealizando las ecuaciones, alrededor de la solución arriba mencionada (20), se ha conseguido integrar el sistema de ecuaciones diferenciales para el estator, (en el caso de ley torsional torbellino libre y distribución de temperatura uniforme,) habiendo obtenido resultados muy satisfactorios y esperanzadores para posibles trabajos futuros.

CAPITULO I
ESTUDIOS AERODINAMICOS

1-1 DETERMINACION DE LAS VARIABLES FLUIDAS EN UN ESCALON

HIPOTESIS Y DISCUSION.

Entendemos por escalón de una turbina (vease figura 1-1), el conjunto formado por un anillo de álabes fijos (estator) y un anillo de álabes giratorios (rotor), donde se extrae energía del fluido en forma de trabajo mecánico, en general las turbinas pueden estar constituidas por uno ó varios escalones. El objeto del presente capítulo es plantear las hipótesis en las que fundamentamos nuestro estudio adecuadamente justificadas; desarrollar las ecuaciones expuestas en el apéndice y finalmente establecerlas en la forma en que serán utilizadas -- posteriormente para la determinación de las variables fluidas en secciones entre anillos de álabes, poniendo de manifiesto y en forma explícita y directamente tratable el efecto de no homocentropía.

Dichas secciones características son las situadas entre estator y rotor (sección 2) y la situada entre rotor y estator siguiente (sección 3); se suponen conocidas las variables a la entrada (sección 1).

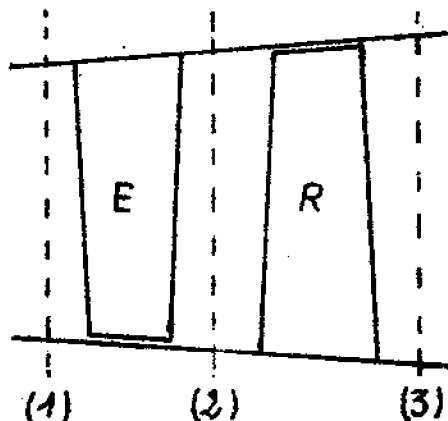


Fig. (1-1)

El método puede aplicarse sucesivamente al resto de escalones, es por esto que aquí nos limitaremos a estudiar un solo escalón y más concretamente el primer escalón, dividiendo este estudio en dos partes que denominaremos: estudio del estator, que establece las ecuaciones conducentes a la determinación de las variables fluidas en la sección situada detrás del mismo (sección 2); y estudio del rotor que formula igualmente las ecuaciones necesarias para la determinación de las variables fluidas en la sección situada detrás de este anillo (sección 3).

Las hipótesis que estableceremos a continuación son las utilizadas normalmente en la aerodinámica de máquinas rotatorias, pero teniendo en cuenta la condición de no homocinética del movimiento, es decir:

- a) Fluido ideal
- b) Gas perfecto
- c) Simetría axial y condiciones estacionarias
- d) Flujo no homocinético
- e) Alabes radiales ó casi radiales
- f) Trabajo específico en el rotor constante para cada línea de corriente.

El estudio aerodinámico y dimensionado de las máquinas rotatorias, se realiza en primera aproximación suponiendo que el fluido que evoluciona se comporte como fluido ideal, lo cual se admite teniendo en cuenta que el número de Reynolds de la corriente referido a la cuerda del álabe es normalmente superior a 10^5 , por lo que las fuerzas de viscosidad tienen poca importancia, en el núcleo de la corriente, y son peque--

ñas comparadas con las fuerzas de inercia.

La influencia de la viscosidad de la que depende esencialmente las pérdidas de presión y también en compresores la deflexión máxima que puede darse a la corriente, se introduce mediante datos experimentales obtenidos en ensayos con cascadas de álabes pudiéndose entonces efectuar además las correcciones oportunas sobre las variables fluidas y ángulos de la corriente. Esto justifica por otra parte la hipótesis establecida de fluido ideal que implica que el flujo es isentrópico a lo largo de cada línea de corriente; - pero la constante de entropía es distinta para cada una de ellas según se establece mediante la hipótesis (d).

Incluso en el funcionamiento estacionario de la turbina un observador, situado en la sección 2 y ligado a ejes absolutos vería pasar sucesivamente álabes y espacios entre álabes, con las consiguientes perturbaciones introducidas, dado que el movimiento es subsónico, lo que se traduce en variaciones locales de las variables fluidas con respecto al tiempo. Igualmente el observador situado en el rotor y girando con él observaría sucesivamente estelas y zonas de corrientes sin estela de cierta uniformidad, lo que indica que las variables relativas a la entrada del rotor varían con él tiempo. En consecuencia el flujo como es sabido no es estacionario y el problema planteado en esta forma resulta extraordinariamente complejo incluso en el caso más simple.

Nuestro trabajo va dirigido a estudiar la influencia de la corriente no homoentrópica y a fin de aislar efectos podemos establecer la hipótesis de movimiento estacionario, que

resulta por otra parte (cuando se considera turbina en funcionamiento estacionario) consecuencia de la hipótesis de simetría axial y puede formalizarse admitiendo la existencia de infinito número de álabes infinitamente delgados. No obstante el establecimiento de la hipótesis de la simetría axial requiere un análisis físico más profundo del problema, para obtener conclusiones que permitan aplicar dicha hipótesis correctamente, puesto que en principio no parece justificada.

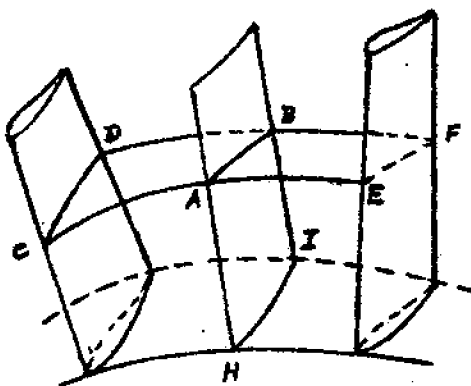


Fig. 1-2

La simetría axial exige que las variaciones de las variables fluidas y termodinámicas sean nulas en sentido tangencial.

Esto exige, ecuación (A-14b) que : $\frac{\partial r V_{\theta}}{\partial m} = \frac{\partial V_m}{\partial \theta} = 0$

lo que significa que se conserva el momento cinético sobre cada línea de corriente y en consecuencia ó bien no se realiza trabajo alguno en el rotor ó bien no existe deflexión de la corriente en el estator; todo lo cual está lejos de la realidad.

Igualmente resulta contradictorio suponer cuando, es sabido, se produce una depresión sobre el extradós del perfil de álabe; mientras se crea una depresión en el intradós (causas de la fuerza resultante sobre el álabe).

Finalmente, es un hecho, que las superficies de corriente CAEPBD (fig. 1-2) no son cilíndricas sino que se alabean. El conjunto de partículas fluidas que inicialmente está sobre una línea circunferencial tal como CAE no sufre en desplazamiento paralelo así mismo sino que se distorsiona; puesto que C tiene un desplazamiento radial positivo mientras que E tiene un desplazamiento radial negativo. Esto está también en desacuerdo con la suposición $\frac{\partial \psi}{\partial \theta} = 0$

Sin embargo todas estas contradicciones pueden ser soslayadas si limitamos la validez de la hipótesis de simetría axial a secciones entre anillos de álabes (sin situarnos -- dentro del espacio comprendido entre álabes). Sólo así puede tener sentido tal hipótesis y así será interpretada de ahora en adelante, teniendo en cuenta además que los valores que en tal sección tomen las variables fluidas son valores medios tomados circunferencialmente.

La hipótesis (f) que considera que el trabajo específico comunicado en el rotor es constante para cada línea de corriente, no modifica en absoluto el aspecto físico del problema; simplemente especifica una condición de diseño que se utiliza con gran frecuencia en la práctica.

Finalmente es interesante hacer constar que se aplican las ecuaciones del movimiento laminar, cuando sin embargo el movimiento es claramente turbulento; no obstante debe tenerse

presente que el coeficiente de intensidad de turbulencia ξ alcanza valores $\xi \simeq 4 \times 10^{-2}$ mientras que la longitud característica es del orden de la cuerda, en el núcleo de la corriente (donde son despreciables los efectos de viscosidad), de lo que se deduce que los términos de turbulencia son despreciables frente a los términos del movimiento medio. En cambio deben ser considerados en la capa límite donde la longitud característica es del orden del espesor de la misma.

1-2.- ESTUDIO AERODINAMICO DEL ESTATOR

La componente radial de la ecuación del impulso (desarrollada en el apéndice), al ser particularizada para las variables fluidas en la sección 2, puede escribirse:

$$\frac{1}{2} \frac{\partial V_{m2}^2}{\partial r_2} + \left[\frac{\cos \psi}{r_c} - \frac{\sin \psi}{V_m} \frac{\partial V_m}{\partial m} \right]_2 V_{m2} + \frac{V_{\theta 2}}{r_2} \left(\frac{\partial r V_{\theta}}{\partial r} \right)_2 = \left[\frac{\partial H_t}{\partial r} - T \frac{\partial S}{\partial r} \right]_2 \quad 1-1$$

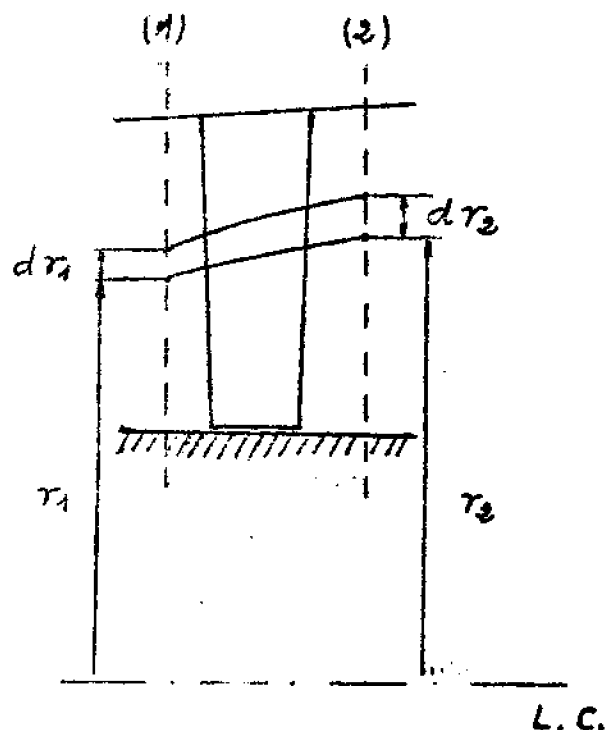


Fig. 1-2

El flujo se considera isentrópico según cada línea de corriente e isentálpico (ecuación A-31); en consecuencia teniendo en cuenta además la hipótesis de simetría axial, resulta (Vease Fig.1-2)

$$a) \left[\frac{\partial H_t}{\partial r} \right]_1 dr_1 = \left[\frac{\partial H_t}{\partial r} \right]_2 dr_2$$

$$b) T_2 \left[\frac{\partial S}{\partial r} \right]_1 = T_2 \left[\frac{\partial S}{\partial r} \right]_2 dr_2 \quad (1-2)$$

es decir:

$$\left[\frac{\partial H_t}{\partial r} - T \frac{\partial S}{\partial r} \right]_2 = \left[\frac{\partial H_t}{\partial r} \right]_1 \frac{dr_1}{dr_2} - T_2 \left[\frac{\partial S}{\partial r} \right]_1 \frac{dr_1}{dr_2} \quad (1-3)$$

Por otra parte sabemos que:

$$T_1 \left[\frac{\partial S}{\partial r} \right]_1 = \left[\frac{\partial H_t}{\partial r} \right]_1 - \left[\frac{1}{\rho} \frac{\partial p}{\partial r} \right]_1 - \left[\frac{\partial \frac{1}{2} V^2}{\partial r} \right]_1 \quad (1-4)$$

Aquí resulta necesario introducir una nueva hipótesis, para simplificar las ecuaciones, que consiste en suponer que la corriente es uniforme en presión y velocidad a la salida de la cámara de combustión, es decir en la sección de entrada de la turbina ó sección 1; lo cual puede admitirse si se tiene en cuenta que las variaciones de presión y velocidad en dicha sección son pequeñas comparadas con las variaciones de temperatura. En consecuencia resulta:

$$\left[\frac{\partial S}{\partial r} \right]_1 = \frac{1}{T_1} \left[\frac{\partial H_t}{\partial r} \right]_1 \quad (1-4)$$

De lo que se deduce que la no homocentropía de la corriente, en la sección de entrada se debe a la variación de temperatura con el radio.

La ecuación de la energía, por otra parte proporciona:

$$T_2 = \frac{H_{t1}}{c_p} - \frac{1}{2c_p} (V_{m2}^2 + V_{\theta 2}^2) = T_1 + \frac{1}{2c_p} (V_1^2 - V_{m2}^2 - V_{\theta 2}^2) \quad (1-5)$$

En consecuencia mediante las ecuaciones (1-4) y (1-5), y después de sencillas reducciones la ecuación (1-3) queda así:

$$\left[\frac{\partial H_t}{\partial r} - \frac{T}{\partial r} \frac{\partial S}{\partial r} \right]_2 = - \frac{V_1^2 + V_{m2}^2 + V_{\theta 2}^2}{2T_1} \left[\frac{\partial T_t}{\partial r} \right]_1 \frac{dr_1}{dr_2} \quad (1-6)$$

En consecuencia el segundo miembro de la ecuación del impulso se anula cuando la corriente es homoentrópica, ó lo que es -- equivalente cuando el perfil de temperaturas en la sección de entrada es uniforme; representa por tanto la influencia de una distribución no uniforme de temperaturas.

Este término puede evaluarse siempre que se conozca $T_1(r)$ dado que $\frac{dT_t}{dr} = \frac{dT_1}{dr}$. No obstante es más práctico y cómodo - utilizar como dato de partida $T_t(r)$ y puesto que el número de Mach de la corriente en la sección de entrada (sección 1) es - pequeño, normalmente menor que 0.3, puede realizarse en estos casos la aproximación $T_t \cong T_1$ en la ecuación (1-6), sin pérdida alguna de rigor físico y errores muy pequeños en los cálculos obtenidos.

En definitiva después de (1-6) la ecuación (1-1) queda reducida a la siguiente ecuación diferencial

$$\left(\frac{\partial V_m^2}{\partial r} \right)_2 + P(r) V_m^2 = T(r) \quad (1-7)$$

con

$$P(r) = 2 \left[\frac{\cos \varphi}{rc} - \frac{\sin \varphi}{V_m} \frac{\partial V_m}{\partial m} - \frac{1}{2T_1} \left[\frac{\partial T}{\partial r} \right]_1 \frac{dr_1}{dr_2} \right]_2 \quad (1-8)$$

$$T(r) = 2 \left[\frac{V_{\theta 2}^2 - V_1^2}{2T_1} \left[\frac{\partial T}{\partial r} \right]_1 \frac{dr_1}{dr_2} - \frac{V_{\theta 2}}{r_2} \left(\frac{\partial r V_{\theta}}{\partial r} \right)_2 \right] \quad (1-9)$$

La ecuación diferencial (1-7), constituirá la base de partida para todos nuestros estudios y desarrollos posteriores, -- que determinan las variables fluidas después del estator, -- cualquiera que sea la ley torsional impuesta y el perfil de temperaturas a la salida de la cámara de combustión $T(r)$.

1-3.- ESTUDIO AERODINAMICO DEL ROTOR

Como en el caso del estator la componente radial de la ecuación del impulso aplicada a la sección 3 (fig. 1-3) proporciona

$$\begin{aligned} \frac{1}{2} \frac{\partial V_{m3}^2}{\partial r_3} + \left[\frac{\cos \varphi}{r_3} - \frac{\sin \varphi}{V_m} \frac{\partial V_m}{\partial m} \right]_3 V_{m3}^2 + \frac{V_{\theta 3}}{r_3} \left(\frac{\partial r V_{\theta}}{\partial r} \right)_3 &= (1-10) \\ &= \left[\frac{\partial H_t}{\partial r} - \frac{\tau}{\rho} \frac{\partial \rho}{\partial r} \right]_3 \end{aligned}$$

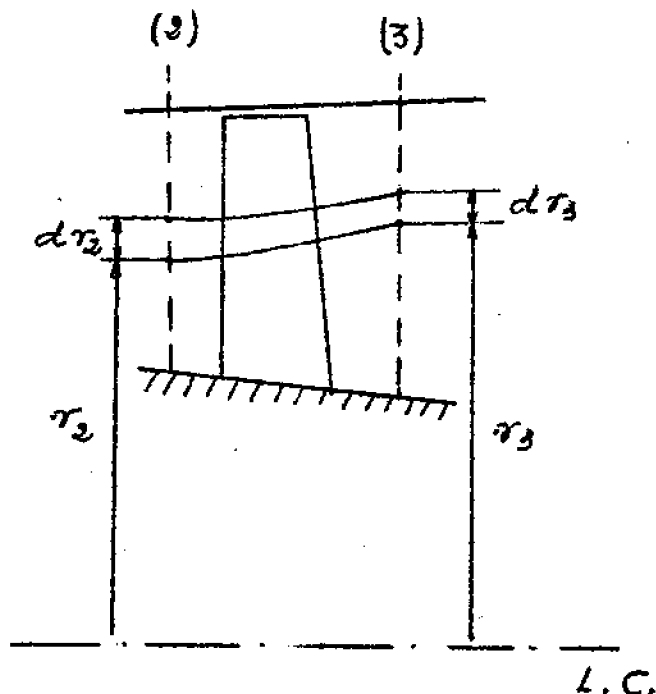


Fig. 1-3

La ecuación del momento cinético, con la hipótesis $\zeta = \text{cte.}$ para cada línea de corriente es:

$$\zeta = u_2 v_{\theta 2} - u_3 v_{\theta 3} \quad (1-11)$$

Esta ecuación relaciona $v_{\theta 3}$ con $v_{\theta 2}$ (para la misma línea de corriente), en consecuencia $v_{\theta 3}$ no es arbitraria, quedando determinada en cuanto se fije ζ y $v_{\theta 2}$.

Como consecuencia de lo anterior la ecuación de la energía (A-32) aplicada a una línea de corriente entre la entrada y salida del rotor (secciones 2 y 3) toma la forma:

$$h_{t3} + \zeta = h_{t2} = h_{t1}$$

En el rotor la entalpía no permanece constante a lo largo de una línea de corriente, pero el movimiento continua siendo isentrópico de acuerdo con las hipótesis establecidas. Como además $\frac{\partial \zeta}{\partial r} = 0$ se puede escribir:

$$\left[\frac{\partial h_t}{\partial r} \right]_3 dr_3 = \left[\frac{\partial h_t}{\partial r} \right]_1 dr_1 \quad (1-12)$$

$$T_3 \left[\frac{\partial s}{\partial r} \right]_3 dr_3 = T_3 \left[\frac{\partial s}{\partial r} \right]_1 dr_1$$

Es decir que en definitiva y de forma semejante a como ocurría en el estator.

$$\left[\frac{\partial h_t}{\partial r} - T \frac{\partial s}{\partial r} \right]_3 = \left[\frac{\partial h_t}{\partial r} \right]_1 \frac{dr_1}{dr_3} - T_3 \left[\frac{\partial s}{\partial r} \right]_1 \frac{dr_1}{dr_3} \quad (1-13)$$

De la ecuación de la energía, se obtiene:

$$T_3 = T_1 \left[\frac{\zeta}{c_p} + \frac{1}{2c_p} (V_1^2 - V_{m3}^2 - V_{\theta 3}^2) \right] \quad (1-14)$$

Con las ecuaciones (1-14) y (1-4), la ecuación (1-13) proporciona:

$$\left(\frac{\partial H_t}{\partial r} - T \frac{\partial S}{\partial r} \right)_3 = - \frac{V_1^2 - V_{m3}^2 - V_{\theta 3}^2 - 2\zeta}{2T_1} \left[\frac{\partial T_t}{\partial r} \right]_1 \frac{d\eta}{dr_3} \quad (1-15)$$

Este término de la ecuación del impulso representa por tanto el efecto de la no nemoentropía de la corriente en la distribución de velocidades detrás del rotor ó lo que es igual que una distribución no uniforme de temperaturas.

Finalmente de las ecuaciones (1-15) y (1-10), después de algunas operaciones obtenemos la siguiente ecuación diferencial.

$$\left(\frac{\partial V_m^2}{\partial r} \right)_3 + M(r) V_{m3}^2 = N(r) \quad (1-16)$$

con

$$M(r) = 2 \left[\frac{\cos \varphi}{rc} - \frac{\sin \varphi}{V_m} \frac{\partial V_m}{\partial m} - \frac{1}{2T_1} \left[\frac{\partial T}{\partial r} \right]_1 \frac{d\eta}{dr_3} \right]_3 \quad (1-17)$$

$$N(r) = 2 \left[\frac{V_{\theta 3}^2 + 2\zeta - V_1^2}{2T_1} \left(\frac{\partial T}{\partial r} \right)_1 \frac{d\eta}{dr_3} - \frac{V_{\theta 3}}{r_3} \left(\frac{\partial r V_{\theta}}{\partial r} \right)_3 \right] \quad (1-18)$$

La expresión diferencial (1-16) constituye la base de partida, para la determinación de las variables fluidas en el rotor, -- en todos los desarrollos posteriores.

CAPITULO II

DETERMINACION DE LAS VARIABLES FLUIDAS CUANDO LAS DESVIACIONES RADIALES SON PEQUEÑAS.

2-1 INTRODUCCION

En las máquinas rotatorias, tipo axial, las desviaciones radiales de la corriente a lo largo de las mismas son en muchos casos pequeñas; particularmente cuando la divergencia del canal por el que circula la corriente es así mismo pequeña. Como consecuencia cabe esperar que tanto las velocidades radiales como sus derivadas sean pequeñas.

Por otra parte en el supuesto de que $\frac{V_r}{V_z} \ll 1$ puede realizarse una serie de aproximaciones en las ecuaciones -- (1-7) y (1-16), de forma que quedan enormemente simplificadas, pudiendo obtenerse entonces expresiones integrales para la variación de las magnitudes fluidas con el radio, según sea la ley torsional elegida.

A continuación realizamos tales aproximaciones y exponemos detalladamente los desarrollos para las leyes torsionales de uso más frecuente, a saber: torbellino libre, rotación sólida y ángulo de salida constante.

2-2 DETERMINACION DE VARIABLES FLUIDAS Y ANGULOS DE LA CORRIENTE EN EL ESTATOR.

Las aproximaciones resultantes de las pequeñas velocidades radiales son las siguientes:

$$\left\{ \begin{array}{l} V_{m2}^2 \approx V_{z2}^2 \\ \left(\frac{\cos \varphi}{r_c} \right)_2 \approx 0 \\ (\sin \varphi)_2 \approx 0 \\ \frac{dr_1}{dr_2} \approx 1 \end{array} \right. \quad (2-1)$$

Con estas simplificaciones la ecuación (1-7) se reduce a:

$$\frac{\partial V_{z2}^2}{\partial r} - \frac{1}{T_{1t}} \left[\frac{\partial T_t}{\partial r} \right]_1 V_{z2}^2 = \frac{V_{\theta 2}^2 - V_1^2}{T_{1t}} \left[\frac{\partial T_t}{\partial r} \right]_1 - \frac{2V_{\theta 2}}{r} \frac{\partial (rV_{\theta 2})}{\partial r} \quad (2-2)$$

ó bien teniendo en cuenta que:

$$a) \quad V_2^2 = V_{z2}^2 + V_{\theta 2}^2$$

$$b) \quad \frac{V_{\theta 2}}{r} \frac{\partial (rV_{\theta 2})}{\partial r} = \frac{V_{\theta 2}^2}{r} + \frac{1}{2} \frac{\partial V_{\theta 2}^2}{\partial r} \quad (2-3)$$

puede escribirse también:

$$\frac{\partial V_2^2}{\partial r} - \frac{1}{T_{1t}} \left[\frac{\partial T_t}{\partial r} \right]_1 V_2^2 = - \frac{V_1^2}{T_{1t}} \left(\frac{\partial T_t}{\partial r} \right)_1 - \frac{2V_{\theta 2}^2}{r} \quad (2-4)$$

Puesto que lo que pretendemos es calcular las variaciones con el radio de las variables fluidas en la sección 2 (salida del estator) las ecuaciones diferenciales (2-2) y (2-4) pueden considerarse ecuaciones diferenciales ordinarias y así lo haremos a partir de este momento. Con cualquiera de estas ecuaciones puede determinarse la distribución de velocidades toda vez que ha sido fijada la ley torsional y la temperatura de entrada $T_{1t}(r)$.

Su integración se expone a continuación según cada caso tratado. No obstante indicamos previamente y de forma sucinta el método de cálculo de las restantes magnitudes fluidas y ángulos de la corriente.

De la ecuación de la energía (A-31), se obtiene la distribución de temperatura y a continuación el número de Mach de la corriente M_2 , mediante las relaciones:

$$T_2 = T_{1t} - \frac{V_2^2}{2C_p}$$

$$M_2 = \frac{V_2}{\sqrt{\gamma R T_2}}$$

Teniendo en cuenta las hipótesis de movimiento isentrópico según una línea de corriente y que el gas se comporta como gas perfecto puede escribirse igualmente:

$$\frac{P_2}{P_{1t}} = \frac{1}{\left(1 + \frac{\gamma-1}{2} M_2^2\right)^{\gamma/\gamma-1}}$$

$$\frac{P_2}{P_{1t}} = \frac{1}{\left(1 + \frac{\gamma-1}{2} M_2^2\right)^{1/\gamma-1}}$$

La ecuación global del gasto se emplea para la determinación del tamaño de la máquina en el problema de diseño ó bien es la que determina la constante que resulta de integrar las ecuaciones diferenciales (2-2) ó (2-4) en el problema de actuaciones.

En la figura (2-1) se presentan los triángulos de velocidades del escalon y se indica el criterio de signos adoptados para los ángulos y velocidades de la corriente, pudiendo deducirse fácilmente.

$$\alpha_2 = \arcsen \left(\frac{V_{\theta 2}}{V_2} \right)$$

$$\alpha_{2R} = \arctg \left(\frac{V_{\theta 2} - u}{V_{z 2}} \right)$$

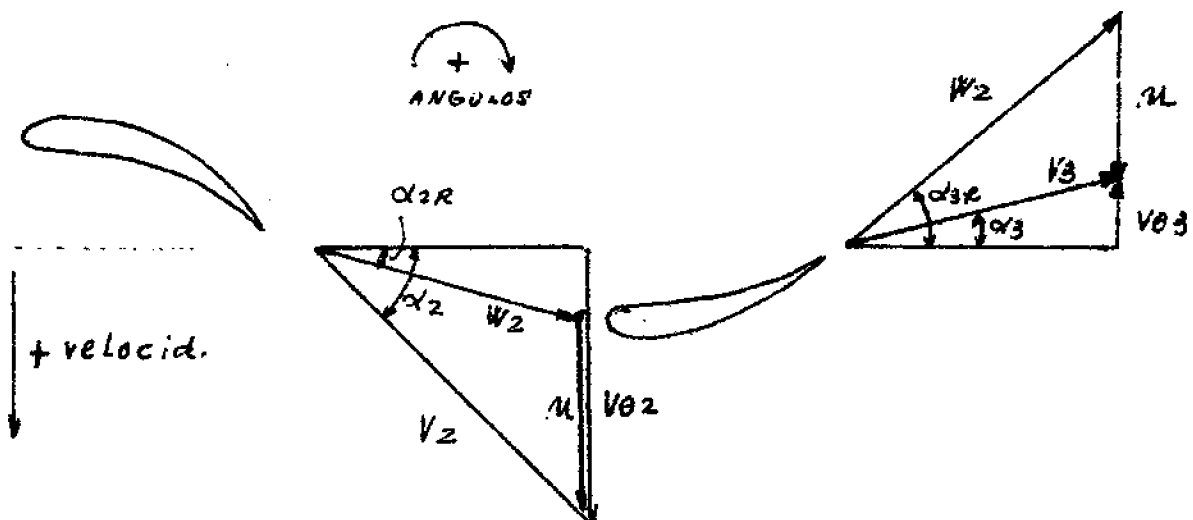


fig. 2-1

Resulta además interesante la determinación del número de Mach relativo M_{2R} , que puede obtenerse teniendo en cuenta las relaciones:

$$W_2 = \frac{V_{z2}}{|\cos \alpha_{2R}|}$$

$$V_{z2} = V_2 |\cos \alpha_2|$$

por lo que resulta:

$$M_{2R} = \left| \frac{\cos \alpha_2}{\cos \alpha_{2R}} \right| M_2$$

2-2-1 TORBELLINO LIBRE

La ley torsional conocida con el nombre de torbellino libre viene dada por la expresión:

$$V_{\theta 2} \cdot r = K = V_{\theta 2 m} \cdot r_m \quad (2-5)$$

En consecuencia la ecuación diferencial (2-2) queda reducida a:

$$\frac{dV_{z2}^2}{dr} - \frac{d(lT_{t2})}{dr} V_{z2}^2 = \frac{k^2/r^2 - V_1^2}{T_{t2}} \left(\frac{dT_t}{dr} \right)_1 \quad (2-6)$$

cuya expresión integral es:

$$V_{z2}^2 = e^{\int \frac{d(lT_t)}{dr} dr} \left[\int \frac{k^2/r^2 - V_1^2}{T_{t2}} \left(\frac{dT_t}{dr} \right)_1 e^{-\int \frac{d(lT_t)}{dr} dr} dr + Q \right] \quad (2-7)$$

Después de realizar las integraciones correspondientes y algunas simplificaciones queda:

$$V_{z2}^2 = T_{t2} \left[\frac{V_1^2}{T_{t1}} - \frac{V_{\theta 2}^2}{T_{t2}} - 2K^2 \int \frac{1}{T_{t2} r^3} dr + Q \right] \quad (2-8)$$

La constante de integración Q puede determinarse imponiendo - que esta ecuación se satisfaga en el punto medio, es decir haciendo

$$\left. \begin{aligned} V_{z2} &= V_{z2m} \\ T_{t2} &= T_{t2m} \end{aligned} \right\} r = r_m$$

De esta forma se deduce:

$$Q = \frac{1}{T_{itm}} (V_{2m}^2 - V_1^2) + 2k^2 \phi(r_m) \quad (2-9)$$

habiendo hecho:

$$\phi(r) = \int \frac{1}{T_{it} r^3} dr$$

sustituyendo el valor de Q dado por (2-6) en la ecuación -- (2-8) queda finalmente:

$$V_{z2}^2 = T_{it} \left[\frac{V_1^2 - V_{02}^2}{T_{it}} - 2k^2 \int_{r_m}^r \frac{1}{T_{it} r^3} dr + C \right] \quad (2-10)$$

donde C puede calcularse mediante la expresión:

$$C = \frac{1}{T_{itm}} (V_{2m}^2 - V_1^2) \quad (2-11)$$

La ecuación (2-10) permite por tanto la determinación de V_{z2} cualquiera que sea la distribución de $T_{it}(r)$.

Ahora bien teniendo en cuenta la relación (2-3a) se tiene por otra parte:

$$V_z^2 = V_1^2 - T_{it} \left[2k^2 \int_{r_m}^r \frac{1 dr}{T_{it} r^3} - C \right] \quad (2-10a)$$

2-2-2 ROTACION SOLIDA

La ley torsional conocida con el nombre de rotación sólida viene dada por la expresión:

$$v_{\theta 2} = K_1 \cdot r \quad (2-12)$$

llamada así porque el aire gira como si fuese un sólido rígido.

Introduciendo el valor de $v_{\theta 2}$ dado por la ley torsional definida en la ecuación diferencial (2-4) resulta:

$$\frac{dV_z^2}{dr} - \frac{d(lT_{it})}{dr} V_z^2 = - \left(\frac{V_1^2}{T_{it}} \frac{dT_{it}}{dr} + 2k_1^2 r \right) \quad (2-13)$$

cuya expresión integral es:

$$V_2^2 = e^{\int \frac{d(\rho T)}{dr} dr} \left[- \int \left(\frac{V_1^2}{T_1} \frac{dT}{dr} + 2k_1 r \right) e^{-\int \frac{d(\rho T)}{dr} dr} dr + Q_1 \right]$$

ó bien:

$$V_2^2 = T_1 \left[- \int \frac{V_1^2}{T_1^2} \frac{dT}{dr} dr - \int \frac{2k_1 r}{T_1} dr + Q_1 \right]$$

es decir:

$$V_2^2 = V_1^2 - T_1 \left[\int \frac{2k_1 r}{T_1} dr - Q_1 \right] \quad (2-14)$$

La determinación de la constante Q , se efectúa imponiendo la condición de que la ecuación anterior se satisfaga para los valores de las variables en el punto medio, es decir:

$$\left. \begin{aligned} V_2^2 &= V_{2m}^2 \\ T_1 &= T_{1m} \end{aligned} \right\} r = r_m$$

con lo que se obtiene:

$$Q_1 = \frac{1}{T_{1m}} (V_{2m}^2 - V_1^2) + 2k_1^2 \varphi(r_m) \quad (2-15)$$

habiendo hecho:

$$\varphi(r) = \int \frac{r}{T_1} dr$$

sustituyéndo el valor de Q , deducido en la ecuación (2-14) -- queda finalmente

$$V_2^2 = V_1^2 - T_1 \left[\int_{r_m}^r \frac{2k_1 r}{T_1} dr - C_1 \right] \quad (2-16)$$

estando determinada la constante C , con la expresión:

$$C_1 = \frac{1}{T_{1m}} (V_{2m}^2 - V_1^2) \quad (2-17)$$

Estas dos últimas expresiones permiten de nuevo el cálculo de $V_2(r)$ en la sección 2, cualquiera que sea el perfil de temperaturas $T_1(r)$.

2-2-3 ANGULO DE SALIDA CONSTANTE

Es frecuente en la práctica encontrarse con álabes de la directriz sin torsión, siendo la razón principal de tal diseño la facilidad de fabricación y en consecuencia la economía de coste.

Para tales álabes y en el supuesto de que las desviaciones de la corriente varíen poco de una sección del álabe a otra, se puede considerar con suficiente aproximación que el ángulo de la corriente a la salida α_2 es constante. Con este supuesto y procediendo en forma análoga a como se han estudiado los casos anteriores trataremos de obtener el campo de velocidades.

Tomaremos pues:

$$\operatorname{sen} \alpha_2 = \frac{V_{\theta 2}}{V_2} = \text{cte.} \quad (2-18)$$

Introduciendo en la ecuación diferencial (2-4) el valor de $V_{\theta 2}$ dado por la ley torsional definida, obtenemos:

$$\frac{dV_2^2}{dr} + \left(\frac{2 \operatorname{sen}^2 \alpha_2}{r} - \frac{d(lT/t)}{dr} \right) V_2^2 = - \frac{V_1^2}{T/t} \frac{dT/t}{dr} \quad (2-19)$$

ecuación que integrada proporciona:

$$V_2^2 = \frac{T/t}{r 2 \operatorname{sen}^2 \alpha_2} \left[\frac{r^{2 \operatorname{sen}^2 \alpha_2} V_1^2}{T/t} - 2 V_1^2 \operatorname{sen}^2 \alpha_2 \int \frac{r^{2 \operatorname{sen}^2 \alpha_2 - 1}}{T/t} dr + Q_2 \right] \quad (2-20)$$

El valor de la constante Q_2 , se determina procediendo de forma análoga a los casos anteriores obteniéndose:

$$Q_2 = \frac{1}{T/t_m} \left(V_{2m}^2 r_m^{2 \operatorname{sen}^2 \alpha_2} - V_{21}^2 r_m^{2 \operatorname{sen}^2 \alpha_2} \right) + 2 V_1^2 \operatorname{sen}^2 \alpha_2 \Psi(r_m) \quad (2-21)$$

siendo:

$$\Psi(r) = \int \frac{r^{2 \sin^2 \alpha_2 - 1}}{T_{1t}} dr$$

sustituyendo ahora el valor de la constante Q_2 obtenido en la ecuación (2-20), resulta:

$$V_2^2 = V_1^2 + \frac{T_{1t}}{r^2 \sin^2 \alpha_2} \left[C_2 - 2V_1^2 \sin^2 \alpha_2 \int_{r_m}^r \frac{r^{2 \sin^2 \alpha_2 - 1}}{T_{1t}} dr \right] \quad (2-22)$$

donde el valor de C_2 viene dado por la expresión:

$$C_2 = \frac{r_m^{2 \sin^2 \alpha_2}}{T_{1t} m} (V_{2m}^2 - V_1^2) \quad (2-23)$$

La ecuación (2-22) proporciona la expresión buscada para obtener el campo de velocidades cualquiera que sea $T_{1t}(r)$

2-3 DETERMINACION DE LAS VARIABLES FLUIDAS EN EL ROTOR

Las aproximaciones resultantes de las pequeñas desviaciones radiales son:

$$V_{m3}^2 \approx V_{23}^2$$

$$\left(\frac{\cos \varphi}{r_c} \right)_3 \approx 0$$

$$\sin \varphi_3 \approx 0$$

$$\frac{dr_1}{dr_3} \approx 1$$

$$\mu_2 \approx \mu_3 = \mu = \omega r$$

con estas simplificaciones la ecuación (1-16) se reduce a:

$$\frac{\partial V_{23}^2}{\partial r} - \frac{1}{T_{1t}} \left[\frac{\partial T_{1t}}{\partial r} \right]_1 V_{23}^2 = \frac{V_{03}^2 + 2\zeta - V_1^2}{T_{1t}} \left[\frac{\partial T_{1t}}{\partial r} \right]_1 - \frac{2V_{03}}{r} \frac{\partial(rV_{03})}{\partial r} \quad (2-24)$$

ó bien, como en el caso del estator, teniendo en cuenta las relaciones (2-3) aplicadas a los valores de las variables fluidas en la sección 3 se obtiene:

$$\frac{\partial V_3^2}{\partial r} - \frac{1}{T_{1t}} \left[\frac{\partial T_{1t}}{\partial r} \right]_1 V_3^2 = \frac{(2\zeta - V_1^2)}{T_{1t}} \left[\frac{\partial T_{1t}}{\partial r} \right]_1 - \frac{2V_{03}^2}{r} \quad (2-25)$$

mientras que la ecuación (1-11) queda en la forma:

$$\zeta = u (V_{\theta 2} - V_{\theta 3}) \quad (2-26)$$

La integración de la ecuación diferencial proporciona la distribución de velocidades V_3 . Para el resto de las variables fluidas, disponemos de las siguientes relaciones:

$$T_3 = T_{1t} - \frac{V_3^2}{2c_p} - \frac{\zeta}{c_p}$$

obtenida a partir de la ecuación de la energía (A-32) y por otra parte:

$$p_3 = p_2 \left(\frac{T_3}{T_2} \right)^{\frac{\gamma}{\gamma-1}} = p_1 \left(\frac{T_3}{T_1} \right)^{\frac{\gamma}{\gamma-1}}$$

$$\rho_3 = \rho_2 \left(\frac{T_3}{T_2} \right)^{\frac{1}{\gamma-1}} = \rho_1 \left(\frac{T_3}{T_1} \right)^{\frac{1}{\gamma-1}}$$

Como consecuencia de las hipótesis de movimiento isentrópico según una línea de corriente y gas perfecto.

La ecuación del gasto será utilizada de igual forma a -- como se ha hecho para el estator.

Para los ángulos de la corriente (Fig.2-1, página 22) se deduce fácilmente:

$$\alpha_3 = \arccos \left(\frac{V_{\theta 3}}{V_3} \right)$$

$$\alpha_{3R} = \arctan \left(\frac{V_{\theta 3} - u}{V_{z3}} \right)$$

Puesto que lo que pretendemos es calcular las variaciones con el radio de las variables fluidas en la sección 3 -- (salida del rotor) las ecuaciones diferenciales (2-24) y -- (2-25) pueden considerarse ecuaciones diferenciales ordinarias.

La ecuación diferencial (2-25) es una ecuación de primer -- orden en V_3^2 y teniendo en cuenta que $v_{\theta 3}$ es una función del radio su expresión integral general es:

$$V_3^2 = V_1^2 - 2\zeta - T_{it} \left[\int \frac{2V_{\theta 3}^2}{rT_{it}} dr + Q' \right] \quad (2-27)$$

la determinación de la constante Q' puede realizarse imponiendo de la condición:

$$\left. \begin{array}{l} V_3^2 = V_{3m}^2 \\ T_{it} = T_{itm} \end{array} \right\} r = r_m$$

con lo que resulta:

$$V_3^2 = V_1^2 - 2\zeta - T_{it} \left[\int_{r_m}^r \frac{2V_{\theta 3}^2}{rT_{it}} dr - C' \right] \quad (2-28)$$

habiendo hecho:

$$C' = \frac{1}{T_{itm}} (V_{3m}^2 + 2\zeta - V_1^2) \quad (2-29)$$

Las expresiones correspondientes a las leyes torsionales que se estudian se obtendrán a continuación:

2-3-1 TORBELLINO LIBRE

Teniendo en cuenta las relaciones (2-5) y (2-26) se obtiene

$$V_{\theta 3} = \left(k - \frac{\zeta}{\omega} \right) \frac{1}{r} \quad (2-30)$$

sustituyendo esta expresión de $v_{\theta 3}$ en la ecuación (2-28) queda:

$$V_3^2 = V_1^2 - 2\zeta - T_{it} \left[\int_{r_m}^r \frac{2}{T_{it} r^3} \left(k - \frac{\zeta}{\omega} \right)^2 dr - C' \right] \quad (2-31)$$

2-3-2 ROTACION SOLIDA

Teniendo en cuenta las relaciones (2-12) y (2-26) se obtiene para este caso:

$$V_{\theta 3} = K_1 r - \frac{\zeta}{\omega r} \quad (2-32)$$

sustituyéndo esta expresión en la ecuación (2-28) queda:

$$V_3^2 = V_1^2 - 2\zeta - T_{jt} \left[\int_{r_m}^r \frac{2}{T_{jt} \cdot r} \left(K_1 r - \frac{\zeta}{\omega r} \right)^2 dr - C' \right] \quad (2-33)$$

2-3-3 ANGULO DE SALIDA CONSTANTE

Este caso no es de aplicación inmediata como los anteriores ya que la expresión que proporciona $V_{\theta 3}$ es:

$$V_{\theta 3} = V_2 \sin \alpha_2 - \frac{\zeta}{\mu} \quad (2-34)$$

Debiendo recurrir a la expresión (2-22) que proporciona la distribución radial de V_2 , cuando la directriz es de ángulo de salida constante. Se considera que en este caso difícilmente será posible obtener una expresión analítica para V_3 por lo que se estima que el cálculo numérico deberá efectuarse casi sin excepción.

2-4 EXPRESIONES ADIMENSIONALES

2-4-1 PARAMETROS CARACTERISTICOS

En todo lo que antecede se han obtenido expresiones - generales, como consecuencia de una solución aproximada, que permiten el cálculo de las variables fluidas, en las secciones de salida del estator y salida del rotor, cualquiera que sea la distribución de temperaturas $T_{it}(r)$.

La influencia de T_{it} no se manifiesta de forma clara - porque depende de los valores de expresiones integrales, que implican el conocimiento de la misma distribución de temperatura y porque depende a su vez de los valores de otras variables; como son: tamaño de la máquina, trabajo específico, velocidad en el punto medio etc.

Es necesario pues desarrollar algún caso determinado - que ponga de manifiesto su influencia tanto cualitativa (aun que esta puede deducirse en parte del análisis de las ecuaciones diferenciales como se verá más adelante) como cuantitativa. Con tal motivo estudiaremos el caso de distribución lineal de temperaturas, por ser este el de mayor interés en la práctica desde un punto de vista termomecánico, comparándolo con el caso de temperatura uniforme.

A fin de correlacionar los resultados y generalizarlos se pondrán en forma adimensional las ecuaciones anteriormente obtenidas. De esta forma será posible presentar tablas y gráficos dentro de los valores más usuales de los parámetros de diseño.

Consideraremos en lo que sigue que la velocidad axial puede ó no mantenerse constante a lo largo de la línea media;

es decir que en general, $V_1 = V_{21} \neq V_{22m} \neq V_{23m}$

habiendo hecho

$$R_V = \frac{V_{22m}}{V_1}$$

$$R_{V_1} = \frac{V_{23m}}{V_1}$$

Los parámetros utilizados son los siguientes:

a) Relación de radios ξ_i ; definido así

$$\xi_i = r_i / r_e$$

Este parámetro es representativo de la configuración geométrica de la turbina y sus valores varían normalmente en el intervalo, $\xi_i (0.5, 0.8)$

Para simplificar las expresiones, que desarrollaremos a continuación, se tiene en cuenta que el radio medio adimensionalizado es:

$$\xi_m = (1 + \xi_i) / 2$$

b) Coeficiente de flujo λ , definido mediante la expresión

$$\lambda = \frac{V_{22}}{u_m}$$

pudiendo utilizar también

$$\lambda_1 = \frac{V_{21}}{u_m} = \frac{\lambda}{R_V}$$

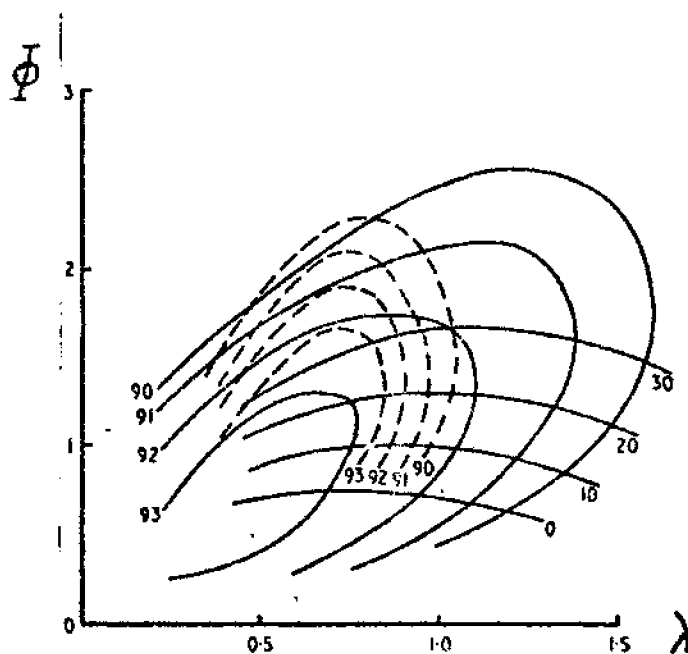
El coeficiente de flujo tiene una gran influencia en el rendimiento y sus valores varían en el intervalo, $\lambda (0.5, 1.5)$

c) Coeficiente de carga ϕ , definido como sigue:

$$\phi = \frac{c}{u_m^2}$$

El coeficiente de carga proporciona una idea de la deflexión comunicada a la corriente comparada con la velocidad de arrastre; valores normales son $\phi (0.5, 1.5)$

y también tiene gran influencia en el rendimiento de la máquina (fig. 2-2) (14).



Curvas del rendimiento
(tomadas de Smith, ref. 14)

Fig. 2-2

d) Coeficiente de torsión Ψ dado por

$$\Psi = \frac{V_{\theta 2m}}{V_{22m}} = \operatorname{tg} \alpha_{2m}$$

como se ve, se corresponde con el ángulo de salida de la corriente en la directriz, es decir, el ángulo que forman la velocidad absoluta de la corriente en el punto medio y el eje, por lo que podrá utilizarse este indistintamente.

Valores normales son, α_{2m} (60° , 80°)

e) Coeficiente de velocidad σ .

se designa con este nombre la relación entre la velocidad -
circunferencial del álabe y la velocidad isentrópica v_{1s} , -
donde v_{1s} se obtiene según sigue:

$$\frac{v_{1s}^2}{2} = H_{1t} - H_{3ts}$$

y en consecuencia

$$\sigma = \sqrt{\frac{u_m^2}{2(H_{1t} - H_{3ts})}}$$

En el movimiento real definimos el rendimiento de la turbi-
na η_T , mediante la expresión

$$\eta_T = \frac{H_{1t} - H_{3t}}{H_{1t} - H_{3ts}}$$

ahora bien, teniendo en cuenta la relación anterior y la ex-
presión (2-26) se puede escribir

$$\sigma = \sqrt{\frac{u_m^2 \eta_T}{2 \zeta}}$$

y teniendo en cuenta la definición del coeficiente de carga
también se escribe

$$\sigma = \sqrt{\frac{\eta_T}{2 \Phi}}$$

Puesto que nosotros consideramos que el movimiento es isentró-
pico según una línea de corriente, en particular para la línea
media se tendrá finalmente

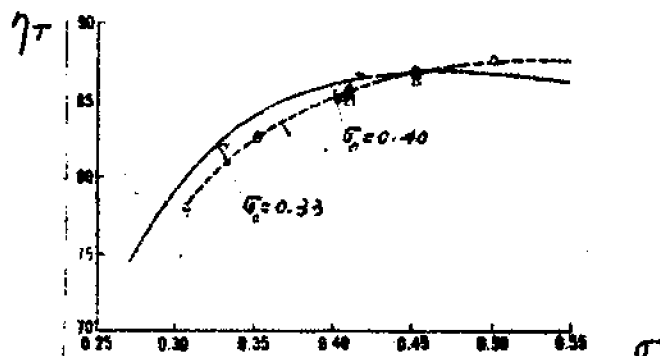
$$\sigma = \sqrt{\frac{1}{2 \Phi}}$$

es decir que los parámetros Φ y σ están relacionados pudiendo
utilizarse indistintamente.

En lo que sigue utilizaremos el coeficiente de carga Φ , no
sin antes mencionar que la influencia del coeficiente σ en
el rendimiento es marcadísima, llegando algunos autores --

como Horlock (5), a considerar que el rendimiento depende -- casi exclusivamente de σ .

Estudios experimentales y desarrollos prácticos llevados a cabo por Dorman y Welna (15) (fig.2-3), sitúan máximos del rendimiento para valores σ (0.4,0.55)



Variación del rendimiento de la turbina con el coeficiente de velocidad, para dos turbinas diseñadas con valores nominales de $\sigma = 0.33$ y $\sigma = 0.40$

fig. 2-3

f) Número de Mach de la corriente a la salida de la directriz M_{2m} .

Es frecuente en la práctica diseñar el primera estator ó directriz para que funcione en condiciones sónicas. La variación del n° de Mach de la corriente M_2 con el radio explica - que cuando se fija $M_{2m}=1$ la corriente sea supersónica en la - raiz y sónica en el extremo. Para turbinas subsónicas se esti - ma que cuando el número de Mach de la corriente alcanza valo - res próximos a 1.17, se produce una expansión de Prandtl-Meyer en la sección de salida que modifica el esquema del flujo, -

y los ángulos de la corriente difieren apreciablemente -- de los calculados a partir de los datos experimentales, obtenidos en ensayos con cascadas de corriente subsónica. Por otra parte en estos casos el número de Mach de la corriente relativa llega a ser superior al número de mach crítico de los perfiles del rotor con el consiguiente detrimento en el rendimiento, a causa de la interacción de la onda de choque, que se origina, con la capa límite. Teniendo en cuenta todo lo anteriormente dicho y para el caso de expansión sónica en la directriz - (en condiciones de bloqueo) los valores de M_{2m} varían normalmente en el intervalo (0.6,0.9), dependiendo de la ley torsional elegida.

g) Coeficiente de variación de temperatura.

La influencia de la temperatura se tendrá en cuenta a través del parámetro δ , que denominaremos incremento relativo de temperatura, definido según sigue:

$$\delta = \frac{T_{1tm} - T_{itm}}{T_{itm}}$$

donde T_{1tm} es la máxima temperatura.

En el caso de una distribución lineal de temperaturas, -- objeto de nuestro estudio consiguiente; $T_{1tm} = T_{ite}$ y en consecuencia

$$\delta = \frac{T_{ite} - T_{itm}}{T_{itm}}$$

por lo que

$$\frac{T_{it}}{T_{itm}} = 1 + \frac{\delta}{1 - \xi_i} (2\xi - (1 + \xi_i)) \quad ?$$

ecuación que proporciona la distribución de temperaturas a la entrada de la turbina ó tambien

$$\frac{T_{1t}}{T_{1tm}} = B + M \xi \quad (2-35)$$

habiendo hecho

$$a) \quad B = 1 - \frac{\delta(1 + \xi_i)}{(1 - \xi_i)}$$

$$b) \quad M = \frac{2\delta}{1 - \xi_i} \quad (2-36)$$

con esto procedemos al calculo de las variables fluidas según las leyes torsionales que estamos considerando.

2-4-2 TORBELLINO LIBRE

1º.- Estator.

De la ecuación (2-10a) teniendo en cuenta las expresiones de los parámetros definidos anteriormente y el valor de K. obtenido mediante la relación (2-5) al particularizar las variables para el punto medio, se obtiene:

$$\left(\frac{V_2}{V_1}\right)^2 = 1 - \frac{T_{1t}}{T_{1tm}} \left[R_V^2 \Psi^2 I_1(\xi) - (R_V^2 (1 + \Psi^2) - 1) \right] \quad (2-37)$$

donde

$$I_1(\xi) = \frac{(1 + \xi_i)^2}{2} \int_{\xi_m}^{\xi} \frac{1}{T_{1t}/T_{1tm} \xi^3} d\xi \quad (2-38)$$

La expresión (2-37) es válida cualquiera que sea la distribución de temperaturas.

Igualmente de la ecuación (2-5) se obtiene:

$$\frac{V_{02}}{V_1} = \xi_m R_V \Psi / \xi \quad (2-39)$$

esta expresión que proporciona la distribución tangencial de velocidades, como puede apreciarse, es independiente de la distribución de temperaturas, dado que se ha elegido arbitrariamente, siendo por tanto válida en cualquier caso con ley torsional torbellino libre.

Efectuemos ahora, la aplicación a los dos casos siguientes:

a) Distribución lineal de temperaturas.

Sustituyendo en (2-37) el valor de T_{it}/T_{itm} dado por la ecuación (2-35) e integrando se obtiene

$$\left(\frac{V_s}{V_i}\right)^2 = 1 - (B + M\xi) \left[R_v^2 \Psi^2 I_{1L}(\xi) - (R_v^2 (1 + \Psi^2) - 1) \right] \quad (2-37a)$$

con

$$I_{1L}(\xi) = \frac{\xi_m^2}{B^2} \left[\frac{2M\xi - B}{\xi^2} - \frac{4M(1 + \xi) - 4B}{(1 + \xi)^2} + \frac{2M^2}{B} \frac{\xi}{(M\xi + B)\xi_m} \right] \quad (2-40)$$

b) Temperatura de entrada constante $T_{it} = T_{itm}$.

La ecuación (2-37) proporciona para este caso

$$\left(\frac{V_s}{V_i}\right)^2 = R_v^2 \left(1 + \frac{\Psi^2 \xi_m^2}{\xi^2} \right) \quad (2-37b)$$

2º.- Rotor

De la ecuación (2-32) teniendo en cuenta las expresiones de los parámetros definidos y la relación (2-30) particularizada para el punto medio se obtiene

$$\left(\frac{V_s}{V_i}\right)^2 = 1 + \frac{\Phi}{\lambda_1^2} \left(\frac{T_{it}}{T_{itm}} - 1 \right) - \frac{T_{it}}{T_{itm}} \left(\Psi - \frac{\Phi}{\lambda} \right) \left(I_{1L}(\xi) - 1 \right) R_v^2 + \frac{T_{it}}{T_{itm}} (R_v^2 - 1) \quad (2-41)$$

como expresión que proporciona la distribución de velocidades absolutas cualquiera que sea T_{it} , deduciéndose para la velocidad tangencial la siguiente expresión.

$$\left(\frac{V_{\theta 3}}{V_1}\right) = \left(Rr\psi - \frac{\Phi}{\lambda_1}\right) \frac{\xi_m}{\xi} \quad (2-42)$$

que igual que en el caso anterior es independiente de T_{it} .

Efectuaremos la aplicación a los casos:

a) Distribución lineal de temperaturas.

Substituyendo en la ecuación (2-41) el valor de T_{it}/T_{im} dado por (2-35) se obtiene:

$$\left(\frac{V_3}{V_1}\right)_L^2 = 1 + 2 \frac{\Phi}{\lambda_1^2} (B + M\xi - 1) - (B + M\xi) Rr^2 \left(\psi - \frac{\Phi}{\lambda^2}\right) \left[I_{1L}(\xi) - 1 \right] + (B + M\xi) (Rr^2 - 1) \quad (2-41a)$$

mientras que permanece invariable la expresión que proporciona la distribución de la velocidad tangencial.

b) Temperatura de entrada constante, $T_i = T_{im}$.

La ecuación (2-41) proporciona en este caso

$$\left(\frac{V_3}{V_1}\right)_C^2 = Rr^2 + Rr^2 \frac{\xi_m^2}{\xi^2} \left(\psi - \frac{\Phi}{\lambda}\right)^2 \quad (2-41b)$$

2-4-3 ROTACION SOLIDA

1º.- Estator.

De la ecuación (2-16) con las expresiones de los parámetros utilizados y el valor de K_1 deducido de la relación (2-12) al particularizar las variables en el radio medio se obtiene:

$$\left(\frac{V_2}{V_1}\right)^2 = 1 - \frac{T_{it}}{T_{im}} \left[Rr^2 \psi^2 I_2(\xi) - (Rr^2 (\psi^2 + 1) - 1) \right] \quad (2-43)$$

con

$$I_2(\xi) = \frac{8}{(1 + \xi_i)^2} \int_{\xi_m}^{\xi} \frac{\xi}{T_{it}/T_{im}} d\xi \quad (2-44)$$

como expresión que proporciona la distribución de velocidades, cualquiera que sea la distribución de temperaturas, -- mientras que para la velocidad tangencial se obtiene:

$$\left(\frac{v_{\theta 2}}{v_1}\right) = R_v \psi \frac{\xi}{\xi_m} \quad (2-45)$$

que como puede apreciarse es independiente de la distribución de temperaturas.

Haremos aplicación a los casos:

a) Distribución lineal de temperaturas.

sustituyendo en la ecuación (2-43) el valor de $\frac{T_{1t}}{T_{1m}}$ dado --

por la expresión (2-35) se obtiene:

$$\left(\frac{v_2}{v_1}\right)_L^2 = 1 - (B + M\xi) \left[R_v^2 \psi^2 I_{2L}(\xi) - (R_v^2 (\psi^2 + 1) - 1) \right] \quad (2-43a)$$

con

$$I_{2L}(\xi) = \frac{2}{\xi_m} \left[\frac{\xi - \xi_m}{M} - \frac{B}{M^2} \mathcal{L}(M\xi + B) \right] \quad (2-46)$$

b) Temperatura constante $T_{1t} = T_{1m}$.

La ecuación que proporciona la velocidad absoluta se reduce a:

$$\left(\frac{v_2}{v_1}\right)_c^2 = R_v^2 \left[\psi^2 \left(2 - \frac{\xi^2}{\xi_m^2} \right) + 1 \right] \quad (2-43b)$$

como es sabido la ecuación (2-45) que dá la velocidad tangencial es válida en cualquier caso.

2^o.-- Rotor

De la ecuación (2-33), teniendo en cuenta la relación -- (2-32) y procediendo en forma análoga a los casos anteriormente estudiados, obtenemos las siguientes expresiones que proporcionan la velocidad absoluta v_3 y la tangencial $v_{\theta 3}$ respectivamente.

$$\left(\frac{V_3}{V_1}\right)^2 = 1 + 2 \frac{\bar{\Phi}}{\lambda_1^2} \left(\frac{T_{1t}}{T_{1tm}} - 1 \right) - \frac{T_{1t}}{T_{1tm}} \left[I_2(\xi) R_V^2 \Psi^2 + \frac{\bar{\Phi}^2 I_1(\xi)}{\lambda_1^2} + \right. \\ \left. + R_V^2 \Psi \frac{\bar{\Phi}}{\lambda} I_3(\xi) - R_V^2 \left(\Psi - \frac{\bar{\Phi}}{\lambda} \right)^2 - R_{V1}^2 + 1 \right] \quad (2-47)$$

$$\frac{V_{03}}{V_1} = R_V \left(\Psi \frac{\xi}{\xi_m} - \frac{\bar{\Phi}}{\lambda} \frac{\xi_m}{\xi} \right) \quad (2-48)$$

donde

$$I_3(\xi) = -4 \int_{\xi_m}^{\xi} \frac{1}{\xi T_{1t}/T_{1tm}} d\xi \quad (2-49)$$

Distinguiremos los casos:

a) Distribución lineal de temperaturas.

En este caso se obtiene:

$$\left(\frac{V_3}{V_{1L}}\right)^2 = 1 + \frac{2\bar{\Phi}}{\lambda^2} (B + M\xi - 1) - (B + M\xi) \left[I_{2L}(\xi) \left(\frac{\bar{\Phi}}{\lambda_1}\right)^2 + \Psi \right. \\ \left. I_{2L}(\xi) R_V^2 \frac{\bar{\Phi}}{\lambda} - R_V^2 \left(\Psi - \frac{\bar{\Phi}}{\lambda} \right)^2 - R_{V1}^2 + 1 \right] \quad (2-47a)$$

con

$$I_{2L}(\xi) = \frac{4}{B} \ell \left[\frac{(B + M\xi) \xi_m}{\xi} \right] \quad (2-50)$$

b) $T_1 = T_{1m}$

con lo que se obtiene ($S_i, R_V = R_{V1} = 1$)

$$\left(\frac{V_3}{V_1}\right)_0^2 = 1 + 2 \left(\Psi^2 + \left(\frac{\bar{\Phi}}{\lambda}\right)^2 \right) - \left\{ \frac{4\Psi^2 \xi^2}{(1 + \xi_i)^2} + \left(\frac{\bar{\Phi}}{\lambda}\right)^2 \frac{\xi_m^2}{\xi^2} - 4\Psi \right. \\ \left. \frac{\bar{\Phi}}{\lambda} \ell \frac{\xi}{\xi_m} \right\} \quad (2-47b)$$

2.4-4 ANGULO DE SALIDA CONSTANTE

1ª.- Estator

De la expresión (2-22) teniendo en cuenta las expresiones de los parámetros definidos hasta ahora y el valor de C2, proporcionado por la expresión (2-23), al particularizar las variables para el punto medio, se obtiene:

$$\left(\frac{v_2}{v_1}\right)^2 = 1 + \frac{T_{it}/T_{atm}}{\xi^{2\sin^2\alpha_2}} \left[\xi_m^{2\sin^2\alpha_2} (R_V^2 (\Psi^2 + 1) - 1) - I_4(\xi) \right] \quad (2-51)$$

$$\text{con} \quad I_4(\xi) = 2\sin^2\alpha_2 \int_{\xi_m}^{\xi} \frac{\xi^{2\sin^2\alpha_2 - 1}}{T_{it}/T_{atm}} d\xi \quad (2-52)$$

Teniendo en cuenta además que:

$$\sin^2\alpha_2 = \frac{\Psi^2}{1 + \Psi^2}$$

La expresión que proporciona la distribución tangencial de velocidades puede deducirse de la expresión (2-18), teniendo en cuenta además la expresión (2-51), es decir:

$$\left(\frac{v_{\theta 2}}{v_1}\right) = \left(\frac{v_2}{v_1}\right) \sin\alpha_2 \quad (2-53)$$

Lo que pone de manifiesto que la distribución tangencial de velocidades ya no es independiente de la distribución de temperaturas, como ocurría con los casos anteriores.

La integral que aparece en la expresión (2-52) conduce en general a integrales de tipo hermite, siendo muy engorroso su cálculo, mientras que en otros casos (dependiendo de las distribución de temperaturas) se hace imprescindible el cálculo numérico.

No obstante puede obtenerse una buena aproximación, válida para cualquier distribución de temperatura, según se desarrolla

a continuación.

Otra forma de la ecuación (2-19), puesta en forma adimensional es

$$\frac{d(V_2/V_1)^2}{d\xi} + \left[\frac{2 \operatorname{sen}^2 \alpha_2}{\xi} - \frac{d \ln(T_{it}/T_{itm})}{d\xi} \right] \left(\frac{V_2}{V_1} \right)^2 = - \frac{1}{T_{it}/T_{itm}} \frac{d T_{it}/T_{itm}}{d\xi}$$

que también puede ponerse en la forma

$$\frac{d(V_2/V_1)^2}{d\xi} = -2 \operatorname{sen}^2 \alpha_2 \frac{d\xi}{\xi} + \left(1 - \frac{1}{(V_2/V_1)^2} \right) \frac{d T_{it}/T_{itm}}{T_{it}/T_{itm}} \quad (2-54)$$

si por ser $\left(\frac{V_1}{V_2} \right)^2 \ll 1$, realizamos la aproximación

$$\frac{1}{(V_2/V_1)^2} \approx \frac{1}{(V_{2m}/V_1)^2} = \frac{\cos^2 \alpha_2}{R_V^2}$$

La ecuación diferencial (2-54) puede ser integrada directamente obteniéndose

$$\left(\frac{V_2}{V_1} \right)^2 = \text{cte.} \cdot \xi^{-2 \operatorname{sen}^2 \alpha_2} \left(\frac{T_{it}}{T_{itm}} \right)^{\left(1 - \frac{\cos^2 \alpha_2}{R_V^2} \right)} \quad (2-55)$$

La expresión de la constante se calcula imponiendo las condiciones:

$$\left. \begin{aligned} \left(\frac{V_2}{V_1} \right)^2 &= \left(\frac{V_{2m}}{V_1} \right)^2 = \frac{R_V^2}{\cos^2 \alpha_2} \\ T_{it} &= T_{itm} \end{aligned} \right\} \xi = \xi_m$$

quedando finalmente

$$\left(\frac{V_2}{V_1} \right) = \frac{R_V}{\cos \alpha_2} \left(\frac{\xi_m}{\xi} \right)^{\operatorname{sen}^2 \alpha_2} \left(\sqrt{\frac{T_{it}}{T_{itm}}} \right)^{\left(1 - \frac{\cos^2 \alpha_2}{R_V^2} \right)} \quad (2-56)$$

Esta expresión, proporciona con muy buena aproximación según se verá más adelante la distribución de velocidades, cualquiera que sea la distribución de temperaturas.

haremos aplicación a los casos:

a) Distribución lineal de temperaturas.

Sustituyéndo en la ecuación (2-56) el valor de $\frac{T_{it}}{T_{itm}}$ se tiene

$$\left(\frac{V_2}{V_1}\right)_L = \frac{Rv}{\cos\alpha_2} \left(\frac{\xi_m}{\xi}\right)^{\lambda_1 n^2 \alpha_2} \left(\sqrt{B+M\xi}\right)^{\left(1 - \frac{\cos^2\alpha_2}{Rv^2}\right)} \quad (2-56a)$$

como comprobación de la aproximación obtenida se presenta - en la tabla (2-1) los valores de $\left(\frac{V_2}{V_1}\right)_L$ proporcionados por la - expresión anterior y los obtenidos mediante solución numérica de la ecuación diferencial (2-54) (por el método de Kutta-Runge), para distintos valores de los parámetros. (Tabla (2-1) - pagina 47).

b) Temperatura constante $T_{it} = T_{itm}$.

En el caso de la ecuación (2-56), se reduce a

$$\left(\frac{V_2}{V_1}\right)_C = \frac{Rv}{\cos\alpha_2} \left(\frac{\xi_m}{\xi}\right)^{\lambda_1 n^2 \alpha_2} \quad (2-56b)$$

Debiendo hacer constar que en este caso la solución analítica obtenida es la exacta, como puede comprobarse integrando la ecuación diferencial (2-51).

2 - Rotor

De la expresión (2-28) y teniendo en cuenta la expresión de los parámetros definidos anteriormente así como la relación (2-29) se obtiene:

$$\left(\frac{V_3}{V_1}\right)^2 = 1 - \vartheta \frac{\Phi}{\lambda_1^2} - \frac{T_{it}}{T_{itm}} \left[I_4(\xi) - (Rv_1^2 + (Rv_1 \psi - \frac{\Phi}{\lambda_1})^2 + \vartheta \frac{\Phi}{\lambda_1^2} - 1) \right] \quad (2-57)$$

con

$$I_4(\xi) = \int_{\xi_m}^{\xi} \frac{\vartheta (V_{03}/V_1)^2}{\xi T_{it}/T_{itm}} d\xi \quad (2-58)$$

La expresión de $\frac{V_3}{V_1}$, que figura en la integral, se obtiene a partir de las ecuaciones (2-34) y (2-56), de forma que resulta:

$$\left(\frac{V_3}{V_1}\right) = R_V \Psi\left(\frac{\xi_m}{\xi}\right)^{2\mu\alpha_2} \left(\sqrt{T_{1t}/T_{1tm}}\right)^{\left(1 - \frac{\cos^2\alpha_2}{R_V^2}\right)} - \frac{\Phi}{\lambda_1} \frac{\xi_m}{\xi} \quad (2-59)$$

La ecuación (2-57) proporciona la distribución de velocidades cualquiera que sea la ley de temperaturas en cuestión. Solamente para casos muy particulares puede encontrarse una solución analítica para $I_4(\xi)$, por lo que esta debe calcularse numéricamente a través de la expresión (2-58) con cualquier método usual de integración numérica, como puede ser el método de Simpson.

Un caso particular es el de distribución de temperaturas uniforme $T_{1t} = T_{1tm}$; que queda reducido:

$$\left(\frac{V_3}{V_1}\right)_c^2 = R_V^2 + \left(R_V \Psi - \frac{\Phi}{\lambda_1}\right)^2 + I_{4C}(\xi) \quad (2-57a)$$

Las expresiones (2-58) y (2-59) proporcionan

$$I_{4C}(\xi) = -2 \int_{\xi_m}^{\xi} \left(R_V \Psi\left(\frac{\xi_m}{\xi}\right)^{2\mu\alpha_2} - \frac{\Phi}{\lambda_1} \frac{\xi_m}{\xi} \right)^2 \frac{d\xi}{\xi}$$

Desarrollando el cuadrado subintegral queda:

$$I_{4C}(\xi) = -2 \int_{\xi_m}^{\xi} \left[R_V^2 \Psi^2\left(\frac{\xi_m}{\xi}\right)^{2\mu\alpha_2} + \frac{\Phi^2}{\lambda_1^2} \left(\frac{\xi_m}{\xi}\right)^2 - 2 R_V \Psi \frac{\Phi}{\lambda_1} \left(\frac{\xi_m}{\xi}\right)^{2\mu\alpha_2+1} \right] \frac{d\xi}{\xi}$$

Ahora bien teniendo en cuenta que:

$$\int R_V^2 \Psi^2\left(\frac{\xi_m}{\xi}\right)^{2\mu\alpha_2} \frac{d\xi}{\xi} = -\frac{R_V^2}{2\cos^2\alpha_2} \left(\frac{\xi_m}{\xi}\right)^{2\mu\alpha_2}$$

$$\int \frac{\Phi^2 \left(\frac{\xi_m}{\xi}\right)^2 d\xi}{\lambda_1^2 \left(\frac{\xi}{\xi}\right)} = - \frac{\Phi^2 \left(\frac{\xi_m}{\xi}\right)^2}{2\lambda_1^2 \left(\frac{\xi}{\xi}\right)}$$

$$\int R_V \Psi \frac{\Phi \left(\frac{\xi_m}{\xi}\right)^{2\mu\alpha_2+1} d\xi}{\lambda_1 \left(\frac{\xi}{\xi}\right)} = - \frac{R_V \Psi \Phi \left(\frac{\xi_m}{\xi}\right)^{2\mu\alpha_2+1}}{\lambda_1 (1+2\mu\alpha_2) \left(\frac{\xi}{\xi}\right)}$$

quedará finalmente

$$I_{AC}(\xi) = \left[\frac{R_V^2}{\cos^2 \alpha_2} \left(\frac{\xi_m}{\xi}\right)^{2\mu\alpha_2} + \frac{\Phi^2 \left(\frac{\xi_m}{\xi}\right)^2}{\lambda_1^2 \left(\frac{\xi}{\xi}\right)} - \frac{4R_V \Psi \Phi \left(\frac{\xi_m}{\xi}\right)^{2\mu\alpha_2+1}}{\lambda_1 (1+2\mu\alpha_2) \left(\frac{\xi}{\xi}\right)} \right]_{\xi_m}^{\xi} \quad (2-60)$$

TABLA 2-1

α_2	ξ	$\delta = 0.1$		$\delta = 0.15$		$\delta = 0.2$	
		SOL. A.	SOL. DIF.	SOL. A.	SOL. DIF.	SOL. A.	SOL. DIF.
60	0.60	2.38	2.38	2.33	2.32	2.28	2.27
	0.65	2.26	2.26	2.23	2.23	2.19	2.19
	0.70	2.16	2.16	2.14	2.14	2.12	2.12
	0.75	2.07	2.07	2.06	2.06	2.05	-
	0.80	2.00	2.00	2.00	2.00	2.00	-
	0.85	1.92	1.92	1.93	1.93	1.94	-
	0.90	1.86	1.86	1.88	1.88	1.89	-
	0.95	1.80	1.80	1.82	1.82	1.85	-
1	1.75	1.75	1.78	1.77	1.81	1.80	
70	0.60	3.59	3.59	3.50	3.50	3.41	3.41
	0.65	3.39	-	3.33	3.33	3.26	3.26
	0.70	3.21	-	3.17	-	3.14	-
	0.75	3.06	-	3.04	-	3.02	-
	0.80	2.92	-	2.92	-	2.92	-
	0.85	2.80	-	2.81	-	2.83	-
	0.90	2.69	-	2.72	-	2.74	-
	0.95	2.59	-	2.63	2.63	2.67	2.67
1	2.50	2.50	2.55	2.55	2.60	2.60	
80	0.60	7.23	-	7.03	-	6.83	-
	0.65	6.78	-	6.64	-	6.50	-
	0.70	6.39	-	6.31	-	6.22	-
	0.75	6.05	-	6.01	-	5.98	-
	0.80	5.75	-	5.75	-	5.75	-
	0.85	5.49	-	5.52	-	5.55	-
	0.90	5.26	-	5.32	-	5.38	-
	0.95	5.04	-	5.13	-	5.21	-
1	4.85	-	4.96	-	5.06	-	

NOTA - SOL.A., son datos obtenidos mediante la solución aproximada.

SOL.DIF., son datos obtenidos mediante cálculo numérico de la solución diferencial.

2-5 INFLUENCIA DE LA NO HOMOENTROPIA DE LA CORRIENTE

Hasta ahora se han obtenido las expresiones que permiten calcular las variables fluidas de un escalón, cualquiera que sea el perfil de temperaturas T_{it} y en particular cuando dicha distribución de temperaturas es lineal ó uniforme.

Es momento de analizar la influencia de la no homoentropía y poner de manifiesto hasta qué punto debe ser tenida en cuenta, cuando se trata del diseño aerodinámico de la turbina.

2-5-1.- TORBELLINO LIBRE

1 - ESTATOR

La ecuación diferencial (2-6) que proporciona la distribución de velocidades en el estator, con ley torsional -- torbellino libre, puede ponerse en la forma:

$$\frac{dV_{z2}^2}{dr} = \left(\frac{K^2}{r^2} - V_1^2 + V_{z2}^2 \right) \frac{dT_{it}}{T_{it} dr}$$

ó también

$$\frac{dV_{z2}}{dr} = \frac{1}{2} \left(\frac{K^2/r^2 - V_1^2 + V_{z2}^2}{V_{z2}} \right) \frac{1}{T_{it}} \frac{dT_{it}}{dr} \quad (2-51)$$

cuando el perfil de temperaturas es tal que T_{it} disminuye desde el pto. medio hacia la raíz resulta que $\frac{dV_{z2}}{dr} > 0$, de forma que la velocidad axial disminuye también desde el punto medio hacia la raíz; pudiendo entonces diferir apreciablemente del valor -- calculado cuando la corriente es homoentrópica, ya que entonces $V_{z2} = \text{cte}$. Este efecto, es tanto más acusado cuando menor sea -- la velocidad axial, según se pone de manifiesto mediante la expresión (2-51) y en consecuencia, en cualquier caso, cuando más pequeña sea la velocidad axial fijada para el punto medio. Por

esto a partir de ahora consideraremos como caso más crítico el correspondiente a $R_V = 1$, que es el que suele darse en la práctica.

En las figuras (2-4) y (2-5) (Pág. 54), se presenta la influencia de un perfil de temperaturas lineal, para varios valores del parámetro $\bar{\delta}$, en los ángulos α_{2c} y α_{2R} de la corriente. Así mismo en la fig. (2-8) se presenta su influencia sobre la velocidad axial, confirmándose de una forma clara todo lo hasta ahora expuesto.

El número de Mach de la corriente absoluta, sin embargo, presenta poca variación (Tabla 2-2).

TABLA (2-2)

$$\alpha_{2m} = 65^\circ, \xi_i = 0.5 \quad M_{2m} = 0.61, R_V = 1$$

ξ	$M_2(\bar{\delta}=0)$	$M_2(\bar{\delta}=0.075)$	$M_2(\bar{\delta}=0.15)$
0.50	0.89	0.91	0.92
0.55	0.81	0.82	0.83
0.60	0.74	0.75	0.76
0.65	0.60	-	-
0.70	0.64	-	-
0.75	0.61	-	-
0.80	0.57	-	-
0.85	0.55	-	-
0.90	0.52	-	-
0.95	0.50	-	-
1	0.48	-	-

Es evidente que el efecto más considerable y perjudicial es el de la disminución de la velocidad axial.

Para completar este estudio, resulta interesante efectuar los siguientes desarrollos:

De la ecuación (2-37a), cuando $R_v=1$, se tiene:

$$\left(\frac{V_2}{V_1}\right)_L^2 = 1 - \frac{T_{1t} \Psi^2 [I_1(\xi) - 1]}{T_{1tm}}$$

Teniendo en cuenta la expresión que proporciona la velocidad tangencial resulta:

$$\left(\frac{V_{22}}{V_1}\right)_L^2 = 1 - \frac{T_{1t} \Psi^2 [I_1(\xi) - 1]}{T_{1tm}} - \Psi^2 \left(\frac{\xi_m}{\xi}\right)^2 \quad (2-52)$$

La expresión (2-52), proporciona la distribución de la velocidad axial y la influencia de los parámetros. Particularizando para la raíz $\xi = \xi_i$, se obtiene entonces:

$$\left(\frac{V_{22}}{V_1}\right)_{L, \xi=\xi_i}^2 = f(\delta, \Psi, \xi_i)$$

De cuya expresión pueden deducirse los valores máximos permisibles de Ψ , es decir de α_{2m} , en función de ξ_i ; cuando se especifica un valor mínimo de $\left(\frac{V_{22}}{V_1}\right)_{L, \xi=\xi_i}^2$ y el parámetro δ . En la figura (2-10) se dibuja dicha función para $\delta = 0.15$, poniendo de manifiesto una disminución considerable de la zona útil de diseño.

2 - ROTOR

De la ecuación general (2-24), teniendo en cuenta que por tratarse de la ley torsional torbellino libre se obtiene:

$$\frac{dV_{23}}{dr} = \frac{V_{23}^2 + 2\zeta - V_1^2 + V_{23}^2}{2T_{1t} V_{23}} \frac{dT_{1t}}{dr}$$

Teniendo en cuenta además que:

$$V_{\theta 3} = V_{\theta 2} - \frac{\tau}{m}$$

se deduce, igual que para el estator, que un gradiente positivo de temperaturas produce una disminución de la velocidad axial hacia la raiz, pudiendo alcanzar valores tan bajos que imposibilitan el diseño.

En las figuras (2-6) y (2-7) (página 55), se presenta la influencia de la distribución lineal de temperatura sobre los ángulos de la corriente α_3 y α_{3R} , para varios valores del parámetro δ de desviación de temperatura. Esta influencia no puede desestimarse, ya que las diferencias son apreciables, y se aproximan a los 20° en la raiz, donde los efectos son mayores, cuando $\delta = 0.15$.

La fig.(2-9) (pag. 56), pone de manifiesto, lo indicado con respecto a la velocidad axial. Los efectos son mayores - cuando menor sea la velocidad axial fijada en el punto medio y nosotros consideraremos en lo que sigue como caso límite, ó más desfavorable, el más frecuente en diseño; es decir $K_V = K_{V1} = 1$. De la ecuación (2-41a) y (2-42), se obtiene

$$\left(\frac{V_{z3}}{V_1}\right)_L = 1 + 2 \frac{\Phi}{\lambda^2} \left(\frac{T_{1t}}{T_{1tm}} - 1\right) - \frac{T_{1t}}{T_{1tm}} \left(\psi - \frac{\Phi}{\lambda}\right)^2 \left[I_1(\xi) - 1 \right] - \left(\psi - \frac{\Phi}{\lambda}\right)^2 \left(\frac{\xi_m}{\xi}\right)^2$$

De cuya expresión puede deducirse la influencia de cualquier parámetro. Fijando un valor mínimo admisible en la raiz --

$$\left(\frac{V_{z3}}{V_1}\right)_L, \xi = \xi;$$

la expresión anterior proporciona:

$$\left(\frac{V_{z2}}{V_1}\right)_{z, \xi = \xi_i}^2 = \Psi(\Phi, \lambda, \delta, \xi_i, \Psi)$$

función que se ha dibujado en el diagrama coeficiente de carga - coeficiente de flujo, para $\delta = 0.15$ y varios valores del resto de los parámetros, en las figuras (2-11) a (2-14) (página 57); con lo cual se delimitan las zonas aptas para el diseño, en cada caso.

2-5-2 ROTACION SOLIDA

Para esta ley torsional, cuando el gradiente de temperaturas es nulo, la velocidad axial V_{z2} disminuye al aumentar radio. Es necesario por tanto, después de todo lo expuesto - y en forma parecida, estudiar previamente la viabilidad de tal ley en el caso de distribución de temperaturas uniforme ó dicho de otra forma su practicabilidad en el diseño de turbinas.

De las expresiones (2-43b) y (2-45), después de algunas simplificaciones, se deduce:

$$\left(\frac{V_{z2}}{V_1}\right)_c^2 = R_V^2 \left[2\Psi^2 \left(1 - \left(\frac{\xi}{\xi_m}\right)^2\right) + 1 \right]$$

La condición $\left(\frac{V_{z2}}{V_1}\right)_c = 0$ para $\xi = 1$

proporciona $\Psi = f(\xi_i)$, función que determina los valores máximos admisibles de α_{2M} . Esta función se representa en la -- fig. (2-15) (pág. 62) observándose que el valor máximo admisible para α_{2M} , es $\alpha_{2M} = 55^\circ$ para $\xi_i = 0.8$. Esto excluye la utilización de la ley torsional rotación sólida en el diseño de turbinas, razón por la cual ya no la consideraremos de ahora

en adelante. La utilización en el diseño de compresores se explica teniendo en cuenta que en este caso, las deflexiones máximas de la corriente son $\alpha_2 \simeq 30^\circ$ y para estos valores de α_2 , pueden obtenerse valores razonables de la velocidad axial en el extremo.

(INFLUENCIA DE δ , TORBELLINO LIBRE)

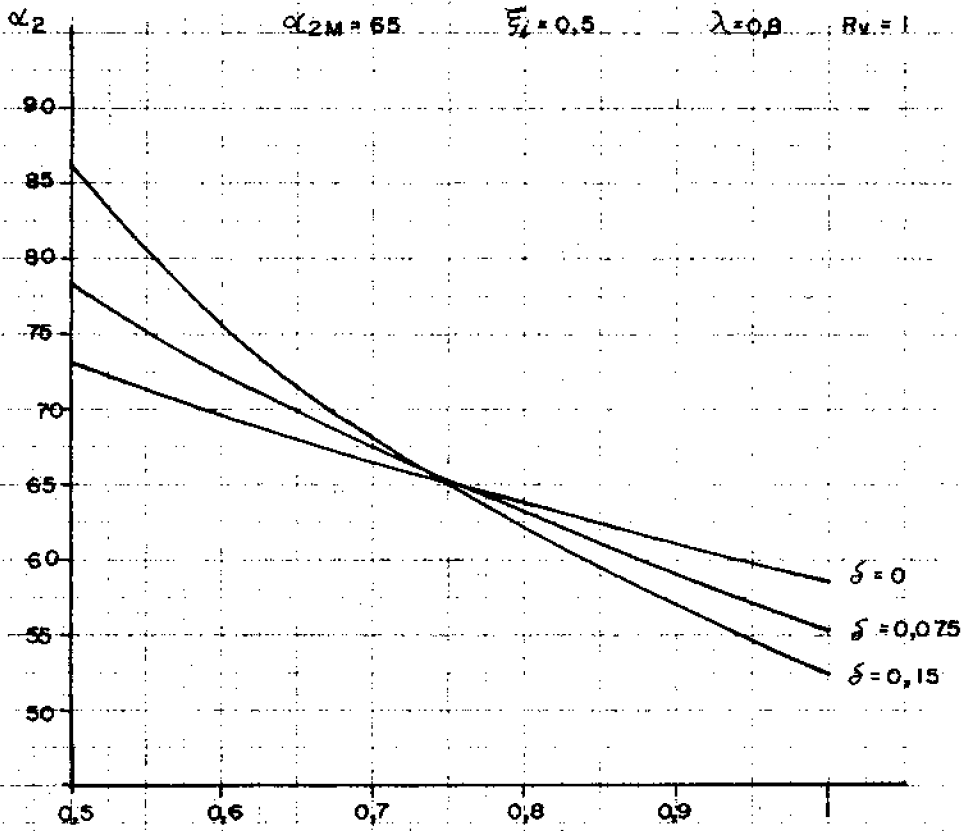


FIG. - 4-2.

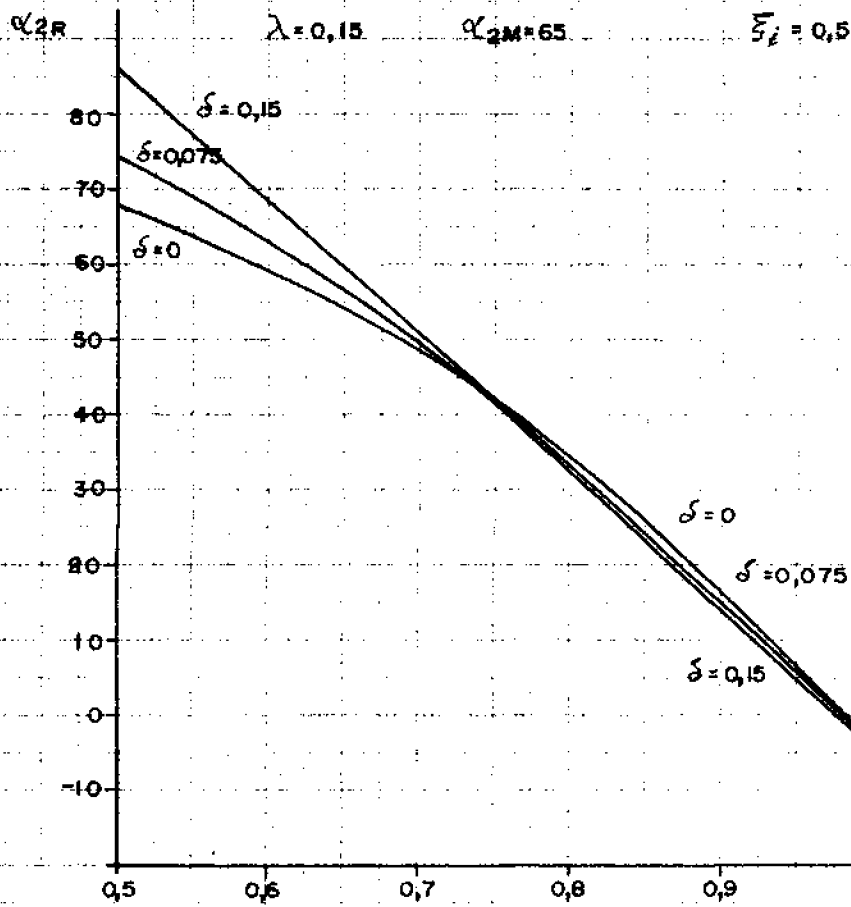


FIG. - 5-2.

α_3

(INFLUENCIA DE δ TORBELLINO LIBRE)

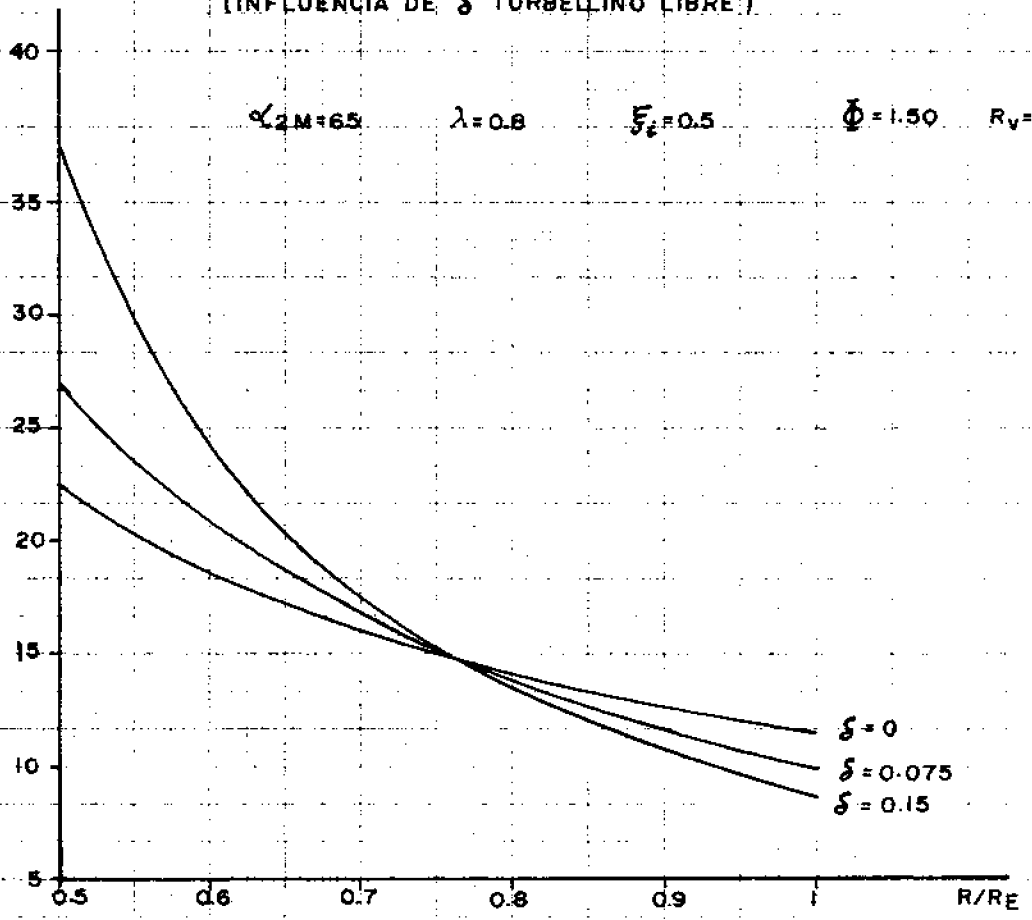


FIG. 6-2.

α_{3R}

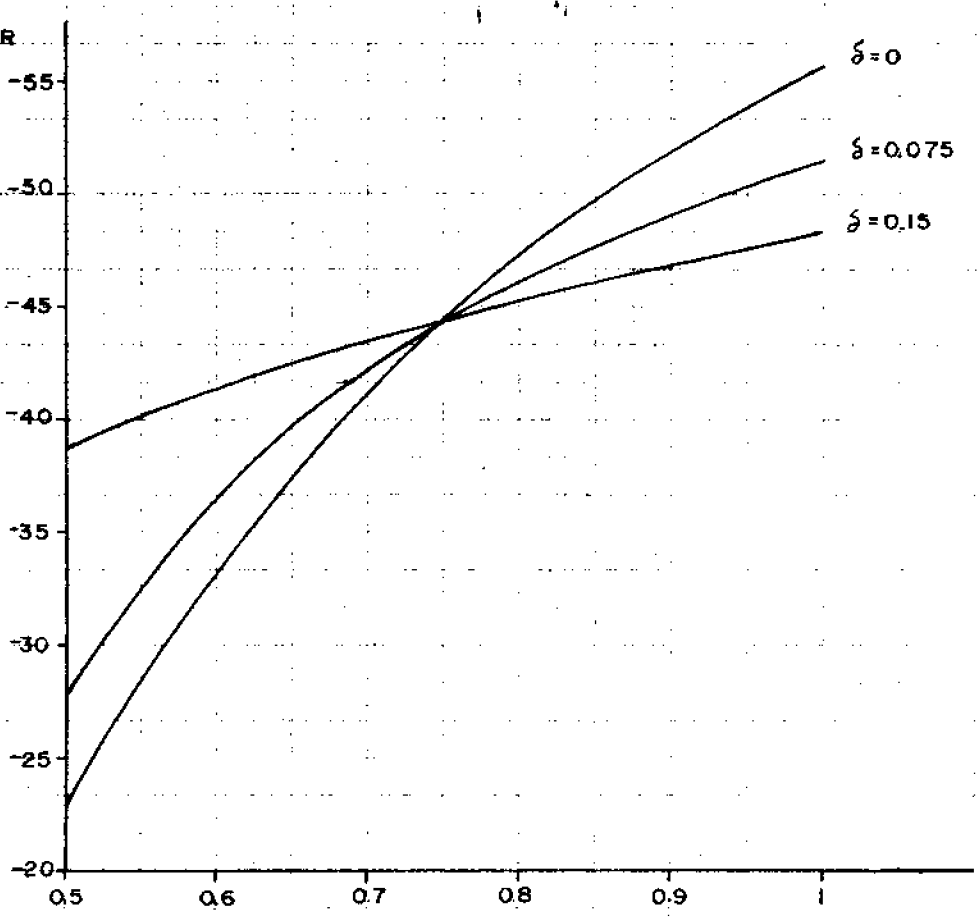


FIG. 7-2.

(INFLUENCIA DE δ . TORBELLINO LIBRE)

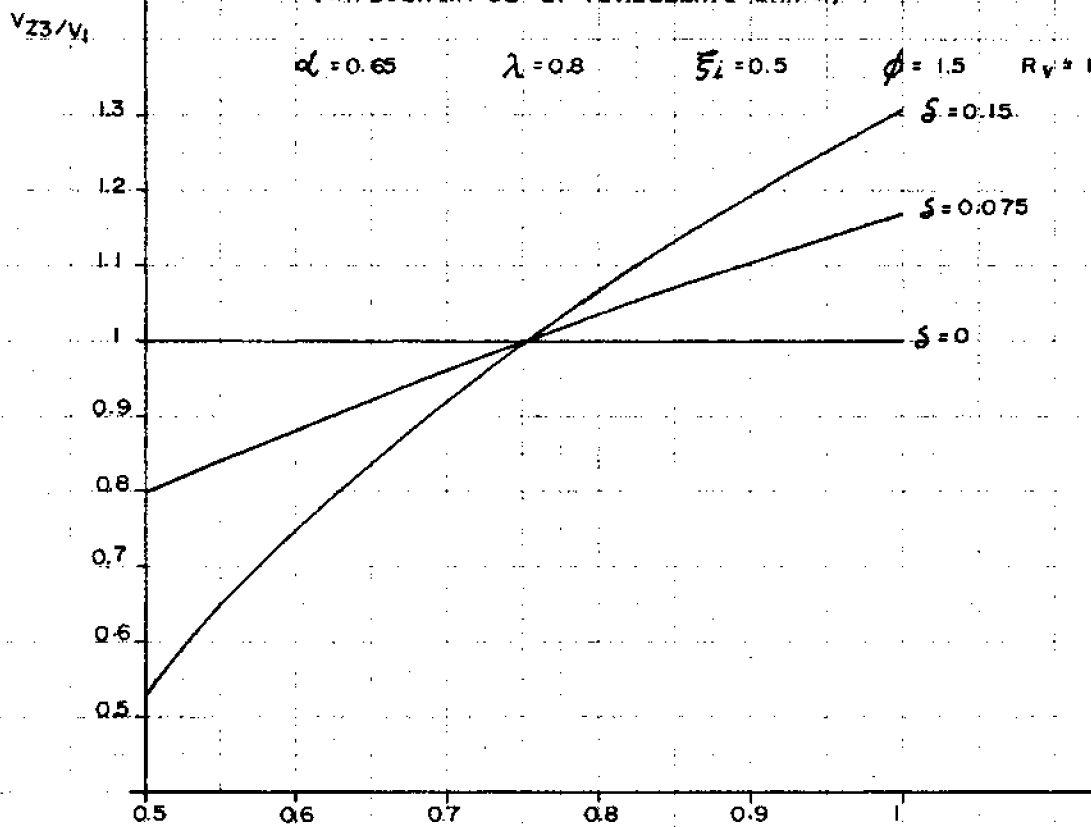


FIG. 9-2.

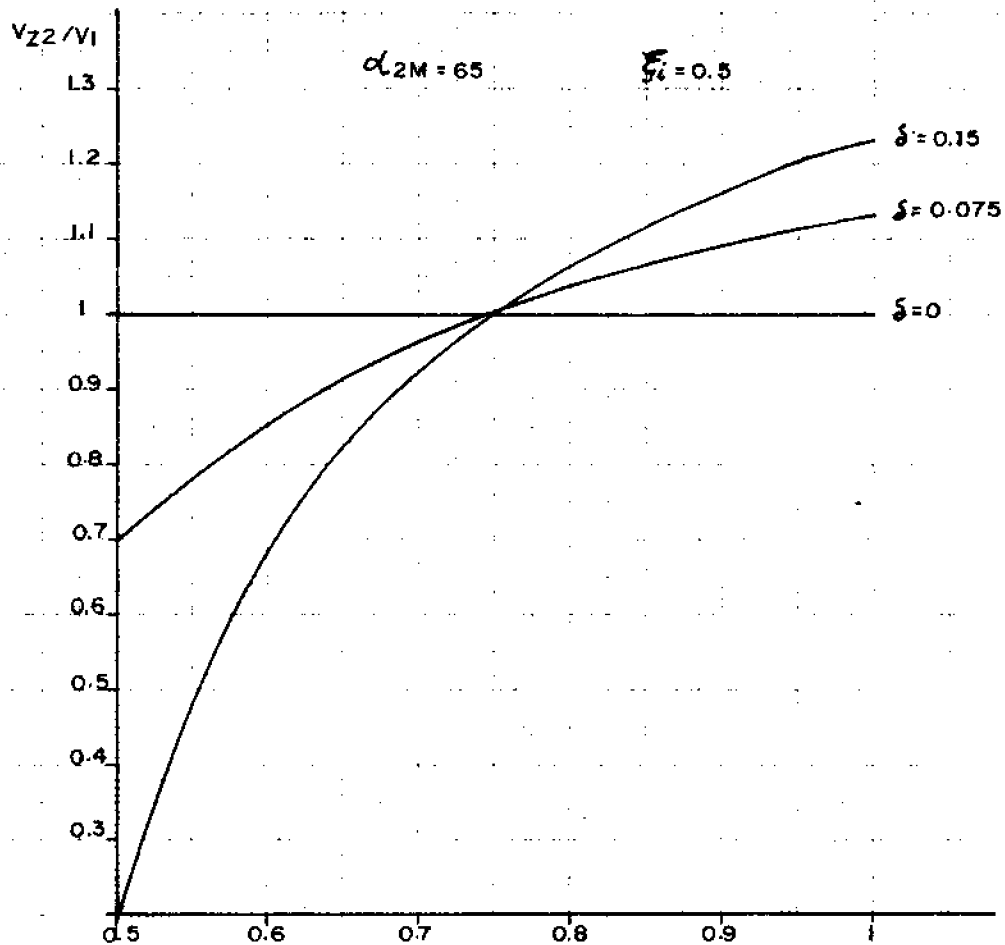


FIG. 8-2.

LIMITES DE $\alpha_2 = f(\xi_i)$ PARA TORBELLINO LIBRE (ESTATOR).
 FLUJO NO HOMOENTROPICO ($\delta = 0.15$)

$$R_v = 1$$

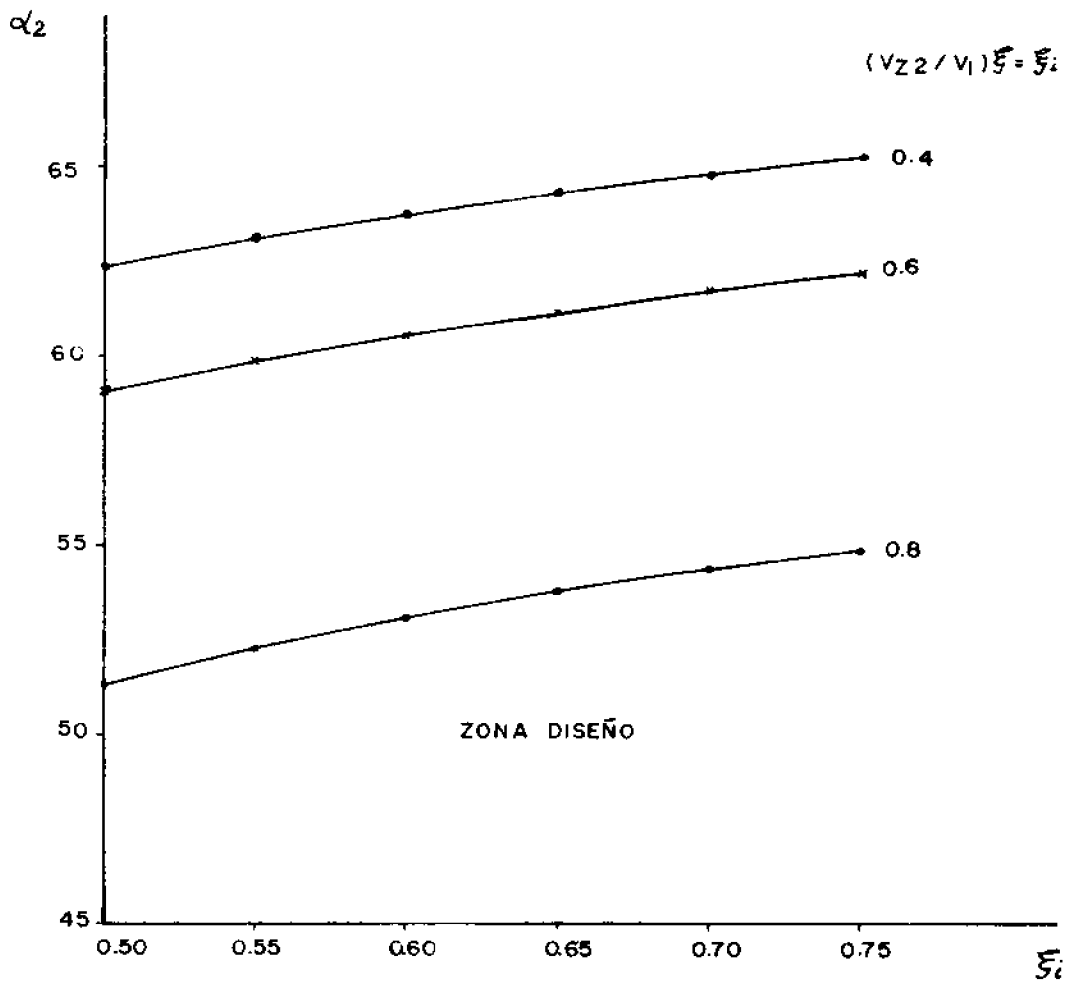
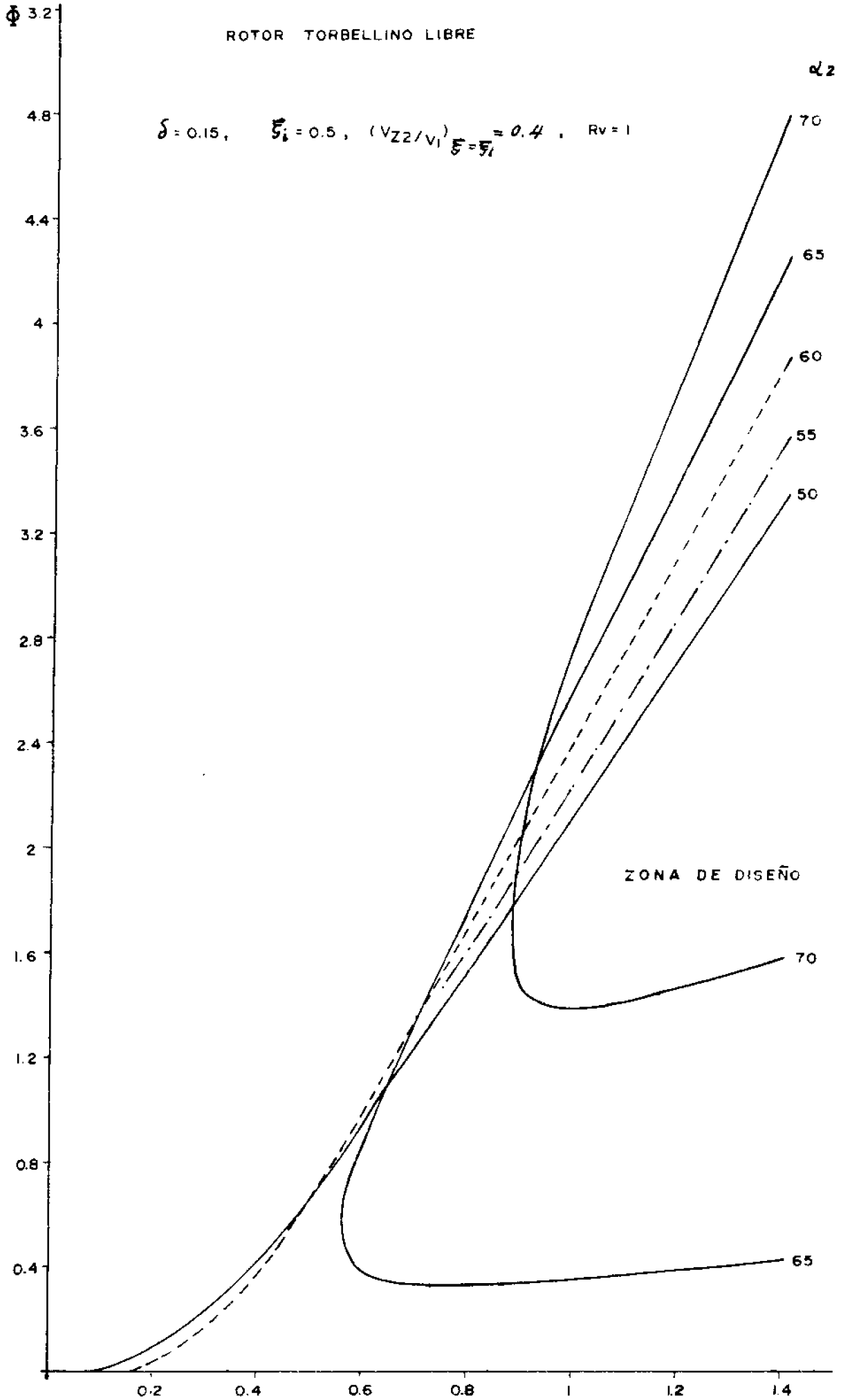


FIG - 10 - 2.



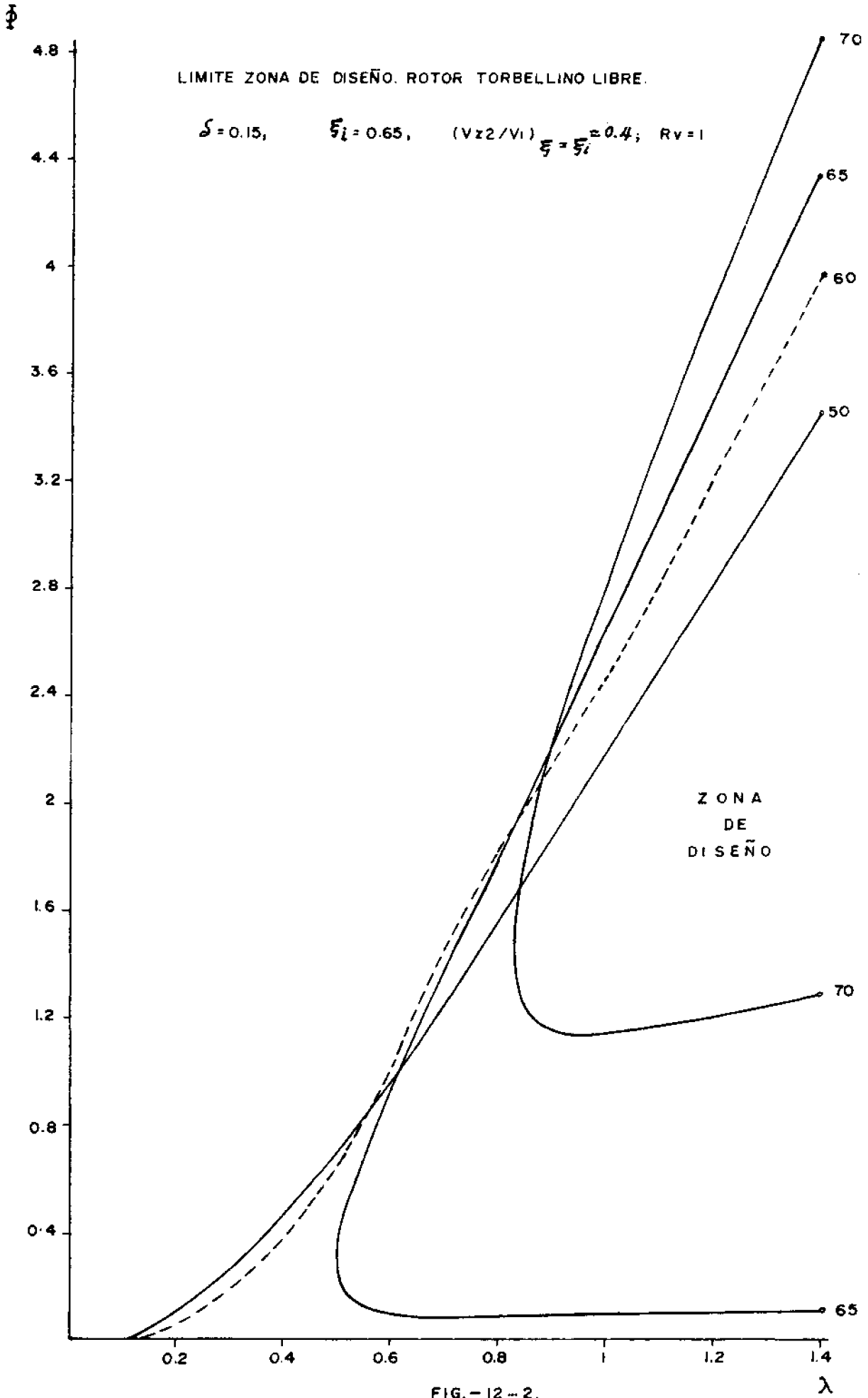


FIG. - 12 - 2.

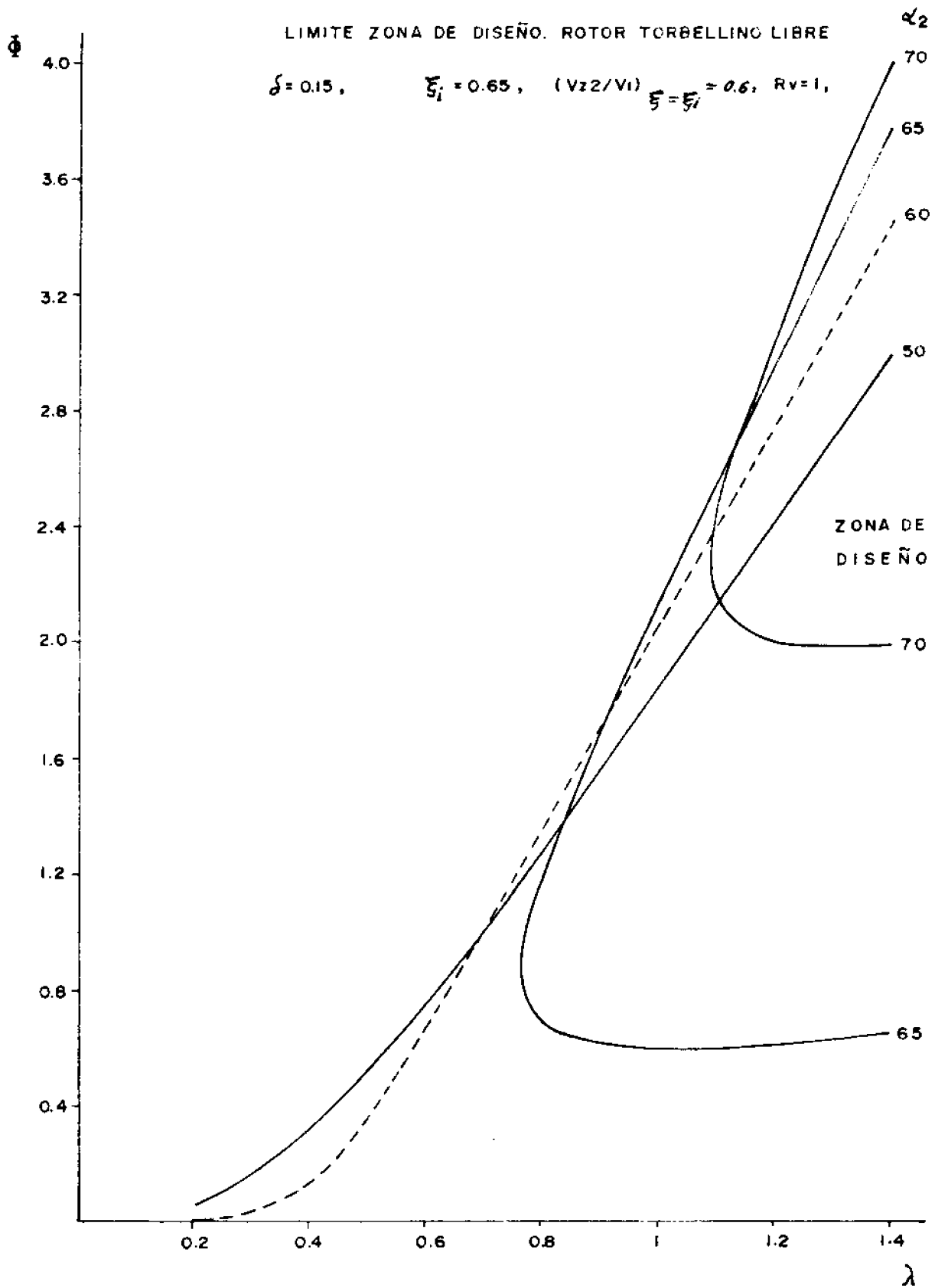


FIG. - 13-2.

LIMITE ZONA DE DISEÑO. ROTOR TORBELLINO LIBRE.

$$\delta = 0.15, \quad \xi_i = 0.65, \quad (V_{z2}/V_1) \xi = \xi_i = 0.8, \quad R_v = 1.$$

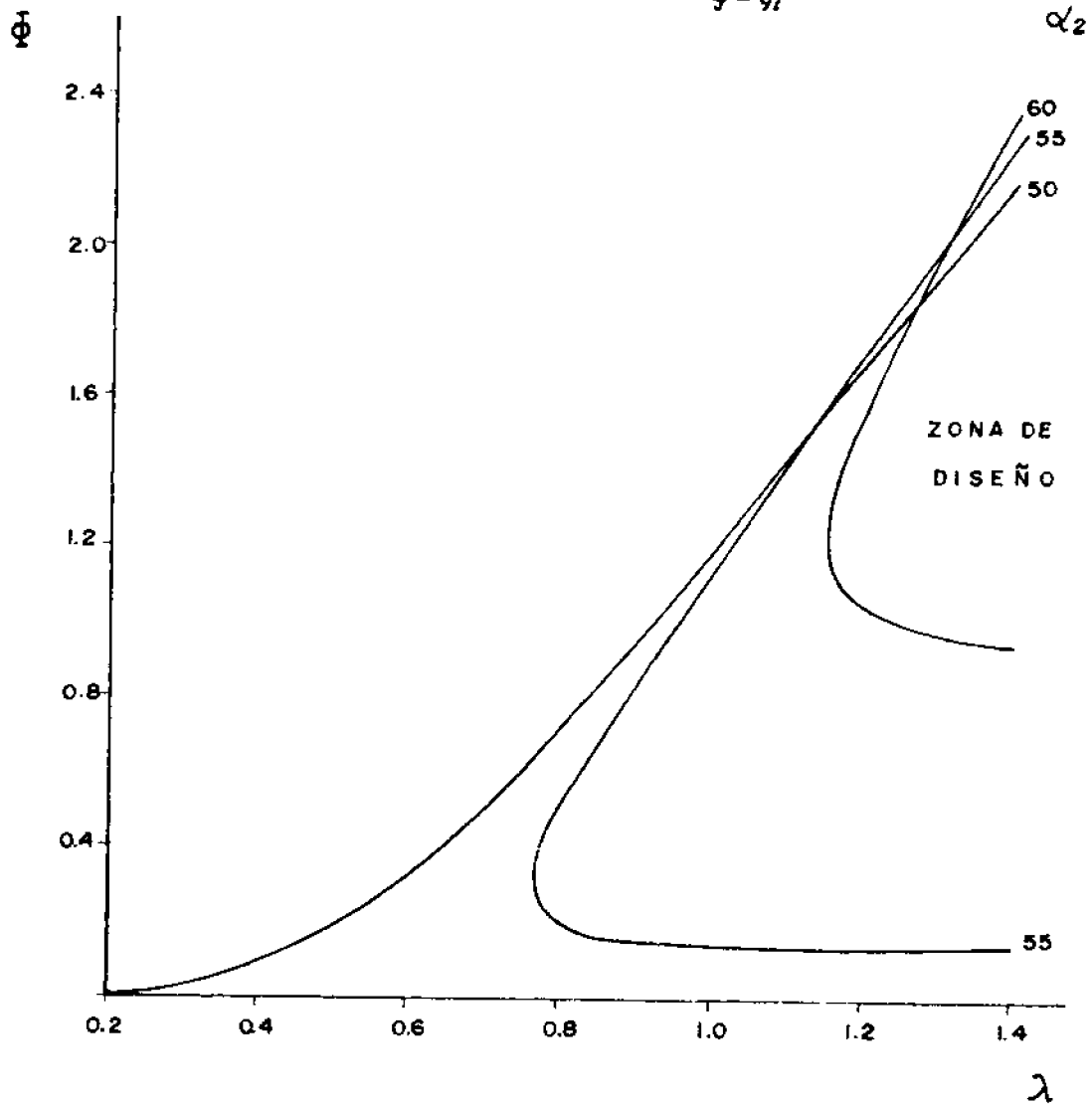


FIG.-14-2.

LEY TORSIONAL : ROTACION SOLIDA

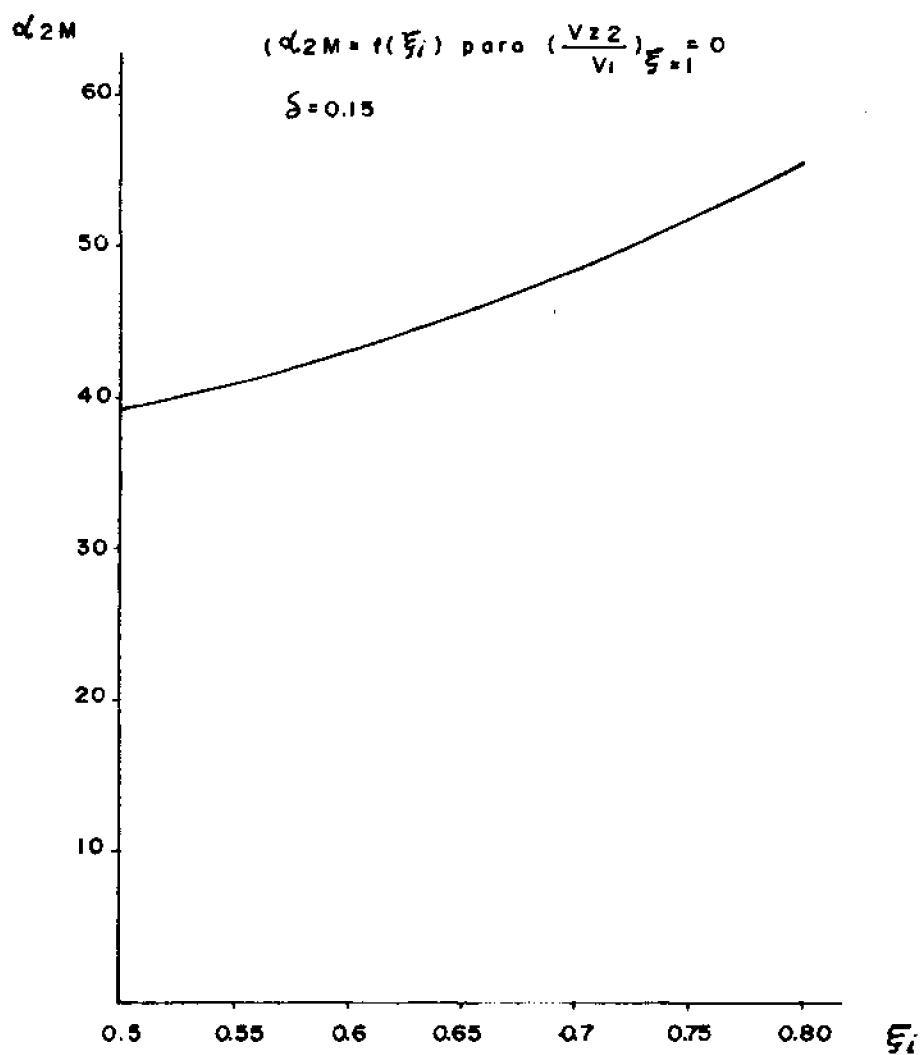


FIG.-15-2.

2-5-3 ANGULO DE SALIDA DE LA DIRECTRIZ CONSTANTE

Para esta ley torsional los efectos de una distribución lineal de temperatura son pequeños en el estator, según se aprecia en la fig. (2-16) (pag. 66) donde se representa el ángulo relativo de la corriente α_{2R} para varios valores de δ y en la figura (2-17) (pag. 66), donde se representa la velocidad axial $\left(\frac{V_{a2}}{V_1}\right)$. Así mismo puede verse que la influencia de tal distribución de temperaturas en el número de Mach M_2 es igualmente pequeña (Tabla 2-3).

TABLA 2-3

0.60	1.15	-	1.16
0.65	1.06	-	1.07
0.70	0.99	-	-
0.75	0.92	-	-
0.80	0.87	-	-
0.85	0.82	-	-
0.9	0.78	-	-
0.95	0.74	-	-
1	0.71	-	0.70

El comportamiento del rotor, en cambio difiere apreciablemente según muestran las figuras (2-18), (2-19) y (2-20) (paginas 67 y 68).

La diferencia de α_{3R} , del caso no homoentrópico ($\delta=0.15$) con respecto al caso homoentrópico ($\delta=0$), llega a ser de 20° en la raíz. Así mismo la disminución de (V_{a2}/V_1) con el radio

cuando $\delta = 0.15$, es muy acusada y su diferencia con respecto al caso homocentrópico considerable.

Por otra parte de la expresión (2-57), con $Rv=Kv = 1$ y --
teniendo en cuenta además la expresión (2-59), puede escri--
birse:

$$\left(\frac{V_{23}}{V_1}\right)_{L, \xi=\xi_i}^2 = 2 \frac{\Phi}{\lambda^2} (B + M \xi_i - 1) - (B + M \xi_i) \int_{\xi_m}^{\xi_i} \frac{2 V_{23}/V_1}{\xi (B + M \xi)} d\xi - \left(\psi - \frac{\Phi}{\lambda}\right)^2 - \left[\psi \left(\frac{\xi_m}{\xi_i}\right)^{2k\alpha_2} (B + M \xi_i)^{\frac{2k\alpha_2}{2}} - \frac{\Phi(\xi_m)}{\lambda} \left(\frac{\xi_m}{\xi_i}\right) \right]^2$$

es decir:

$$\left(\frac{V_{23}}{V_1}\right)_{L, \xi=\xi_i} = f(\Phi, \lambda, \psi, \xi_i, \delta)$$

expresión que proporciona la influencia de cualquier paráme--
tro sobre $\left(\frac{V_{23}}{V_1}\right)_{L, \xi=\xi_i}$.

En las figuras (2-21) a (2-23) (pag. 67) se representan las curvas que delimitan la zona apta para el diseño en el --
diagrama $\Phi - \lambda$, cuando se rijan valores mínimos para

$$\left(\frac{V_{23}}{V_1}\right)_{L, \xi=\xi_i} \quad \text{y} \quad \delta = 0.15$$

En el caso isentrópico de las ecuaciones (2-57a) y (2-60) se obtiene fácilmente:

$$\frac{\Phi}{\lambda} = \frac{\left(\frac{V_{23}}{V_1}\right)_{C, \xi=\xi_i} - \left(\frac{\xi_m}{\xi_i}\right)^{2k\alpha_2}}{2 \frac{\psi \cos^2 \alpha_2}{1 + k \alpha_2} \left[1 - \left(\frac{\xi_m}{\xi_i}\right)^{k\alpha_2 + 1} \right]}$$

funciones que se representan así mismo en las figuras mencionadas y permiten poner de manifiesto que el efecto del parámetro δ se traduce en una reducción de la zona de diseño, - cuando se especifican valores mínimos para la velocidad axial en la raíz.

INFLUENCIA DE δ ALABES. ESTATOR SIN TORSION

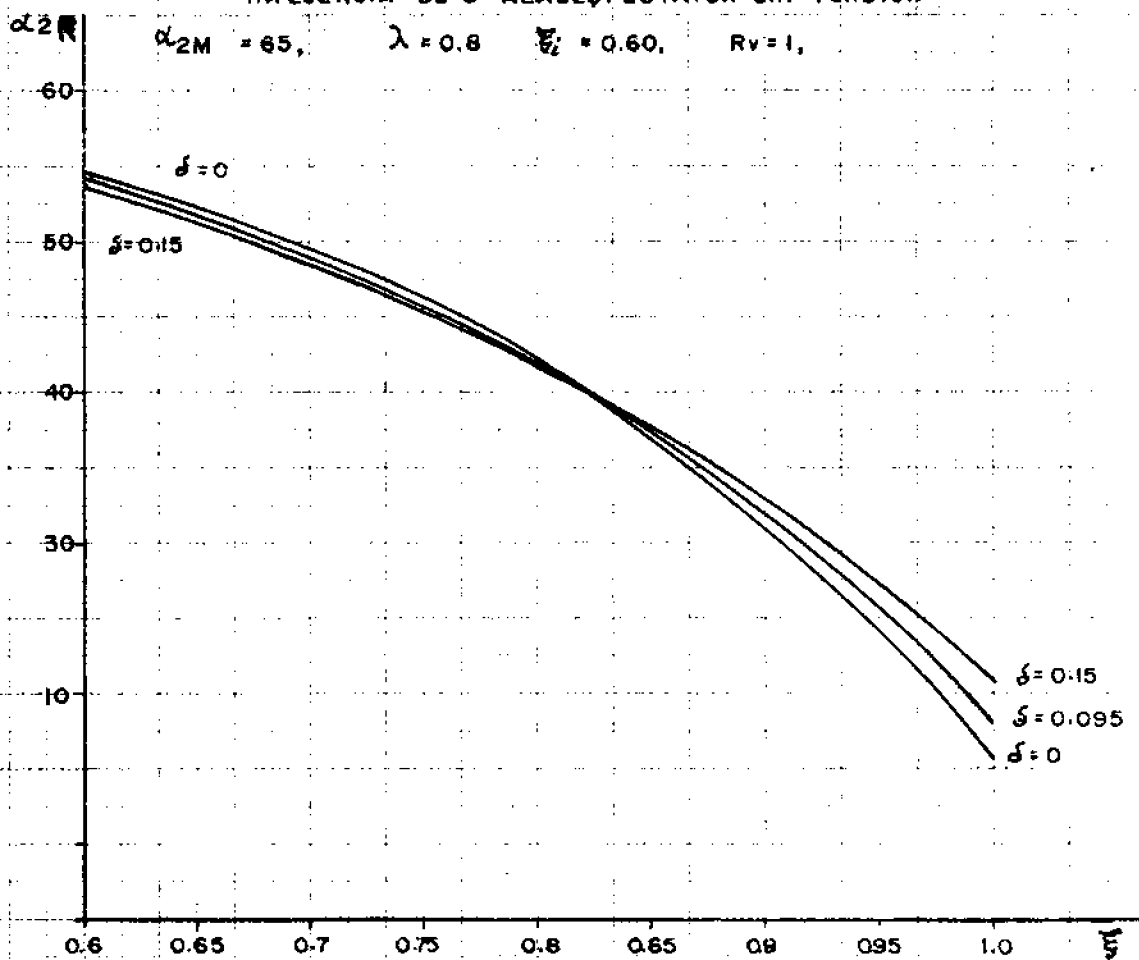


FIG.-16-2.

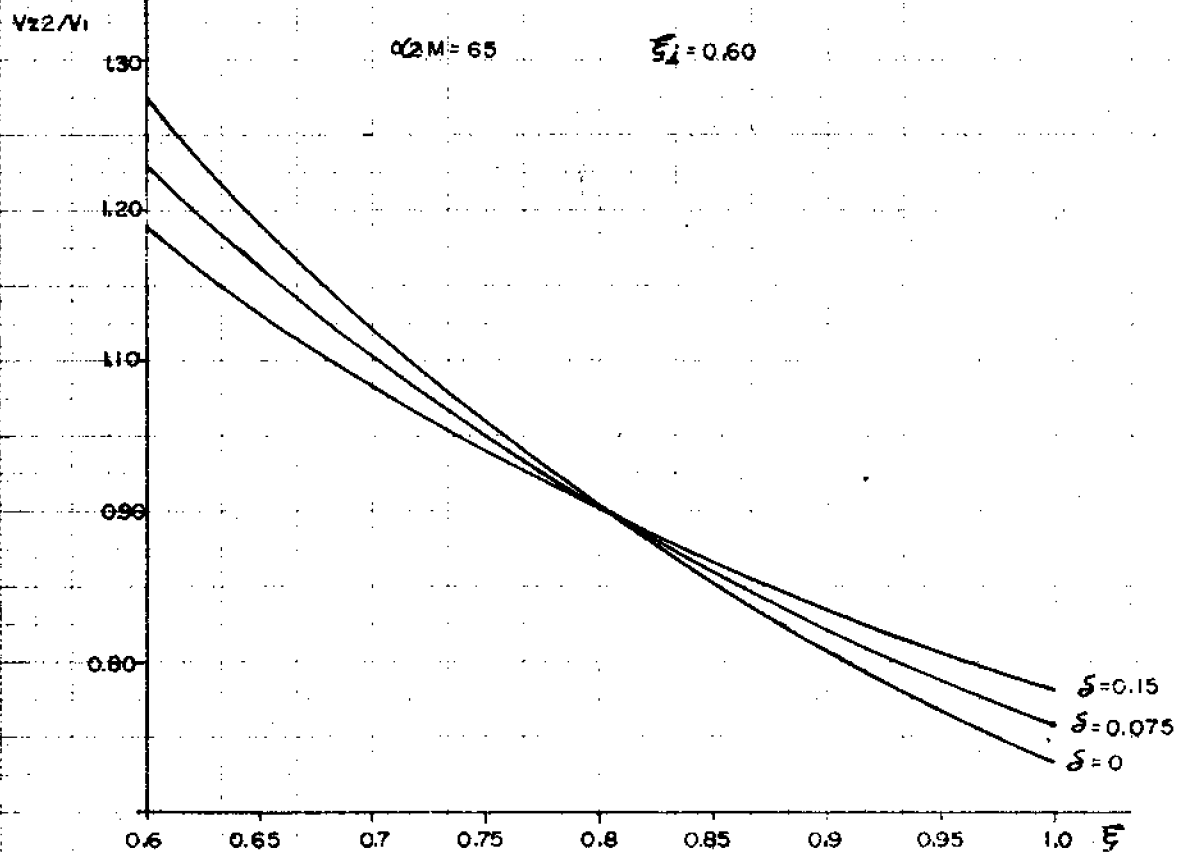


FIG.-17-2.

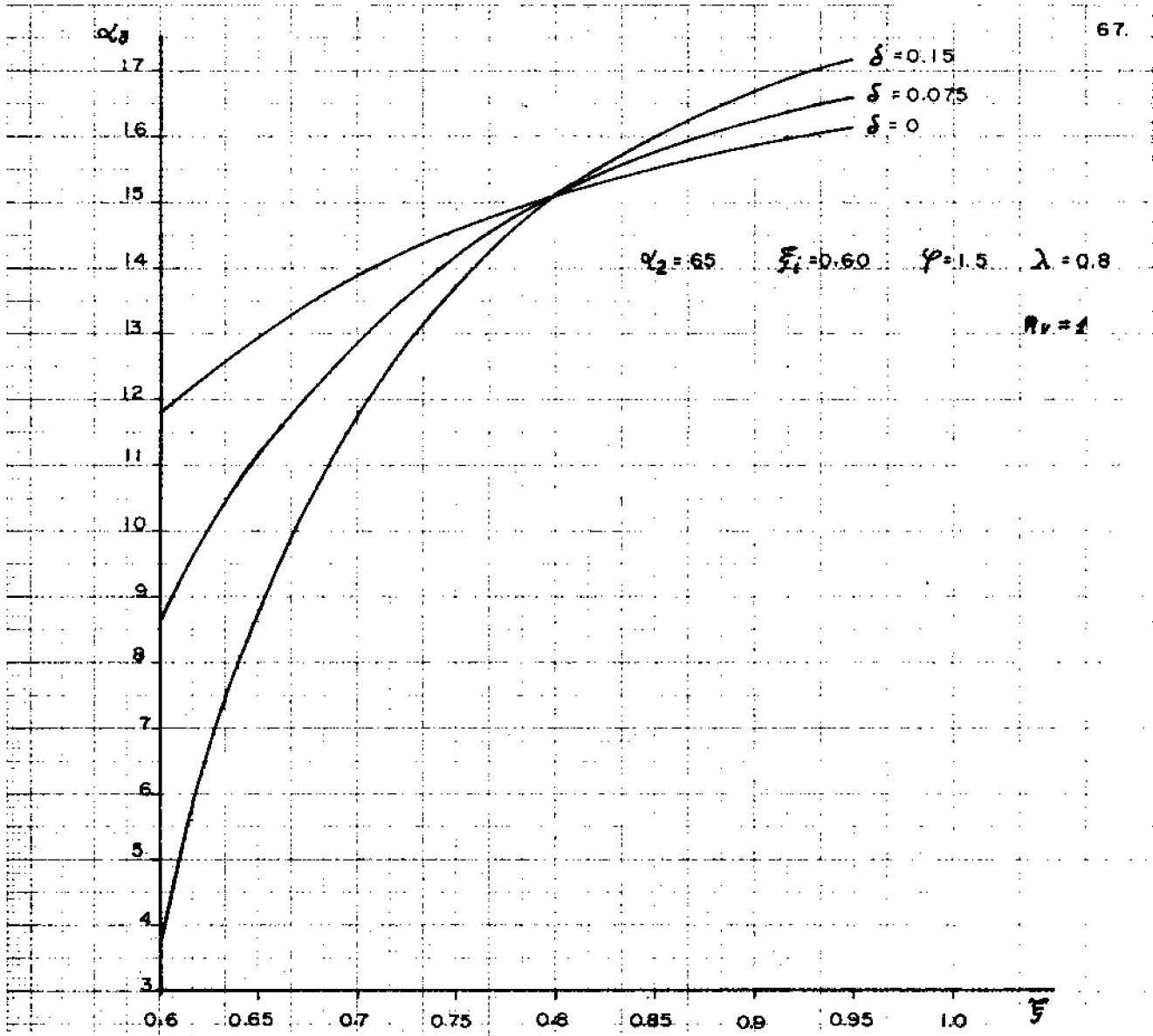
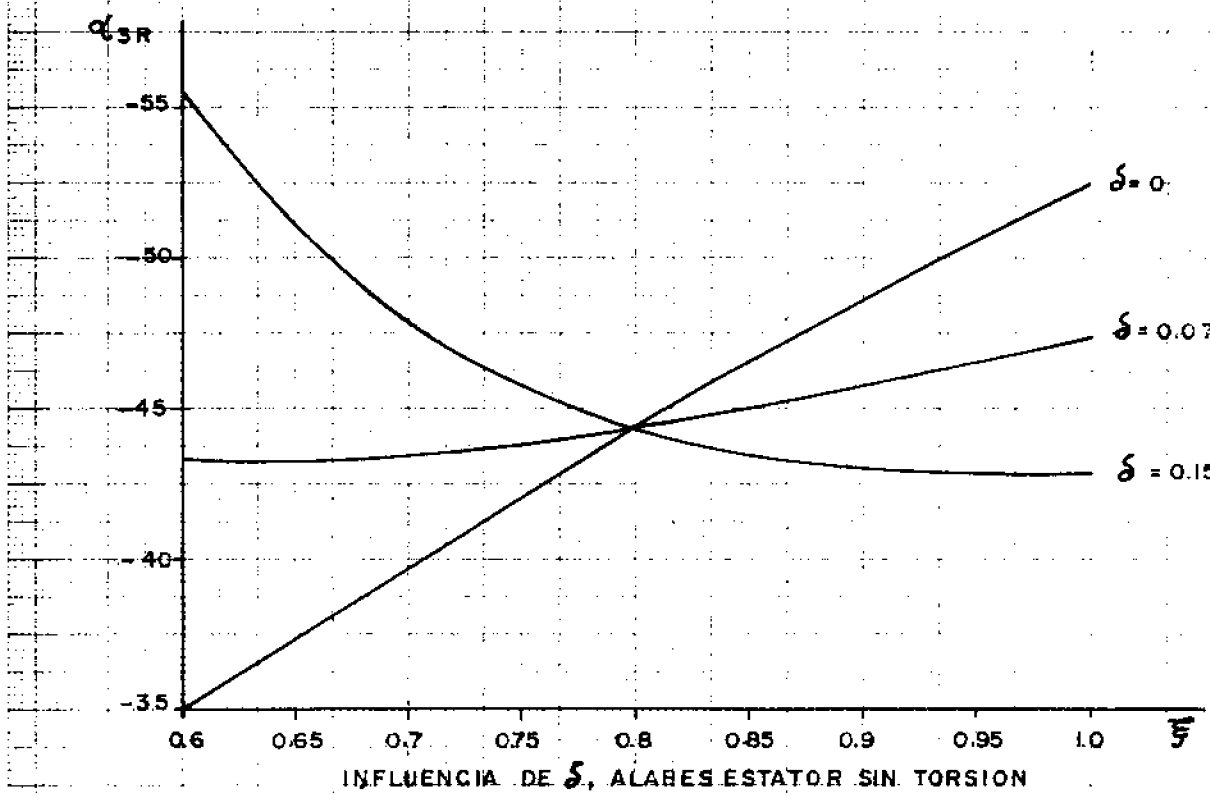


FIG. - 18-2.



INFLUENCIA DE δ , ALABES ESTATOR SIN TORSION

FIG. - 19-2.

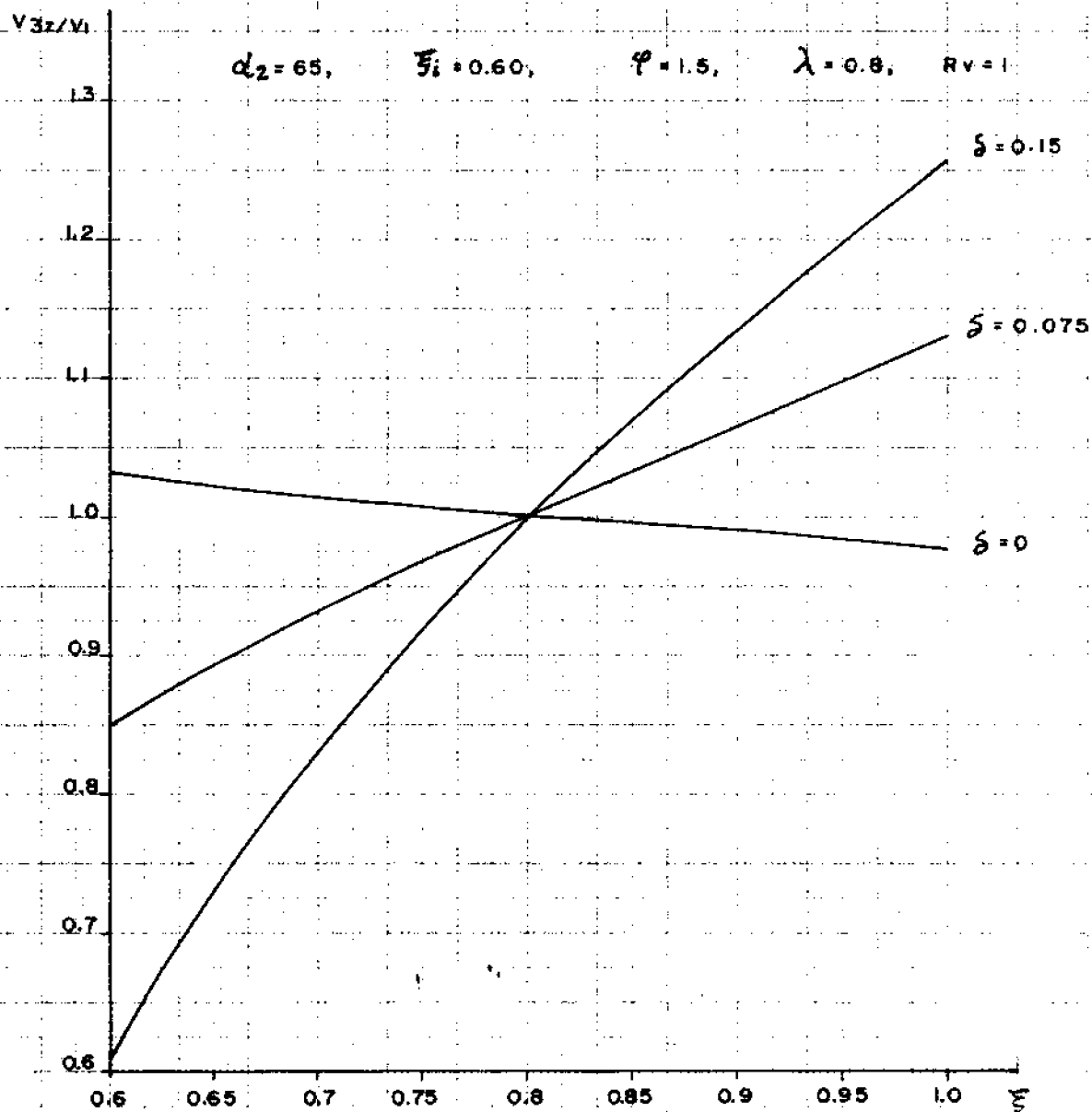
INFLUENCIA DE δ , ALABES ESTATOR SIN TORSION

FIG.- 20-2.

LIMITES ZONA DE DISEÑO. ROTOR.

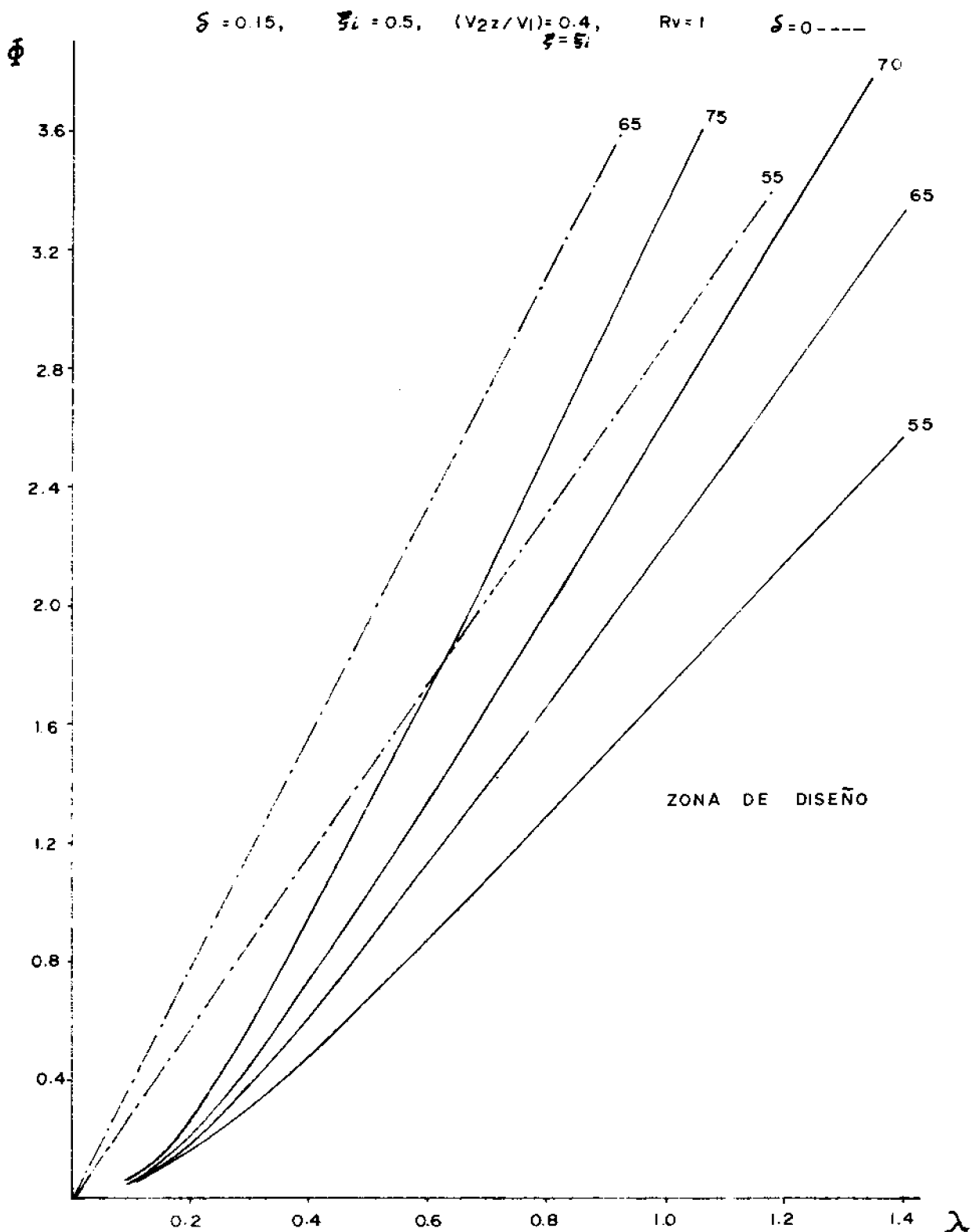


FIG. - 21-2.

LIMITES ZONA DE DISEÑO. ROTOR

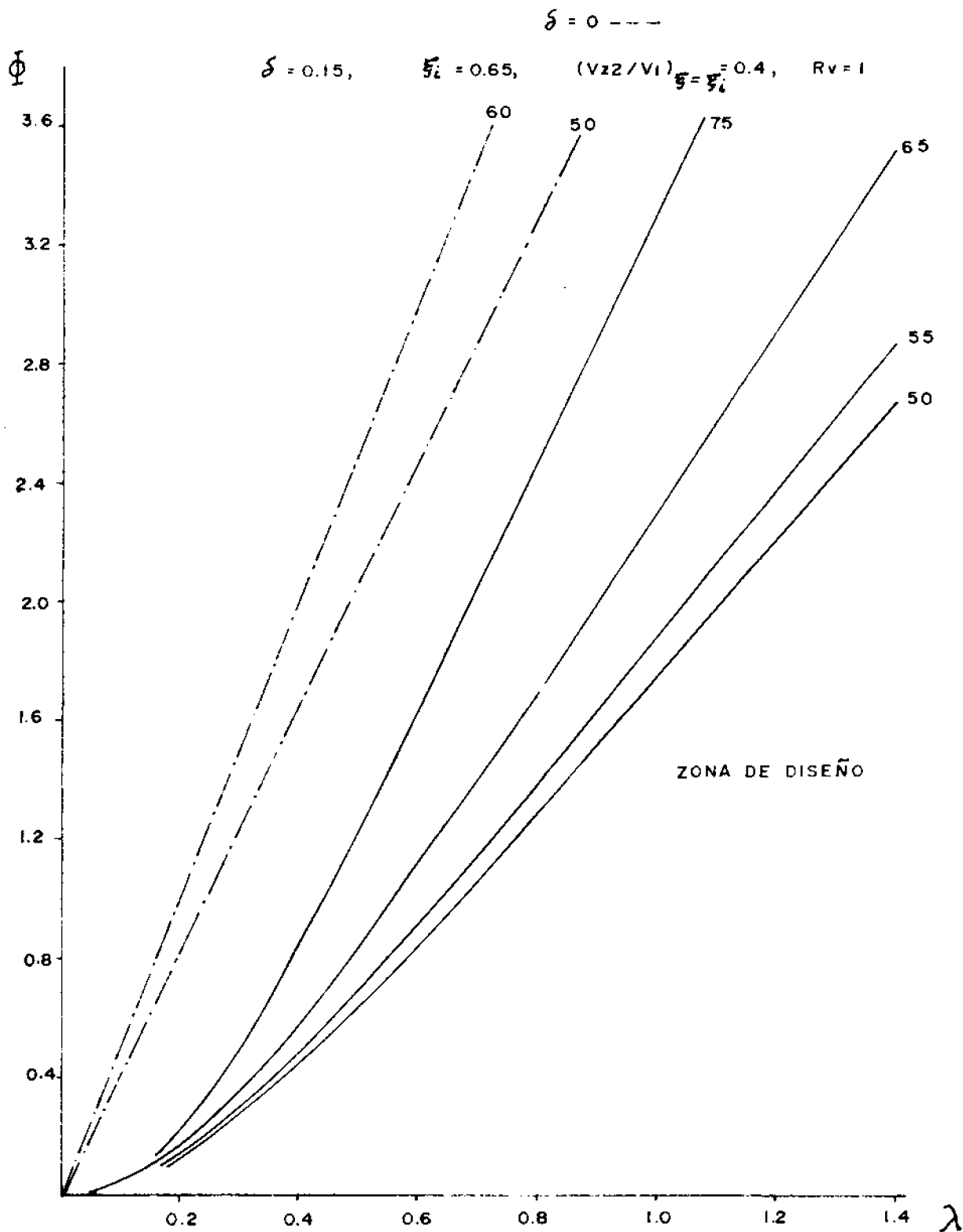


FIG.- 22-2.

LIMITES ZONA DE DISEÑO. ROTOR

$$\delta = 0.15, \quad \xi_i = 0.65, \quad \left(\frac{V_{22}}{V_1}\right)_{\xi} = 0.6, \quad R_v = 1.$$

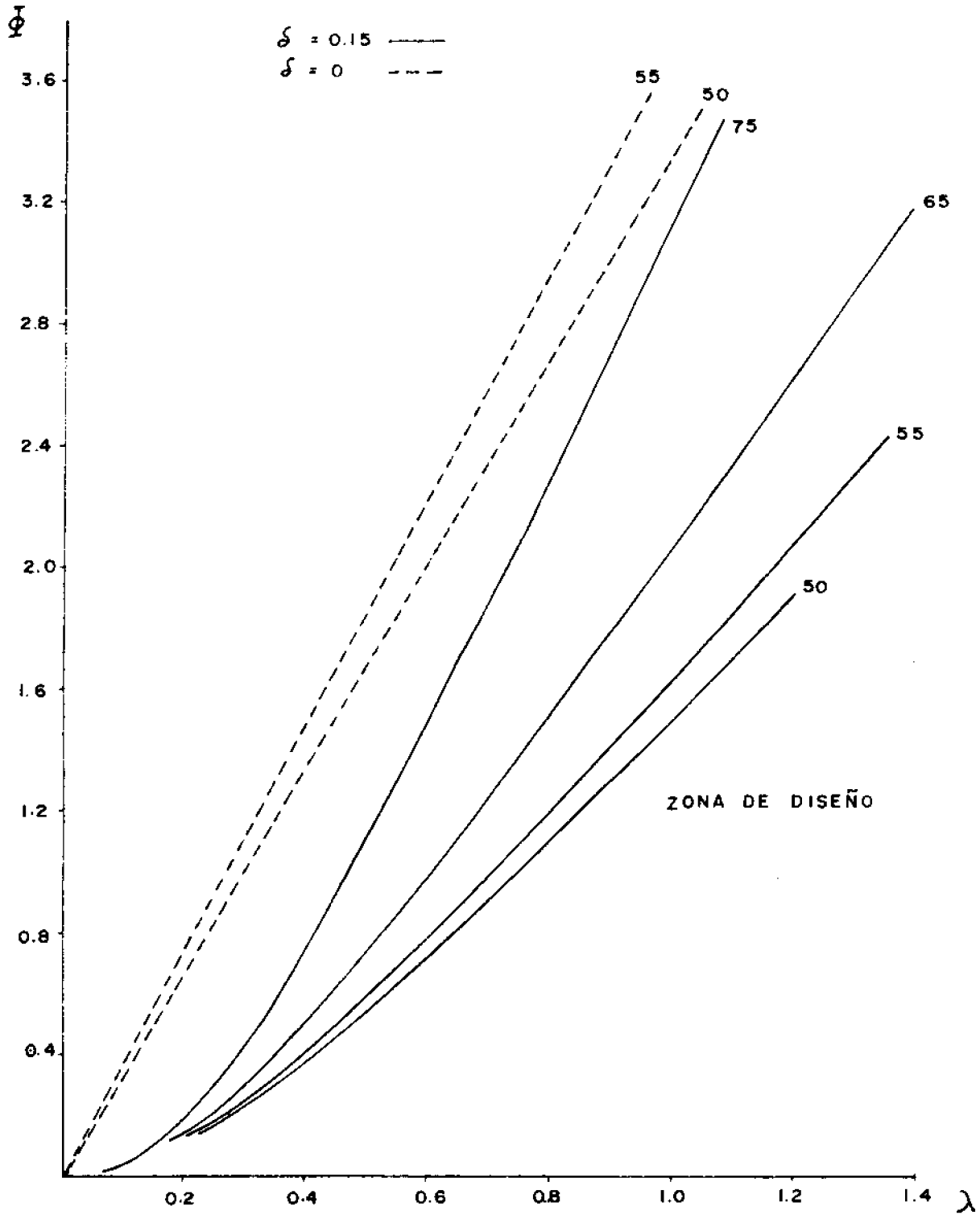


FIG. - 23-2.

CAPITULO III

ESTUDIOS TERMOMECAVICOS

1-1- INTRODUCCION

Los álabes del rotor de la turbina se encuentran sometidos a fuertes esfuerzos centrífugos y de flexión, así como también a fenómenos vibratorios; no obstante los esfuerzos de flexión son como máximo del orden del 15% de los esfuerzos centrífugos. En el caso de álabes de sección constante, dichos esfuerzos centrífugos alcanzarían valores inadmisibles en la raíz, siendo por tanto necesario disminuir el espesor de los mismos, y en consecuencia su área, desde la raíz hacia el extremo en forma tal que la distribución de esfuerzos con el radio sea lo más uniforme posible.

Debido a que además los álabes trabajan en condiciones de elevada temperatura, debe ser considerado el fenómeno de termofluencia; lo que exige la determinación de la distribución de temperatura en el interior de los mismos, previo conocimiento de la distribución de áreas. Este es el motivo por el cual realizamos aquí ambos estudios con el objetivo principal de poner de manifiesto cuantitativamente el efecto beneficioso de una distribución lineal de temperaturas T_{it} , decreciente desde el extremo a la raíz del álabe.

1-2- DISTRIBUCION DE TEMPERATURAS EN EL ALABE

Para realizar este estudio supondremos que la temperatura del álabe en cada sección es uniforme, en cambio se tendrá en cuenta que la temperatura del gas y las velocidades relativas, son función del radio, lo que se traduce en una variación de la temperatura de recuperación con el mismo. Por otra parte -

consideraremos que el proceso de transmisión de calor es estacionario, de forma que si establecemos el equilibrio térmico para un elemento diferencial de álabe, como el representado en la figura (3-1), puede obtenerse la siguiente ecuación diferencial:

$$hg r (T_r - T_a) = -K_M \left[A \frac{dT_a}{dr} + \frac{dA}{dr} T_a \right]$$

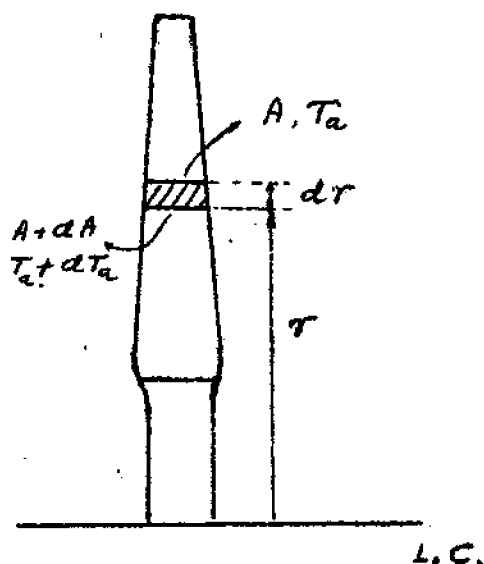


fig. 3-1.

ó bien en forma adimensional:

$$\left[\frac{A}{A_i} \frac{d^2 \theta_a}{d\xi^2} + \frac{dA/A_i}{d\xi} \frac{d\theta_a}{d\xi} \right] = - \frac{hg r_e^2}{K_M A_i} (\theta_r - \theta_a)$$

Ahora bien teniendo en cuenta que:

$$Nu = \frac{hg c}{K_g}$$

$$\left(\frac{r_e}{c} \right)^2 = \frac{1}{(1 - \xi_i)^2} \left(\frac{h}{c} \right)^2$$

puede escribirse:

$$\left[\frac{A}{A_i} \frac{d^2 \theta_a}{d\xi^2} + \frac{dA/A_i}{d\xi} \frac{d\theta_a}{d\xi} \right] = - B_g (\theta_r - \theta_a) \quad (3-1)$$

con:

$$B_g = Nu \left(\frac{K_g}{K_M} \right) \left(\frac{\Omega}{c} \right) \left(\frac{h}{c} \right)^2 \frac{1}{\frac{A_i}{c^2} (1 - \xi_i)^2} \quad (3-2)$$

El coeficiente B_g , es por tanto función de parámetros geométricos del álabe y de parámetros y constantes físicas características de todo problema de transmisión de calor. Hay que hacer notar que las variaciones de $\left(\frac{\Omega}{c} \right)$ con el radio son pequeñas; mientras que $\left(\frac{A_i}{c^2} \right)$, en álabes de cuerda constante, es una constante que depende exclusivamente de la distribución básica de espesores y deflexión geométrica del perfil. El valor de $\left(\frac{h}{c} \right)$ es constante si la cuerda permanece constante y varía normalmente entre (2-3.5), para todas las turbinas.

La ecuación diferencial (3-1), proporciona la solución del problema cuando se rijan las condiciones de contorno.

Estableciendo que el flujo de calor que pasa al álabe por convección, a través de la sección del extremo del mismo, es igual al calor que se conduce por el interior del álabe en dicha sección se obtiene:

$$\left(\frac{d\theta_a}{d\xi} \right)_{\xi=1} = B'_g \left[(\theta_r - \theta_a) \right]_{\xi=1}$$

con:

$$B'_g = Nu \left(\frac{K_g}{K_M} \right) \left(\frac{h}{c} \right) \frac{1}{1 - \xi_i} \quad (3-3)$$

La determinación del coeficiente de convección en el extremo resulta en la práctica difícil; pero carece de importancia, ya que el flujo de calor que pasa al álabe a través de la sección del extremo es pequeño comparado con el flujo de calor que pasa a través de toda la superficie lateral del mismo,

pudiéndose tomar con muy buena aproximación, según se verá en las aplicaciones numéricas, $B'g = 0$.

La condición de contorno en la raíz, puede imponerse en dos formas:

a) Especificando una temperatura para el álabe, es decir:

$$(\theta_a)_{\xi=\xi_i} = \theta_{ai}$$

La posibilidad de conseguir esta temperatura depende de la evacuación de calor a través del disco.

b) Dado que de acuerdo con los resultados experimentales, la temperatura en la periferia del disco de la turbina es prácticamente uniforme, puede escribirse:

$$K_M \left(\frac{d\theta}{d\xi} \right)_{\xi=\xi_i} = \dot{q}$$

siendo \dot{q} , el flujo de calor que pasa a través del disco por unidad de superficie periférica del mismo y por unidad de tiempo, e igual al que debe ser absorbido globalmente mediante el sistema de refrigeración, sistema de lubricación y conducción al resto de elementos del motor.

El problema de determinación de la distribución de temperaturas en el interior del álabe queda reducido por tanto, a la resolución de una ecuación diferencial de segundo orden con condiciones de contorno.

Aunque en general es necesario recurrir al cálculo numérico, hay que tener en cuenta que en este caso las condiciones de contorno no complican el problema, dado que la ecuación diferencial (3-1) es lineal; circunstancia que puede ser aprovechada para obtener su solución resolviendo el sistema de dos ecuaciones diferenciales de primer orden equivalente, mediante

técnicas de integración apropiadas para condiciones iniciales, como el método de Kutta Runge. La solución que cumple las condiciones de contorno se obtiene mediante superposición de dos soluciones con condiciones iniciales sin necesidad de recurrir a ningún proceso de iteración.

1-3- DETERMINACION DE LA TEMPERATURA DE RECUPERACION

Para poder determinar la distribución de temperatura en el interior del álabe, mediante la ecuación diferencial (3-1) y las condiciones de contorno impuestas, según los casos estudiados; es necesario determinar previamente la temperatura de recuperación θ_r , que como se ha dicho es función del radio y depende fundamentalmente de la distribución de temperaturas en la sección de salida de la cámara de combustión.

El factor de recuperación de temperatura S , si designamos con T_{2tr} la temperatura de remanso de la corriente relativa se define como sigue:

$$S = \frac{T_r - T_2}{T_{2tr} - T_2}$$

de donde se deduce:

$$T_r = T_2 + S (T_{2tr} - T_2)$$

Por otra parte S es función del número de Prandtl, pudiendo tomarse en régimen turbulento la relación: $S = Pr^{1/4}$. No obstante el número de Prandtl, para los gases resultantes de la combustión, varía poco con la temperatura en el intervalo (500 - 1.500° K) (véase tablas de Kayes and London) pudiendo tomarse como valor medio en dicho intervalo $Pr \approx 0.7$, con lo que $S \approx 0.92$. En consecuencia y desde un punto de vista conservativo puede tomarse $T_r \approx T_{2tr}$, o lo que es igual:

$$T_r \approx T_2 + \frac{W^2}{2c_p} \quad (3-4)$$

como además, del triangulo de velocidades (figura 2-1), se deduce:

$$W^2 = V_2^2 - 2UV_{\theta 2} - U^2$$

al sustituir el valor de W en la ecuación (3-4), queda:

$$T_r = T_{1t} - \frac{2UV_{\theta 2} - U^2}{2c_p}$$

ó en forma adimensional

$$\theta_r = \theta_{1t} - \frac{(\gamma-1) M_{2m}^2}{R\gamma\lambda \left(1 + \frac{\gamma-1}{2} M_{2m}^2\right)} \frac{\xi}{\xi_m} \left(\frac{V_{\theta 2}}{V_1} - \frac{\xi}{\xi_m} \frac{R\gamma}{2\lambda} \right) \quad (3-5)$$

Esta expresión es la que utilizaremos para determinar la temperatura de recuperación del gas, que como se observa, depende fundamentalmente del perfil de temperaturas θ_{1t} en la sección de salida de la cámara de combustión, de la ley torsional elegida y del número de Mach absoluto de la corriente M_{2m} en el punto medio.

1-4 - LEYES DE AREAS Y DISTRIBUCION DE ESFUERZOS

Las únicas distribuciones de áreas que se mencionan en la literatura, referente a turbomáquinas, son la lineal y la cónica, llamada así porque la variación del área de los perfiles con el radio, es una función igual a la que relaciona una sección genérica del cono con la altura. Además aquélla se presenta no porque se utilice en la práctica sino más bien a fin de realizar comparaciones con la cónica y poner de manifiesto las mejores cualidades de esta última.

El objetivo que se persigue con una variación del área del álabe en disminuir la magnitud del esfuerzo centrífugo - en la raíz, lo que equivale a conseguir una distribución de esfuerzos lo más uniforme posible y en consecuencia minimizar el volúmen ó peso del álabe, para una relación de áreas extremo-raíz determinadas.

Con estos objetivos, aquí analizamos y comparamos diversas distribuciones de áreas en forma resumida. En la figura (3-8) (pag. 85), se representan posibles distribuciones de áreas, además de las ya mencionadas; como son: la de tipo exponencial, hiperbólico y parabólico con ventajas manifiestas sobre la cónica y lineal, por cuanto el volumen del álabe que se obtendría con aquéllas es menor. No obstante - esta ventaja debe ser confirmada con la distribución de esfuerzos, y determinación del esfuerzo máximo que se obtiene con tales leyes de áreas.

El esfuerzo centrífugo, en una sección genérica del - álabe, se obtiene mediante la expresión:

$$\sigma = \frac{\rho M U_c^2}{A/A_e} \int_{\xi}^1 \frac{A}{A_e} \xi d\xi \quad (3-6)$$

Las leyes estudiadas son:

a) Distribución lineal de áreas, cuya expresión es:

$$\frac{A}{A_e} = 1 + m(1 + \xi)$$

con $m = \frac{A_i/A_e - 1}{1 + \xi_i}$, con lo que resulta:

$$\sigma = \frac{\rho M U_c^2}{16 A/A_e} \left[3(1+m) - 2m - \xi^2 (3(1+m) - 2m\xi) \right]$$

b) Distribución de áreas de tipo cónico, dada por:

$$\frac{A}{A_e} = \left(\frac{c - \xi_i}{c - 1} \right)^2 \quad (3-8)$$

con:

$$c = \frac{1 - \xi_i (A_e/A_i)^{1/2}}{1 - (A_e/A_i)^{1/2}}$$

por lo que se obtiene:

$$\Delta = \frac{\rho M U_e^2}{2(c - \xi_i)^2} \left[(c - \xi_i)^3 (c + 3\xi_i) - (c - 1)^2 (c + 3) \right]$$

c) Ley de áreas exponencial, cuya expresión es:

$$\frac{A}{A_e} = e^{\left(\frac{1 - \xi_i}{1 - \xi_i} \right) l A_i/A_e} = \left(\frac{A_i}{A_e} \right)^{\frac{1 - \xi_i}{1 - \xi_i}}$$

de lo que se deduce:

$$\Delta = \frac{\rho M U_e^2}{K_2^2} \left(K_2 \xi_i + 1 - \frac{K_2 + 1}{A/A_e} \right), \text{ con } K_2 = l \frac{A_i/A_e}{1 - \xi_i}$$

d) Distribución de áreas parabólica:

$$\frac{A}{A_e} = \frac{A_i}{A_e} - \left(\frac{A_i}{A_e} - 1 \right) \sqrt{\frac{\xi - \xi_i}{1 - \xi_i}}$$

con lo que resulta:

$$\Delta = \frac{\rho M U_e^2}{2kr} \left\{ 1 - \frac{8}{15} \left(1 - \frac{A_e}{A_i} \right) \left(\frac{3}{2} + \xi_i \right) (1 - \xi_i) - \xi_i^2 + \frac{8}{15} \left(1 - \frac{A_e}{A_i} \right) (\xi - \xi_i) \sqrt{\frac{\xi - \xi_i}{1 - \xi_i}} \left(\xi_i + \frac{3}{2} \xi \right) \right\}$$

siendo

$$A_r = 1 - \left(1 - \frac{A_e}{A_i} \right) \sqrt{\frac{\xi - \xi_i}{1 - \xi_i}}$$

e) Distribución de áreas hiperbólica

$$\frac{A}{A_R} = \left(\frac{1 - \xi_0}{\xi - \xi_0} \right), \text{ con } \xi_0 = \frac{\xi_i - A_R/A_i}{1 - A_R/A_i}$$

con lo que se obtiene:

$$\sigma = \frac{\rho M U_e^2}{A/A_e} \left[1 - \xi + \xi_0 \left(\frac{1 - \xi_0}{\xi - \xi_0} \right) \right] (1 - \xi_0)$$

Con las expresiones expuestas, se han obtenido las distribuciones de esfuerzos que se presentan en las figuras (3-5) a (3-7) pág. 84 y 85, deduciéndose que:

1º con la ley de tipo parabólico se obtienen esfuerzos superiores a los obtenidos con la ley cónica, aunque el máximo en el primer caso no se presenta en la raíz.

2º La ley de tipo hiperbólico fig. (3-7) (pag. 85), se comporta favorablemente hasta valores de $A_e/A_i \approx 0.35$; pero es desventajosa para valores más bajos, que son los que se dan en la práctica.

3º La ley de tipo exponencial presenta un perfil muy uniforme y con ella se obtienen los menores esfuerzos en la raíz del álabe, sección donde se alcanza el máximo.

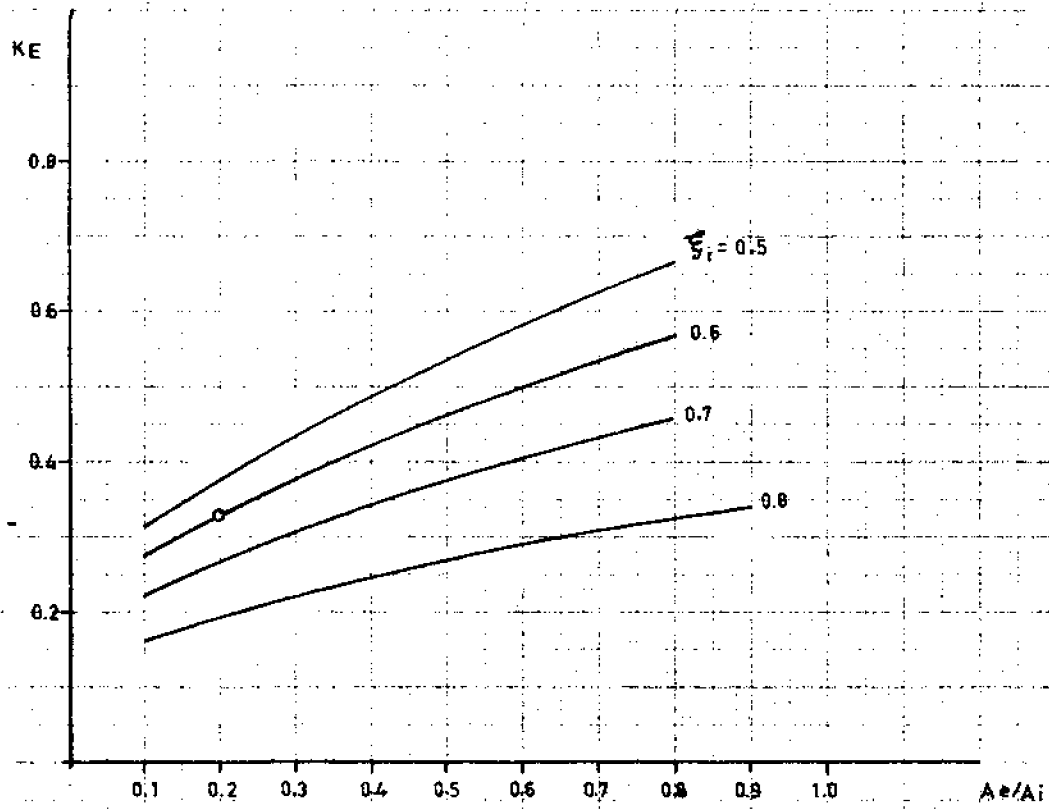
El coeficiente de esfuerzos, definido mediante la relación:

$$k = \frac{\sigma_i}{\frac{1}{2} \rho M U_e^2}$$

resulta independiente del material de los álabes y de la velocidad de giro, dependiendo en cambio solamente de características geométricas del mismo, por lo que resulta muy útil en el diseño.

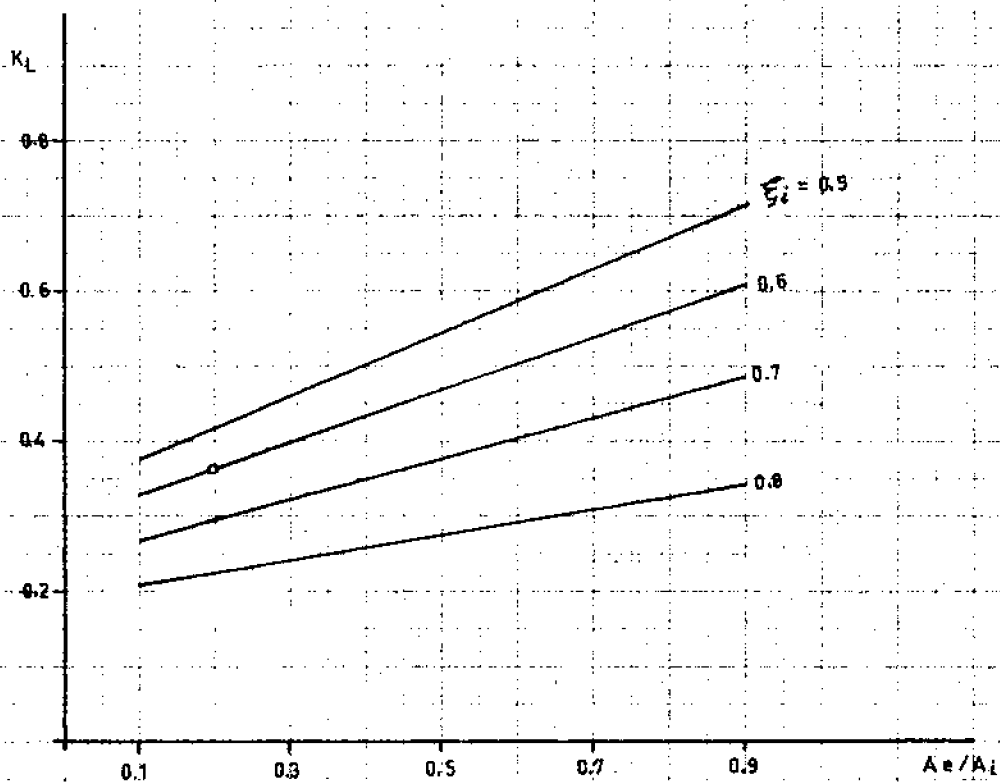
En las figuras (3-2), (3-3) y (3-4) (pag. 82 y 83) se representa la variación del coeficiente de esfuerzos, para las leyes de -

areas lineal, cónica y exponencial respectivamente, en función de la relación de areas $\frac{A_e}{A_i}$ con ξ_i como parámetro.



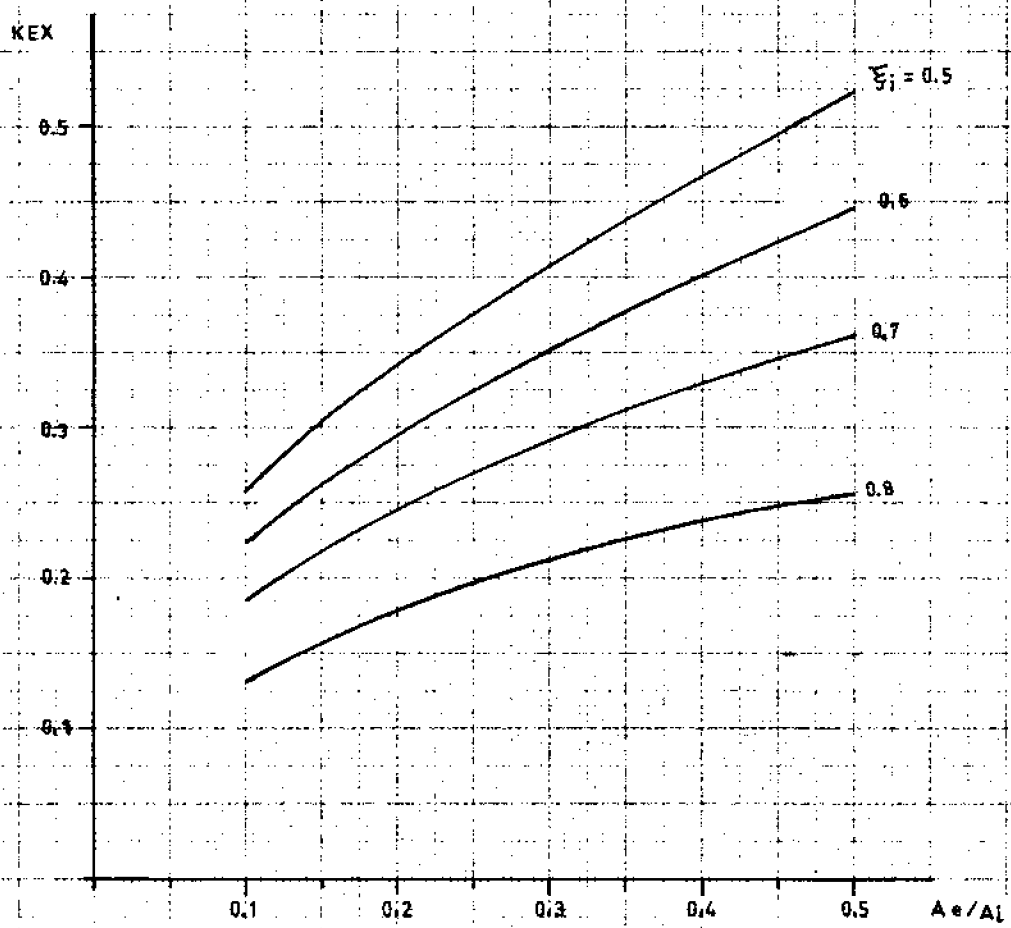
(COEFICIENTE DE ESFUERZOS, LEY DE AREAS TIPO CONICO)

FIG.- 3-3.



(COEFICIENTE DE ESFUERZOS, LEY DE AREAS LINEALES)

FIG.- 3-2.



COEFICIENTE DE ESFUERZOS LEY DE AREAS EXPONENCIAL

FIG. - 3-4

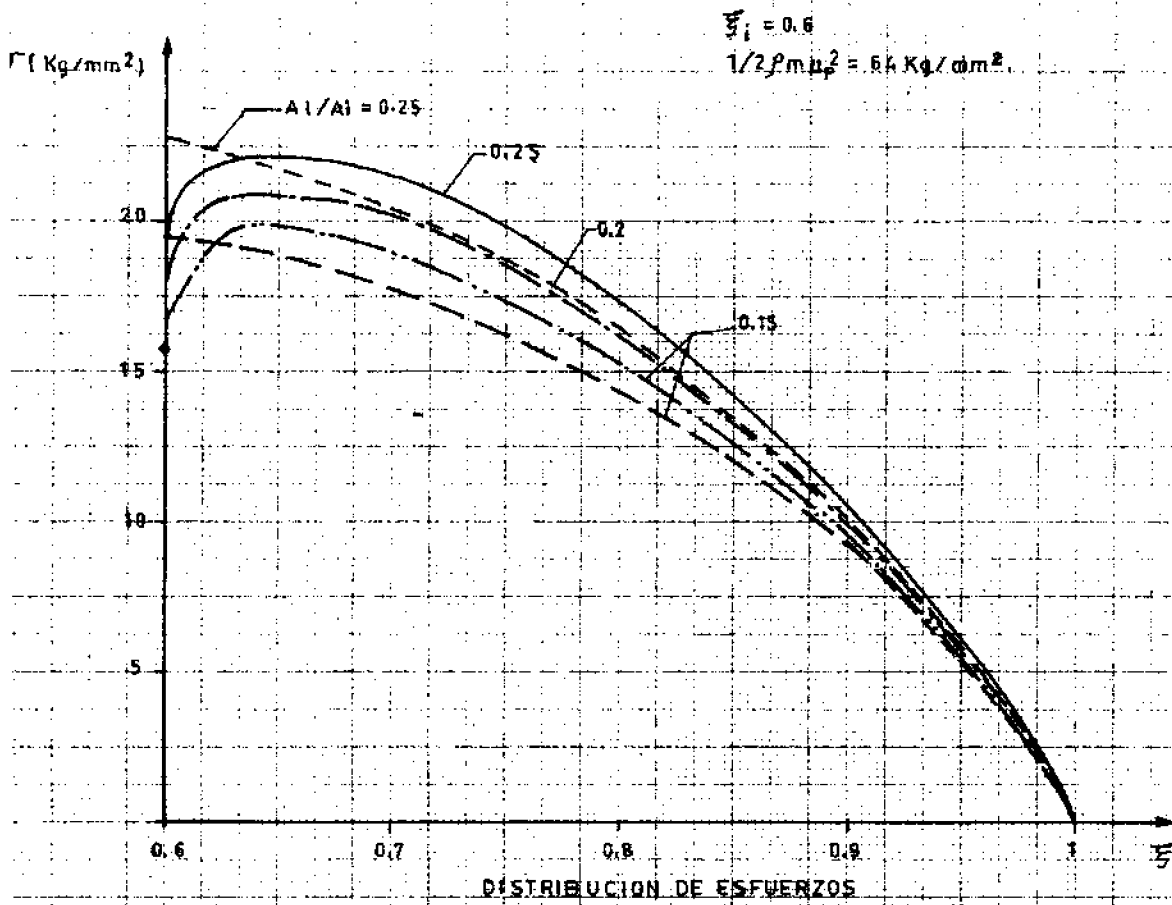


FIG. - 3 - 5

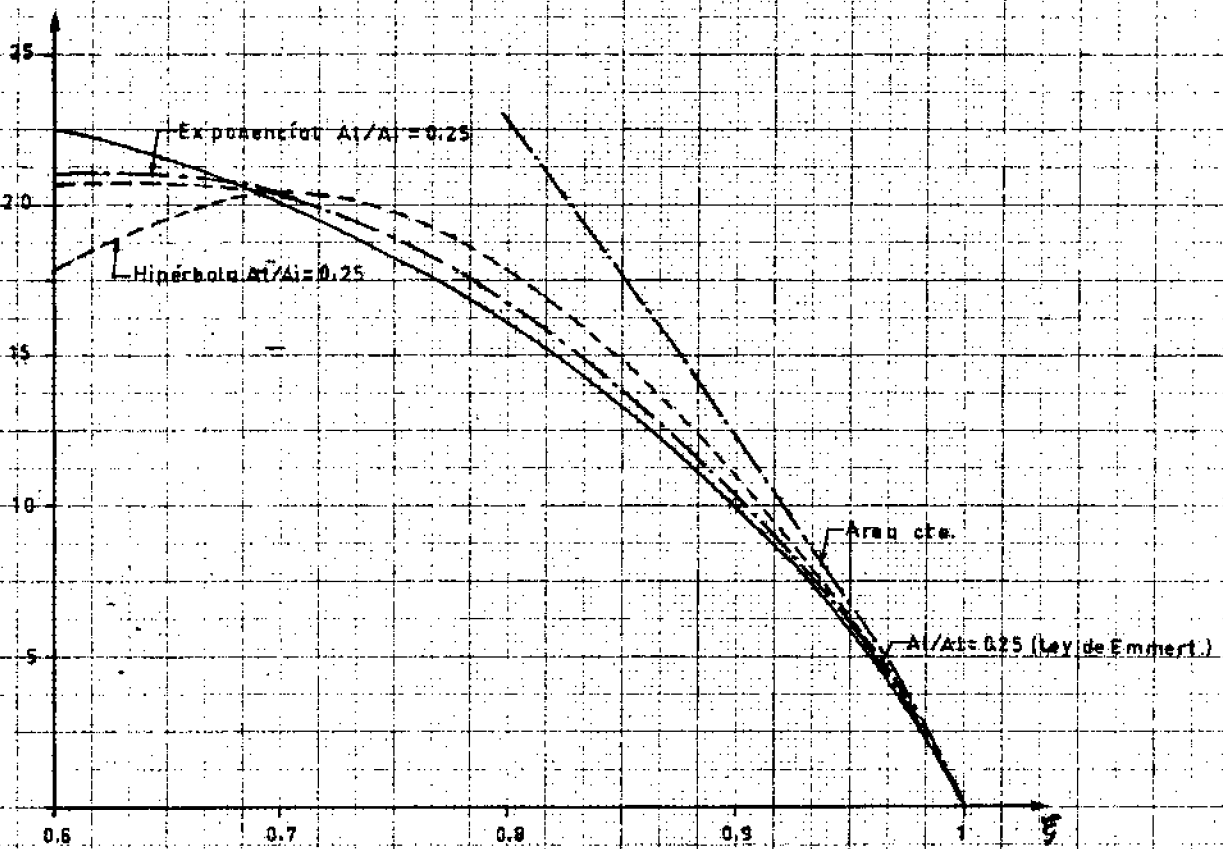


FIG. - 3 - 6

DISTRIBUCION DE ESFUERZOS
 (DISTRIBUCION DE AREAS HIPERBOLICA)

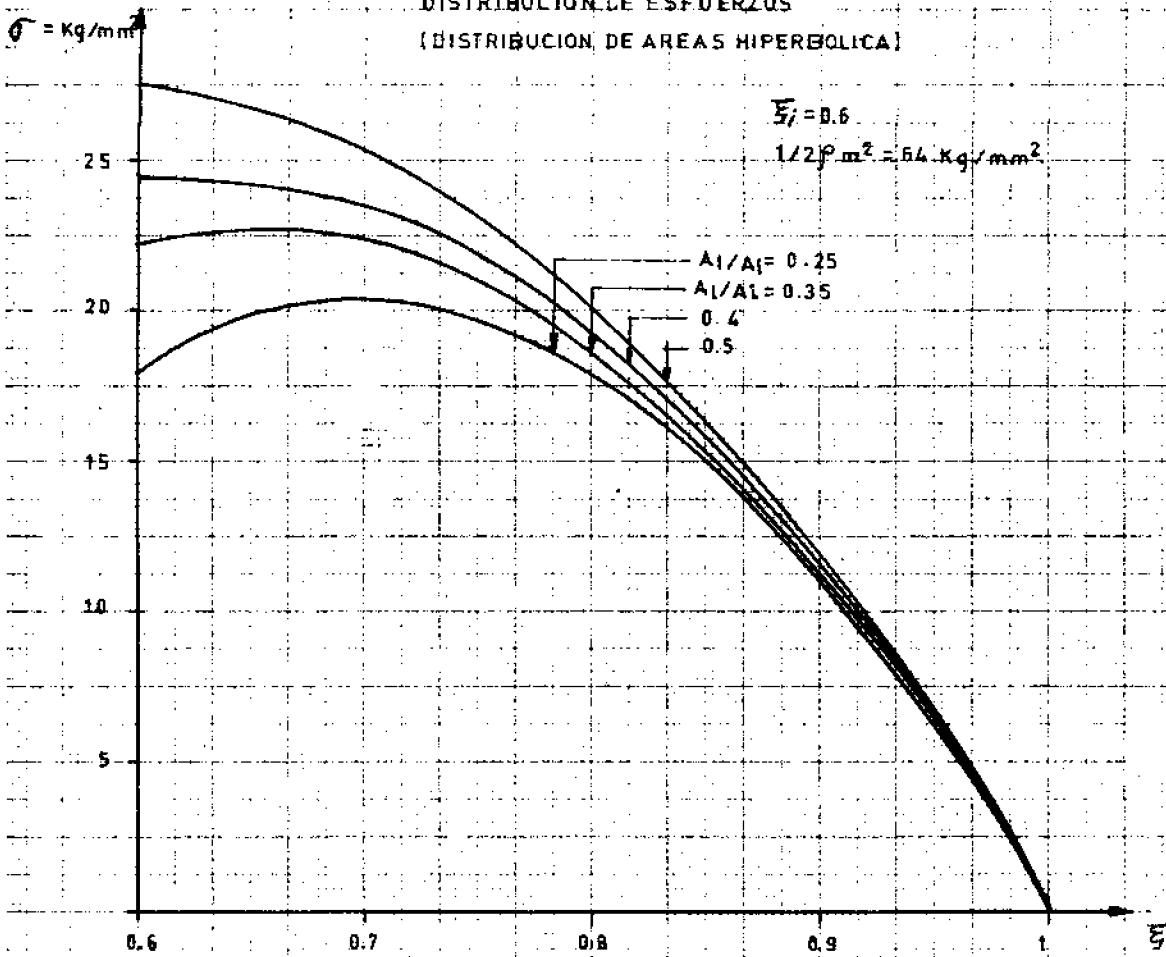


FIG. 3-7.

(DISTRIBUCION DE AREAS)

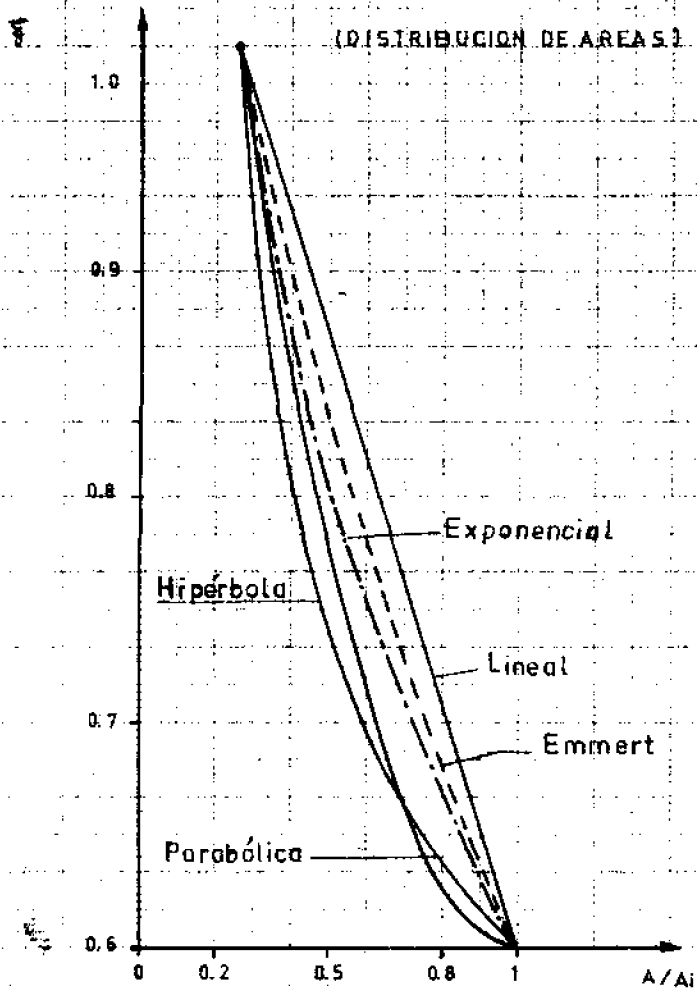


FIG. 3-8.

1-5 - SOLUCION ANALITICA DE LA DISTRIBUCION DE TEMPERATURAS

La ecuación diferencial (3-1), que proporciona la distribución de temperaturas en el álabe, puede resolverse en cualquier caso, mediante el procedimiento numérico indicado. No obstante puede encontrarse una solución analítica, cuando la distribución de áreas es de tipo cónico y el coeficiente Bg no varía apreciablemente. El interés de esta solución radica en la posibilidad de comparar las distribuciones de temperatura obtenidas en el caso homoentrópico y no homoentrópico, con relativa facilidad.

Teniendo en cuenta la relación (3-8) y mediante el cambio de variable $y = \frac{c - \xi}{c - \xi_i}$, la ecuación (3-1) queda reducida a:

$$\frac{d^2 \theta_a}{dy^2} + \frac{d \theta_a}{dy} = \frac{Bg}{(c - \xi_i)^2} (\theta_a - \theta_w) \quad (3-9)$$

Ecuación lineal de coeficientes constantes cuya solución general será:

$$\theta_a = k_1 e^{r_1 y} + k_2 e^{r_2 y} + \theta_{ap}$$

donde:

$$r_1 = \frac{-1 + \sqrt{1 + 4Bg(c - \xi_i)^2}}{2} \quad (3-10)$$

$$r_2 = \frac{-1 - \sqrt{1 + 4Bg(c - \xi_i)^2}}{2}$$

La solución particular de la ecuación completa es θ_{ap} y k_1 y k_2 son constantes que se determinan con las condiciones de contorno.

El cálculo de la solución particular puede realizarse por el método de variación de las constantes, aunque en el caso de torbellino libre y distribución de temperaturas polinómica pue

de obtenerse fácilmente, teniendo en cuenta que para este caso la expresión (3-5), que proporciona la temperatura de recuperación, es también de tipo polinómico.

Si como venimos haciendo, se aplica al caso de distribución lineal de temperaturas ($\theta_{iz} = B + M\xi$) se obtiene:

$$\theta_{ap} = F'e^{2Y} + E'e^Y + G'$$

con

$$F' = \frac{Bq F (\xi_i - C)^4}{Bq (\xi_i - C)^2 - 6}$$

$$E' = \frac{Bq (2CF + M) (\xi_i - C)^3}{Bq (\xi_i - C)^2 - 2}$$

$$G' = FC^2 + MC + Bq - \frac{\psi}{\lambda(1+\psi^2)} \frac{(\gamma-1) M_{2m}^2}{\left(1 + \frac{\gamma-1}{2} M_{2m}^2\right)} \quad (3-11)$$

$$F' = \frac{1}{\lambda^2(1+\psi^2)} \frac{\gamma-1}{2\xi_m^2} \frac{M_{2m}^2}{1 + \frac{\gamma-1}{2} M_{2m}^2}$$

De forma que en definitiva queda:

$$\theta_a = K_1 e^{r_1 Y} + K_2 e^{r_2 Y} + F' e^{2Y} + E' e^Y + G'$$

ó mediante el cambio $X = e^Y$, es decir $X = \frac{C - \xi}{C - \xi_i}$, que resulta más cómodo, se tiene:

$$\theta_a = K_1 X^{r_1} + K_2 X^{r_2} + F' X^2 + E' X + G' \quad (3-12)$$

Después de lo expuesto en el apartado (1-2), las condiciones de contorno para nuestro problema serán:

$$a) \quad \left(\frac{d\theta_a}{d\xi}\right)_{\xi=\xi_e} = B'q (\theta_r - \theta_a)_{\xi=1} \quad (3-13)$$

$$b) \quad (\theta_a)_{\xi=\xi_i} = \theta_{ai}$$

con lo que se obtiene un sistema de dos ecuaciones con las constantes K_1 y K_2 como incógnitas del que se deduce:

$$K_1 = \frac{SV - Z}{V - T} \quad (3-14)$$

$$K_2 = \frac{Z - TS}{V - T}$$

con:

$$S = \theta_{ai} - F' - E' - G'$$

$$T = X_e^{r_i-1} \left(B'g X_e - \frac{r_i}{c - \epsilon_i} \right)$$

$$V = X_e^{r_e-1} \left(B'g X_e - \frac{r_e}{c - \epsilon_i} \right) \quad (3-15)$$

$$Z = B'g (\theta_{ve} - G') - F' X_e \left(B'g X_e - \frac{2}{c - \epsilon_i} \right) - E' \left(B'g X_e - \frac{1}{c - \epsilon_i} \right)$$

La ecuación (3-12), con las relaciones (3-14) y (3-18), proporciona la distribución de temperaturas en un interior del álabe, cuando la distribución de temperaturas θ_{it} es lineal. El caso de distribución uniforme de temperaturas, es un caso particular del obtenido cuando $K=1$ y $M=0$; lo cual será utilizado en lo que sigue, para comparar las distribuciones de temperaturas en ambos casos.

1-6 INFLUENCIA DE LA NO HOMOENTROPIA DE LA CORRIENTE EN LA DISTRIBUCION DE TEMPERATURA EN EL ALABE

El interés de una distribución lineal de temperaturas T_{it} , decreciente desde el extremo a la raiz, radica en la posibilidad de que las temperaturas que se alcancen en la raiz del álabe sean menores que en el caso de temperatura uniforme, lográndose en consecuencia aumentar la vida ó el esfuerzo de trabajo del material, teniendo en cuenta el fenómeno de fluencia.

Interesa pues realizar una aplicación numérica que ponga de manifiesto cuantitativamente los efectos beneficiosos de tal distribución de temperaturas sobre el caso uniforme.

Para poder comparar la distribución de temperaturas en el álabe en ambos casos es necesario partir de una hipótesis lógica, que consiste en suponer que el flujo de calor a través del disco de la turbina es el mismo en ambos casos. La experiencia demuestra que la temperatura en la periferia del disco es prácticamente uniforme, por lo que el flujo de calor a través de disco por unidad de superficie y por unidad de tiempo será:

$$\dot{q} = k_M \left(\frac{dT_a}{dr} \right)_{r=r_1}$$

De lo que se deduce que nuestra hipótesis implica que:

$$\left(\frac{d\theta_a}{d\xi} \right)_{\xi=\xi_1} = \left(\frac{d\theta_{ah}}{d\xi} \right)_{\xi=\xi_1} \quad (3-16)$$

Siendo θ_a la temperatura en el interior del álabe en el caso no homocentrópico y θ_{ah} la temperatura en el caso homocentrópico. Utilizaremos de ahora en adelante esta nomenclatura a fin de evitar confusiones denotando con el subíndice h constantes ó variables referidas al caso homocentrópico y sin subíndice las referidas al caso no homocentrópico.

Establecida esta hipótesis que implica la relación (3-16), describiremos el método seguido para la obtención de resultados comparativos.

Mediante la ecuación (3-12) y las condiciones de contorno (3-13), se obtiene:

$$\theta_{ah} = K_{1h} X^{r_1} + K_{2h} X^{r_2} + F'_h X^2 + E'_h X + G'_h \quad (3-17)$$

Las constantes de esta expresión se obtienen con las relaciones (3-10), (3-11), (3-15) y (3-15), pero con $M=0$, $B=1$.

La distribución de temperatura para el caso no homocéntrico se obtiene igualmente de la ecuación (3-12), pero la determinación de las constantes se efectúa al imponer las condiciones de contorno (3-13a) y (3-16), con lo que se obtiene:

$$\theta_0 = K_1 X^{r_1} + K_2 X^{r_2} + F' X^2 + E' X + G'$$

Las constantes F' , E' y G' vienen determinadas por las relaciones (3-11), pero en cambio K_1 y K_2 se deducen de:

$$K_1 = \frac{VW - r_2 Z}{r_1 V - r_2 T}$$

$$K_2 = \frac{r_1 Z - TW}{r_1 V - r_2 T}$$

con V , Z , T , determinadas por las relaciones (3-15) y W determinada mediante la expresión:

$$W = r_1 K_1 h + r_2 K_2 h + \frac{M B g (C - \xi_i)^3}{B g (C - \xi_i)^2 - 2}$$

En las figuras (3-10) pag. 95 y (3-11) pag. 96 se representan las distribuciones de temperaturas obtenidas para $\delta=0$ y $\delta=0.2$, con el procedimiento indicado.

El valor del parámetro Bg , ha sido estimado a través de la expresión (3-2), teniendo en cuenta los siguientes valores geométricos y característicos del problema de transmisión de calor que nos ocupa:

$$\left(\frac{\Omega}{c}\right) = 2.5 \quad ; \quad \frac{A_i}{c^2} = 0.75$$

$$\left(\frac{h}{c}\right) = 2.5 \quad ; \quad \xi_i = 0.6$$

$$\lambda = 0.6 \quad ; \quad \alpha_{em} = 55^\circ$$

$$Nu = 350 \text{ (Ref. 5).}$$

$$K_g = 2.191 \cdot 10^4 \frac{\text{cal.}}{\text{cm. sq. } ^\circ\text{C}}$$

$$K_M = 0.0865 \frac{\text{cal.}}{\text{cm. sq. } ^\circ\text{C}}$$

Los valores correspondientes a $\left(\frac{\Omega_k}{c}\right)$ y $\left(\frac{A_i}{c^2}\right)$, se han deducido de las características geométricas de perfiles de línea media parabólica y distribución de espesor C-4 (fig. 3-9) -- (pg. 94). Estas características se han obtenido mediante medida del área, (con planímetro) y medida del perímetro (con curvímetro) de 7 perfiles dibujados de distinta deflexión geométrica.

El valor del parametro B'g, como se ha mencionado, es difícil de estimar; no obstante para poner de manifiesto su influencia se ha calculado la distribución de temperaturas con B'g=2.23, correspondiente a Nu=350 y con B'g= 0.

Como puede verse en la Tabla (3-1), su influencia es inapreciable. Se estima que debe tomarse en la práctica el valor B'g=0, teniendo en cuenta además que el flujo de calor a través del extremo es muy pequeño.

Igualmente se ha obtenido la distribución de temperaturas para una distribución de áreas tipo exponencial, mediante calculo numérico; los resultados se presentan en la fig. (3-12) (pag. 97). Por otra parte resultados obtenidos con varios valores diferentes de ζ_i y λ , indican que estos parámetros ejercen poca influencia sobre la temperatura en la raíz.

Las Tablas (3-2), ponen de manifiesto que la diferencia de temperaturas que se obtiene en la raíz entre el caso homogéneo trópico y no homogéneo es el valor de:

TABLA (3-1)

$$M_{2m} = 0.9; \lambda = 0.6; A_0/A_1 = 0.20; \alpha_{2m} = 55^\circ$$

$(T_a/T_{1tm})_{\delta=0}^{B'_\delta=0}$	$(T_a/T_{1tm})_{\delta=0}^{B'_\delta=2.23}$	$(T_a/T_{1tm})_{\delta=0.2}^{B'_\delta=0}$	$(T_a/T_{1tm})_{\delta=0.2}^{B'_\delta=2.23}$
0.8	0.8	0.658	0.658
0.85	0.85	0.722	0.722
0.881	0.881	0.785	0.785
0.902	0.902	0.849	0.849
0.919	0.919	0.912	0.912
0.934	0.934	0.977	0.977
0.949	0.949	1.042	1.042
0.964	0.964	1.102	1.103
0.972	0.973	1.136	1.141

TABLA (3-2)

$$M_{2m} = 0.85; \lambda = 0.6; \alpha_{2m} = 55^\circ; \xi_i = 0.6; A_0/A_1 = 0.2; B_g = 125$$

δ	$(T_a/T_{1tm})_E$	$(T_a/T_{1tm})_{EX}$
0	0.8	0.8
0.1	0.729	0.728
0.15	0.693	0.692
0.20	0.658	0.656

Nota: Continua en la página siguiente.

$$M_{2m} = 0.85; \lambda = 0.6; \alpha_{2m} = 55^\circ; \xi_i = 0.6; A_e/p_i = 0.25; B_g = 185$$

δ	$(T_a/T_{tm})_E$	$(T_a/T_{tm})_{EX}$
0	0.8	0.8
0.1	0.726	0.7258
0.15	0.69	0.688
0.20	0.653	0.652

Nota: El subíndice E, significa datos obtenidos con distribución de áreas de tipo cónico.

El subíndice Ex, significa datos obtenidos con distribución de áreas exponencial.

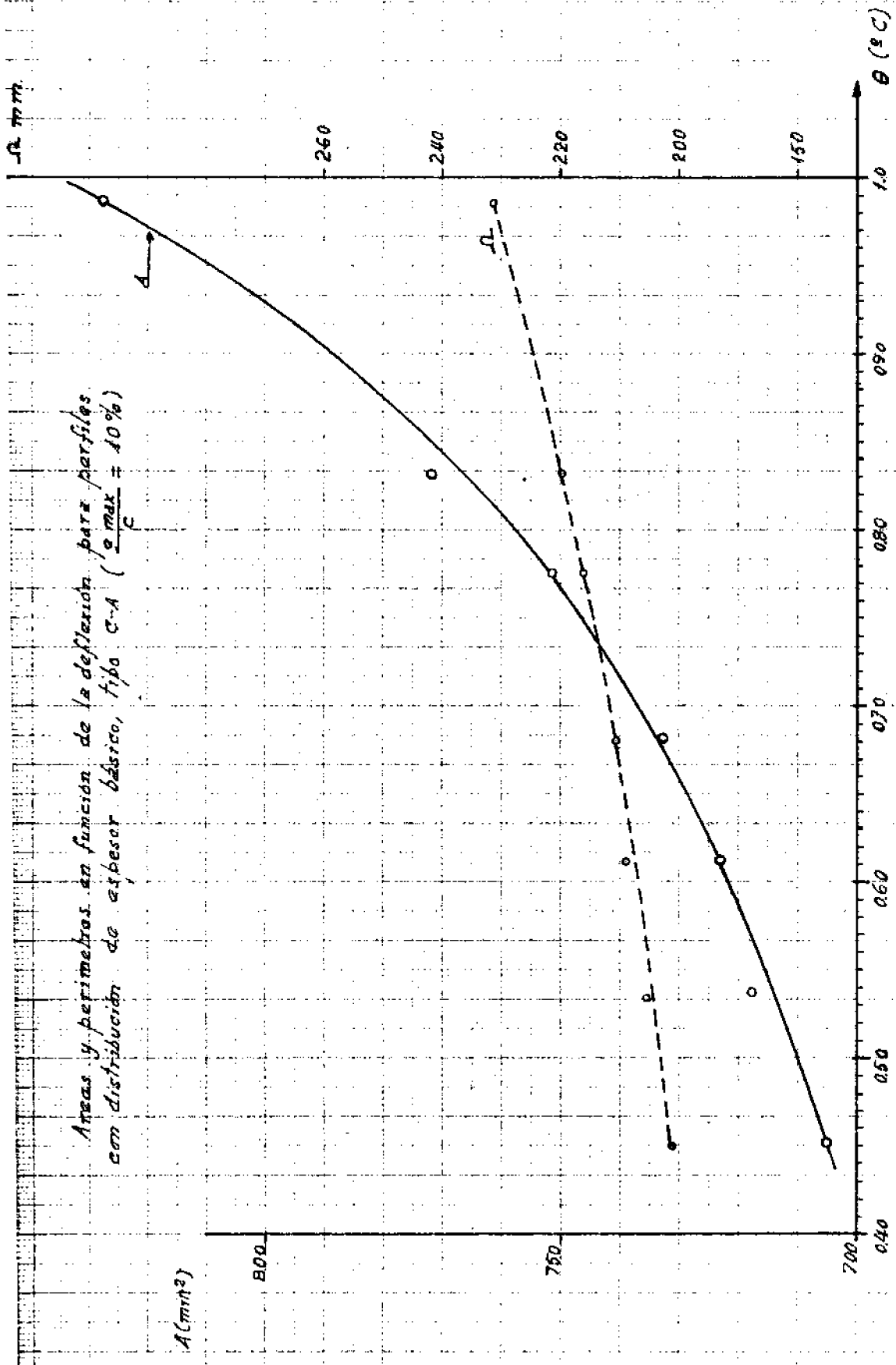


Fig.- 9-3.

Distribución de temperaturas en el Alabe

Ley de áreas cónica

$$\begin{cases} A1/A2 = 0.20 \\ Bg = 185 \\ Bg = 0 \\ M_{2m} = 0.9 \end{cases}$$

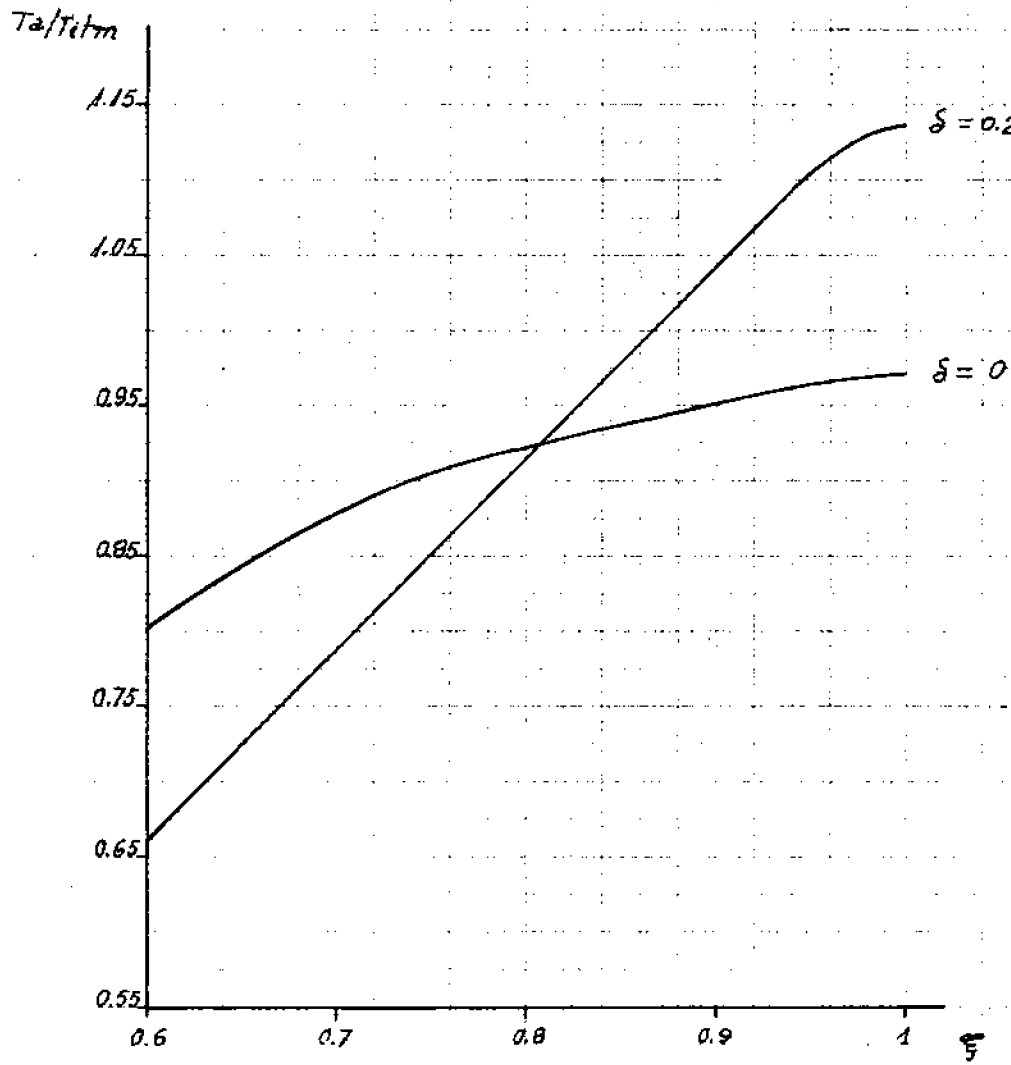


FIG. 10-3.

Distribución de temperaturas en el Alabe

Ley de áreas cónicas

$$\begin{cases} A_1/A_2 = 0.25 \\ B_2 = 185 \\ B_3 = 0 \\ M_{2H} = 0.9 \end{cases}$$

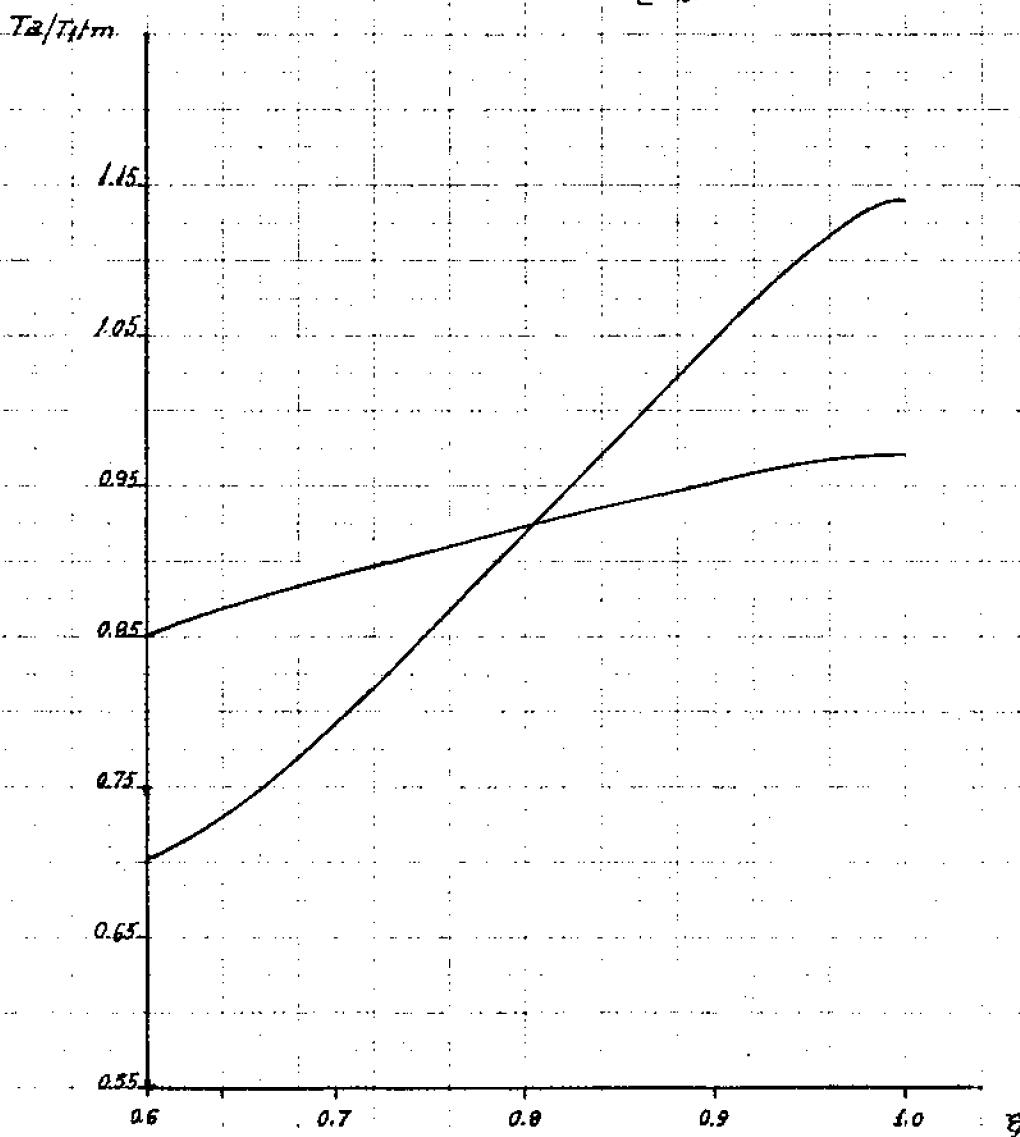


FIG.- 11-3.

Distribución de Temperaturas en el alabe

Ley de Areas Exponencial $\left\{ \begin{array}{l} A1/Ai = 0.20 \\ Bg = 185 \\ Bg = 0 \\ Ham = 0.9 \end{array} \right.$

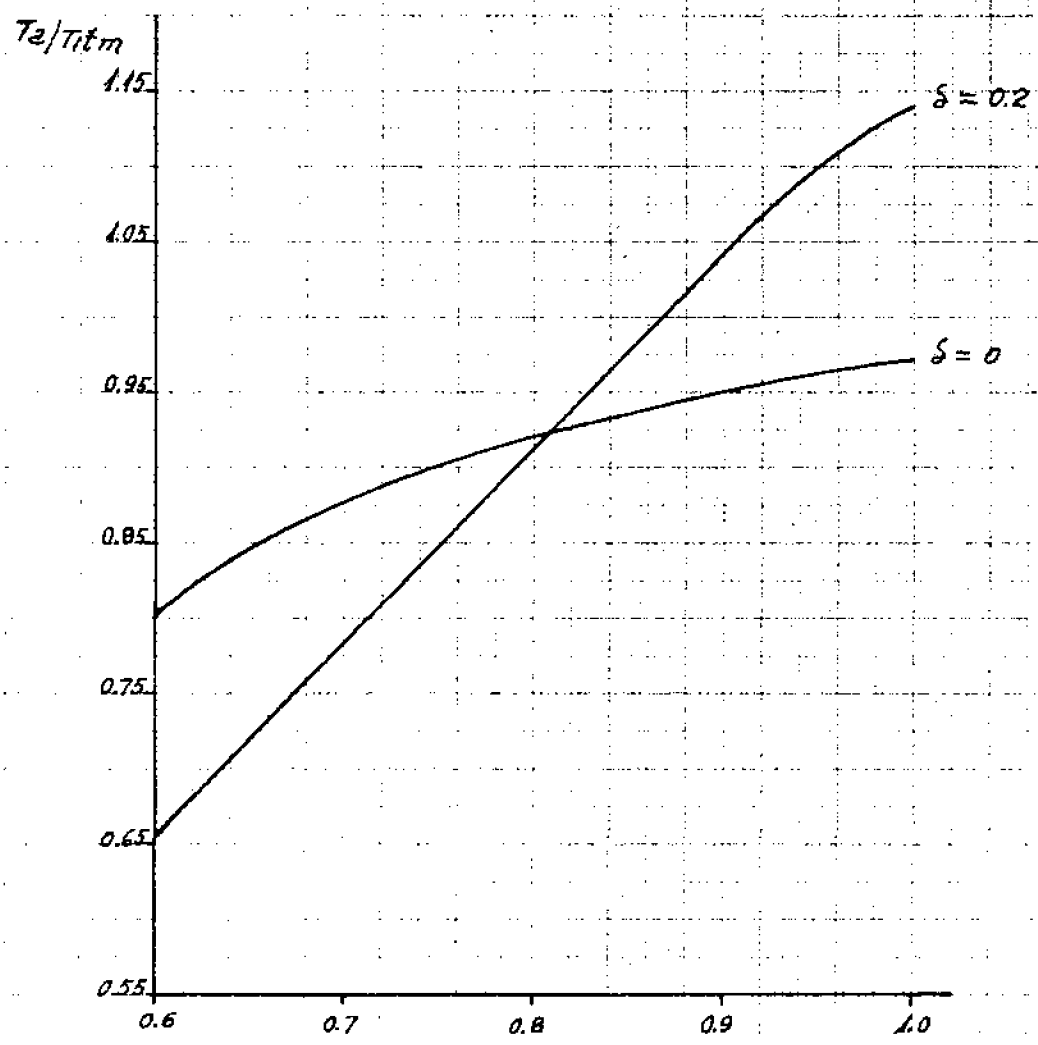


FIG- 12-3

CAPITULO IV

SOLUCION NUMERICA

4-1 INTRODUCCION

Para obtener una solución analítica del problema de determinación de las variables fluidas y ángulos de la corriente en un escalón, ha sido necesario simplificar las ecuaciones mediante el establecimiento de la hipótesis consistente en suponer que las desviaciones radiales son pequeñas, con lo que hemos visto se desprecian los términos en velocidades radiales y sus derivadas en la ecuación del impulso.

El objeto de este capítulo es obtener la solución del problema reteniendo todos los términos, mediante cálculo numérico, a fin de comprobar la validez de subsodicha hipótesis.

La primera parte va dirigida al planteamiento y desarrollo de las ecuaciones que resuelven el problema indirecto, así como a la descripción del método numérico empleado y resultados obtenidos.

En la segunda parte se plantea el problema de actuaciones y se expone igualmente el método de cálculo.

Finalmente se efectúa un juicio crítico sobre la validez de la hipótesis de las pequeñas desviaciones radiales y se expone un método de linealización que permite encontrar una solución analítica aproximada para el estator en el caso de torbellino libre y corriente homoentrópica.

4-2 PLANTEAMIENTO DE LAS ECUACIONES QUE RESUELVEN EL PROBLEMA EN EL ESTATOR.

Recordemos que la componente radial de la ecuación del impulso, aplicada en la sección 2, proporciona:

$$\left(\frac{\partial V_m}{\partial r}\right)_2 + P(r) V_{m2}^2 = T(r) \quad (4-1)$$

con:

$$P(r) = \varrho \left[\frac{\cos \varphi}{rc} - \frac{\sec \varphi}{V_m} \frac{\partial V_m}{\partial m} - \frac{1}{\partial T_{it}} \left[\frac{\partial T_{it}}{\partial r} \right]_1 \frac{dr_1}{dr_2} \right]_2$$

$$T(r) = \varrho \left[\frac{V_{\theta 2}^2 - V_i^2}{\partial T_{it}} \left[\frac{\partial T_{it}}{\partial r} \right]_1 \frac{dr_1}{dr_2} - \frac{V_{\theta 2}}{r_2} \left(\frac{\partial r V_{\theta}}{\partial r} \right)_2 \right]$$

Por otra parte de la ecuación de continuidad (véase apéndice) se obtiene:

$$\left[\frac{\sec \varphi}{V_m} \frac{\partial V_m}{\partial m} \right]_1 = - \left[\frac{(1 + M_{\theta}^2 + \frac{r}{\cos \varphi rc}) \frac{\sec^2 \varphi}{r} + \frac{\tan \varphi}{r} \frac{\partial \varphi}{\partial r}}{1 - M_m^2} \right]_2$$

con lo cual $P(r)$, puede escribirse en la forma:

$$P(r) = \varrho \left[\frac{\cos \varphi}{rc} + \frac{(1 + M_{\theta}^2 + \frac{r}{\cos \varphi rc}) \frac{\sec^2 \varphi}{r} + \frac{\tan \varphi}{r} \frac{\partial \varphi}{\partial r}}{1 - M_m^2} - \frac{1}{\partial T_{it}} \left(\frac{\partial T_{it}}{\partial r} \right)_1 \frac{dr_1}{dr_2} \right]_2$$

La ecuación de continuidad aplicada a un tubo de corriente, - entre las secciones 1 y 2, fig. (1-2), proporciona también:

$$r_1 \rho_1 V_{z1} dr_1 = r_2 \rho_2 V_{z2} dr_2 \quad (4-2)$$

La ecuación del impulso (4-1) y la ecuación de continuidad -- (4-2) constituyen el sistema básico de nuestra solución, pero antes de plantear la forma definitiva en la que van a ser utilizadas, es conveniente estudiar por separado el caso de ley torsional torbellino libre y ángulo de la directriz constante.

Por otra parte la ecuación del impulso puede ser considerada como una ecuación en derivadas ordinarias puesto que el problema que tratamos de resolver es el cálculo de las variables fluidas en la sección (2) y por tanto $V_1 = \text{cte.}$

4-2-1 LEY TORSIONAL TORBELLINO LIBRE

Teniendo en cuenta que la ley torsional torbellino libre es: $(\tau \cdot V_{\theta 2}) = \text{cte.}$, resultará $(d\tau V_{\theta 2}/dr)_2 = 0$

Por otra parte, dado que $\tau_2 = f(r_1)$, puede escribirse:

$$\frac{d}{dr_2} = \frac{d}{dr_1} \frac{dr_1}{dr_2}$$

si además tenemos en cuenta que $\left(\frac{dV_m}{dr}\right)_2^2 = 2V_m \left(\frac{dV_m}{dr}\right)_2$, las ecuaciones diferenciales (4-1) y (4-2), en forma adimensional, pueden escribirse como sigue:

$$\left. \begin{aligned} \frac{d(V_{m2}/V_1)}{d\xi_1} &= T(\xi_1) \frac{1}{(V_{m2}/V_1)} - P(\xi_1) \left(\frac{V_{m2}}{V_1}\right) \\ \frac{d\xi_2}{d\xi_1} &= \frac{P_1}{P_1 M^2} \frac{1}{P_2/P_1 M^2} \frac{\xi_1}{\xi_2} \frac{1}{V_{m2}/V_1 \cos \varphi} \end{aligned} \right\} \quad (4-3)$$

con:

$$\begin{aligned} \text{a) } T(\xi_1) &= \frac{1}{2} \left[\left(\frac{V_{\theta 2}}{V_1}\right)^2 + \left(\frac{V_{m2}}{V_1}\right)^2 - 1 \right] \frac{1}{T_{st}/T_{1st}} \frac{d(T_{st}/T_{1st})}{d\xi_1} \\ \text{b) } P(\xi_1) &= \left[\frac{\cos \varphi r_{e1}}{r_c} \frac{d\xi_2}{d\xi_1} + \frac{(1 + M_0^2 + \xi_2 r_{e1})}{\cos \varphi r_c} \frac{r_{e1}^2 \varphi d\xi_2}{\xi_2 d\xi_1} + \xi_2 \varphi \frac{d\varphi}{d\xi_1} \right]_2 \quad (4-4) \\ \text{c) } \frac{V_{\theta 2}}{V_1} &= \varphi \frac{\xi_{2m}}{\xi_2} \quad (\text{fijada por la ley torsional}) \end{aligned}$$

El sistema de ecuaciones diferenciales (4-3) puede ser resuelto numéricamente, con lo que se obtendrá $(V_{m2}/V_1) = \frac{V_{m2}}{V_1}(\xi_1)$ y $\xi_2 = \xi_2(\xi_1)$, previa determinación de las funciones que relacionan φ , r_c y cualquier variable fluida con: $\xi_1, \xi_2, \frac{V_{m2}}{V_1}$

4-2-2 DIRECTRIZ CON ANGULO DE SALIDA CONSTANTE

Con esta ley torsional, definida mediante la relación $\omega \propto r_2 = \text{cte.}$, es más indicado formular la ecuación del impulso en función de la velocidad absoluta v_2 .

Teniendo en cuenta las relaciones:

$$\frac{v_{\theta 2}}{r_2} \left(\frac{dr v_{\theta}}{dr} \right)_2 = \frac{v_{\theta 2}^2}{r_2} + \frac{1}{2} \frac{d v_{\theta 2}^2}{dr_2}$$

$$\frac{d v_{m 2}^2}{dr_2} + \frac{d v_{\theta 2}^2}{dr_2} = \frac{d v_2^2}{dr_2}$$

y procediendo como en el caso de ley torsional torbellino libre, de las ecuaciones (4-1) y (4-2) se obtiene el siguiente sistema:

$$\frac{d v_2/v_1}{d \xi_1} = T(\xi) \frac{1}{(v_2/v_1)} - P(\xi) \left(\frac{v_{m 2}/v_1}{v_2/v_1} \right)^2 \frac{v_2}{v_1} - \frac{1}{\xi_2} \left(\frac{v_{\theta 2}/v_1}{v_2/v_1} \right)^2 \frac{v_2}{v_1} \frac{d \xi_2}{d \xi_1} \quad (4-5)$$

$$\frac{d \xi_2}{d \xi_1} = \frac{\rho_1}{\rho_2} \frac{1}{\rho_2/\rho_1} \frac{\xi_1}{\xi_2} \frac{1}{v_{m 2}/v_1 \cos \varphi}$$

con

$$a) \quad T(\xi) = \left[\frac{(v_2/v_1)^2 - 1}{2 T_{t 2} / T_{t 1 M}} \frac{d T_{t 1 M}}{d \xi_1} \right] \quad (4-6)$$

$$b) \quad \frac{v_{m 2}/v_1}{v_2/v_1} = \cos \beta, \quad \frac{v_{\theta 2}/v_1}{v_2/v_1} = \sin \beta, \quad \beta = \arctg(\psi \cos \varphi)$$

nabiendo deducido las relaciones (4-6b) de la ley torsional mientras que $F(\xi)$, viene dada por la relación (4-4b).

El sistema de ecuaciones diferenciales proporciona $(v_2/v_1) = v_2(\xi_1)$, $\xi_2(\xi_1)$ previa determinación de las mismas relaciones funcionales indicadas en el caso de torbellino libre y con ello el resto de las variables fluidas.

4-2-3 ECUACION DE LA LINEA DE CORRIENTE Y RELACIONES FUNCIONALES RESULTANTES.

Supondremos, de acuerdo con varios autores (5) (7) (17) y (16) que las líneas de corriente pueden ser aproximadas mediante un polinomio de tercer grado. La ecuación de la línea de corriente será por tanto:

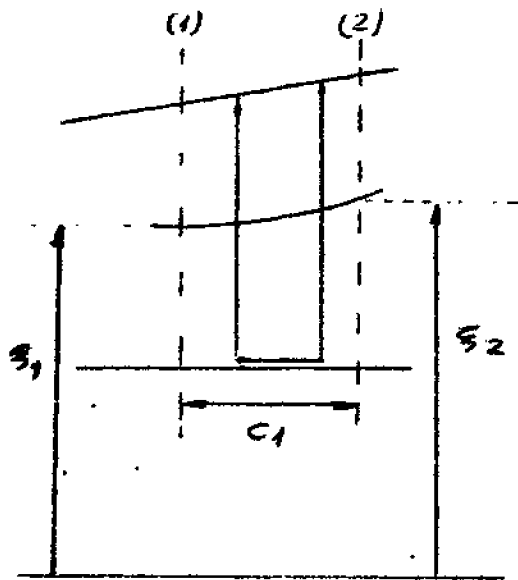


Fig. (4-0)

Las constantes a, b, d y e, se determinan imponiendo las siguientes condiciones:

$$\left. \begin{array}{l} \xi = \xi_1 \\ \left(\frac{d\xi}{dz/c_1} \right) = 0 \\ \left(\frac{d^2\xi}{d(z/c_1)^2} \right) = 0 \end{array} \right\} \text{para } \frac{z}{c_1} = 0$$

$$\xi = \xi_2, \text{ para } \frac{z}{c_1} = 1$$

de forma que resulta:

$$\xi = \xi_1 + (\xi_2 - \xi_1) \left(\frac{z}{c} \right)^3$$

no obstante, para tener en cuenta el efecto de las paredes, - que son rectas, tomaremos para las líneas de corriente la ecuación modificada:

$$\xi = \xi_1 + (\xi_2 - \xi_1) \left(\frac{z}{c} \right)^n \quad (4-7)$$

con:

$$n = 3 - 2 e^{K(1-\xi_1)(\xi_1-1)}$$

Para los cálculos hemos utilizado $K = 250$, de forma que cuando $\xi_1 = 0.7$, n toma los valores indicados en la (Tabla 4-1).

TABLA (4-1)

ξ	n
0.7	1
0.71	2
0.72	2.5
0.73	2.65
0.74	2.8
0.76	≈ 3
0.85	≈ 3
0.94	≈ 3
0.96	2.8
0.97	2.05
0.98	2.5
0.99	2
1	1

Con la ecuación de la línea de corriente puede obtenerse $\psi_2(r)_2$, de la siguiente manera:

$$\text{tg } \psi_2 = \left(\frac{dr}{dz} \right)_{z=c_1} = \frac{r_{c_1}}{c_1} \left(\frac{d\xi}{d(z/c_1)} \right)_{z/c_1=1}$$

es decir:

$$\varphi_2 = \arctg \left[s_0 \left(\frac{d\xi}{dz/c_1} \right)_{z/c_1=1} \right] = \arctg \left(n s_0 (\xi_2 - \xi_1) \right) \quad (4-8)$$

nabiendo hecho:

$$s_0 = \frac{rc_1}{c_1} = \left(\frac{h}{c_1} \right) \frac{1}{1-\xi_1}$$

por otra parte:

$$\left(\frac{1}{rc} \right)_2 = - \left(\frac{d\varphi}{dm} \right)_2 = \left(\frac{d\varphi}{dz/c_1} \right)_{z/c_1=1} \cos \varphi / c_1 = - \cos^3 \varphi_2 \left(\frac{d^2 \xi}{dz/c_1} \right)_{z/c_1=1} s_0 / c_1$$

por tanto se tiene:

$$\left(\frac{\cos \varphi}{rc} \right)_2 rc_1 = - \cos^4 \varphi \left(\frac{d^2 \xi}{dz/c_1} \right)_{z/c_1=1} s_0^2 = - s_0^2 \cos^4 \varphi n(n-1) (\xi_2 - \xi_1) \quad (4-9)$$

$$\left(\frac{rc_1}{\cos \varphi rc} \right)_2 = - \cos^2 \varphi \left(\frac{d^2 \xi}{dz/c_1} \right)_{z/c_1=1} s_0^2 = - s_0^2 n(n-1) \cos^2 \varphi (\xi_2 - \xi_1) \quad (4-10)$$

y además

$$\frac{d\varphi_2}{d\xi_1} = s_0 \frac{d \left(\arctg \left[\frac{d\xi}{dz/c_1} \right]_{z/c_1=1} \right)}{d\xi_1} = n s_0^2 \left(\frac{d\xi_2}{d\xi_1} - 1 \right) \cos^2 \varphi \quad (4-11)$$

4-2-4 RELACIONES ENTRE LAS VARIABLES FLUIDAS

Teniendo en cuenta las relaciones (A-7) y que la ley torcional elegida fija la componente tangencial de velocidad ó -- una relación entre dos componentes es fácil obtener las relaciones de cualquier componente de velocidad en función de una de ellas.

Por otra parte cuando se especifican las condiciones en la sección de entrada y por tanto M_1 , se puede escribir:

$$M_2^2 = \left(\frac{V_2}{V_1} \right)^2 \frac{V_1^2}{\gamma R T_1} \frac{T_1}{T_2} = \left(\frac{V_2}{V_1} \right)^2 \frac{M_1}{B + M_1 \xi_1} \frac{\left(1 + \frac{\gamma-1}{2} M_2^2 \right)}{\left(1 + \frac{\gamma-1}{2} M_1^2 \right)} \quad (4-12)$$

es decir:

$$M_2^2 = \frac{\left(\frac{V_2}{V_1}\right)^2 M_{1M}^2}{\left(B + M \xi_1\right) \left(1 + \frac{\gamma-1}{2} M_{1M}^2\right) - \frac{\gamma-1}{2} \left(\frac{V_2}{V_1}\right)^2 M_{1M}^2} = \left(\frac{V_2}{V_1}\right)^2 f(M_{1M}, \delta)$$

por lo que también resulta:

$$M_{02}^2 = \left(\frac{V_{02}}{V_1}\right)^2 f(M_{1M}, \delta)$$

$$M_{m2}^2 = \left(\frac{V_{m2}}{V_1}\right)^2 f(M_{1M}, \delta)$$

También se tiene:

$$\left(\frac{M_1}{M_{1M}}\right)^2 = \frac{T_{1M}}{T_1} = \frac{T_{1e} M_1}{T_{1e}} \frac{\left(1 + \frac{\gamma-1}{2} M_1^2\right)}{\left(1 + \frac{\gamma-1}{2} M_{1M}^2\right)} \approx \frac{T_{1e} M_1}{T_{1e}}$$

De lo que resulta:

$$M_1^2 = \frac{M_{1M}^2}{B + M \xi_1}$$

y finalmente:

$$\frac{p_1/p_{1eM}}{p_2/p_{2eM}} = \frac{p_1/p_{1e}}{p_2/p_{2e}} = \left[\frac{1 + \frac{\gamma-1}{2} M_2^2}{1 + \frac{\gamma-1}{2} M_1^2} \right]^{\frac{\gamma}{\gamma-1}}$$

viceversa, si se especifican condiciones en la sección de salida, la ecuación (4-12) puede ser utilizada para determinar M_{1M} y de nuevo se pueden aplicar las mismas relaciones que hemos obtenido.

4-3 METODO DE CALCULO Y DISCUSION DE RESULTADOS

Mediante las relaciones que proporcionan las líneas de corriente y las relaciones existentes entre las variables -- riuidas, el sistema (4-3), por ejemplo (el método es igualmente aplicable al sistema (4-5)), queda implícitamente reducido a:

$$\left(\frac{dV_{m2}/V_1}{d\xi_1} \right) = f_1 \left(\frac{V_{m2}}{V_1}, \xi_2, \xi_1 \right) \quad (4-13)$$

$$\frac{d\xi_2}{d\xi_1} = f_2 \left(\frac{V_{m2}}{V_1}, \xi_2, \xi_1 \right)$$

cuya forma sugiere la aplicación del método de integración numérica de Kutta-Runge. No obstante el problema, en apariencia sencillo, debe ser considerado bajo dos aspectos:

1º Problema con condiciones de contorno, que resulta cuando se especifica la ley torsional y la forma del canal, es decir:

$$\xi_2 = \xi_{2e} \quad , \quad \text{para } \xi_1 = 1$$

$$\xi_2 = \xi_{2i} \quad , \quad \text{para } \xi_1 = \xi_{1i}$$

$$\frac{V_{\theta 2}}{V_1} = \frac{\psi}{\xi_2} \xi_{2m}$$

2º Problema con condiciones iniciales, que resulta cuando se especifica la ley torsional y condiciones de ambas funciones para un valor de la variable, es decir:

$$\left. \begin{aligned} \xi_2 &= \xi_{20} \\ \left(\frac{V_{m2}}{V_1} \right) &= \left(\frac{V_{m2}}{V_1} \right)_0 \end{aligned} \right\} \text{ para } \xi_1 = \xi_{10}$$

$$\left(\frac{V_{\theta 2}}{V_1} \right) = \frac{\psi}{\xi_2} \xi_{2m}$$

siendo lo más irrecuente especificar condiciones sobre la línea media, es decir para $\xi_1 = \xi_{1m}$

Cuando el problema es de condiciones iniciales, el método de integración numérica indicado, proporciona la solución directamente; sin embargo cuando el problema es de condiciones de contorno debe ser resuelto por algún procedimiento de iteración, si se emplea el método de Kutta-Runge, ya que este método solo es aplicable a problemas de condiciones iniciales. El procedimiento utilizado es como sigue: se transforma el problema de condiciones de contorno en un problema de condiciones iniciales, es decir:

$$\left. \begin{aligned} \xi_2 &= \xi_{2i} \\ \left(\frac{V_{m2}}{V_i}\right) &= \left(\frac{V_{m2}}{V_i}\right)_i \end{aligned} \right\} \text{ para } \xi_1 = \xi_{1i}$$

si se considera $\left(\frac{V_{m2}}{V_i}\right)_i$, como parámetro, se obtiene: $(\xi_2)_{\xi_1=1} = \xi_2 \left[\left(\frac{V_{m2}}{V_i}\right)_i \right]$, habiendo resuelto el problema cuando se determina el valor de $\left(\frac{V_{m2}}{V_i}\right)_i$, para el cual $(\xi_2)_{\xi_1=1} = \xi_{2e}$ es decir, cuando se determina la raíz de la función $\xi_2 \left[\left(\frac{V_{m2}}{V_i}\right)_i \right] - \xi_{2e} = 0$. El método de iteración de Newton-Rapson, que hemos utilizado para este caso, proporciona buenos resultados.

En las figuras (4-1) a (4-3) (pag. 109), se presentan los resultados obtenidos para un canal recto (torbellino libre) y valores de los parámetros allí indicados; siendo de notar que la variación de la velocidad axial entre el extremo y la raíz es de un 20% (caso $\delta = 0$, $MIM = 0.35$), cuando la solución obtenida en la hipótesis de pequeñas desviaciones radiales es $\frac{V_{z2}}{V_i} = \text{cte.}$

En las figuras (4-4) a (4-8), se presentan las soluciones obtenidas para un canal imétrico, con una divergencia de 8° y se comparan los ángulos y velocidades de la corriente para --



varios valores de los parámetros, pero con ley torsional torbellino libre, deduciéndose las mismas conclusiones que en el caso anterior y observándose al mismo tiempo que el efecto de la distribución radial de temperaturas, no puede ser ignorado.

Para algunos canales divergentes, con radio interior -- constante, se observó que fallaba el método de cálculo cuando la velocidad inicial se fijaba en 0.85. Dado que el problema de calculo estaba automatizado, es decir que sólo escribía la solución definitiva, sin proporcionar datos de pasos intermedios del proceso de iteración; se cambió el programa para que escribiera la solución para varios valores de la velocidad inicial como parámetro. Los resultados obtenidos explican la causa de tal anomalía. En la fig.(4-9) (pag. 116), se pone de manifiesto que la divergencia del canal aumenta, cuando se aumenta el valor de la velocidad inicial; comportamiento que es explicable a la vista del perfil de velocidades axiales, pero no intuible a "priori" cuando se piensa en un comportamiento parecido al del caso obtenido, considerando que las desviaciones radiales son pequeñas; razón por la que habíamos estimado $(V_{m2}/V_1)_i = 0.85$ como valor aproximado para el comienzo de la iteración.

Por otra parte en las figuras (4-10) a (4-12), se observa que en el intervalo $(V_{m2}/V_1)_i = [0.84-0.95]$ el problema es muy sensible a las condiciones iniciales y no se logra encontrar solución porque la velocidad meridional aumenta progresivamente, apareciendo una singularidad en las ecuaciones cuando

Esto obliga a comprobar la estabilidad del sistema para -- asegurar que la solución no vá acompañada de soluciones parási-

tas, lo que se ha hecho en la figura (4-13) para poder dar como válidos los resultados obtenidos en el caso de canal recto.

El problema más frecuente de diseño en la práctica, -- consiste en especificar condiciones iniciales en la línea media. En las fig. (4-14) a (4-19), se presentan varias soluciones en un amplio margen de condiciones iniciales para el caso de torbellino libre; puede observarse que el comportamiento del sistema es estable y que las soluciones obtenidas se apartan del caso $V_{z2}/V_1 = \text{cte}$, salvo para valores de la velocidad inicial muy determinados.

Finalmente en las figuras (4-20) a (4-22), se presentan soluciones para el caso de álabes de la directriz sin torsión y se comprueba que en este caso el efecto de las desviaciones radiales no es tan acusado.

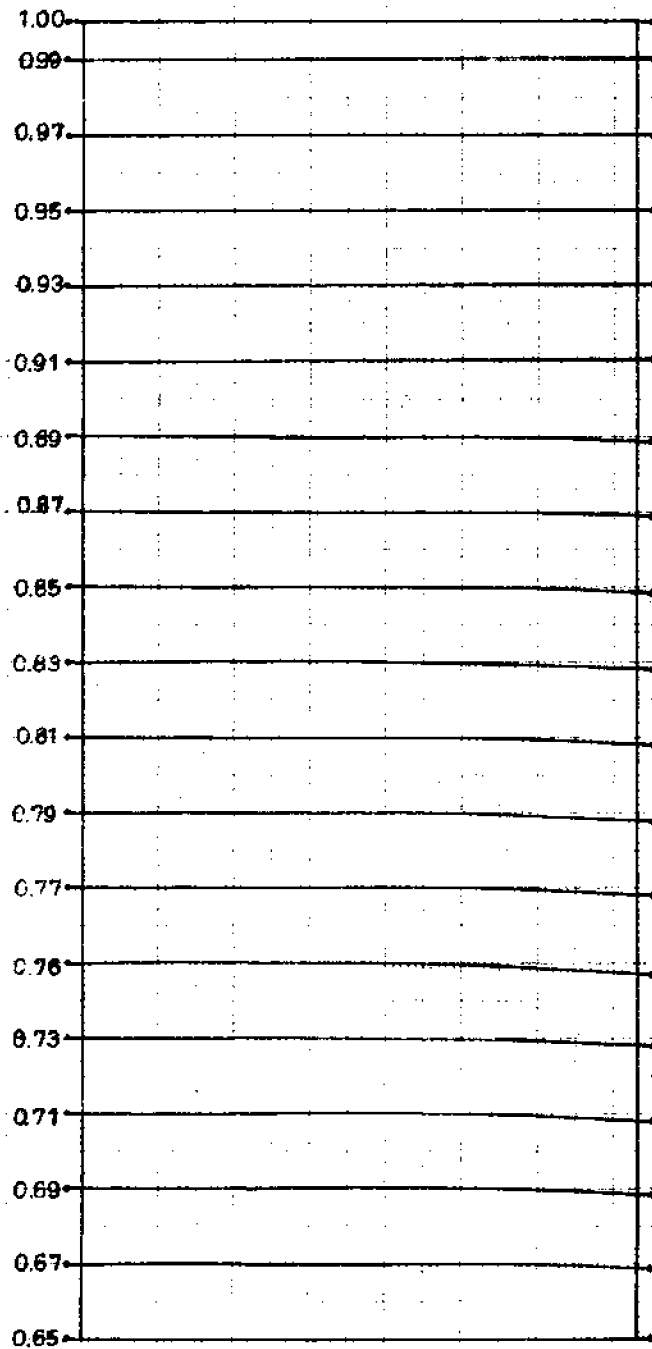
$$(v_{02}/v_1)_{E_m} = \tan 55^\circ$$

$$M_{1H} = 0.25$$

$$\delta = 0$$

$$Re/R_1 = 0.65$$

$$h/c = 2.25$$



LINEAS DE CORRIENTE. CANAL RECTO.
ESTATOR TORBELLINO LIBRE

FIG. - 1-4

(Condiciones iniciales en E_1)

$R_i/R_e = 0.65$ $\left(\frac{V_{02}}{V_1}\right)_{\xi_m} = \tan 65^\circ$ $\delta = 0$ $h/\sigma = 2.25$

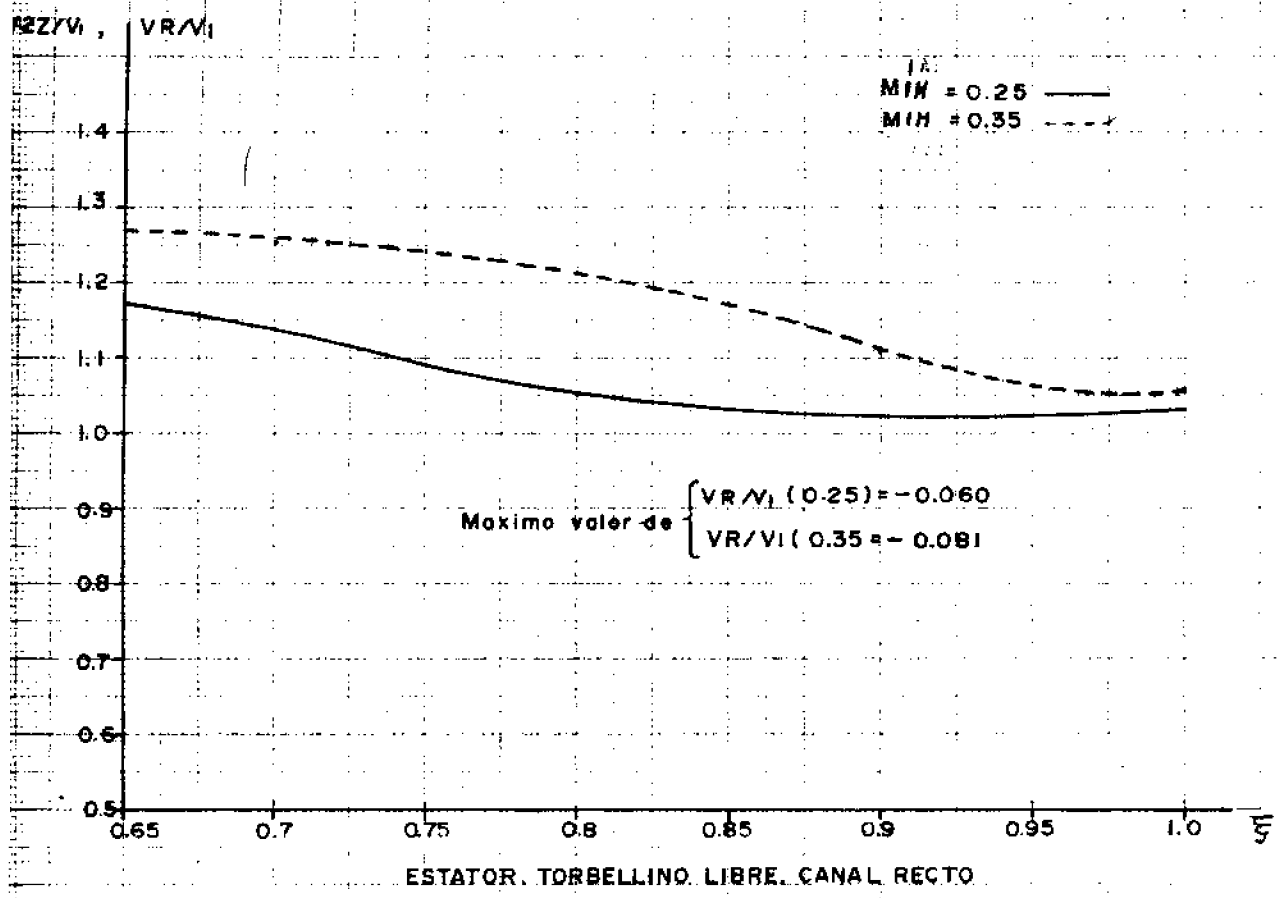


FIG.- 2-4.

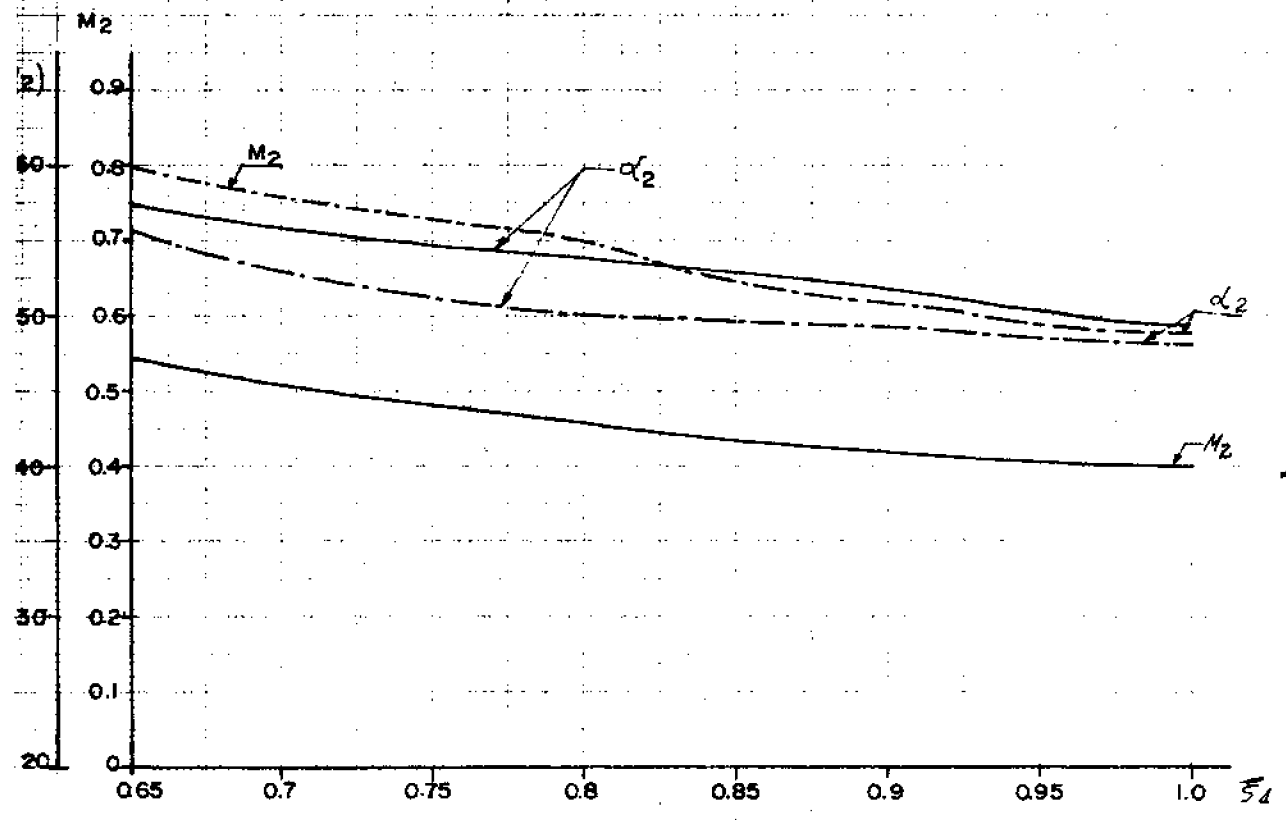
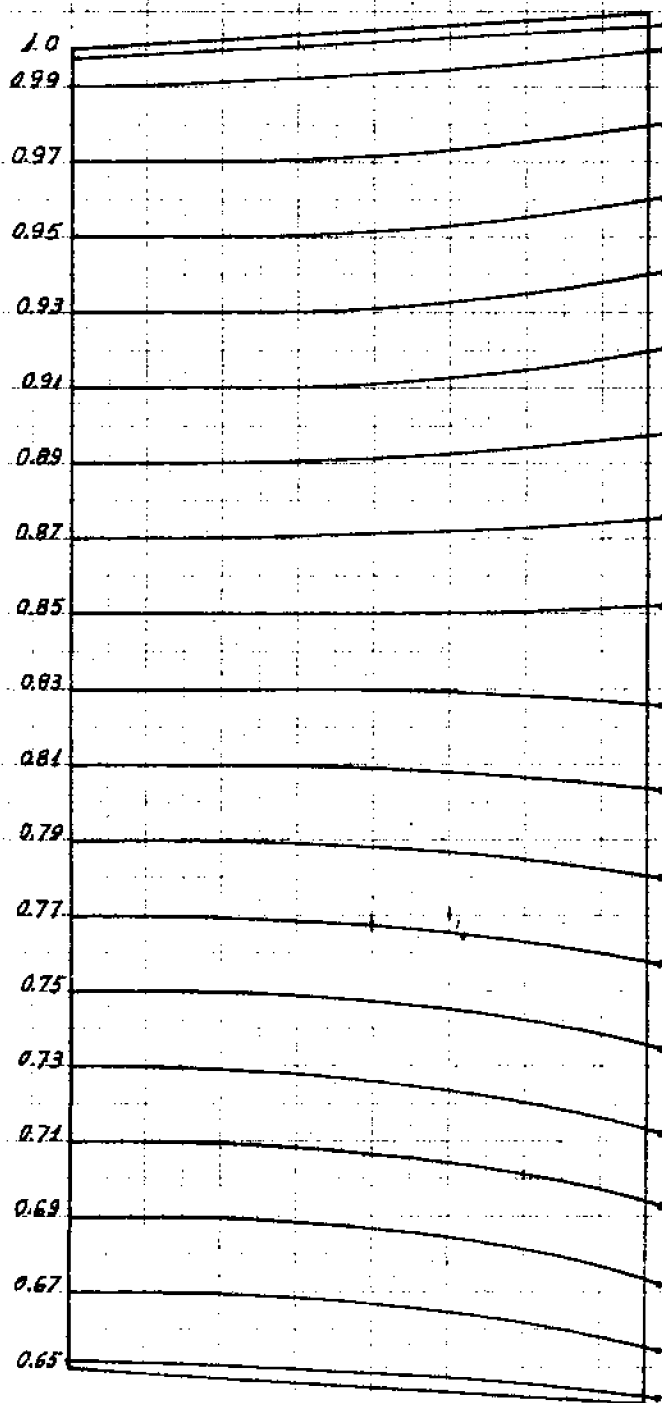
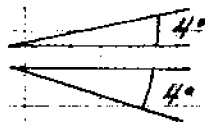


FIG.- 3-4.

(Condiciones iniciales en ξ_1)

Desviaciones Canal Divergente

$\xi/L = 0.65, \quad S=0, \quad H/H = 0.25 \quad \left(\frac{V_{02}}{V_1}\right) \xi = \xi_m = \text{tg } 55^\circ$



$h/c = 2.25$

FIG- 4-4.

$R_i/R_c = 0.65$

$\left(\frac{V_{02}}{V_1}\right)_{\xi} = \tan 55^\circ$
 $\xi = \xi_m$

$\delta \begin{cases} 0 \\ 0.15 \end{cases}$

$MIM = 0.25$

$h/c = 2.25$

$\alpha_c = 49^\circ$
 Canal Divergente

$\alpha_i = 4^\circ$

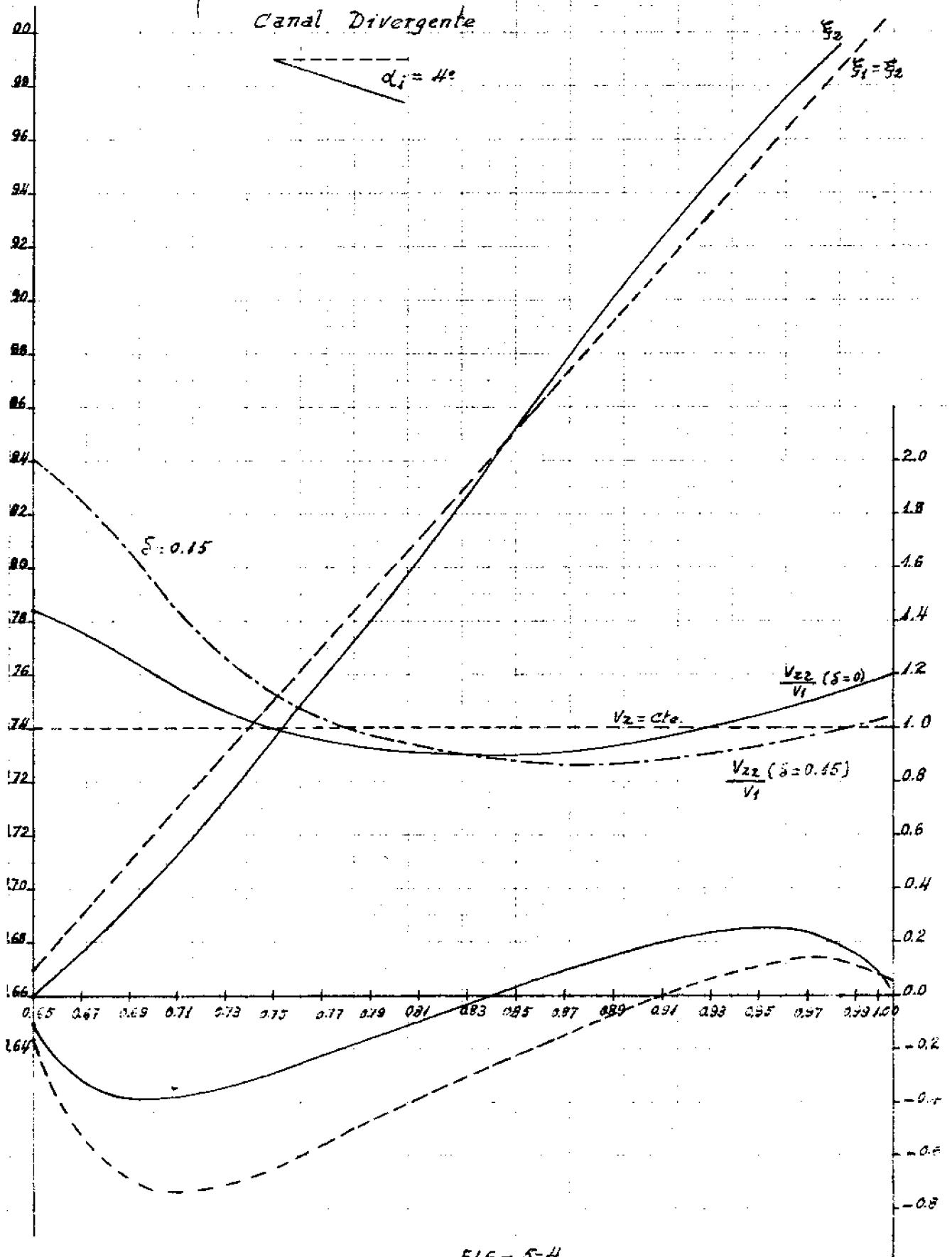


FIG. 5-4

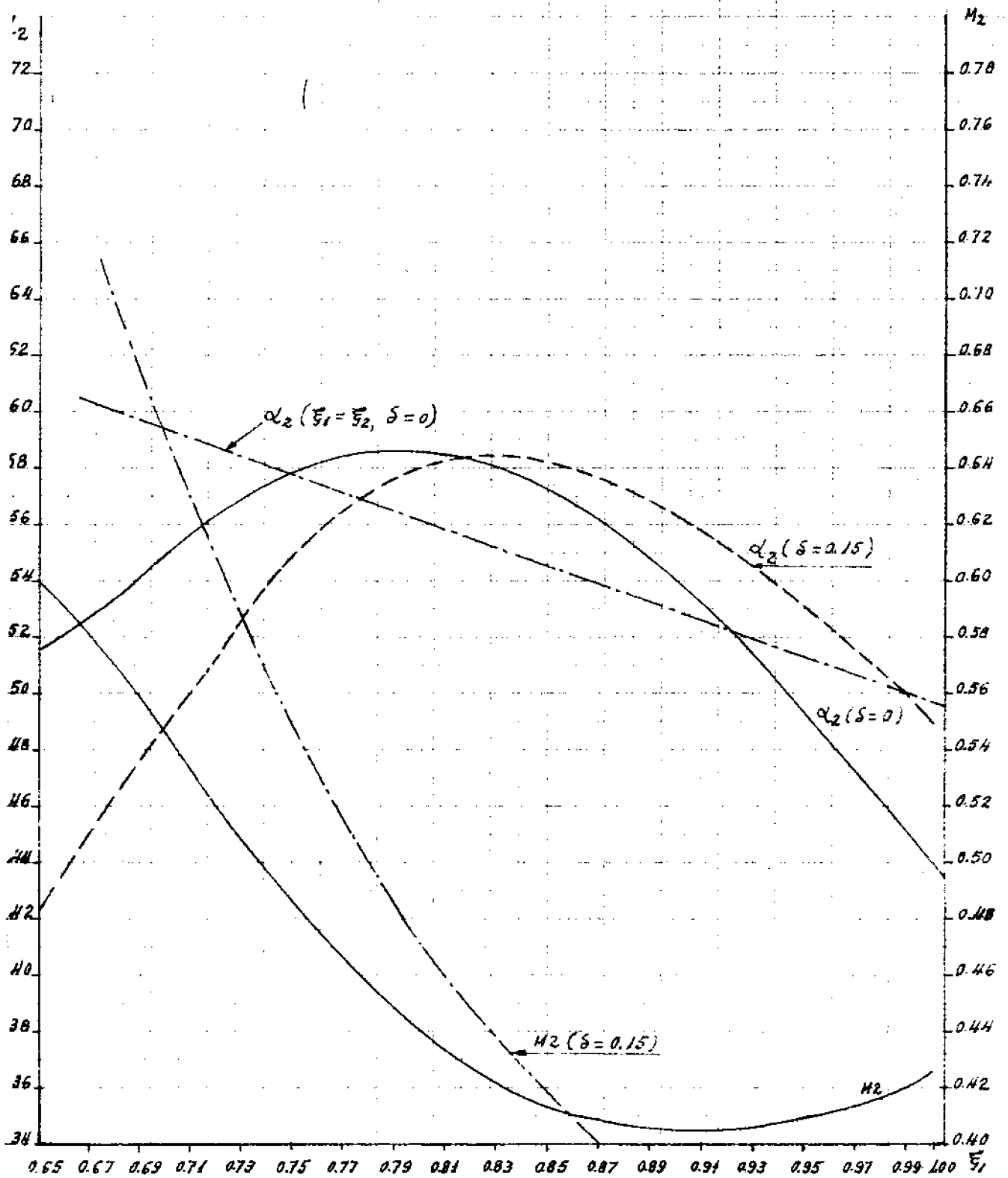


FIG.- 6-4.

Condiciones iniciales en ξ_{i1} , Canal Divergente

$$R_1/R_2 = 0.65 \quad \left(\frac{V_{\theta 2}}{V_1} \right)_{\xi = \xi_m} = \tan 55^\circ \quad \delta \begin{cases} 0.15 \\ 0.0 \end{cases} \quad M_{1H} = 0.35 \quad h/c = 2.25$$

$\delta = 0$ ———
 $\delta = 0.13$ - - -

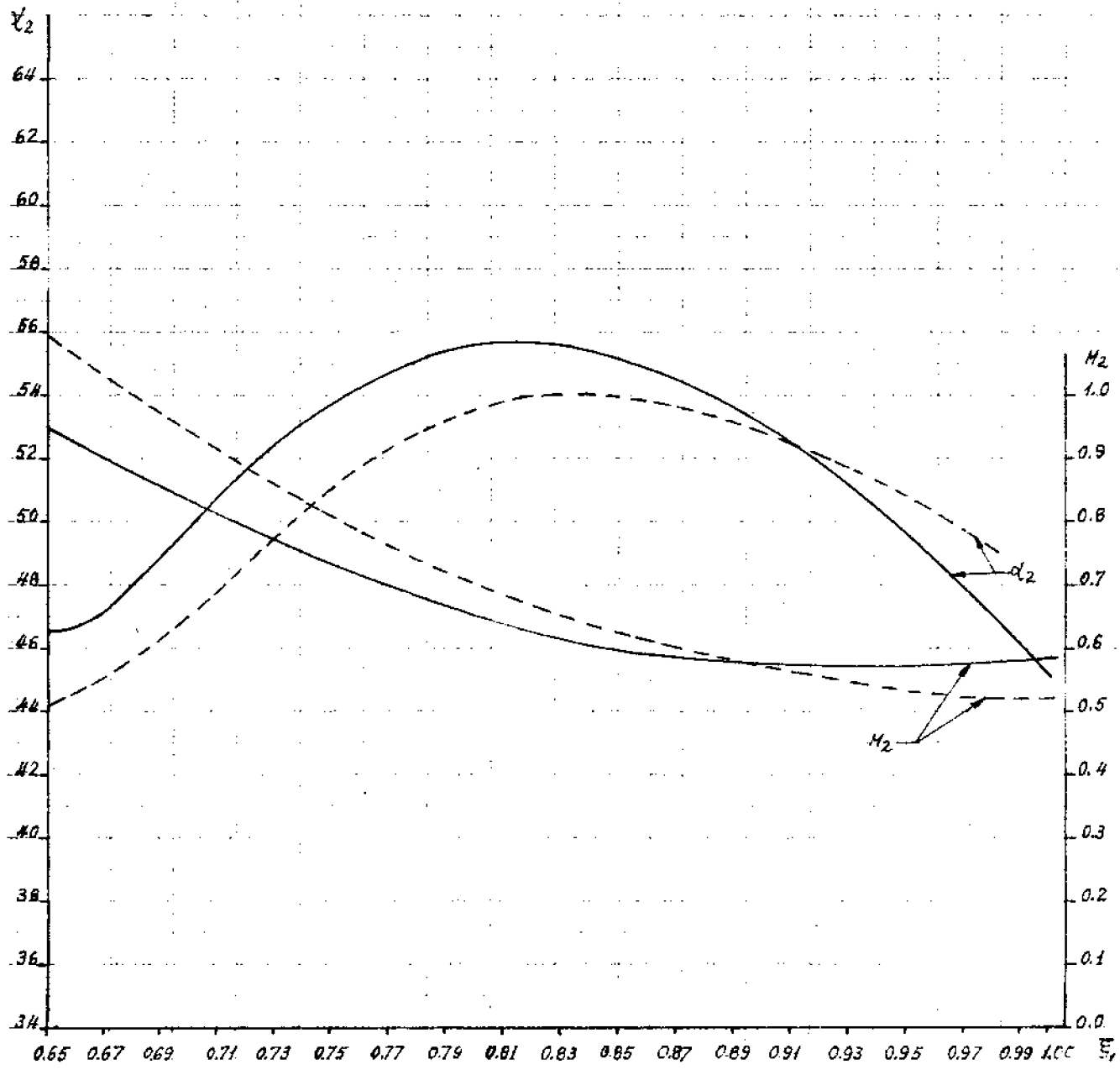


FIG-7-4.

Canal Divergente
 (Condiciones iniciales en ξ_{i1})

$$\begin{cases} \xi_{i1} = 0.65 \\ \xi_{i2} = 0.64 \\ \xi_{i3} = 1.01 \end{cases}$$

$R_1/R_2 = 0.65$ $\left(\frac{V_{\theta 2}}{V_1}\right)_{\xi = \xi_m} = \tan 55^\circ$ $M_{1H} = 0.35$ $H/c = 2.25$

$\xi_1 = \xi_2$

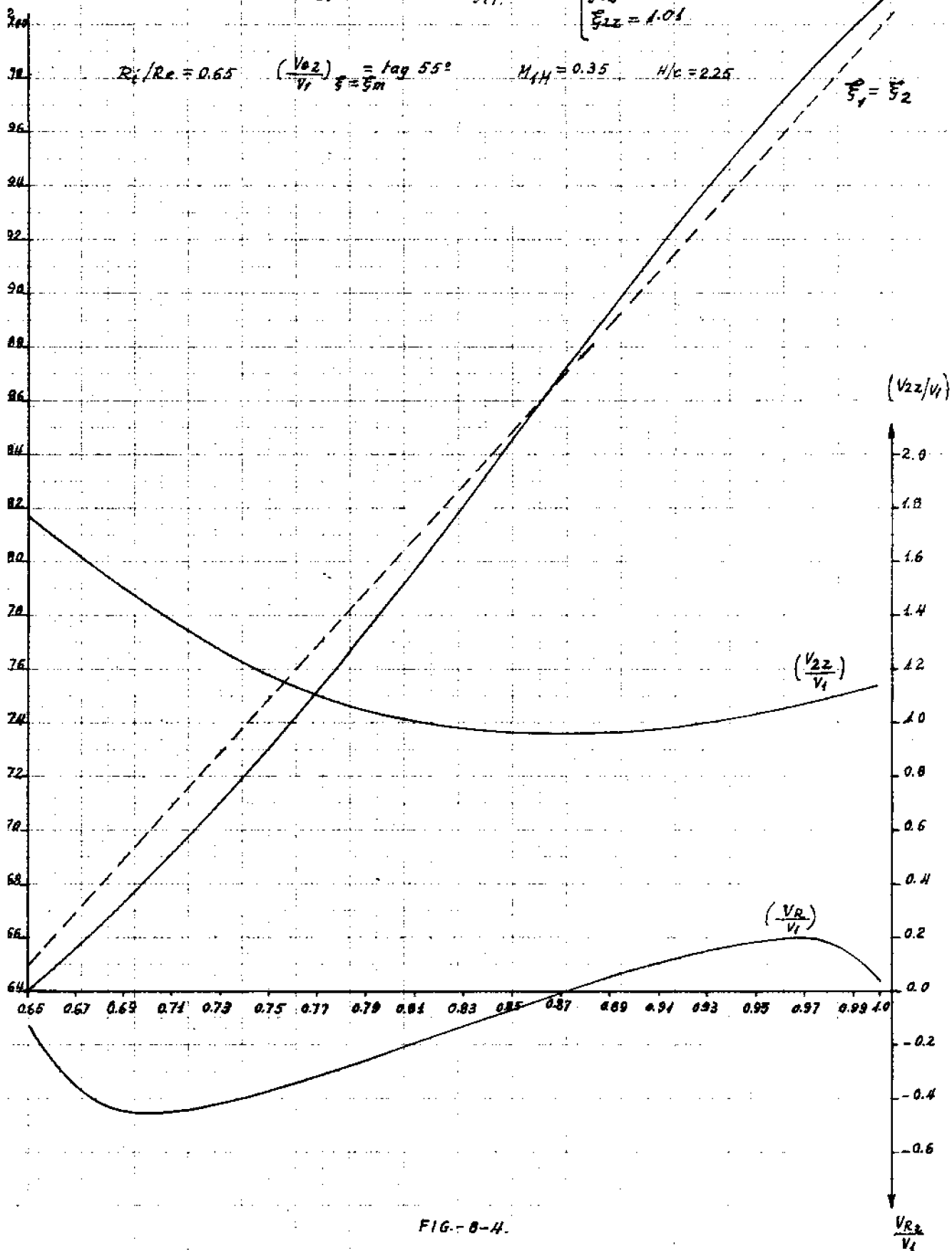


FIG-8-4.

$\frac{V_{R2}}{V_1}$

Perfiles de velocidades y desviaciones

$$\left(\frac{V_{02}}{V_1}\right)_{\xi_m} = \tan 67^\circ$$

Valores de parámetros

$$\left\{ \begin{array}{l} \xi_{11} = 0.65 \\ \xi_{12} = 0.65 \\ H_{AM} = 0.25 \\ \delta = 0.0 \\ h/c = 2.25 \end{array} \right.$$

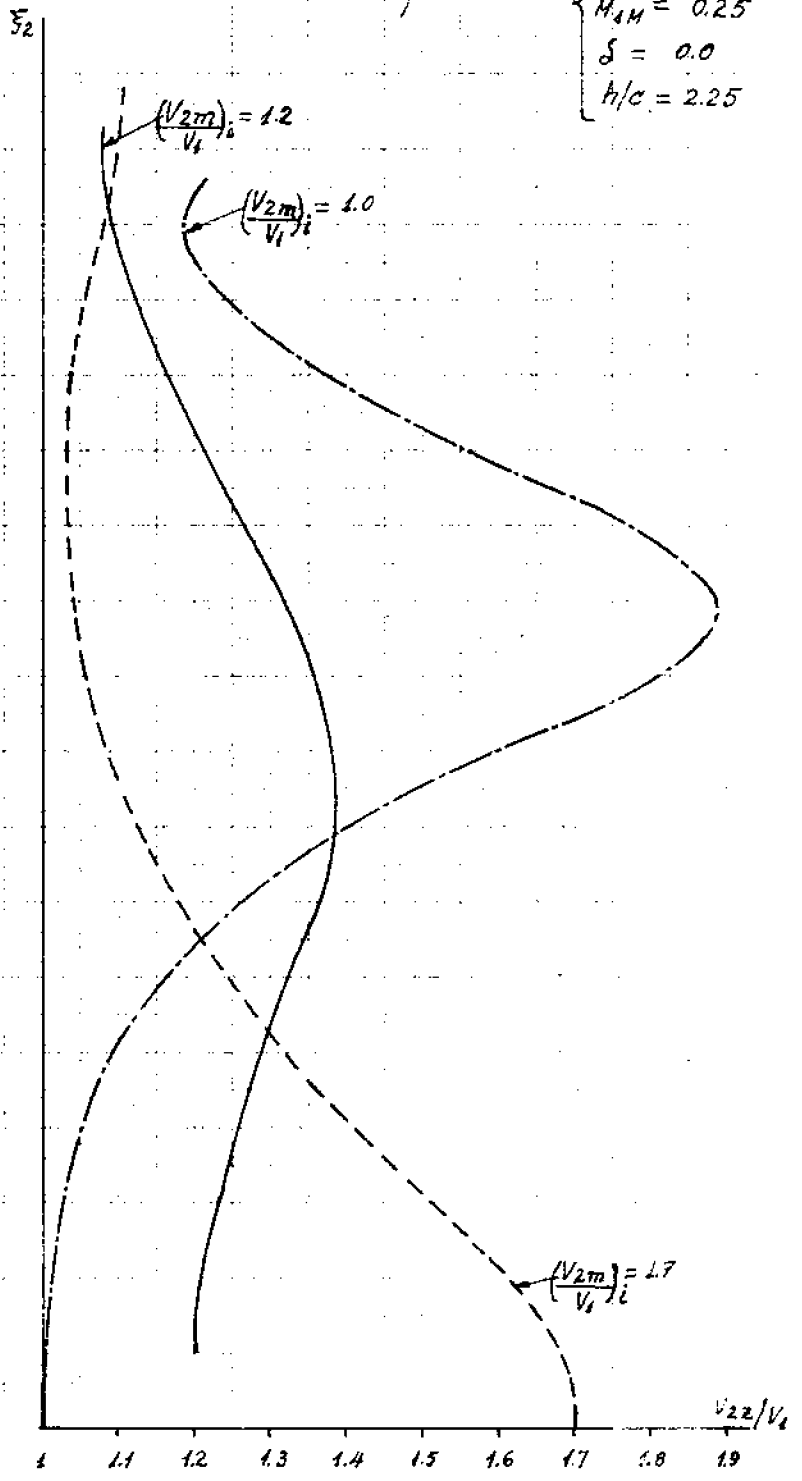
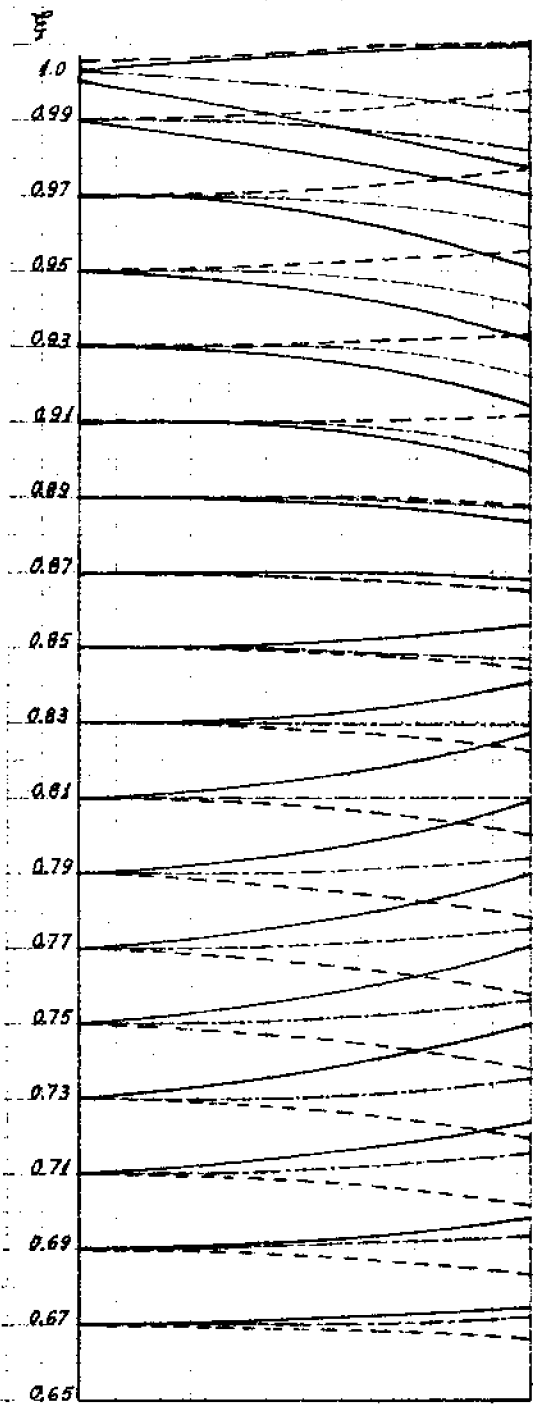


FIG-9-4.

Perfil de velocidades y desviaciones

$\xi_{11} = 0.65$
 $\xi_{12} = 0.65$
 $M_{1M} = 0.25$
 $\delta = 0.0^\circ$
 $h/c = 2.25$

Valores de parámetros
 $\left(\frac{V_{02}}{V_1}\right)_{\xi = \xi_m} = \text{tg } 67^\circ$

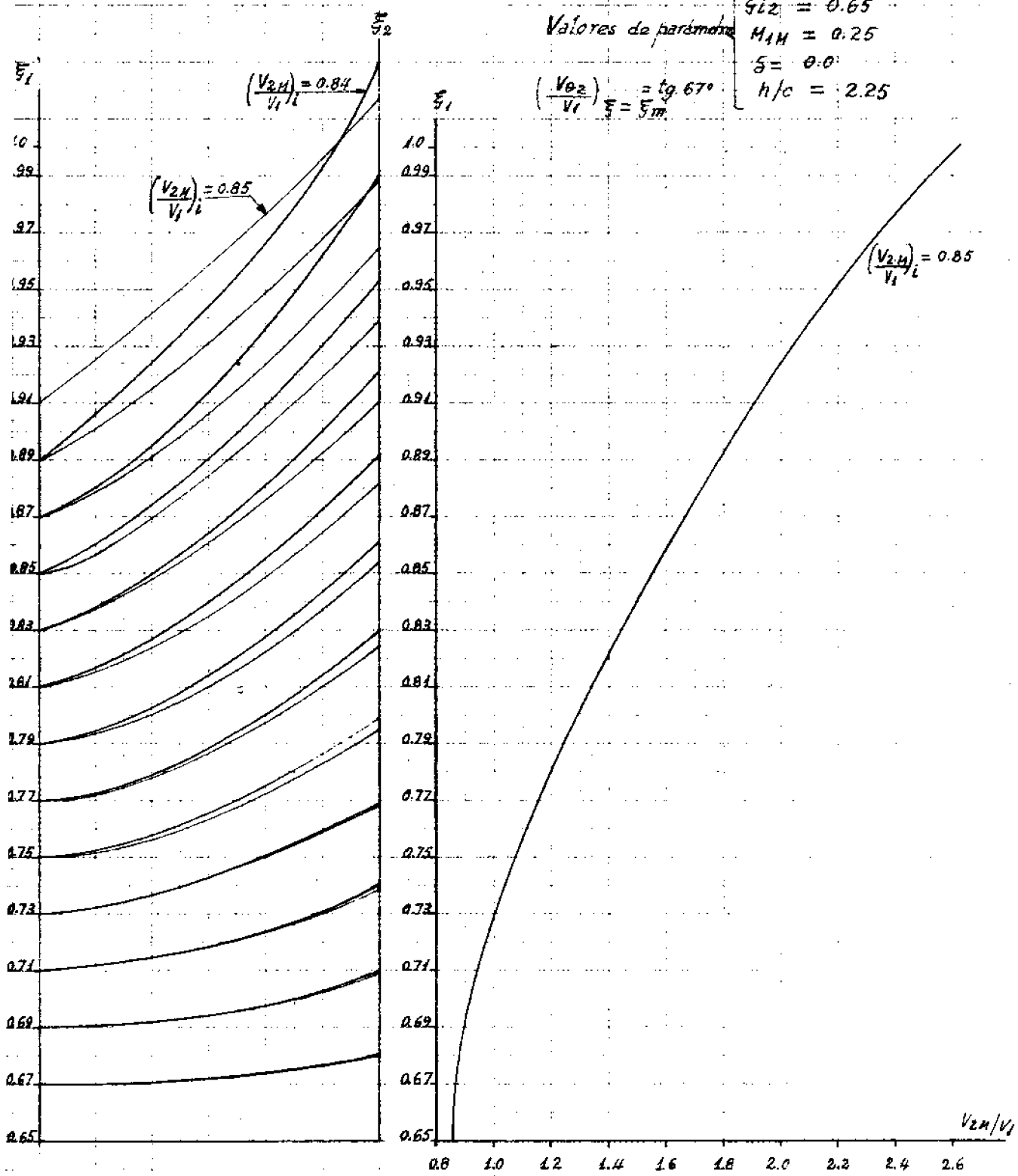
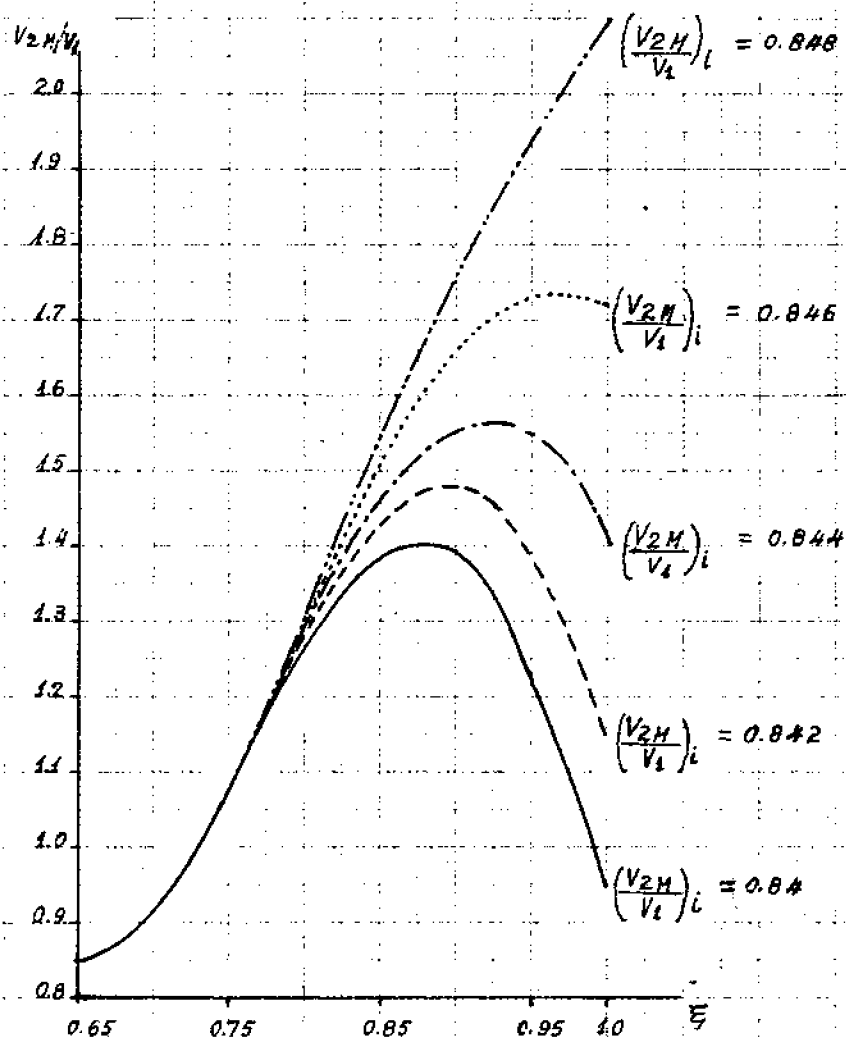


FIG.-10-4.

Torbellino Libre. Estator
Estudios de Estabilidad.



Condiciones iniciales en ξ_1 .

FIG. 12-A

Variación de la velocidad meridional en función de V_{2M}

Valores de los parámetros

$\xi_{i1} = 0.65$	$M_{11} = 0.25$	$(\frac{V_{02}}{V_1})_{\xi = \xi_m} = 1.67^\circ$
$\xi_{i2} = 0.65$	$\delta = 0.0$	$\xi = \xi_m$
	$h/c = 2.25$	

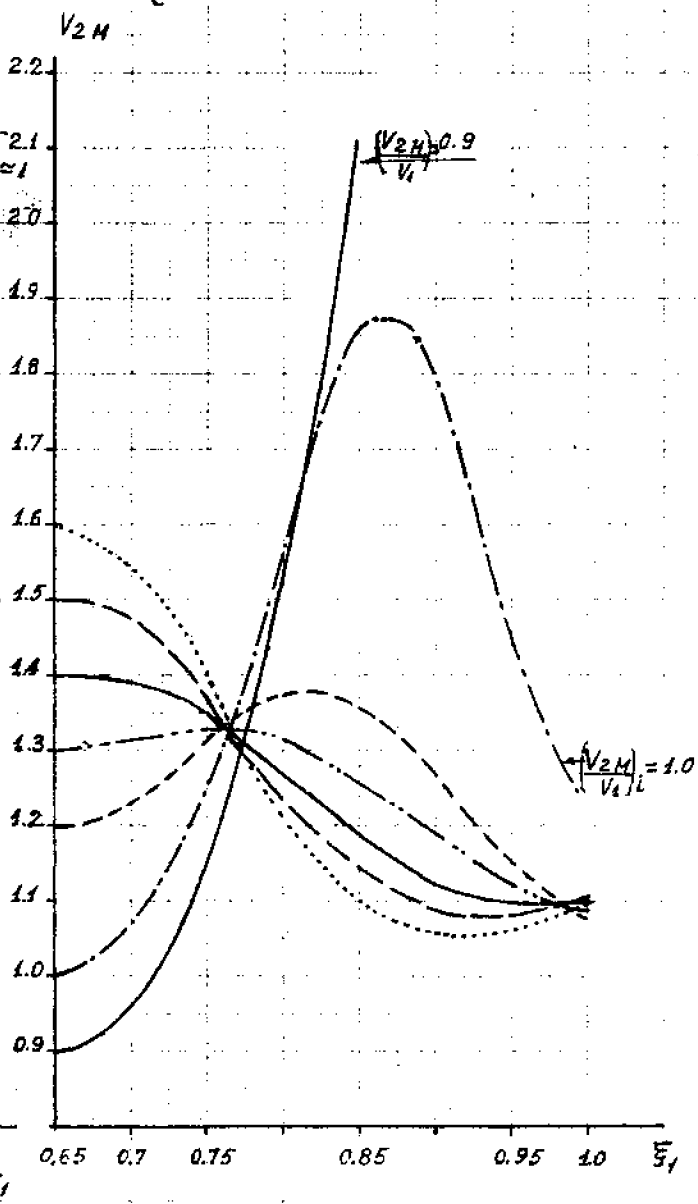
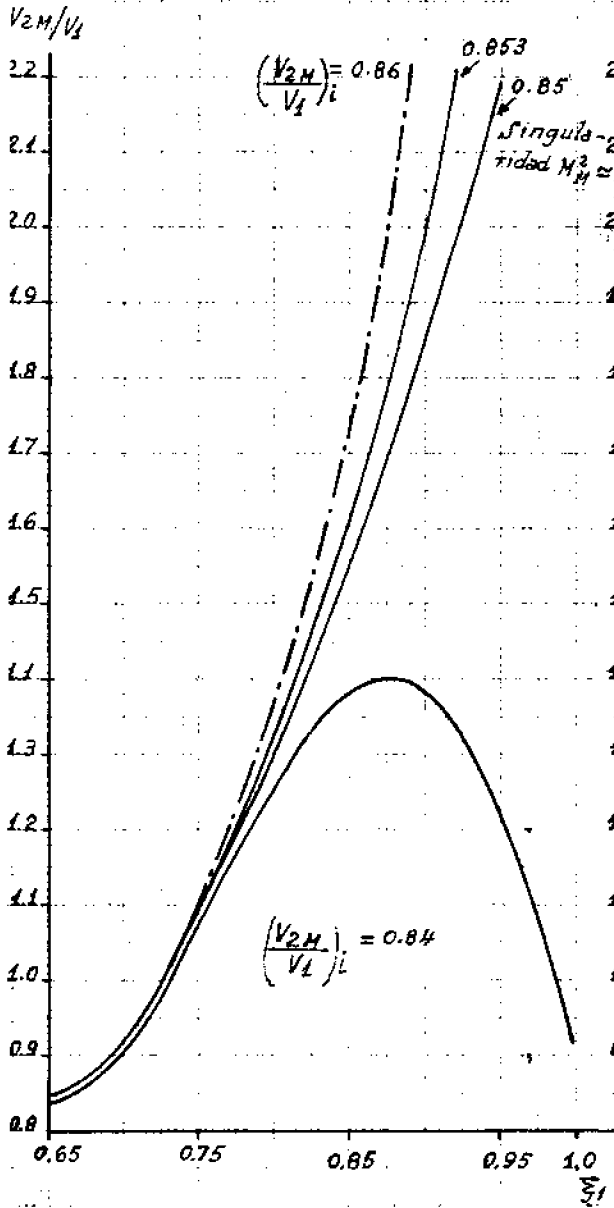


FIG.- 11-A.

FIG.- 13-A.

Estudio de Estabilidad
 Turbina libre (Estator)

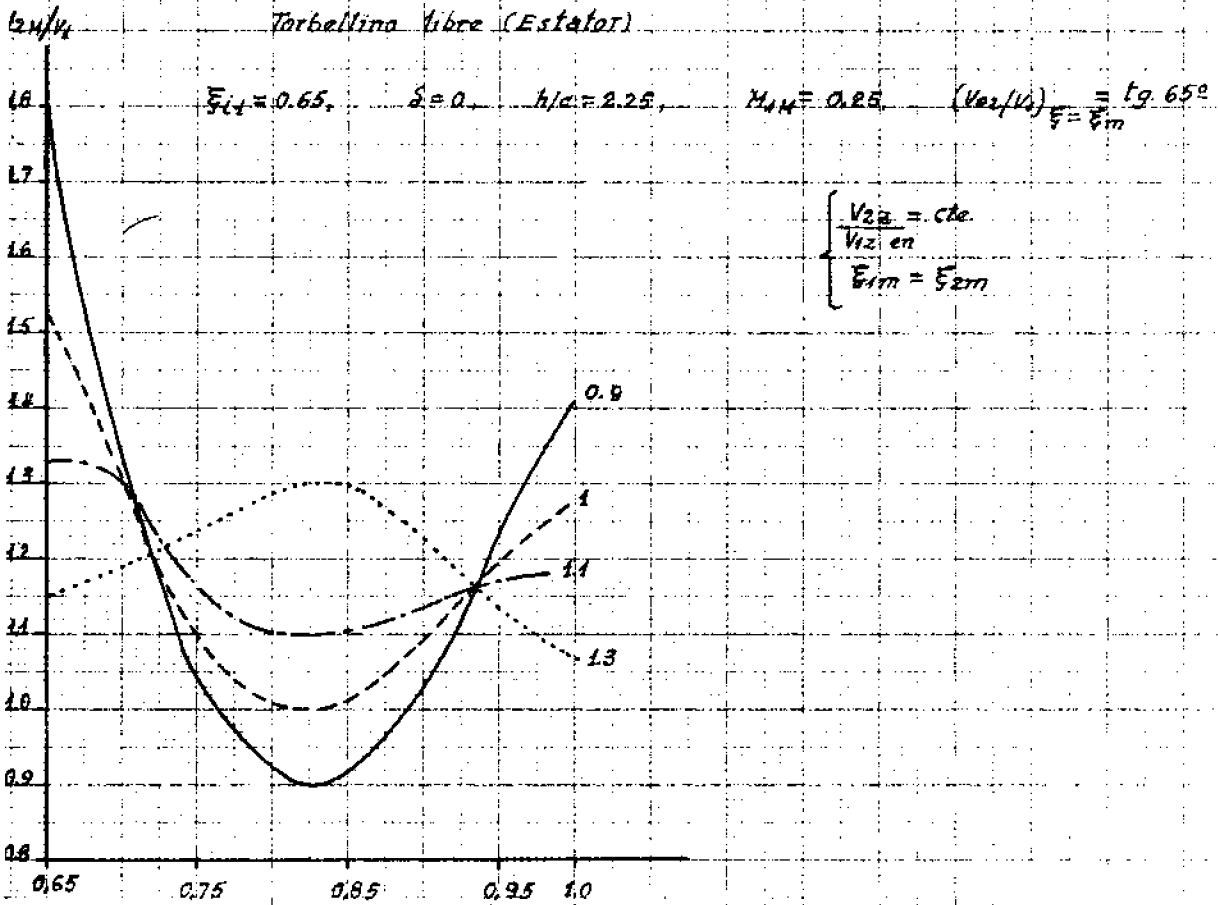


FIG-14-4.

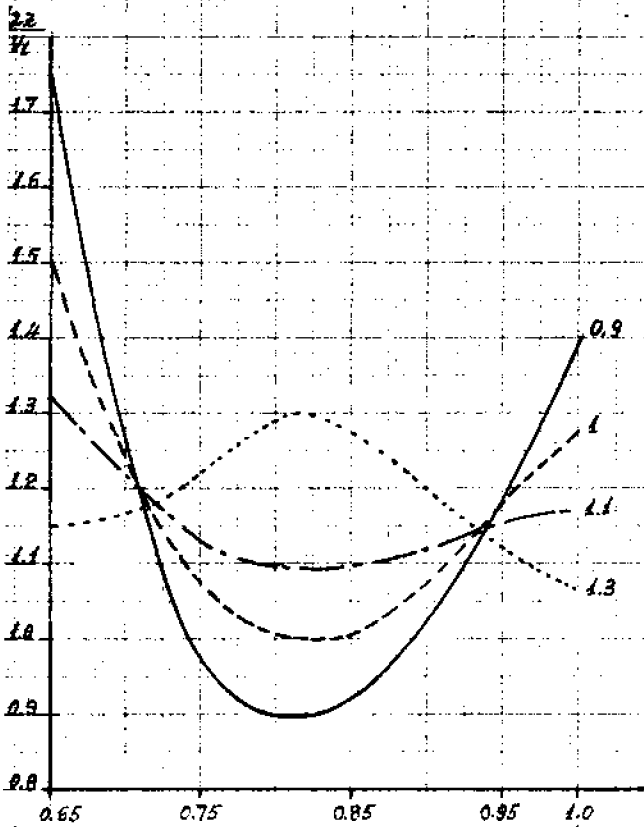


FIG-15-4.

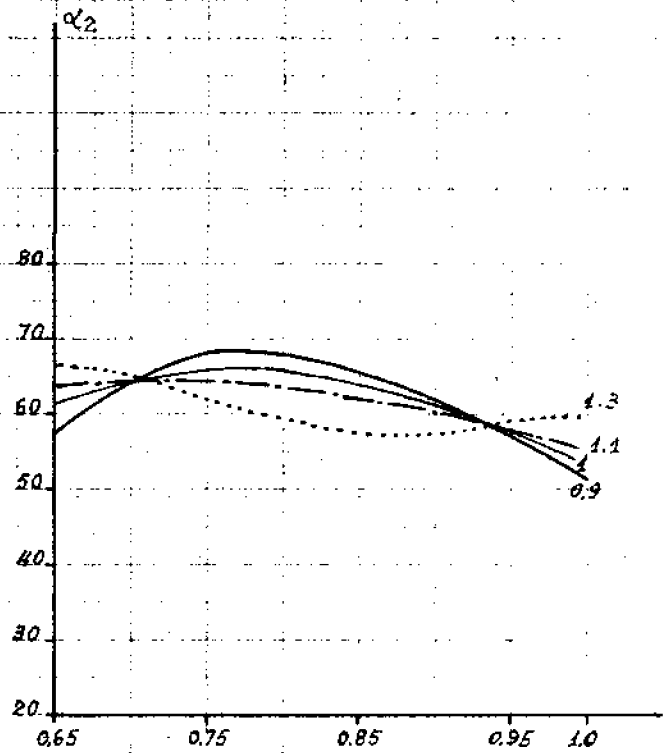


FIG-16-4.

Estudio de Estabilidad
Torbellino Libre (Estator)

$\xi_{11} = 0.65$ $\delta = 0$ $h/c = 2.25$ $M_{11} = 0.30$ $(V_{02}/v_1)_{\xi = \xi_m} = \lg 65^\circ$

$\left\{ \begin{array}{l} \frac{V_{02}}{V_{01}} = cte \\ \text{para } \xi_{1m} = \xi_{2m} \end{array} \right.$

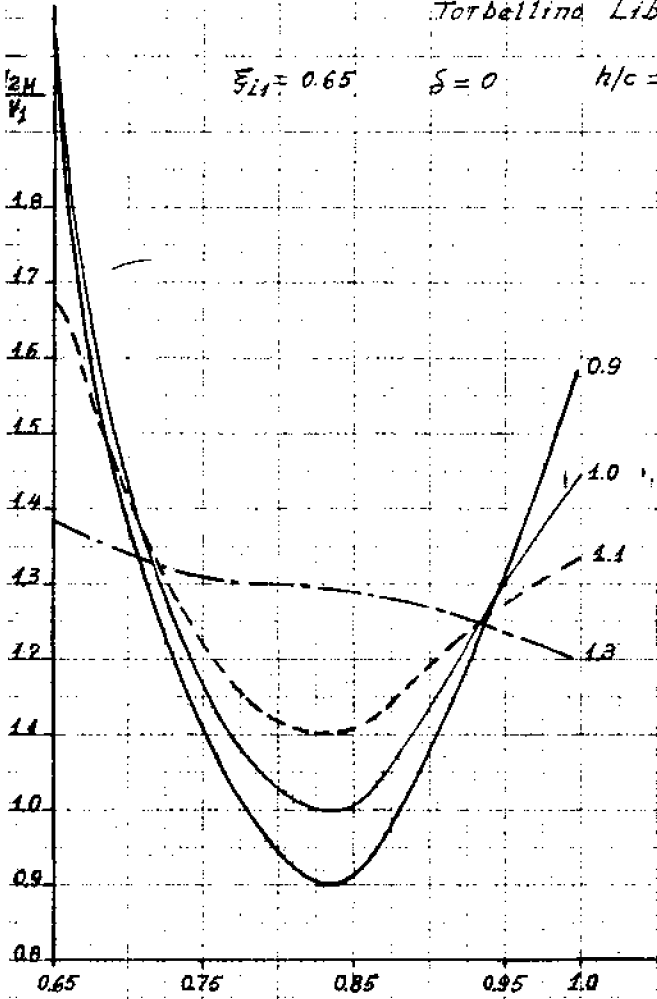


FIG.-17-A.

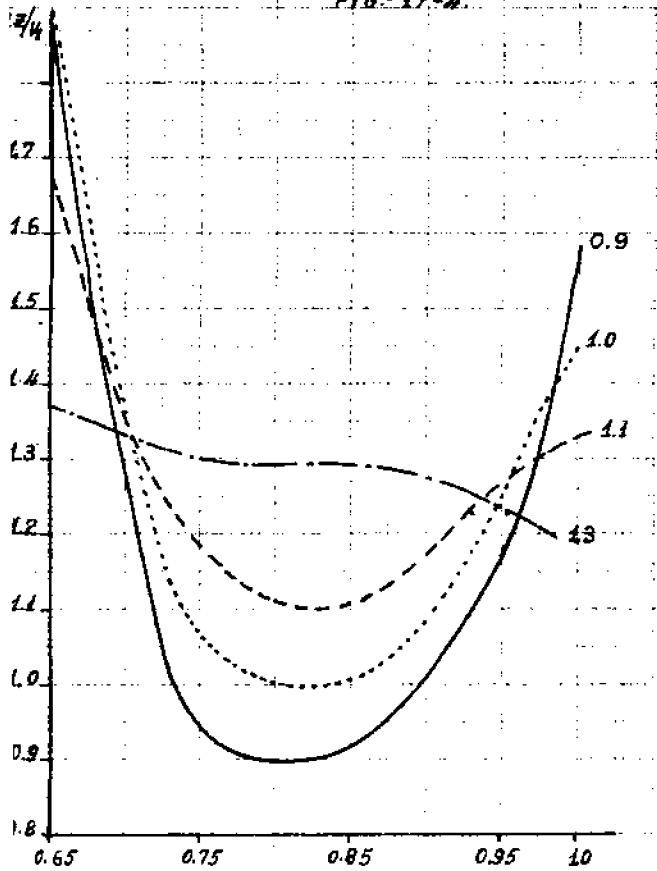


FIG.-18-A.

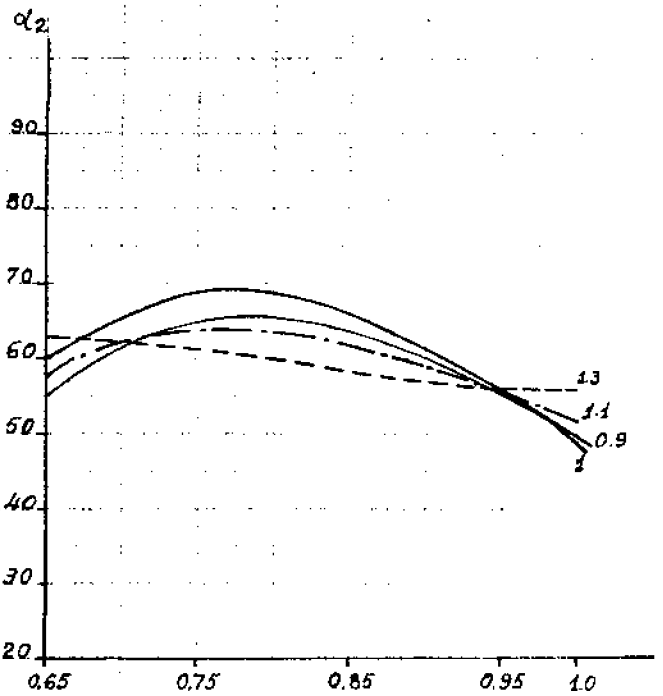


FIG.-19-A.

Líneas de corriente
(Alabes de Estator sin torsión)

Condiciones línea media ($\alpha_2 = 65^\circ$, $\xi_{L1} = 0.65$, $h/c = 2.25$)

$M_{1m} = 0.25$ $\frac{V_{22}}{V_{12}} = 1.$
 $\delta = 0$

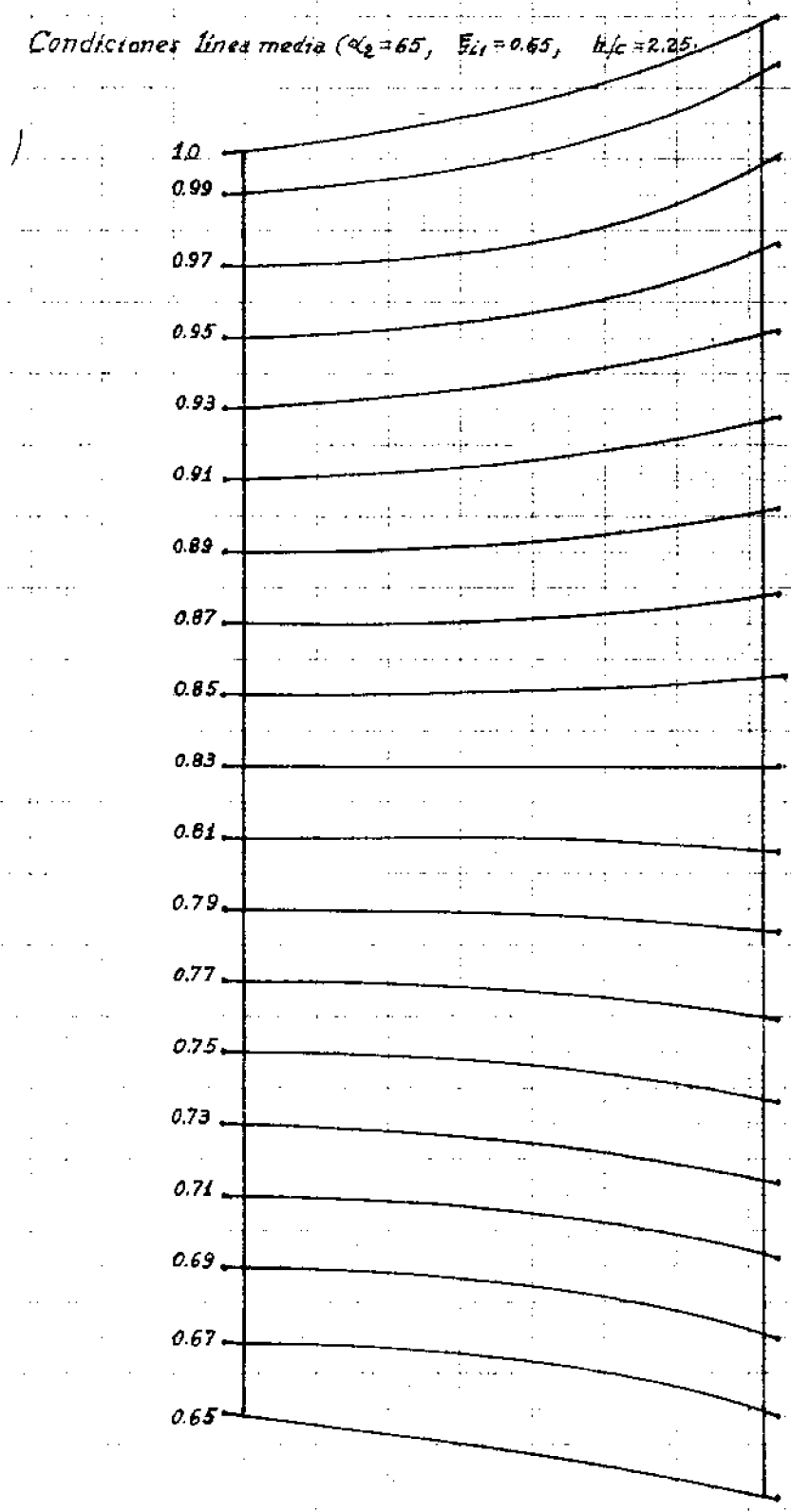


FIG.-20-4.

Influencia de las Desviaciones

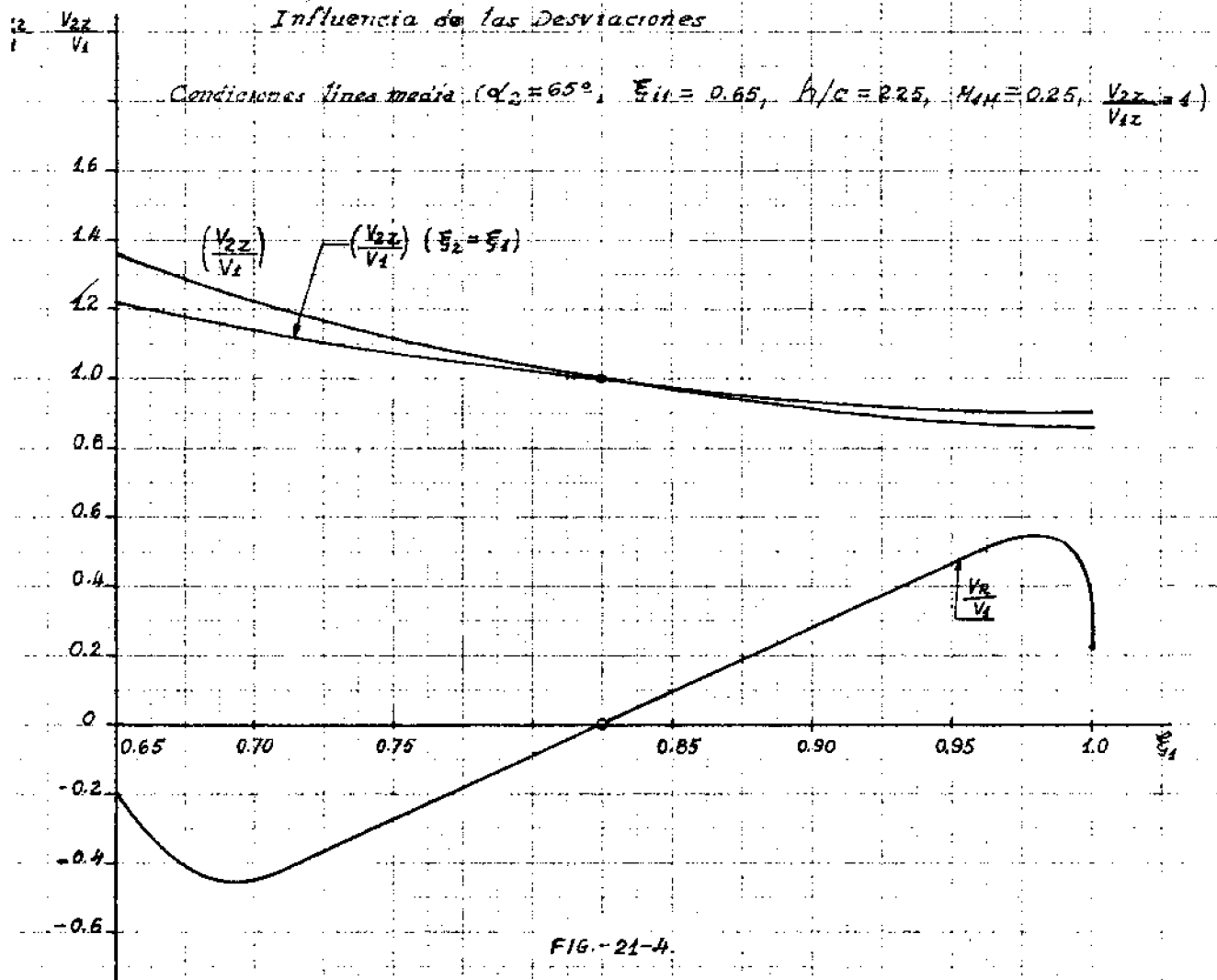


FIG.-21-4.

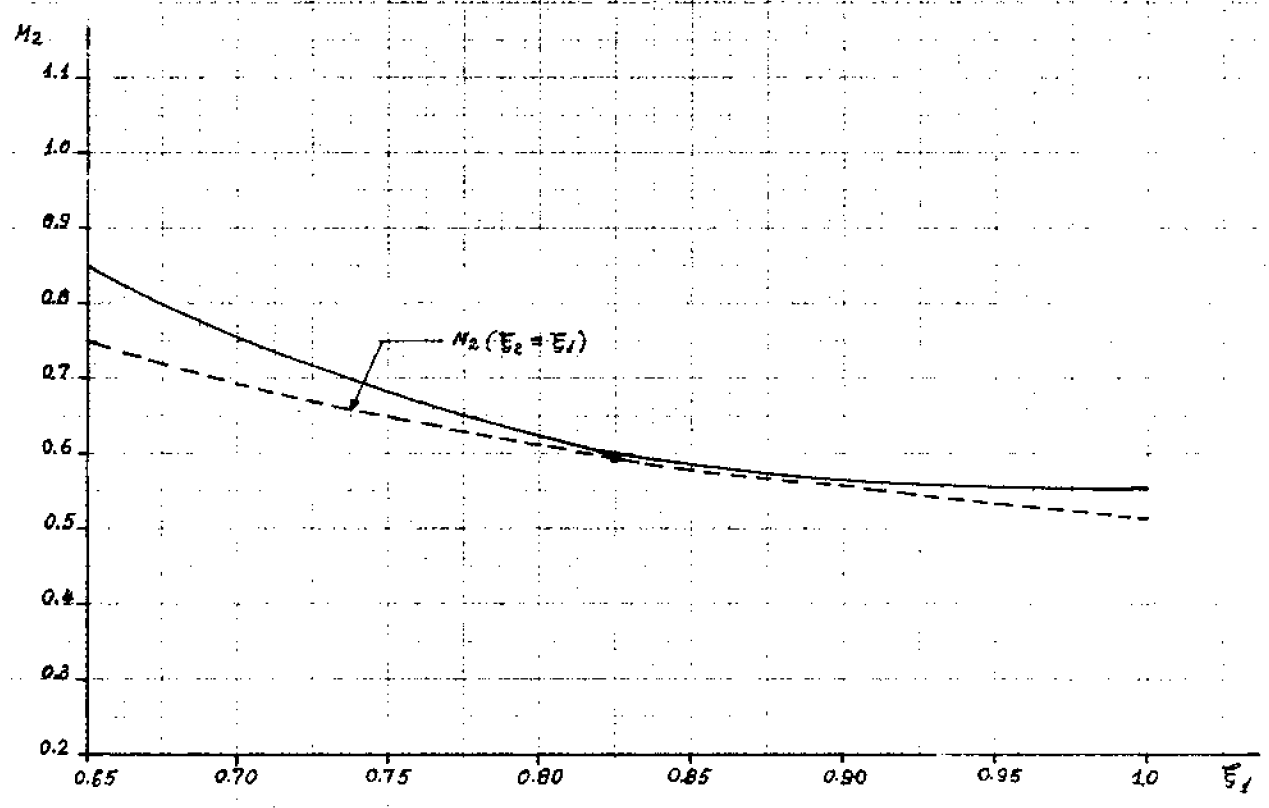


FIG.-22-4.

4-4 PLANTEAMIENTO DE LAS ECUACIONES QUE RESUELVEN EL ROTOR.

Recordemos que la componente radial de la ecuación del impulso, aplicada en la sección 3, proporciona

$$\left(\frac{\partial V_m}{\partial r}\right)_3 + M(r) V_m^2 = N(r) \quad (4-14)$$

con:

$$M(r) = 2 \left[\frac{\cos \varphi}{rc} - \frac{u \cos \varphi}{V_m} \frac{\partial V_m}{\partial m} - \frac{1}{2T_{it}} \left[\frac{\partial T_{it}}{\partial r} \right]_1 \frac{dr_1}{dr_3} \right]_3$$

$$N(r) = 2 \left[\frac{V_{03}^2 + 2c - V_1^2}{2T_{it}} \left(\frac{\partial T}{\partial r} \right)_1 \frac{dr_1}{dr_3} - \frac{r_{03}}{r_3} \left(\frac{\partial r_{03}}{\partial r} \right)_3 \right]$$

La ecuación de continuidad (vease apéndice) proporciona:

$$\left[\frac{u \cos \varphi}{V_m} \frac{\partial V_m}{\partial m} \right]_3 = - \left[\frac{(1 + M_0^2 + \frac{r}{\cos \varphi rc}) \frac{u \cos^2 \varphi}{r} + \frac{t \varphi}{f} \frac{\partial \varphi}{\partial r}}{1 - M_m^2} \right]_3$$

Por lo cual $M(r)$, puede escribirse así:

$$M(r) = 2 \left[\frac{\cos \varphi}{rc} + \frac{(1 + M_0^2 + \frac{r}{\cos \varphi rc}) \frac{u \cos^2 \varphi}{r} + \frac{t \varphi}{f} \frac{\partial \varphi}{\partial r}}{1 - M_m^2} - \frac{1}{2T_{it}} \left[\frac{\partial T_{it}}{\partial r} \right]_1 \frac{dr_1}{dr_2} \right]_2$$

Por otra parte, la ecuación de continuidad aplicada a un tubo de corriente entre las secciones 1 y 3 proporciona:

$$r_1 \rho_1 V_{z1} dr_1 = r_3 \rho_3 V_{z3} dr_3 \quad (4-15)$$

Las ecuaciones (4-14) y (4-15), igual que en el caso del estator, constituyen el sistema básico de nuestra solución para el rotor.

Procediendo en forma análoga, después de algunos desarrollos y simplificaciones en cierto modo considerables, resulta:

1º El sistema aplicado al caso de ley torsional torbellino libre en forma adimensional es:

$$\frac{dV_{m3}/V_1}{d\xi_1} = N(\xi) \frac{1}{(V_{m3}/V_1)} - M(\xi) \frac{V_{m3}}{V_1} \quad (4-16)$$

$$\frac{d\xi_3}{d\xi_1} = \frac{P_1}{P_{1tm}} \frac{1}{P_3/P_{1tm}} \frac{\xi_1}{\xi_3} \frac{1}{(V_{m3}/V_1) \cos \psi_3}$$

con:

$$a) \quad N(\xi) = \frac{2\Phi/\lambda_1^2 + (V_3/V_1)^2 - 1}{2T_{1t}/T_{1tm}} \frac{dT_{1t}/T_{1tm}}{d\xi_1}$$

$$b) \quad M(\xi) = \left[\frac{\cos \psi}{\tau_c} \tau_{c1} \frac{d\xi_3}{d\xi_1} + \left(\frac{1+M_0^2}{\cos \psi \tau_c} + \frac{\xi_3 \tau_{c1}}{\cos \psi \tau_c} \right) \frac{u u^2 \psi \frac{d\xi_3}{d\xi_1} + \tau_c \psi \frac{d\psi}{d\xi_1}}{\xi_3} \right] / (1-M_m^2)_3$$

$$c) \quad \left(\frac{V_{\theta 3}}{V_1} \right) = \frac{\xi_{1m}}{\xi_3} \left[R_v \psi - \frac{\Phi}{\lambda_1} \right]$$

2º El sistema apropiado para su aplicación al caso de directriz con ángulo de salida constante es:

$$\frac{dV_3/V_1}{d\xi_1} = N(\xi) \frac{1}{(V_3/V_1)} - M(\xi) \frac{(V_{m3}/V_1)^2 V_3}{(V_3/V_1) V_1} - \frac{1}{\xi_3} \frac{(V_{\theta 3}/V_1)^2 V_3}{(V_3/V_1) V_1} \frac{d\xi_3}{d\xi_1} \quad (4-17)$$

$$\frac{d\xi_3}{d\xi_1} = \frac{P_1}{P_{1tm}} \frac{1}{P_3/P_{1tm}} \frac{\xi_1}{\xi_3} \frac{1}{(V_{m3}/V_1) \cos \psi_3}$$

En este caso $N(\xi)$ y $M(\xi)$, tienen expresiones idénticas - al caso anterior, pero para la expresión de la componente tangencial de velocidad se tiene:

$$\left(\frac{V_{\theta 3}}{V_1} \right) = \frac{\xi_2}{\xi_3} \left(\frac{V_{\theta 2}}{V_1} \right) - \frac{\Phi}{\lambda_1} \frac{\xi_{1m}}{\xi_3}$$

donde $(V_{\theta 2}/V_1)$ es la velocidad tangencial obtenida en la solución del estator, para el caso que nos ocupa.

4-4-1 ECUACION DE LA LINEA DE CORRIENTE Y RELACIONES FUNCIONALES RESULTANTES.

La expresión de la línea de corriente en el intervalo comprendido entre las secciones 2 y 3, es:

$$\xi = a + b \left(\frac{z}{c_2} \right) + d \left(\frac{z}{c_2} \right)^2 + e \left(\frac{z}{c_2} \right)^n$$

el exponente n , está definido en la misma forma que en el caso del estator y tiene en cuenta que las paredes del canal -- son rectas, mientras que c_2 es la distancia axial entre las secciones 2 y 3.

La determinación de las constantes se efectúa teniendo en cuenta que la línea de corriente debe de pasar por y debe tener un punto de tangencia doble con la línea de corriente aproximada para el tramo 1-2, es decir:

$$\begin{aligned} \xi &= \xi_3, \text{ para } \frac{z}{c_2} = 1 \\ \xi &= \xi_2, \text{ para } \frac{z}{c_2} = 0 \\ \left(\frac{d\xi}{d(z/c_2)} \right)_{z/c_2=0} \frac{1}{c_2} &= \frac{1}{c_1} \left(\frac{d\xi_{1-2}}{d(z/c_1)} \right)_{z/c_1=1} \\ \left(\frac{d^2\xi}{d(z/c_2)^2} \right)_{z/c_2=0} \frac{1}{c_2^2} &= \frac{1}{c_1^2} \left(\frac{d^2\xi_{1-2}}{d(z/c_1)^2} \right)_{z/c_1=1} \end{aligned}$$

Teniendo en cuenta que la expresión de ξ_{1-2} es la que proporciona la relación (4-7) resulta:

$$\begin{aligned} a &= \xi_2 \\ b &= \frac{c_2}{c_1} n (\xi_2 - \xi_1) \\ d &= \left(\frac{c_2}{c_1} \right)^2 \frac{n(n-1)}{2} (\xi_2 - \xi_1) \\ e &= (\xi_3 - \xi_2) - \left(\frac{c_2}{c_1} \right) n (\xi_2 - \xi_1) \left[1 + \frac{c_2(n-1)}{c_1} \right] \end{aligned}$$

puede observarse que cuando $\xi_1 = \xi_2$ ó $\xi_1 = 1$, es decir cuando $n=1$, la ecuación de la línea de corriente es una recta que pasa por $\xi_2 i$, $\xi_3 i$ ó por $\xi_2 e$, $\xi_3 e$ respectivamente.

Los términos en φ_3 y $(rc)_3$ que figuran en las expresiones de $\lambda(\xi)$, pueden obtenerse como sigue:

$$\varphi_3 = \text{arc } \text{tg} \left(\left(\frac{d\xi}{d(\xi/c_2)} \right)_{\xi/c_2=1} \right)^{\pm 1}$$

con:

$$\begin{aligned} \sin \varphi_3 &= \frac{rc_1}{c_2} \\ \frac{\cos \varphi_3}{(rc)_3} rc_1 &= -\cos^2 \varphi_3 \left(\frac{d^2 \xi}{d(\xi/c_2)^2} \right)_{\xi/c_2=1}^{\pm 1} \\ \frac{rc_1}{\cos \varphi_3 (rc)_3} &= -\cos^2 \varphi_3 \left(\frac{d^2 \xi}{d(\xi/c_2)^2} \right)_{\xi/c_2=1}^{\pm 1} \end{aligned}$$

$$\text{tg} \varphi_3 \frac{d\varphi_3}{d\xi_1} = \sin \varphi_3 \cos \varphi_3 \sin \varphi_3 \frac{d}{d\xi_1} \left[\left(\frac{d\xi}{d(\xi/c_2)} \right)_{\xi/c_2=1} \right]$$

para lo cual hay que tener en cuenta, que de la ecuación de la línea de corriente se deduce:

$$\left(\frac{d\xi}{d(\xi/c_2)} \right)_{\xi/c_2=1} = \left(\frac{c_2}{c_1} \right) n (\xi_2 - \xi_1) \left[(1-n) + \frac{c_2}{2c_1} (3n - n^2 - 2) \right] + n(\xi_3 - \xi_2)$$

$$\left[\frac{d^2 \xi}{d(\xi/c_2)^2} \right]_{\xi/c_2=1} = \left(\frac{c_2}{c_1} \right) n(n-1)(\xi_2 - \xi_1) \left[\frac{c_2}{c_1} - n \left(1 + \frac{c_2}{c_1} \frac{n-1}{2} \right) \right] + n(n-1)(\xi_3 - \xi_2)$$

$$\begin{aligned} \frac{d}{d\xi_1} \left[\left(\frac{d\xi}{d(\xi/c_2)} \right)_{\xi/c_2=1} \right] &= \frac{c_2}{c_1} n \left[\frac{d\xi_2}{d\xi_1} - 1 \right] \left[(1-n) + \frac{c_2}{2c_1} (3n - n^2 - 2) \right] + \\ &+ n \left(\frac{d\xi_3}{d\xi_1} - \frac{d\xi_2}{d\xi_1} \right) \end{aligned}$$

4-4-2 RELACIONES ENTRE VARIABLES FLUIDAS

Las relaciones que existen entre los componentes de la velocidad son las fijadas en el Apéndice y además la que se deduce de la ley torsional elegida para el estator y la condición de que el trabajo específico para cada línea de corriente es constante. En estas condiciones cualquier componente de velocidad puede ponerse en función de una de ellas.

Por otra parte de la ecuación de la energía, se obtiene:

$$\frac{T_3}{T_1} = 1 - \frac{(r-1) M_{1M}^2}{(B + M_{\xi_1}) \left(1 + \frac{r-1}{2} M_{1M}^2\right)} \left(\frac{1}{2} \left(\frac{V_3}{V_1}\right)^2 + \frac{\bar{\Phi}}{\lambda_1^2} \right)$$

y en consecuencia de la condición de isentropía según una línea de corriente, se deduce:

$$\frac{p_1/p_{1M}}{p_3/p_{3M}} = \left[\frac{1}{\left(1 + \frac{r-1}{2} M_{1M}^2\right)^{T_3/T_1}} \right]^{\frac{1}{r-1}}$$

Por otra parte también puede deducirse fácilmente:

$$M_{\theta 3}^2 = \left(\frac{V_{\theta 3}}{V_1}\right)^2 \frac{M_{1M}^2}{1 + \frac{r-1}{2} M_{1M}^2} \frac{1}{(B + M_{\xi_1}) (T_3/T_1)}$$

$$M_{m3}^2 = \left(\frac{V_{m3}}{V_1}\right)^2 \frac{M_{1M}^2}{\left(1 + \frac{r-1}{2} M_{1M}^2\right)} \frac{1}{(B + M_{\xi_1}) (T_3/T_1)}$$

por lo que finalmente.

$$M_3^2 = M_{\theta 3}^2 + M_{m3}^2$$

Estas relaciones obtenidas entre las variables fluidas son necesarias para la reducción numérica del sistema (4-16) ó (4-17), según sea la ley torsional elegida.

4-5 METODO DE CALCULO Y DISCUSION DE RESULTADOS

El sistema (4-16) (lo mismo puede decirse del sistema - (4-17)), si se tiene en cuenta las relaciones funcionales - deducidas de la ecuación de las líneas de corriente y las re- laciones existentes entre variables fluidas puede ponerse im plícitamente en la forma:

$$\frac{d V_{m3}/V_1}{d \xi_1} = f_2 \left(\frac{V_{m3}}{V_1}, \frac{V_{m2}}{V_1}, \xi_3, \xi_2, \xi_1 \right) \quad (4-18)$$

$$\frac{d \xi_3}{d \xi_1} = f_1 \left(\frac{V_{m3}}{V_1}, \frac{V_{m2}}{V_1}, \xi_3, \xi_2, \xi_1 \right)$$

Este sistema puede ser resuelto numéricamente mediante el método de Kutta-Runge, debiendo hacer constar que la solución del problema del estator proporciona $V_{m2}/V_1 = V_{m2}/V_1(\xi_1)$ y $\xi_2 = \xi_2(\xi_1)$; de forma que el sistema (4-18) es un siste- ma de dos ecuaciones diferenciales en $V_{m3}/V_1(\xi_1)$ y $\xi_3(\xi_1)$; no obstante se ha puesto intencionadamente como función explí- cita de V_{m2}/V_1 y ξ_2 , porque el problema de determinación - de las variables fluidas en un escalón puede ser resuelto en bloque mediante la solución conjunta del sistema (4-13) y -- (4-18), lo cual ahorra tiempo de calculo y espacio de memoria.

Aunque el problema puede presentarse como problema de con- diciones iniciales ó como problema de condiciones de contorno, no entramos aquí en esta discusión porque ha sido tratada sufi- cientemente en el estudio del estator y porque además creemos que el problema de condiciones de contorno es más propio del - estudio de actuaciones.

Siguiendo el método de resolución conjunta de estator y ro- tor se presenta en el Apéndice B los programas denominados "B" y "A" que determinan las variables fluidas en un escalón para

torbellino libre y ángulo de directriz constante respectivamente, cuando se especifican condiciones iniciales en la línea media.

En las tablas (4-2) a (4-4) (pag. 134), se presentan soluciones completas obtenidas para el caso de torbellino libre. La influencia de las desviaciones radiales no puede desestimarse dado que la variación radial de la velocidad axial es considerable y en consecuencia los ángulos difieren apreciablemente de los calculados con la hipótesis de las pequeñas desviaciones radiales. El efecto de la no homoentropía es igualmente acusado; en el rotor con $\delta = 0.15$ tabla (4-3), la velocidad axial disminuye hasta hacerse nula prácticamente; a partir de este punto no continúa la solución debida a una sentencia de control especificada en el programa para evitar el "over-flow".

Este comportamiento cualitativo, tal como se vió, puede predecirse en cambio mediante la hipótesis de pequeñas desviaciones radiales.

En la tabla (4-5), (pag. 137), se presenta una solución para el caso de álabes de directriz sin torsión y $\delta = 0$, la influencia de la no homoentropía de la corriente es pequeña en el estator tabla (4-6) (pag. 139), mientras que influye decisivamente en el rotor figuras (4-23) y (4-24) (pag. 140), comportamiento que también se dedujo en el estudio de las pequeñas desviaciones radiales. En las figuras (4-25) y (4-26) (pag. 141), se observa que el efecto de las desviaciones radiales en el comportamiento del estator es pequeño pero en cambio es apreciable en el rotor.

ALFAZREU03 ALFAZREU03 DELIREU03 MAMU001 VZV/V1 VZR/V1 ALFA2 ALFA2R M2 M2R

R1/RE1	0.6500D 00	0.6452D 00	1.232	-0.038	69.07	53.90	0.76	0.46
0.6600D 00	0.6558D 00	1.228	-0.072	68.82	52.72	0.75	0.45	
0.6700D 00	0.6663D 00	1.221	-0.077	68.62	51.56	0.74	0.43	
0.6800D 00	0.6767D 00	1.213	-0.072	68.45	50.38	0.73	0.42	
0.6900D 00	0.6872D 00	1.206	-0.064	68.27	49.14	0.72	0.41	
0.7000D 00	0.6976D 00	1.199	-0.055	68.09	47.84	0.71	0.39	
0.7100D 00	0.7080D 00	1.193	-0.046	67.89	46.47	0.70	0.38	
0.7200D 00	0.7184D 00	1.188	-0.038	67.68	45.02	0.69	0.37	
0.7300D 00	0.7287D 00	1.184	-0.030	67.46	43.49	0.68	0.36	
0.7400D 00	0.7390D 00	1.181	-0.023	67.23	41.88	0.67	0.35	
0.7500D 00	0.7493D 00	1.179	-0.017	66.99	40.20	0.66	0.34	
0.7600D 00	0.7595D 00	1.177	-0.011	66.73	38.44	0.65	0.33	
0.7700D 00	0.7697D 00	1.176	-0.007	66.48	36.62	0.64	0.32	
0.7800D 00	0.7798D 00	1.175	-0.003	66.21	34.73	0.64	0.31	
0.7900D 00	0.7900D 00	1.175	-0.001	65.94	32.78	0.63	0.31	
0.8000D 00	0.8000D 00	1.175	0.000	65.67	30.77	0.62	0.30	
0.8100D 00	0.8100D 00	1.175	0.001	65.40	28.71	0.62	0.29	
0.8200D 00	0.8200D 00	1.175	0.001	65.13	26.61	0.61	0.29	
0.8300D 00	0.8300D 00	1.175	-0.001	64.87	24.46	0.60	0.28	
0.8400D 00	0.8399D 00	1.175	-0.003	64.61	22.29	0.60	0.28	
0.8500D 00	0.8498D 00	1.174	-0.005	64.36	20.06	0.59	0.27	
0.8600D 00	0.8596D 00	1.173	-0.009	64.12	17.85	0.58	0.27	
0.8700D 00	0.8695D 00	1.172	-0.012	63.89	15.59	0.58	0.26	
0.8800D 00	0.8793D 00	1.170	-0.016	63.67	13.32	0.57	0.26	
0.8900D 00	0.8891D 00	1.168	-0.020	63.46	11.03	0.57	0.26	
0.9000D 00	0.8989D 00	1.165	-0.025	63.27	8.73	0.56	0.26	
0.9100D 00	0.9087D 00	1.161	-0.029	63.09	6.42	0.56	0.25	
0.9200D 00	0.9185D 00	1.157	-0.033	62.93	4.10	0.55	0.25	
0.9300D 00	0.9283D 00	1.152	-0.037	62.77	1.77	0.55	0.25	
0.9400D 00	0.9382D 00	1.147	-0.040	62.63	-0.56	0.54	0.25	
0.9500D 00	0.9480D 00	1.142	-0.042	62.49	-2.89	0.54	0.25	
0.9600D 00	0.9579D 00	1.136	-0.044	62.36	-5.22	0.53	0.25	
0.9700D 00	0.9678D 00	1.131	-0.044	62.23	-7.53	0.53	0.25	
0.9800D 00	0.9778D 00	1.126	-0.042	62.09	-9.82	0.52	0.25	
0.9900D 00	0.9877D 00	1.123	-0.036	61.92	-12.06	0.52	0.25	
0.1000D 01	0.9976D 00	1.122	-0.017	61.70	-14.23	0.51	0.25	

R1/RE1	R3/RE1	V3Z/VI	V3R/VI	ALFA3	ALFA3R	M3	GRAD.REAC.
0.65000 00	0.63410 00	1.255	-0.090	-23.41	-58.50	0.31	0.13
0.66000 00	0.64510 00	1.252	-0.095	-23.10	-58.77	0.30	0.16
0.67000 00	0.65600 00	1.259	-0.050	-22.66	-58.85	0.30	0.19
0.68000 00	0.66680 00	1.270	-0.034	-22.14	-58.83	0.31	0.21
0.69000 00	0.67750 00	1.282	-0.042	-21.65	-58.81	0.31	0.24
0.70000 00	0.68820 00	1.290	-0.060	-21.22	-58.86	0.31	0.27
0.71000 00	0.69870 00	1.292	-0.082	-20.90	-59.03	0.31	0.29
0.72000 00	0.70930 00	1.288	-0.103	-20.67	-59.31	0.31	0.31
0.73000 00	0.71990 00	1.279	-0.121	-20.52	-59.69	0.31	0.33
0.74000 00	0.73060 00	1.266	-0.133	-20.43	-60.14	0.30	0.35
0.75000 00	0.74130 00	1.251	-0.139	-20.38	-60.64	0.30	0.37
0.76000 00	0.75220 00	1.236	-0.139	-20.34	-61.16	0.30	0.38
0.77000 00	0.76320 00	1.220	-0.132	-20.31	-61.67	0.29	0.39
0.78000 00	0.77430 00	1.206	-0.119	-20.25	-62.15	0.29	0.41
0.79000 00	0.78550 00	1.194	-0.100	-20.17	-62.59	0.28	0.42
0.80000 00	0.79670 00	1.185	-0.077	-20.05	-62.98	0.28	0.43
0.81000 00	0.80800 00	1.179	-0.049	-19.89	-63.31	0.28	0.44
0.82000 00	0.81930 00	1.175	-0.017	-19.69	-63.58	0.28	0.46
0.83000 00	0.83070 00	1.175	0.018	-19.44	-63.78	0.28	0.47
0.84000 00	0.84190 00	1.179	0.055	-19.15	-63.92	0.28	0.48
0.85000 00	0.85320 00	1.185	0.094	-18.82	-63.99	0.28	0.50
0.86000 00	0.86430 00	1.196	0.134	-18.44	-63.99	0.28	0.51
0.87000 00	0.87530 00	1.210	0.175	-18.03	-63.92	0.29	0.53
0.88000 00	0.88620 00	1.228	0.215	-17.57	-63.77	0.29	0.54
0.89000 00	0.89690 00	1.251	0.254	-17.08	-63.55	0.30	0.56
0.90000 00	0.90740 00	1.278	0.291	-16.55	-63.23	0.30	0.58
0.91000 00	0.91770 00	1.311	0.325	-15.98	-62.83	0.31	0.60
0.92000 00	0.92770 00	1.350	0.354	-15.38	-62.32	0.32	0.62
0.93000 00	0.93750 00	1.396	0.376	-14.75	-61.71	0.33	0.64
0.94000 00	0.94690 00	1.448	0.390	-14.11	-60.99	0.34	0.67
0.95000 00	0.95610 00	1.507	0.391	-13.45	-60.19	0.36	0.69
0.96000 00	0.96490 00	1.571	0.375	-12.81	-59.31	0.37	0.72
0.97000 00	0.97340 00	1.637	0.331	-12.20	-58.43	0.38	0.74
0.98000 00	0.98170 00	1.698	0.247	-11.68	-57.66	0.39	0.76
0.99000 00	0.98970 00	1.738	0.116	-11.33	-57.21	0.40	0.78
0.10000 01	0.99770 00	1.747	0.000	-11.19	-57.23	0.40	0.79

I1/RE1=0.65 ALFA2M=65. DELTA=0.150 M2M=0.61 H/C1=2.25 FI=1.50 LANDA=0.51 V2Z/V1=1.17 V3Z/V1=1.17

R1/RE1	R2/RE1	V2Z/V1	V2R/V1	ALFA2	ALFA2R	M2	M2R
0.65000 00	0.70190 00	0.899	-0.312	73.12	55.26	0.72	0.37
0.66000 00	0.71580 00	0.930	-0.254	72.25	52.35	0.70	0.35
0.67000 00	0.72910 00	0.958	-0.201	71.44	49.49	0.69	0.34
0.68000 00	0.74180 00	0.984	-0.155	70.66	46.63	0.67	0.33
0.69000 00	0.75410 00	1.009	-0.115	69.89	43.77	0.66	0.32
0.70000 00	0.76590 00	1.034	-0.081	69.14	40.90	0.65	0.31
0.71000 00	0.77740 00	1.060	-0.053	68.38	38.03	0.64	0.30
0.72000 00	0.78850 00	1.085	-0.031	67.62	35.16	0.63	0.29
0.73000 00	0.79930 00	1.111	-0.015	66.86	32.33	0.62	0.29
0.74000 00	0.80980 00	1.137	-0.005	66.11	29.56	0.62	0.29
0.75000 00	0.82000 00	1.163	-0.000	65.36	26.86	0.61	0.28
0.76000 00	0.82990 00	1.187	-0.001	64.64	24.25	0.60	0.28
0.77000 00	0.83970 00	1.210	-0.008	63.95	21.75	0.60	0.28
0.78000 00	0.84920 00	1.231	-0.020	63.31	19.36	0.59	0.28
0.79000 00	0.85850 00	1.249	-0.036	62.72	17.08	0.58	0.28
0.80000 00	0.86770 00	1.263	-0.056	62.21	14.90	0.58	0.28
0.81000 00	0.87680 00	1.273	-0.078	61.77	12.82	0.57	0.28
0.82000 00	0.88580 00	1.278	-0.103	61.42	10.81	0.57	0.28
0.83000 00	0.89480 00	1.280	-0.128	61.16	8.85	0.56	0.27
0.84000 00	0.90380 00	1.276	-0.153	60.98	6.92	0.55	0.27
0.85000 00	0.91270 00	1.269	-0.177	60.88	5.00	0.54	0.27
0.86000 00	0.92180 00	1.258	-0.199	60.85	3.06	0.54	0.26
0.87000 00	0.93080 00	1.244	-0.218	60.89	1.09	0.53	0.26
0.88000 00	0.94000 00	1.228	-0.233	60.96	-0.93	0.52	0.25
0.89000 00	0.94930 00	1.211	-0.243	61.06	-3.00	0.51	0.25
0.90000 00	0.95860 00	1.196	-0.246	61.13	-5.12	0.51	0.25
0.91000 00	0.96810 00	1.185	-0.237	61.11	-7.24	0.50	0.24
0.92000 00	0.97750 00	1.186	-0.204	60.86	-9.29	0.49	0.24
0.93000 00	0.98690 00	1.206	-0.101	60.22	-11.09	0.49	0.25

R1/RE1	R3/RE1	V3Z/V1	V3R/V1	ALFA3	ALFA3R	M3	GRAD.REAC.
0.65000 00	0.64450 00	0.014	-0.001	-88.47	-89.60	0.12	0.18
0.66000 00	0.65790 00	0.288	-0.087	-61.18	-82.13	0.14	0.22
0.67000 00	0.69430 00	0.504	-0.021	-44.58	-76.78	0.16	0.25
0.68000 00	0.71840 00	0.657	0.013	-36.13	-73.26	0.19	0.29
0.69000 00	0.73750 00	0.780	0.017	-30.91	-70.62	0.21	0.32
0.70000 00	0.75390 00	0.878	0.002	-27.49	-68.64	0.23	0.35
0.71000 00	0.76870 00	0.955	-0.018	-25.14	-67.21	0.24	0.38
0.72000 00	0.78230 00	1.016	-0.035	-23.45	-66.15	0.25	0.40
0.73000 00	0.79520 00	1.065	-0.042	-22.13	-65.34	0.26	0.42
0.74000 00	0.80750 00	1.110	-0.036	-21.03	-64.66	0.27	0.44
0.75000 00	0.81930 00	1.153	-0.016	-20.04	-64.01	0.27	0.45
0.76000 00	0.83060 00	1.197	0.019	-19.11	-63.36	0.28	0.47
0.77000 00	0.84150 00	1.243	0.068	-18.23	-62.69	0.29	0.49
0.78000 00	0.85200 00	1.291	0.131	-17.40	-61.99	0.30	0.51
0.79000 00	0.86210 00	1.340	0.207	-16.61	-61.28	0.31	0.53
0.80000 00	0.87180 00	1.390	0.293	-15.87	-60.58	0.32	0.55
0.81000 00	0.88130 00	1.440	0.388	-15.19	-59.88	0.34	0.58
0.82000 00	0.89040 00	1.492	0.490	-14.54	-59.18	0.35	0.61
0.83000 00	0.89920 00	1.546	0.595	-13.92	-58.44	0.37	0.64
0.84000 00	0.90780 00	1.607	0.702	-13.29	-57.63	0.39	0.68
0.85000 00	0.91610 00	1.677	0.807	-12.64	-56.67	0.41	0.72
0.86000 00	0.92410 00	1.764	0.907	-11.94	-55.50	0.43	0.77
0.87000 00	0.93180 00	1.874	0.997	-11.16	-54.02	0.46	0.83
0.88000 00	0.93910 00	2.019	1.067	-10.30	-52.13	0.49	0.90
0.89000 00	0.94590 00	2.212	1.091	-9.35	-49.72	0.53	0.99
0.90000 00	0.95220 00	2.467	1.012	-8.35	-46.74	0.57	1.09
0.91000 00	0.95790 00	2.770	0.700	-7.40	-43.55	0.61	1.19
0.92000 00	0.96330 00	2.971	0.041	-6.87	-41.67	0.64	1.26
0.93000 00	0.96850 00	2.964	-0.351	-6.85	-41.85	0.64	1.27

ALFA2M=65. M2M=0.70 H/C1=2.25 FI=1.50 LANDA=0.48 V2Z/V1=1.25 V3Z/V1=1.25

RI/RE1	R2/RE1	V2Z/V1	V2R/V1	ALFA2	ALFA2R	M2	M2R
0.65000 00	0.64360 00	1.317	-0.054	69.00	53.94	0.89	0.54
0.66000 00	0.65440 00	1.311	-0.101	68.77	52.76	0.88	0.52
0.67000 00	0.66520 00	1.301	-0.106	68.60	51.62	0.86	0.51
0.68000 00	0.67580 00	1.291	-0.097	68.45	50.46	0.85	0.49
0.69000 00	0.68650 00	1.281	-0.084	68.29	49.24	0.83	0.47
0.70000 00	0.69710 00	1.273	-0.070	68.12	47.94	0.82	0.46
0.71000 00	0.70760 00	1.265	-0.057	67.93	46.57	0.81	0.44
0.72000 00	0.71810 00	1.260	-0.045	67.73	45.11	0.80	0.43
0.73000 00	0.72860 00	1.255	-0.034	67.51	43.57	0.78	0.41
0.74000 00	0.73900 00	1.252	-0.024	67.28	41.95	0.77	0.40
0.75000 00	0.74940 00	1.249	-0.016	67.03	40.25	0.76	0.39
0.76000 00	0.75960 00	1.248	-0.009	66.77	38.48	0.75	0.38
0.77000 00	0.76990 00	1.247	-0.004	66.50	36.63	0.74	0.37
0.78000 00	0.78000 00	1.247	0.000	66.23	34.73	0.74	0.36
0.79000 00	0.79010 00	1.247	0.003	65.96	32.77	0.73	0.35
0.80000 00	0.80010 00	1.248	0.004	65.68	30.75	0.72	0.34
0.81000 00	0.81010 00	1.248	0.003	65.40	28.70	0.71	0.34
0.82000 00	0.82010 00	1.248	0.001	65.13	26.60	0.70	0.33
0.83000 00	0.82990 00	1.248	-0.002	64.87	24.47	0.70	0.32
0.84000 00	0.83980 00	1.248	-0.006	64.62	22.32	0.69	0.32
0.85000 00	0.84960 00	1.247	-0.010	64.38	20.14	0.68	0.31
0.86000 00	0.85930 00	1.245	-0.016	64.15	17.93	0.67	0.31
0.87000 00	0.86910 00	1.242	-0.022	63.95	15.71	0.67	0.30
0.88000 00	0.87880 00	1.239	-0.028	63.76	13.48	0.66	0.30
0.89000 00	0.88850 00	1.235	-0.035	63.59	11.22	0.65	0.30
0.90000 00	0.89830 00	1.229	-0.041	63.43	8.94	0.65	0.29
0.91000 00	0.90800 00	1.223	-0.047	63.30	6.64	0.64	0.29
0.92000 00	0.91770 00	1.217	-0.053	63.18	4.33	0.63	0.29
0.93000 00	0.92750 00	1.209	-0.058	63.08	2.00	0.63	0.28
0.94000 00	0.93730 00	1.201	-0.062	62.99	-0.36	0.62	0.28
0.95000 00	0.94710 00	1.193	-0.065	62.91	-2.72	0.62	0.28
0.96000 00	0.95700 00	1.184	-0.067	62.83	-5.10	0.61	0.28
0.97000 00	0.96690 00	1.176	-0.066	62.75	-7.47	0.60	0.28
0.98000 00	0.97680 00	1.169	-0.063	62.65	-9.82	0.60	0.28
0.99000 00	0.98680 00	1.164	-0.052	62.51	-12.13	0.59	0.28
0.10000 01	0.99670 00	1.163	-0.025	62.30	-14.35	0.59	0.28

RI/REI	R3/REI	V3Z/V1	V3K/V1	ALFA2	ALFA3K	M3	UKAU*KEAU*
0.65000 00	0.63240 00	1.411	-0.102	-22.30	-57.01	0.37	0.14
0.66000 00	0.64320 00	1.411	-0.084	-21.97	-57.23	0.37	0.17
0.67000 00	0.65410 00	1.423	-0.021	-21.47	-57.21	0.37	0.20
0.68000 00	0.66470 00	1.445	-0.012	-20.87	-57.02	0.38	0.23
0.69000 00	0.67520 00	1.465	-0.040	-20.31	-56.88	0.38	0.26
0.70000 00	0.68560 00	1.475	-0.085	-19.91	-56.91	0.38	0.29
0.71000 00	0.69600 00	1.471	-0.132	-19.67	-57.18	0.38	0.32
0.72000 00	0.70640 00	1.457	-0.174	-19.59	-57.65	0.38	0.34
0.73000 00	0.71700 00	1.433	-0.206	-19.61	-58.29	0.38	0.35
0.74000 00	0.72770 00	1.404	-0.226	-19.71	-59.02	0.37	0.37
0.75000 00	0.73860 00	1.373	-0.234	-19.85	-59.78	0.36	0.38
0.76000 00	0.74970 00	1.344	-0.230	-19.97	-60.54	0.35	0.39
0.77000 00	0.76090 00	1.317	-0.215	-20.07	-61.25	0.35	0.40
0.78000 00	0.77240 00	1.294	-0.192	-20.12	-61.89	0.34	0.41
0.79000 00	0.78390 00	1.275	-0.160	-20.11	-62.44	0.33	0.42
0.80000 00	0.79560 00	1.262	-0.121	-20.03	-62.91	0.33	0.43
0.81000 00	0.80740 00	1.253	-0.076	-19.89	-63.28	0.33	0.44
0.82000 00	0.81910 00	1.249	-0.026	-19.69	-63.57	0.32	0.46
0.83000 00	0.83090 00	1.249	0.027	-19.43	-63.78	0.32	0.47
0.84000 00	0.84260 00	1.253	0.085	-19.13	-63.92	0.32	0.48
0.85000 00	0.85420 00	1.261	0.145	-18.78	-63.98	0.33	0.50
0.86000 00	0.86580 00	1.273	0.207	-18.38	-63.97	0.33	0.51
0.87000 00	0.87720 00	1.289	0.270	-17.95	-63.89	0.34	0.53
0.88000 00	0.88840 00	1.309	0.333	-17.47	-63.73	0.34	0.55
0.89000 00	0.89950 00	1.335	0.396	-16.95	-63.48	0.35	0.57
0.90000 00	0.91040 00	1.368	0.457	-16.39	-63.12	0.37	0.59
0.91000 00	0.92100 00	1.408	0.516	-15.77	-62.64	0.38	0.61
0.92000 00	0.93140 00	1.457	0.571	-15.10	-62.01	0.40	0.64
0.93000 00	0.94140 00	1.518	0.620	-14.37	-61.22	0.41	0.67
0.94000 00	0.95110 00	1.591	0.661	-13.60	-60.24	0.43	0.70
0.95000 00	0.96040 00	1.680	0.687	-12.78	-59.06	0.46	0.74
0.96000 00	0.96930 00	1.786	0.689	-11.94	-57.67	0.48	0.77
0.97000 00	0.97770 00	1.908	0.649	-11.10	-56.10	0.51	0.82
0.98000 00	0.98570 00	2.038	0.534	-10.33	-54.50	0.53	0.85
0.99000 00	0.99330 00	2.144	0.311	-9.75	-53.27	0.54	0.88
0.10000 01	0.10010 01	2.182	0.056	-9.52	-52.94	0.55	0.89

1/REI=0.65 ALFA2M=65. DELTA=0. M2M=0.70 H/C1=2.25 FI=1.50 LANDA=0.60 V2Z/V1=1.25 V3Z/V1=1.25

R1/REI	R2/REI	VZZ/V1	VZR/V1	ALFAZ	ALFA2R	M2	M2R
0.65000 00	0.65910 00	1.468	0.086	65.00	45.35	0.84	0.50
0.66000 00	0.66820 00	1.452	0.165	65.00	44.53	0.83	0.49
0.67000 00	0.67740 00	1.438	0.180	65.00	43.73	0.82	0.48
0.68000 00	0.68670 00	1.426	0.172	65.00	42.93	0.81	0.47
0.69000 00	0.69590 00	1.414	0.157	65.00	42.10	0.80	0.46
0.70000 00	0.70520 00	1.403	0.139	65.00	41.24	0.80	0.45
0.71000 00	0.71460 00	1.391	0.121	65.00	40.33	0.79	0.44
0.72000 00	0.72390 00	1.379	0.104	65.00	39.37	0.78	0.43
0.73000 00	0.73330 00	1.367	0.088	65.00	38.36	0.77	0.42
0.74000 00	0.74280 00	1.355	0.073	65.00	37.29	0.77	0.41
0.75000 00	0.75230 00	1.342	0.059	65.00	36.17	0.76	0.40
0.76000 00	0.76180 00	1.330	0.047	65.00	34.98	0.75	0.39
0.77000 00	0.77140 00	1.317	0.036	65.00	33.72	0.74	0.38
0.78000 00	0.78110 00	1.304	0.027	65.00	32.40	0.73	0.37
0.79000 00	0.79070 00	1.292	0.018	65.00	31.00	0.73	0.36
0.80000 00	0.80050 00	1.279	0.011	65.00	29.54	0.72	0.35
0.81000 00	0.81020 00	1.267	0.006	65.00	28.00	0.71	0.34
0.82000 00	0.82010 00	1.254	0.002	65.00	26.38	0.70	0.33
0.83000 00	0.82990 00	1.242	-0.001	65.00	24.68	0.70	0.32
0.84000 00	0.83990 00	1.230	-0.003	65.00	22.91	0.69	0.32
0.85000 00	0.84990 00	1.218	-0.003	65.00	21.06	0.68	0.31
0.86000 00	0.85990 00	1.206	-0.003	65.00	19.13	0.67	0.30
0.87000 00	0.87000 00	1.195	-0.001	65.00	17.13	0.67	0.30
0.88000 00	0.88010 00	1.184	0.003	65.00	15.06	0.66	0.29
0.89000 00	0.89030 00	1.172	0.007	65.00	12.93	0.65	0.28
0.90000 00	0.90050 00	1.162	0.012	65.00	10.74	0.65	0.28
0.91000 00	0.91080 00	1.151	0.019	65.00	8.49	0.64	0.27
0.92000 00	0.92120 00	1.141	0.026	65.00	6.20	0.64	0.27
0.93000 00	0.93160 00	1.131	0.034	65.00	3.88	0.63	0.27
0.94000 00	0.94200 00	1.122	0.043	65.00	1.53	0.62	0.26
0.95000 00	0.95250 00	1.113	0.053	65.00	-0.84	0.62	0.26
0.96000 00	0.96300 00	1.104	0.063	65.00	-3.21	0.61	0.26
0.97000 00	0.97360 00	1.095	0.072	65.00	-5.58	0.61	0.26
0.98000 00	0.98430 00	1.087	0.078	65.00	-7.95	0.60	0.26
0.99000 00	0.99490 00	1.078	0.074	65.00	-10.33	0.60	0.26
0.10000 01	0.10060 01	1.070	0.039	65.00	-12.77	0.59	0.26

R1/REL	R3/REL	V3Z/V1	V3R/V1	ALFA3	ALFA3R	M3	GRAD. REAC.
0.65000 00	C.6324D 00	2.247	-0.386	-19.37	-46.70	0.60	0.52
0.66000 00	C.6404D 00	1.984	-1.038	-21.27	-50.27	0.59	0.52
0.67000 00	C.6496D 00	1.729	-1.265	-23.38	-54.07	0.56	0.50
0.68000 00	C.6597D 00	1.588	-1.267	-24.38	-56.32	0.53	0.48
0.69000 00	C.6703D 00	1.511	-1.190	-24.61	-57.62	0.50	0.46
0.70000 00	C.6811D 00	1.462	1.086	-24.47	-58.47	0.48	0.44
0.71000 00	C.6921D 00	1.426	-0.975	-24.18	-59.13	0.45	0.43
0.72000 00	C.7033D 00	1.397	-0.865	-23.83	-59.71	0.43	0.42
0.73000 00	C.7145D 00	1.370	-0.758	-23.47	-60.24	0.41	0.41
0.74000 00	C.7259D 00	1.347	-0.656	-23.10	-60.75	0.39	0.41
0.75000 00	C.7373D 00	1.326	-0.558	-22.73	-61.23	0.38	0.41
0.76000 00	C.7488D 00	1.307	-0.467	-22.35	-61.69	0.36	0.41
0.77000 00	C.7604D 00	1.290	-0.380	-21.98	-62.12	0.35	0.41
0.78000 00	C.7721D 00	1.275	-0.299	-21.59	-62.52	0.34	0.42
0.79000 00	C.7838D 00	1.264	-0.223	-21.19	-62.87	0.34	0.43
0.80000 00	C.7955D 00	1.255	-0.152	-20.76	-63.18	0.33	0.43
0.81000 00	C.8073D 00	1.250	-0.087	-20.31	-63.43	0.33	0.45
0.82000 00	C.8191D 00	1.248	-0.028	-19.83	-63.62	0.32	0.46
0.83000 00	C.8309D 00	1.250	0.026	-19.31	-63.74	0.32	0.47
0.84000 00	C.8426D 00	1.256	0.074	-18.75	-63.79	0.32	0.48
0.85000 00	C.8542D 00	1.266	0.116	-18.15	-63.76	0.33	0.50
0.86000 00	C.8656D 00	1.281	0.150	-17.52	-63.66	0.33	0.51
0.87000 00	C.8770D 00	1.300	0.177	-16.86	-63.48	0.33	0.53
0.88000 00	C.8881D 00	1.323	0.195	-16.18	-63.24	0.34	0.55
0.89000 00	C.8990D 00	1.349	0.204	-15.49	-62.95	0.35	0.56
0.90000 00	C.9098D 00	1.376	0.202	-14.81	-62.63	0.35	0.58
0.91000 00	C.9203D 00	1.403	0.189	-14.16	-62.32	0.36	0.59
0.92000 00	C.9307D 00	1.428	0.165	-13.56	-62.05	0.36	0.61
0.93000 00	C.9409D 00	1.447	0.130	-13.02	-61.88	0.36	0.62
0.94000 00	C.9511D 00	1.457	0.087	-12.56	-61.86	0.37	0.63
0.95000 00	C.9612D 00	1.455	0.039	-12.19	-62.02	0.36	0.64
0.96000 00	C.9713D 00	1.441	-0.006	-11.91	-62.37	0.36	0.64
0.97000 00	C.9816D 00	1.418	-0.036	-11.70	-62.88	0.35	0.64
0.98000 00	C.9920D 00	1.395	-0.031	-11.48	-63.40	0.35	0.65
0.99000 00	C.1002D 01	1.382	0.028	-11.18	-63.75	0.34	0.65
0.10000 01	C.1013D 01	1.381	0.066	-10.84	-63.90	0.34	0.66

I1/RE1=0.65 ALFA2M=65. DELTA=0.150 M2M=0.70 H/C1=2.25 FI=1.50 LANDA=0.48 V2Z/V1=1.25 V3Z/V1=1.25

RI/RE1	R2/RE1	V2Z/V1	V2R/V1	ALFA2	ALFA2R	M2	M2R
0.65000 00	0.65300 00	1.393	0.027	65.00	43.90	0.86	0.51
0.66000 00	0.66290 00	1.382	0.055	65.00	43.09	0.85	0.49
0.67000 00	0.67270 00	1.373	0.063	65.00	42.27	0.84	0.48
0.68000 00	0.68250 00	1.364	0.063	65.00	41.43	0.83	0.47
0.69000 00	0.69240 00	1.355	0.060	65.00	40.57	0.82	0.46
0.70000 00	0.70220 00	1.347	0.055	65.00	39.69	0.81	0.44
0.71000 00	0.71200 00	1.339	0.051	65.00	38.77	0.80	0.43
0.72000 00	0.72180 00	1.330	0.046	65.00	37.82	0.79	0.42
0.73000 00	0.73160 00	1.322	0.041	65.00	36.84	0.78	0.41
0.74000 00	0.74140 00	1.314	0.035	65.00	35.83	0.77	0.40
0.75000 00	0.75120 00	1.306	0.030	65.00	34.77	0.76	0.39
0.76000 00	0.76100 00	1.298	0.026	65.00	33.68	0.75	0.38
0.77000 00	0.77080 00	1.291	0.021	65.00	32.55	0.75	0.37
0.78000 00	0.78070 00	1.283	0.017	65.00	31.37	0.74	0.36
0.79000 00	0.79050 00	1.275	0.012	65.00	30.16	0.73	0.36
0.80000 00	0.80030 00	1.267	0.008	65.00	28.90	0.72	0.35
0.81000 00	0.81020 00	1.260	0.005	65.00	27.59	0.71	0.34
0.82000 00	0.82010 00	1.252	0.002	65.00	26.23	0.70	0.33
0.83000 00	0.82990 00	1.245	0.001	65.00	24.83	0.70	0.32
0.84000 00	0.83980 00	1.237	0.004	65.00	23.39	0.69	0.32
0.85000 00	0.84970 00	1.230	0.006	65.00	21.99	0.68	0.31
0.86000 00	0.85970 00	1.222	0.008	65.00	20.35	0.67	0.30
0.87000 00	0.86960 00	1.215	0.009	65.00	18.76	0.67	0.30
0.88000 00	0.87960 00	1.208	0.010	65.00	17.13	0.66	0.29
0.89000 00	0.88950 00	1.201	0.011	65.00	15.45	0.65	0.29
0.90000 00	0.89950 00	1.194	0.011	65.00	13.73	0.65	0.28
0.91000 00	0.90950 00	1.187	0.011	65.00	11.97	0.64	0.28
0.92000 00	0.91960 00	1.180	0.010	65.00	10.17	0.63	0.27
0.93000 00	0.92960 00	1.173	0.009	65.00	8.34	0.63	0.27
0.94000 00	0.93970 00	1.167	0.007	65.00	6.48	0.62	0.26
0.95000 00	0.94980 00	1.160	0.005	65.00	4.60	0.61	0.26
0.96000 00	0.95990 00	1.154	0.002	65.00	2.70	0.61	0.26
0.97000 00	0.97000 00	1.148	0.001	65.00	0.78	0.60	0.25
0.98000 00	0.98020 00	1.142	0.003	65.00	-1.14	0.60	0.25
0.99000 00	0.99040 00	1.136	0.006	65.00	-3.08	0.59	0.25
0.10000 01	0.10010 01	1.130	0.004	65.00	-5.02	0.58	0.25

Influencia de δ , en el rotor cuando la directriz es de ángulo cte

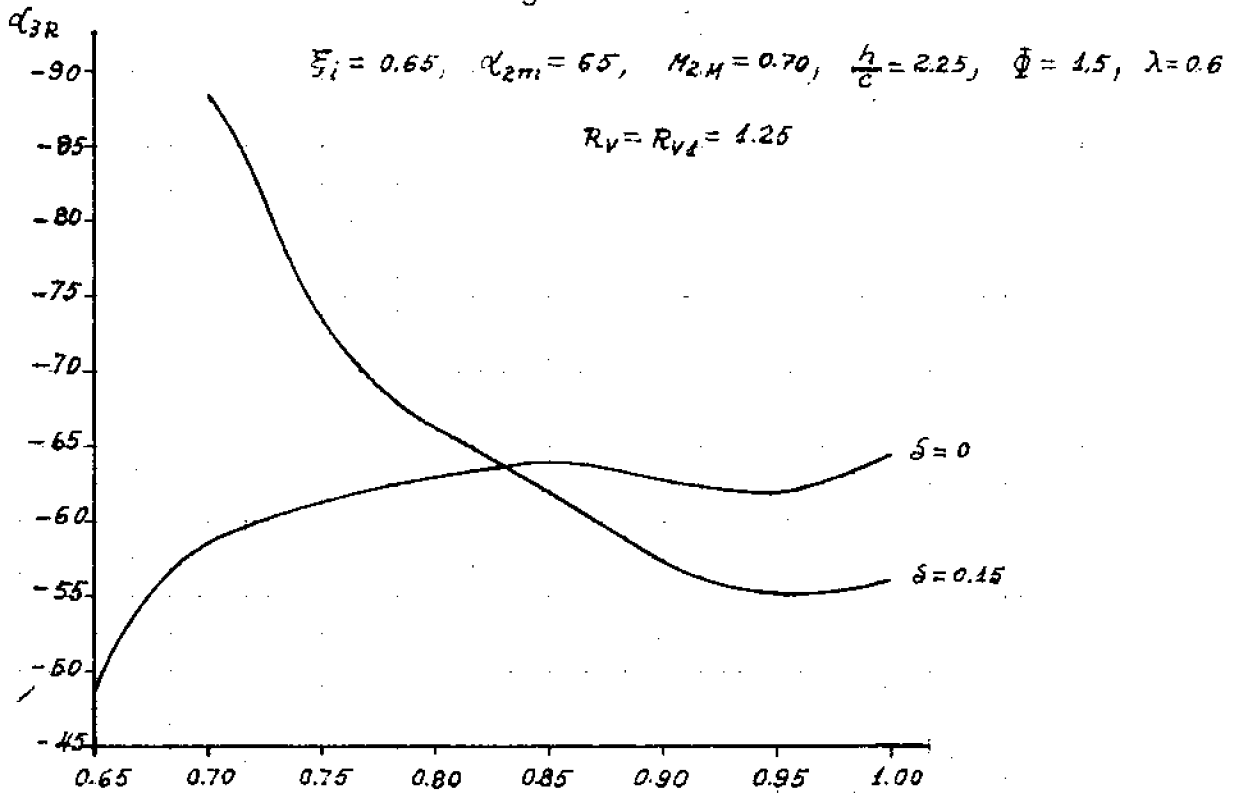


FIG.-23-4

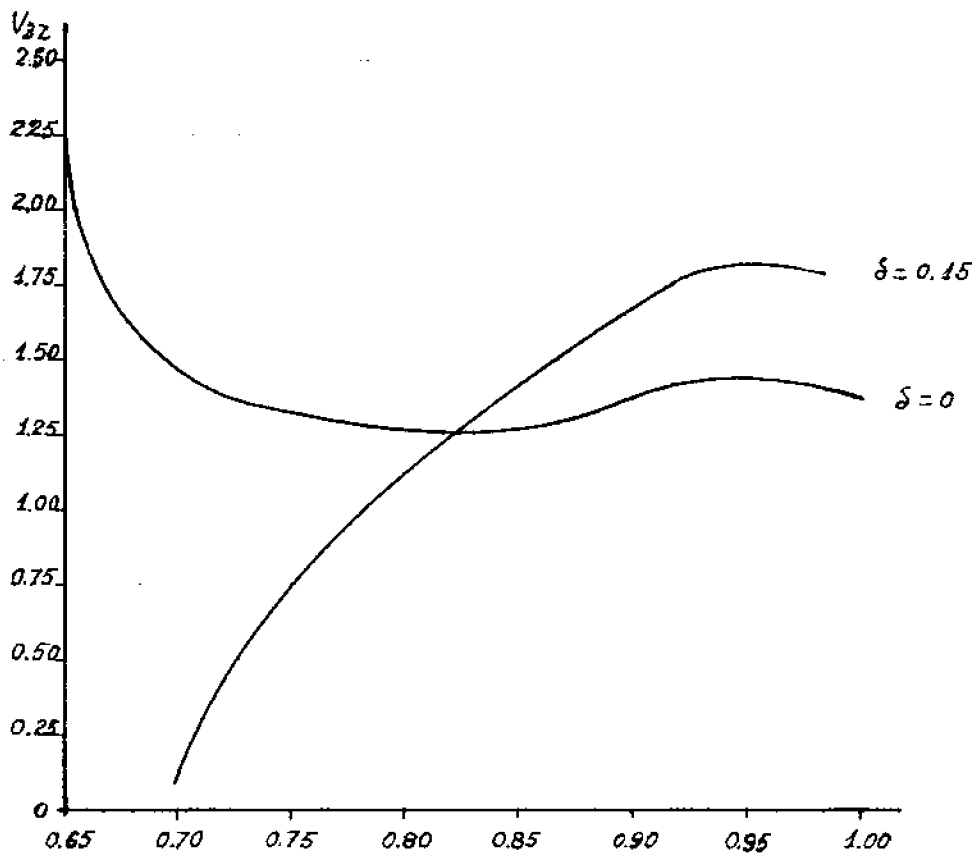


FIG.-24-k.

Influencia de las desviaciones radiales. Directriz con ángulo de salida constante $\delta = 0$.

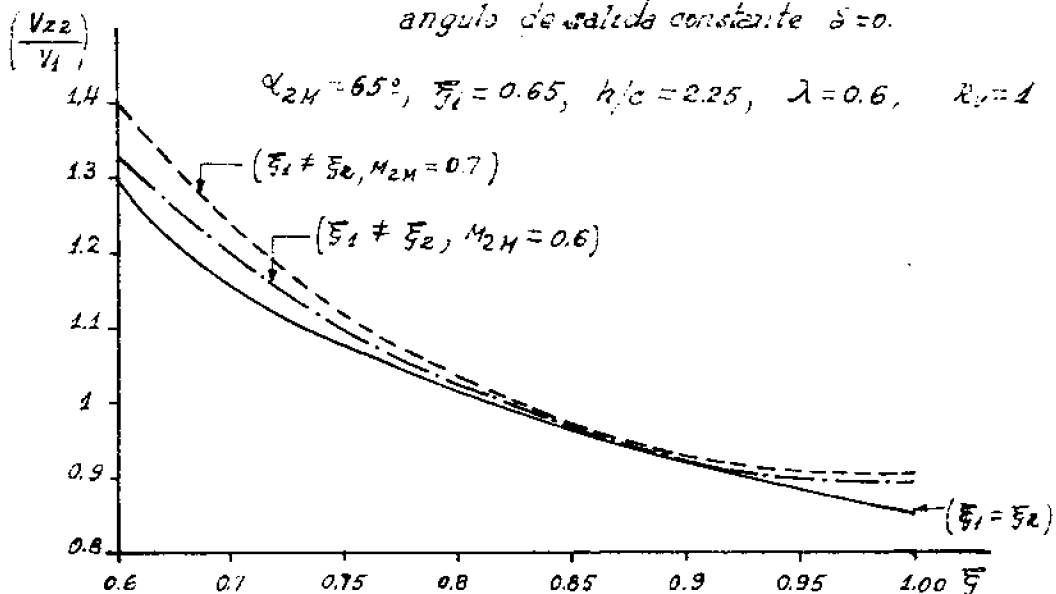


FIG.- 25-4.

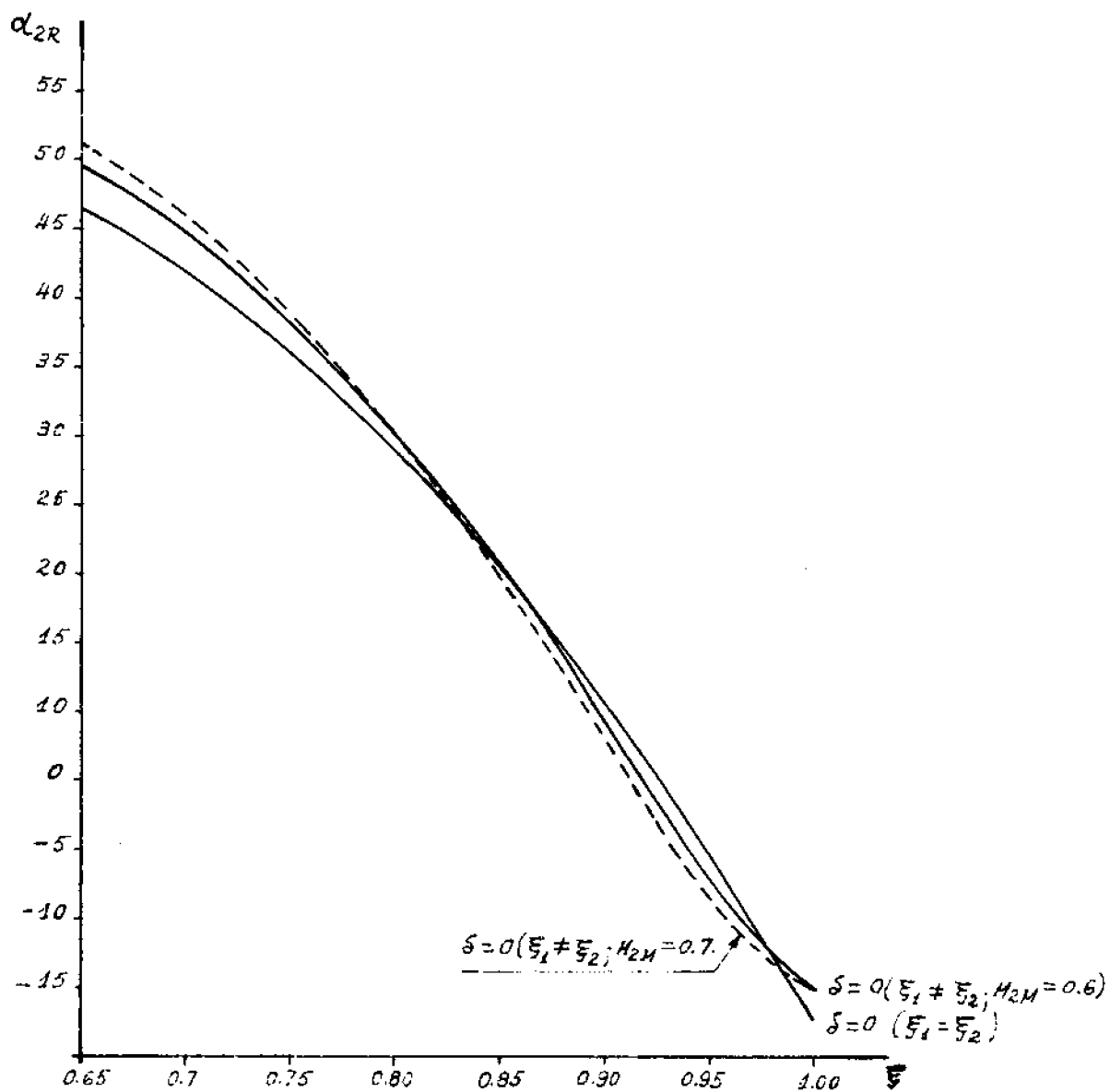


FIG.- 26-4

4-6 PROBLEMA DE ACTUACIONES

El problema de actuaciones, que tiene interés para nosotros, puede formularse de la siguiente manera: Diseñada una turbina con corriente homoentrópica, se trata de determinar las variables fluidas, ángulos de la corriente, rendimiento y trabajo específico que puede obtenerse; cuando se le hace funcionar con una corriente no homoentrópica. Es claro que en este caso son conocidos los ángulos de la corriente primitiva, la forma del canal y las condiciones nuevas de entrada. Supondremos que los ángulos de la corriente α_2 y α_{2R} , se mantienen constantes, lo que equivale a decir que las desviaciones de la corriente se mantienen constantes ó que las desviaciones angulares de la corriente son iguales en ambos casos.

En estas circunstancias el problema, para el caso del estator, queda resuelto mediante el sistema (4-5); teniendo en cuenta únicamente que en este caso $\alpha_2 = \alpha_2(\xi_1)$, conocida. Las condiciones de contorno son las impuestas por la forma especificada del canal.

El programa, que se presenta en el Apéndice, denominado programa "C" resuelve este tipo de problemas.

En la tabla (4-7) (pag. 145), se presenta la solución de un estator diseñado con corriente homoentrópica y en la tabla (4-8) (pag. 146), las actuaciones de dicho estator cuando el perfil de temperatura a la entrada es lineal y $\delta = 0.15$. La variación del ángulo α_{2R} , aunque no muy grande en este caso, significa una variación del ángulo de incidencia de la corriente relativa al rotor, causa por la cual las pérdidas aumentan.

En cambio el problema del rotor no podemos resolverlo -- todavía mediante las ecuaciones de que disponemos ya que estas han sido deducidas con la condición de que el trabajo específico se mantiene constante sobre una línea de corriente, cosa que no se cumple ó no tiene porque cumplirse en el problema de actuaciones.

La solución puede obtenerse como sigue: de la ecuación del impulso (1-10) y teniendo en cuenta que la ecuación de la energía proporciona:

$$H_3 - \kappa_3 V_{\theta 3} = H_2 - \kappa_2 V_{\theta 2}$$

puede deducirse después de un desarrollo análogo al seguido en el apartado (1-3):

$$\begin{aligned} V_{m3} \frac{\partial V_{m3}}{\partial r_3} + \frac{V_{\theta 3}}{r_3} \left(\frac{\partial r V_{\theta 3}}{\partial r} \right)_3 - \left(\frac{\partial \kappa V_{\theta 3}}{\partial r} \right)_3 = - \left[\frac{\cos \psi}{rc} - \frac{\kappa \psi}{r_m} \frac{\partial V_m}{\partial m} \right]_3 V_{\theta 3} + \\ + \frac{V_3^2 + 2c - V_1^2}{2Tt} \frac{\partial Tt}{\partial r_1} \frac{dr_1}{dr_3} - \frac{\partial (\kappa_2 V_{\theta 2})}{\partial r_2} \frac{dr_2}{dr_3} \end{aligned} \quad (4-19)$$

Por otra parte sabemos que en este caso es conocido $\alpha_{3R}(r)$ lo que proporciona la relación:

$$V_{m3} = \frac{V_{\theta 3} - \kappa_3}{\cos \psi_3 \tan \alpha_{3R}} \quad (4-20)$$

Eliminando $\frac{\partial V_{m3}}{\partial r_3}$ entre las ecuaciones (4-19) y (4-20), se obtiene en forma adimensional:

$$\begin{aligned} \frac{\partial V_{\theta 3}/V_1}{\partial \xi_1} = \frac{\cos \beta}{\lambda_1 \xi_{1m}} \frac{d\xi_3}{d\xi_1} + \frac{\cos^2 \beta}{\tan \beta} \left(\frac{V_{\theta 3}}{V_1} - \frac{\xi_3}{\lambda_1 \xi_{1m}} \right) \frac{d}{d\xi_1} (\tan \beta) \\ - \frac{V_{\theta 3}/V_1 \kappa^2 \beta}{\xi_3} \frac{d\xi_3}{d\xi_1} - \left[\frac{\cos \psi}{rc} \tau_{c1} - \frac{\kappa \psi}{r_m} \frac{\partial V_m}{\partial m} \tau_{c1} \right]_3 \cos^2 \beta \times \\ \times \left(\frac{V_{\theta 3}}{V_1} - \frac{\xi_3}{\lambda_1 \xi_{1m}} \right) \frac{d\xi_3}{d\xi_1} + \left[\frac{(V_{\theta 1})^2 + 2c/V_1^2 - 1}{2Tt/r_{1m}} \frac{dTt/r_{1m}}{d\xi_1} - \frac{\partial (\frac{\kappa_2 V_{\theta 2}}{V_1})}{\partial \xi_1} \right] \times \\ \times \frac{\kappa \psi^2 \beta}{V_{\theta 3}/V_1 - \xi_3/\lambda_1 \xi_{1m}} \end{aligned} \quad (4-21)$$

nabiendo necno:

$$t_{y, s} = \cos \theta_3 t_{y, x_3 R}$$

si se opera ahora igual que en el apartado (4-4), pero utilizándo la ecuación (4-21), en lugar de la ecuación (4-14), se obtiene un sistema análogo al (4-16) ó (4-17) que puede ser resuelto en la misma forma teniendo en cuenta las relaciones deducidas de la ecuación de la línea de corriente y las relaciones existentes entre las variables fluidas, pero con la salvedad de que el problema actual es un problema en condiciones de contorno.

R11/RE1=0.65	ALFA2M=65.	DELTA=0.	M2M=0.61	H/C1=2.25	FI=1.50	LANDA=0.60	V2Z/V1=1.17	V3Z/V1=1.17
R1/RE1	R2/RE1	V2Z/V1	V2R/V1	ALFA2	ALFA2R	M2	M2R	
0.65000 00	0.65990 00	1.380	0.088	65.00	45.28	0.72	0.43	
0.66000 00	0.66890 00	1.365	0.167	65.00	44.46	0.71	0.42	
0.67000 00	0.67790 00	1.353	0.180	65.00	43.68	0.71	0.41	
0.68000 00	0.68700 00	1.342	0.171	65.00	42.90	0.70	0.40	
0.69000 00	0.69620 00	1.331	0.154	65.00	42.09	0.69	0.39	
0.70000 00	0.70540 00	1.321	0.135	65.00	41.24	0.69	0.39	
0.71000 00	0.71460 00	1.310	0.116	65.00	40.35	0.68	0.38	
0.72000 00	0.72390 00	1.299	0.098	65.00	39.40	0.67	0.37	
0.73000 00	0.73330 00	1.287	0.081	65.00	38.40	0.67	0.36	
0.74000 00	0.74270 00	1.276	0.066	65.00	37.33	0.66	0.35	
0.75000 00	0.75210 00	1.264	0.052	65.00	36.21	0.66	0.34	
0.76000 00	0.76170 00	1.252	0.040	65.00	35.02	0.65	0.33	
0.77000 00	0.77120 00	1.240	0.030	65.00	33.77	0.64	0.33	
0.78000 00	0.78090 00	1.228	0.021	65.00	32.44	0.64	0.32	
0.79000 00	0.79060 00	1.216	0.013	65.00	31.04	0.63	0.31	
0.80000 00	0.80030 00	1.204	0.008	65.00	29.56	0.62	0.30	
0.81000 00	0.81020 00	1.193	0.003	65.00	28.01	0.62	0.29	
0.82000 00	0.82000 00	1.181	0.001	65.00	26.38	0.61	0.29	
0.83000 00	0.83000 00	1.169	-0.000	65.00	24.68	0.60	0.28	
0.84000 00	0.84000 00	1.158	-0.000	65.00	22.89	0.60	0.27	
0.85000 00	0.85010 00	1.146	0.001	65.00	21.03	0.59	0.27	
0.86000 00	0.86020 00	1.135	0.004	65.00	19.09	0.58	0.26	
0.87000 00	0.87040 00	1.125	0.009	65.00	17.09	0.58	0.26	
0.88000 00	0.88070 00	1.114	0.014	65.00	15.01	0.57	0.25	
0.89000 00	0.89100 00	1.104	0.021	65.00	12.87	0.57	0.25	
0.90000 00	0.90140 00	1.094	0.029	65.00	10.68	0.56	0.24	
0.91000 00	0.91180 00	1.084	0.037	65.00	8.44	0.56	0.24	
0.92000 00	0.92230 00	1.075	0.047	65.00	6.16	0.55	0.23	
0.93000 00	0.93280 00	1.066	0.058	65.00	3.86	0.55	0.23	
0.94000 00	0.94350 00	1.057	0.070	65.00	1.53	0.54	0.23	
0.95000 00	0.95410 00	1.049	0.082	65.00	-0.81	0.54	0.23	
0.96000 00	0.96480 00	1.041	0.094	65.00	-3.14	0.53	0.23	
0.97000 00	0.97560 00	1.034	0.105	65.00	-5.48	0.53	0.23	
0.98000 00	0.98640 00	1.026	0.111	65.00	-7.81	0.53	0.22	
0.99000 00	0.99730 00	1.019	0.102	65.00	-10.15	0.52	0.22	
0.10000 01	0.10080 01	1.011	0.053	65.00	-12.55	0.52	0.22	

$\lambda = 0.5106$

$\frac{d}{c} = 2.2500$

$M_{111} = 0.2125$

$\bar{c} = 0.1500$

$f_{12} = 1.0080$

$f_{11} = 0.6599$

$f_{10} = 0.6500$

R1/RE1	R2/RE1	VZ1/V1	V2R/V1	ALFA2	ALFA2R	M2	M2R
0.65000 00	0.65990 00	1.229	0.078	65.00	41.03	0.69	0.39
0.66000 00	0.66980 00	1.219	0.164	65.00	40.05	0.69	0.38
0.67000 00	0.67960 00	1.212	0.196	65.00	39.13	0.68	0.37
0.68000 00	0.68950 00	1.207	0.208	65.00	38.23	0.67	0.36
0.69000 00	0.69940 00	1.202	0.212	65.00	37.35	0.67	0.35
0.70000 00	0.70930 00	1.198	0.212	65.00	36.45	0.66	0.35
0.71000 00	0.71930 00	1.194	0.211	65.00	35.54	0.65	0.34
0.72000 00	0.72920 00	1.190	0.209	65.00	34.61	0.65	0.33
0.73000 00	0.73910 00	1.187	0.207	65.00	33.66	0.64	0.33
0.74000 00	0.74900 00	1.183	0.205	65.00	32.69	0.64	0.32
0.75000 00	0.75890 00	1.180	0.203	65.00	31.70	0.63	0.31
0.76000 00	0.76890 00	1.177	0.201	65.00	30.68	0.63	0.31
0.77000 00	0.77880 00	1.173	0.199	65.00	29.64	0.62	0.30
0.78000 00	0.78870 00	1.170	0.197	65.00	28.58	0.62	0.30
0.79000 00	0.79860 00	1.167	0.195	65.00	27.49	0.61	0.29
0.80000 00	0.80860 00	1.164	0.193	65.00	26.38	0.61	0.29
0.81000 00	0.81850 00	1.162	0.191	65.00	25.25	0.60	0.28
0.82000 00	0.82850 00	1.159	0.189	65.00	24.10	0.60	0.28
0.83000 00	0.83840 00	1.156	0.188	65.00	22.92	0.60	0.27
0.84000 00	0.84840 00	1.153	0.186	65.00	21.72	0.59	0.27
0.85000 00	0.85830 00	1.151	0.185	65.00	20.50	0.59	0.27
0.86000 00	0.86830 00	1.148	0.183	65.00	19.26	0.58	0.26
0.87000 00	0.87820 00	1.146	0.182	65.00	18.00	0.58	0.26
0.88000 00	0.88820 00	1.143	0.181	65.00	16.72	0.58	0.25
0.89000 00	0.89820 00	1.141	0.180	65.00	15.43	0.57	0.25
0.90000 00	0.90820 00	1.139	0.179	65.00	14.12	0.57	0.25
0.91000 00	0.91810 00	1.137	0.178	65.00	12.79	0.57	0.24
0.92000 00	0.92810 00	1.135	0.177	65.00	11.45	0.56	0.24
0.93000 00	0.93810 00	1.132	0.176	65.00	10.09	0.56	0.24
0.94000 00	0.94810 00	1.130	0.175	65.00	8.72	0.55	0.24
0.95000 00	0.95810 00	1.128	0.173	65.00	7.34	0.55	0.24
0.96000 00	0.96810 00	1.126	0.170	65.00	5.95	0.55	0.23
0.97000 00	0.97800 00	1.124	0.164	65.00	4.53	0.54	0.23
0.98000 00	0.98800 00	1.122	0.152	65.00	3.09	0.54	0.23
0.99000 00	0.99810 00	1.119	0.124	65.00	1.58	0.54	0.23
0.10000 01	0.10080 01	1.115	0.058	65.00	-0.06	0.53	0.21

4-7 DISCUSION DE LA HIPOTESIS DE LAS DESVIACIONES RADIALES

1 SOLUCIÓN APROXIMADA.

A través de desarrollos anteriores, ha podido comprobarse que la solución numérica obtenida en el caso de torbellino libre, difiere en general, de la obtenida con la hipótesis de que las desviaciones radiales son pequeñas. Las siguientes consideraciones explican la razón de tal comportamiento.

Refiriéndonos al sistema (4-3), si se supone $\xi_2 \approx \xi_1$, es decir $d\xi_2/d\xi_1 = 1$, la ecuación del impulso proporciona $\frac{V_{m2}}{V_1} = \text{cte}$, con lo que la ecuación de continuidad proporciona:

$$\frac{V_{m2}}{V_1} \approx \frac{\rho_1}{\rho_2}$$

Esto significa que para esperar pequeñas desviaciones radiales y en consecuencia que sea válida la solución:

$$\xi_2 = \xi_1$$

(4-22)

$$\frac{V_{m2}}{V_1} = \text{cte}$$

debe cumplirse que $V_{m2}/V_1 \approx \rho_1/\rho_2$; contrariamente si V_{m2}/V_1 difiere apreciablemente de ρ_1/ρ_2 , existirán desviaciones radiales apreciables y su influencia en la ecuación del impulso considerable, no siendo válida entonces la solución (4-22), lo -- que en cierto modo se pone de manifiesto en las figuras (4-14), (4-15), (4-17) y (4-18).

De todo lo anterior, no obstante, se deduce la posibilidad de obtener una solución aproximada del sistema (4-3), mediante linealización alrededor de la solución (4-22) que puede ser -- considerada como una solución primera. Si denotamos con

la solución aproximada que se vá a obtener a partir de la solución (4-22), que designaremos con el subíndice cero, -- puede escribirse teniendo en cuenta además la expresión general (4-13):

$$\frac{d(V_{m2}/V_1)_1}{d\xi_1} = f_1\left(\left(\frac{V_{m2}}{V_1}\right)_0, \xi_{20}, \xi_1\right) + \left(\frac{\partial f_1}{\partial \xi_2}\right)_0 (\xi_{21} - \xi_{20}) + \left(\frac{\partial f_1}{\partial (V_{m2}/V_1)}\right)_0 \left[\left(\frac{V_{m2}}{V_1}\right)_1 - \left(\frac{V_{m2}}{V_1}\right)_0\right]$$

$$\frac{d\xi_{21}}{d\xi_1} = f_2\left(\left(\frac{V_{m2}}{V_1}\right)_0, \xi_{20}, \xi_1\right) + \left(\frac{\partial f_2}{\partial \xi_2}\right)_0 (\xi_{21} - \xi_{20}) + \left(\frac{\partial f_2}{\partial (V_{m2}/V_1)}\right)_0 \left[\left(\frac{V_{m2}}{V_1}\right)_1 - \left(\frac{V_{m2}}{V_1}\right)_0\right]$$

por lo que al tener en cuenta las relaciones (4-4), el sistema que proporciona la solución aproximada es:

$$a) \quad \frac{d(V_{m2}/V_1)_1}{d\xi_1} = C(\xi_1)(\xi_{21} - \xi_1)$$

$$b) \quad \frac{d\xi_{21}}{d\xi_1} = \frac{T D_0}{(V_{2m}/V_1)_0} - \frac{T D_0}{(V_{m2}/V_1)_0} \frac{\xi_{21} - \xi_{20}}{\xi_1} - \frac{T D_0}{(V_{m2}/V_1)_0^2} \left[\left(\frac{V_{2m}}{V_1}\right)_1 - \left(\frac{V_{2m}}{V_1}\right)_0 \right]$$

(4-23)

habiendo hecho

$$C(\xi_1) = 3 \rho_0^2 \left(\frac{V_{m2}}{V_1}\right)_0 \left(3 - \frac{T D_0}{(V_{m2}/V_1)_0}\right)$$

$$T D_0 = \left(\frac{P_1}{P_2}\right)_0$$

No obstante el sistema (4-23) puede simplificarse todavía más, teniendo en cuenta que el término $\frac{T D_0}{(V_{m2}/V_1)_0} \frac{\xi_{21} - \xi_{20}}{\xi_1}$ es pequeño comparado con los demás términos de la ecuación de continuidad, y haciendo $C(\xi_1) \approx C(\xi_{1m}) = C$, lo que puede confirmarse con los resultados numéricos obtenidos.

Eliminando ahora ξ_{21} entre las ecuaciones (4-23a) y -- (4-23b), queda finalmente:

$$\frac{d^2(V_{m2}/V_1)_1}{d\xi_1} + \nu^2 \left(\frac{V_{m2}}{V_1}\right)_1 = f(\xi_1)$$

(4-24)

con:

$$a) \quad \nu^2 = C \frac{T \Delta_0}{(V_{m2}/V_1)_0^2} \quad (4-25)$$

$$b) \quad f(\xi_1) = C \left[2 \frac{T \Delta_0}{(V_{m2}/V_1)} - 1 \right]$$

Si para ν se toma el valor correspondiente al punto medio, es decir $\nu = \nu_M$, la ecuación (4-24), puede ser considerada como una ecuación lineal de segundo orden de coeficientes constantes; obteniéndose la siguiente solución para la ecuación homogénea:

$$\left(\frac{V_{m2}}{V_1} \right)_A = A \operatorname{sen} \nu_M \xi_1 + B \operatorname{cos} \nu_M \xi_1$$

La solución completa puede obtenerse por el método de variación de las constantes; resultando finalmente:

$$\left(\frac{V_{m2}}{V_1} \right)_A = \operatorname{sen} \nu_M \xi_1 \left[\int \frac{f(\xi_1)}{\nu_M} \operatorname{cos} \nu_M \xi_1 d\xi_1 + K_1 \right] + \operatorname{cos} \nu_M \xi_1 \left[K_2 - \int \frac{f(\xi_1)}{\nu_M} \operatorname{sen} \nu_M \xi_1 d\xi_1 \right]$$

La determinación de las constantes K_1 y K_2 se obtiene imponiendo las condiciones:

$$\left. \begin{aligned} \left(\frac{V_{m2}}{V_1} \right)_A &= \left(\frac{V_{m2}}{V_1} \right)_{1M} \\ \xi_{21} &= \xi_{1M} \end{aligned} \right\} \text{ para } \xi_1 = \xi_{1M}$$

lo que equivale a:

$$\left. \begin{aligned} \left(\frac{V_{m2}}{V_1} \right)_A &= \left(\frac{V_{m2}}{V_1} \right)_{1M} \\ \frac{d(V_{m2}/V_1)_A}{d\xi_1} &= 0 \end{aligned} \right\} \text{ para } \xi_1 = \xi_{1M}$$

si se tiene en cuenta la ecuación diferencial (4-23a), después de determinar las constantes la expresión que resulta es:

$$\left(\frac{Vm2}{Vi}\right)_1 = \sin \psi_m \xi_1 \int_{\xi_{1m}}^{\xi_1} \frac{f(\xi_1)}{\psi_m} \cos \psi_m \xi_1 d\xi_1 - \cos \psi_m \xi_1 \int_{\xi_{1m}}^{\xi_1} \frac{f(\xi_1)}{\psi_m} \sin \psi_m \xi_1 d\xi_1 + \left(\frac{Vm2}{Vi}\right)_{1m} \cos \psi_m (\xi_1 - \xi_{1m})$$

Las integrales pueden ser obtenidas sustituyendo el valor de $f(\xi_1)$ proporcionado por la relación (4-25b) y teniendo en cuenta que para $\delta = 1.33$

$$TD_0 \cong \left(\frac{1 + 0.165 M_2^2}{1 + 0.165 M_{1m}^2} \right)_0^3 \sim \left(\frac{1 + \frac{\delta-1}{2} V_2^2 M_{1m}^2 \left(\frac{T_1}{T_2} \right)_{0M}}{1 + \frac{\delta-1}{2} M_{1m}^2} \right)^3$$

es decir, (teniendo en cuenta además la ley torsional torbelli no libre)

$$TD_0 = \frac{1}{Fa} \left(1 + Fb \left(\frac{Vm2}{Vi} \right)_0^2 + \frac{Fc}{\xi_1^2} \right)^3$$

con

$$Fa = (1 + 0.165 M_{1m}^2)^{3.13}$$

$$Fb = 0.165 M_{1m}^2 \left(\frac{T_1}{T_0} \right)_{0M}$$

$$Fc = (\xi_{1m} \psi R_r)^2 Fb$$

por lo que finalmente resulta:

$$\left(\frac{Vm2}{Vi}\right)_1 = \frac{M}{\psi_m^2} + \left[\left(\frac{Vm2}{Vi}\right)_{1m} - \frac{m}{\psi_m^2} \right] \cos \psi_m (\xi_1 - \xi_{1m}) + \frac{N \sin \psi_m (\xi_1 - \xi_{1m})}{\psi_m \xi_{1m}} - N \left[\sin \psi_m \xi_1 \int_{\xi_{1m}}^{\xi_1} \frac{\sin x}{x} dx + \cos \psi_m \xi_1 \int_{\xi_{1m}}^{\xi_1} \frac{\cos x}{x} dx \right] \quad (4-26)$$

con

$$H = \frac{C}{Fa \left(\frac{Vm2}{Vi} \right)_0} \left[2c_0^3 - Fa \left(\frac{Vm2}{Vi} \right)_0 + \frac{6a Fc^2}{\xi_{1m}^2} + 2 \frac{Fc^3}{\xi_{1m}^6} \right]$$

$$N = \frac{6a^2 C \bar{F} C}{(v_{m2}/v_1) \bar{F} a}$$

$$a = \left[1 + F b \left(\frac{v_{m2}}{v_1} \right)_0^2 \right]$$

$$x = v_m \xi_1$$

La expresión (4-26) proporciona por tanto la distribución - aproximada de velocidades. Las integrales que aparece en dicha expresión son conocidas con el nombre de integral seno e integral coseno y están tabuladas. Por otra parte teniendo en cuenta la expresión (4-23a), puede obtenerse sin dificultad:

$$\xi_{21} = \xi_1 + \frac{v_m}{C} \left[\frac{M}{C} - \left(\frac{v_{m2}}{v_1} \right)_{1m} \right] \sin v_m (\xi_1 - \xi_{1m}) -$$

$$- N \left[\frac{1}{\xi_1} - \frac{\cos v_m (\xi_1 - \xi_{1m})}{\xi_{1m}} \right] - N v_m \left[\cos v_m \xi_1 \int_{\xi_{1m}}^{\xi_1} \frac{\mu \eta x}{x} dx - R \sin v_m \xi_1 \int_{\xi_{1m}}^{\xi_1} \frac{\cos x}{x} dx \right] \quad (4-27)$$

nabiendo completado con esto la solución del problema.

En las tablas (4-9), (4-11) y (4-13) (Pag. 152 a 157), se presentan soluciones numéricas del estator para diversos valores de los parámetros y en las tablas (4-10), (4-12) y -- (4-14), las correspondientes soluciones aproximadas obtenidas con las ecuaciones (4-26) y (4-27). Como puede comprobarse la aproximación obtenida para la distribución de velocidad axial, ángulos de la corriente y número de mach es satisfactoria.

CONCLUSIONES

1* Los efectos de la no homocentropía de la corriente, consecuencia de una distribución no uniforme de temperatura en la sección de salida de la cámara de combustión, pueden ser tenidos en cuenta sin complicar la formulación y solución del problema de determinación de velocidades y ángulos de la corriente en un escalón.

2* Estos efectos no pueden ser ignorados porque se cometen grandes errores, cuando dichos ángulos y velocidades son calculados suponiendo que la corriente es homocentrópica.

3* Con un perfil lineal de temperaturas, decreciente desde el extremo a la raíz del álabe, se consigue disminuir la temperatura en la raíz del mismo en orden de magnitud igual al de la desviación de la temperatura máxima con respecto a la media; sin embargo las zonas apropiadas para el diseño, en el diagrama coeficiente de carga - coeficiente de flujo, se reducen cuando se elige como ley torsional: torbellino libre ó ángulo de salida de la directriz constante.

4* La hipótesis de pequeñas desviaciones radiales solo es válida para los casos en los que la relación $\left(\frac{h}{c}\right)$ es pequeña y se cumple además $\frac{P_1}{P_2} \approx \frac{P_1}{P_3} \approx \frac{V_{22}}{V_1} \approx \frac{V_{23}}{V_1}$; no obstante -- puede ser utilizada para el estudio cualitativo de diversas leyes torsionales, estudio comparativo de la influencia de las corrientes no homocentrópicas y finalmente para la obtención de una solución primera en el diseño de turbinas de gas.

5º El problema de determinación de las variables rúidas en un escalón, con la inclusión de los términos que dependen de las desviaciones radiales, puede ser resuelto numéricamente por resolución simultánea de las ecuaciones de continuidad e impulso, mediante el método de integración numérica de Kutta-Kunge.

6º Se obtiene una solución analítica para el estator, en el caso de ley torsional torbellino libre y corriente no homocéntrica, linealizando el sistema de ecuaciones formado por - la ecuación de continuidad e impulso.

APENDICE

ECUACIONES GENERALES APLICADAS A TURBOMAQUINAS

A-1.- ECUACION DEL IMPULSO

La ecuación del movimiento para un fluido no viscoso, en forma vectorial, referida a ejes absolutos es:

$$\frac{D\vec{V}}{Dt} = - \frac{1}{\rho} \nabla p$$

que al descomponerla en sus componentes según \vec{u}_r , \vec{u}_θ , \vec{u}_z ; en un sistema de coordenadas cilíndricas resulta:

$$a) \quad \frac{\partial V_r}{\partial t} + V_r \frac{\partial V_r}{\partial r} + \frac{V_\theta}{r} \frac{\partial V_r}{\partial \theta} + V_z \frac{\partial V_r}{\partial z} - \frac{V_\theta^2}{r} = - \frac{1}{\rho} \frac{\partial p}{\partial r}$$

$$b) \quad \frac{\partial V_\theta}{\partial t} + V_r \frac{\partial V_\theta}{\partial r} + \frac{V_\theta}{r} \frac{\partial V_\theta}{\partial \theta} + V_z \frac{\partial V_\theta}{\partial z} + \frac{V_\theta V_r}{r} = - \frac{1}{r} \left(\frac{1}{\rho} \frac{\partial p}{\partial \theta} \right) \quad (A-1)$$

$$c) \quad \frac{\partial V_z}{\partial t} + V_r \frac{\partial V_z}{\partial r} + \frac{V_\theta}{r} \frac{\partial V_z}{\partial \theta} + V_z \frac{\partial V_z}{\partial z} = - \frac{1}{\rho} \frac{\partial p}{\partial z}$$

Añadiendo y sustrayendo $V_\theta \frac{\partial V_\theta}{\partial r} + V_z \frac{\partial V_z}{\partial r}$ a la ecuación (A-1a)

$\frac{1}{r} \left(V_r \frac{\partial V_r}{\partial \theta} + V_z \frac{\partial V_z}{\partial \theta} \right)$ a la ecuación (A-1b), y $V_r \frac{\partial V_r}{\partial z} + V_\theta \frac{\partial V_\theta}{\partial z}$

a la ecuación (A-1c) puede escribirse:

$$a) \quad \frac{\partial V_r}{\partial t} - \frac{V_\theta}{r} \left(\frac{\partial r V_\theta}{\partial r} - \frac{\partial V_r}{\partial \theta} \right) + V_z \left(\frac{\partial V_r}{\partial z} - \frac{\partial V_z}{\partial r} \right) + \frac{\partial V_z V^2}{\partial r} = - \frac{1}{\rho} \frac{\partial p}{\partial r}$$

$$b) \quad \frac{\partial V_\theta}{\partial t} - \frac{V_z}{r} \left(\frac{\partial V_z}{\partial \theta} - \frac{\partial r V_\theta}{\partial z} \right) + \frac{V_r}{r} \left(\frac{\partial r V_\theta}{\partial r} - \frac{\partial V_r}{\partial \theta} \right) + \frac{1}{r} \frac{\partial V_z V^2}{\partial \theta} = - \frac{1}{r} \left(\frac{1}{\rho} \frac{\partial p}{\partial \theta} \right) \quad (A-2)$$

$$c) \quad \frac{\partial V_z}{\partial t} - V_r \left(\frac{\partial V_r}{\partial z} - \frac{\partial V_z}{\partial r} \right) + \frac{V_\theta}{r} \left(\frac{\partial V_z}{\partial \theta} + \frac{\partial r V_\theta}{\partial z} \right) + \frac{\partial V_z V^2}{\partial z} = - \frac{1}{\rho} \frac{\partial p}{\partial z}$$

Los terminos entre parentesis del sistema de ecuaciones (A-2) son los componentes del vector torbellino (vease ecuación -- (A-10)) y en consecuencia el sistema de ecuación (A-2) queda

reducido a la ecuación vectorial:

$$\frac{\partial \vec{V}}{\partial t} - \vec{V}_\lambda (\nabla_\lambda \vec{V}) + \nabla \frac{1}{2} V^2 = -\frac{1}{\rho} \nabla p \quad (\text{A-3})$$

ahora bien el segundo principio de la termodinámica aplicado a un fluido homogéneo proporciona:

$$\frac{1}{\rho} \nabla p = \nabla H_t - T \nabla S - \nabla \frac{1}{2} V^2 \quad (\text{A-4})$$

De forma que la ecuación (A-3) puede expresarse en la forma:

$$\frac{\partial \vec{V}}{\partial t} - \vec{V}_\lambda (\nabla_\lambda \vec{V}) = -\nabla H_t + T \nabla S \quad (\text{A-5})$$

La ecuación (A-5) es una forma de la ecuación del movimiento conocida con el nombre de ecuación de Crocco.

En el caso de que consideremos que el movimiento es estacionario queda:

$$\vec{V}_\lambda (\nabla_\lambda \vec{V}) = \nabla H_t - T \nabla S \quad (\text{A-6})$$

A partir de este punto es muy útil, en las aplicaciones de la ecuación de Crocco, a las máquinas rotatorias, descomponer la velocidad en sus componentes meridional y tangencial; es decir según la tangente a la proyección de la trayectoria sobre un plano meridional y según la normal de dicho plano respectivamente, tal como se indica en la figura A-1, de donde resultan las relaciones:

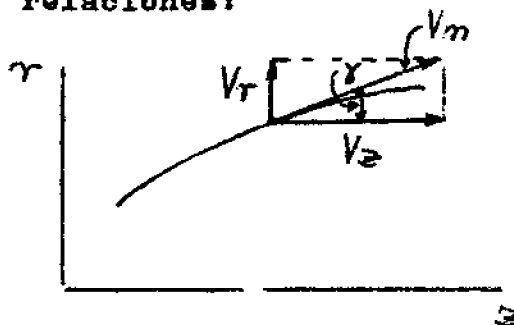


Fig. A-1

$$a) V_m^2 = V_r^2 + V_z^2$$

$$b) \operatorname{tg} \delta = \frac{V_r}{V_z}$$

$$c) V^2 = V_m^2 + V_\theta^2$$

(A-7)

$$d) V_z = V_m \cos \delta$$

$$e) V_r = V_m \operatorname{sen} \delta$$

Dado que:

$$\frac{\partial}{\partial m} = \frac{\partial}{\partial r} \frac{dr}{dm} + \frac{\partial}{\partial z} \frac{dz}{dm} = \operatorname{sen} \delta \frac{\partial}{\partial r} + \cos \delta \frac{\partial}{\partial z} \quad (\text{A-8})$$

Se obtiene:

$$\frac{\partial}{\partial z} = \frac{1}{\cos \delta} \left(\frac{\partial}{\partial m} - \operatorname{sen} \delta \frac{\partial}{\partial r} \right) \quad (\text{A-9})$$

Recordando:

$$\left. \begin{aligned} a) (\nabla_{\perp} \vec{V})_r &= \frac{1}{r} \left(\frac{\partial V_z}{\partial \theta} - \frac{\partial r V_\theta}{\partial z} \right) \\ b) (\nabla_{\perp} \vec{V})_\theta &= \left(\frac{\partial V_r}{\partial z} - \frac{\partial V_z}{\partial r} \right) \\ c) (\nabla_{\perp} \vec{V})_z &= \frac{1}{r} \left(\frac{\partial r V_\theta}{\partial r} - \frac{\partial V_r}{\partial \theta} \right) \end{aligned} \right\} \quad (\text{A-10})$$

Al hacer uso de las relaciones (A-7) y (A-9) las ecuaciones (A-10), pueden escribirse:

$$a) (\nabla_{\perp} \vec{V})_r = \frac{\operatorname{tg} \delta}{r} \left[\frac{\partial r V_\theta}{\partial r} - \frac{1}{\operatorname{sen} \delta} \frac{\partial r V_\theta}{\partial m} + \frac{\cos^2 \delta}{\operatorname{sen} \delta} \frac{\partial V_m}{\partial \theta} - V_m^2 \left(\frac{\cos \delta}{V_m} \right) \frac{\partial \delta}{\partial \theta} \right]$$

$$b) (\nabla_{\perp} \vec{V})_{\theta} = \frac{1}{V_m \cos \delta} \left[V_m^2 \left(\frac{\sin \delta}{V_m} \frac{\partial V_m}{\partial m} - \frac{\cos \delta}{r_c} \right) - \frac{1}{2} \frac{\partial V_m^2}{\partial r} \right] \quad (A-11)$$

$$c) (\nabla_{\perp} \vec{V})_{z} = \frac{1}{r} \left[\frac{\partial r V_{\theta}}{\partial r} - \sin \delta \frac{\partial V_m}{\partial \theta} - V_m^2 \left(\frac{\cos \delta}{V_m} \right) \frac{\partial \delta}{\partial \theta} \right]$$

donde r_c , es el radio de curvatura de la proyección meridional de una línea de corriente estando definido por:

$$\frac{1}{r_c} = - \frac{\partial \delta}{\partial m} \quad (A-12)$$

En consecuencia la ecuación vectorial de Crocco puede escribirse descompuesta en sus componentes según sigue:

a) radial

$$V_{\theta} (\nabla_{\perp} \vec{V})_{z} - V_z (\nabla_{\perp} \vec{V})_{\theta} = \frac{\partial H_t}{\partial r} - T \frac{\partial S}{\partial r}$$

b) tangencial

$$V_z (\nabla_{\perp} \vec{V})_r - V_r (\nabla_{\perp} \vec{V})_z = \frac{1}{r} \left(\frac{\partial H_t}{\partial \theta} - T \frac{\partial S}{\partial \theta} \right) \quad (A-13)$$

c) axial

$$V_r (\nabla_{\perp} \vec{V})_{\theta} - V_{\theta} (\nabla_{\perp} \vec{V})_r = \frac{\partial H_t}{\partial z} - T \frac{\partial S}{\partial z}$$

Las ecuaciones (A-13) desarrolladas teniendo en cuenta las ecuaciones (A-11) y (A-9) y las relaciones (A-7) toman la forma:

$$a) \frac{V_{\theta}}{r} \left[\frac{\partial r V_{\theta}}{\partial r} - \sin \delta \frac{\partial V_m}{\partial \theta} - V_m^2 \left(\frac{\cos \delta}{V_m} \right) \frac{\partial \delta}{\partial \theta} \right] - \left[V_m^2 \left(\frac{\sin \delta}{V_m} \frac{\partial V_m}{\partial m} - \frac{\cos \delta}{r_c} \right) - \frac{1}{2} \frac{\partial V_m^2}{\partial r} \right] = \frac{\partial H_t}{\partial r} - T \frac{\partial S}{\partial r}$$

$$b) V_m \left[\frac{\partial V_m}{\partial \theta} - \frac{\partial r V_{\theta}}{\partial m} \right] = \frac{\partial H_t}{\partial \theta} - T \frac{\partial S}{\partial \theta} \quad (A-14)$$

$$\begin{aligned}
 \text{c) } & \frac{1}{r} \left[V_m^2 \left(\frac{\sin \gamma}{V_m} \frac{\partial V_m}{\partial m} - \frac{\cos \gamma}{r} \right) - \frac{1}{2} \frac{\partial V_m^2}{\partial r} \right] - \frac{V_\theta}{r} \frac{\partial V_\theta}{\partial r} \\
 & \left[\frac{\partial r V_\theta}{\partial r} - \frac{1}{\sin \gamma} \frac{\partial r V_\theta}{\partial m} + \frac{\cos^2 \gamma}{\sin \gamma} \frac{\partial V_m}{\partial \theta} - V_m^2 \left(\frac{\cos \gamma}{V_m} \right) \frac{\partial \gamma}{\partial \theta} \right] = \\
 & \frac{1}{\cos \gamma} \left[\left(\frac{\partial H_t}{\partial m} - T \frac{\partial S}{\partial m} \right) - \sin \gamma \left(\frac{\partial H_t}{\partial r} - T \frac{\partial S}{\partial r} \right) \right]
 \end{aligned}$$

El sistema (A-14) se simplifica considerablemente en movimientos con simetría axial, reduciéndose al siguiente sistema de ecuaciones:

$$\text{a) } \frac{1}{2} \frac{\partial V_m^2}{\partial r} + \left[\frac{\cos \gamma}{r} - \frac{\sin \gamma}{V_m} \frac{\partial V_m}{\partial m} \right] V_m^2 + \frac{V_\theta}{r} \frac{\partial r V_\theta}{\partial r} = \frac{\partial H_t}{\partial r} - T \frac{\partial S}{\partial r}$$

$$\text{b) } \frac{\partial r V_\theta}{\partial m} = 0 \quad (\text{A-16})$$

$$\begin{aligned}
 \text{c) } & V_m^2 \left[\frac{\sin \gamma}{V_m} \frac{\partial V_m}{\partial m} - \frac{\cos \gamma}{r} \right] - \frac{1}{2} \frac{\partial V_m^2}{\partial r} - \frac{V_\theta}{r} \frac{\partial r V_\theta}{\partial r} = \frac{1}{\sin \gamma} \\
 & \left(\frac{\partial H_t}{\partial m} - T \frac{\partial S}{\partial m} \right) - \left(\frac{\partial H_t}{\partial r} - T \frac{\partial S}{\partial r} \right)
 \end{aligned}$$

A-2 ECUACION DE CONTINUIDAD

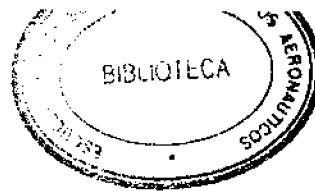
A-2-1 EXPRESION DIFERENCIAL

La ecuación de continuidad en forma diferencial para movimientos estacionarios y en coordenadas cilíndricas toma la forma:

$$\frac{\partial}{\partial r} (\rho r V_r) + \frac{1}{r} \frac{\partial}{\partial \theta} (\rho r V_\theta) + \frac{\partial}{\partial z} (\rho r V_z) = 0 \quad (\text{A-17})$$

cuando el movimiento es aximétrico resulta

$$\frac{\partial}{\partial r} (\rho V_r r) + \frac{\partial}{\partial z} (\rho r V_z) = 0 \quad (\text{A-18})$$



Igual que en el caso de las ecuaciones del impulso se puede obtener a partir de la ecuación (A-18) una expresión de la ecuación de continuidad más útil para nuestros estudios y - que se desarrolla a continuación.

naciendo uso de las relaciones (A-7) y ecuación (A-6) la ecuación (A-18) puede escribirse

$$\cos \delta \rho r V_m \frac{\partial \delta}{\partial r} + \frac{\partial (\rho r V_m)}{\partial m} - \rho r V_m \frac{\sin \delta}{\cos \delta} \left(\frac{\partial \delta}{\partial m} - \sin \delta \frac{\partial \delta}{\partial r} \right) = 0$$

ó bien

$$\rho r V_m \frac{\partial \delta}{\cos \delta \partial r} + \frac{\partial \rho r V_m}{\partial m} + \rho r V_m \frac{\sin \delta}{\cos \delta} \frac{1}{r} = 0$$

Desarrollando queda:

$$\frac{1}{\cos \delta} \frac{\partial \delta}{\partial r} + \frac{1}{V_m} \frac{\partial V_m}{\partial m} + \frac{1}{\rho} \frac{\partial \rho}{\partial m} + \frac{1}{r} \frac{\partial r}{\partial m} + \frac{\sin \delta}{\cos \delta} \frac{1}{r} = 0 \quad (A-19)$$

Recordemos:

a) $\frac{\partial r}{\partial m} = \sin \delta$

b) $\rho = \rho_t \left[1 - \frac{\gamma' - 1}{2} \left(\frac{V_\theta^2 + V_m^2}{a_t^2} \right) \right]^{\frac{1}{\gamma' - 1}}$ (A-20)

c) $a = a_t \left[1 - \frac{\gamma' - 1}{2} \left(\frac{V_\theta^2 + V_m^2}{a_t^2} \right) \right]^{\frac{1}{2}}$

De la ecuación (A-20b) mediante derivación logarítmica

$$\frac{1}{\rho} \frac{\partial \rho}{\partial m} = - \frac{1}{a^2} \left(V_\theta \frac{\partial V_\theta}{\partial m} + V_m \frac{\partial V_m}{\partial m} \right) \quad (A-21)$$

De la ecuación (A-16b) se deduce:

$$\frac{\partial V_\theta}{\partial m} = - \frac{V_\theta \sin \delta}{r} \quad (A-22)$$

Teniendo en cuenta las ecuaciones (A-21) y (A-22) la ecuación (A-19) puede escribirse:

$$\frac{1}{\cos \delta} \frac{\partial \delta}{\partial r} + \frac{1}{V_m} \frac{\partial V_m}{\partial m} - \frac{V_m}{a^2} \frac{\partial V_m}{\partial m} + \frac{V_0^2}{a^2} \frac{\sin \delta}{r} + \frac{\sin \delta}{r} + \frac{\sin \delta}{\cos \delta r c} = 0 \quad (\text{A-23})$$

Pero dado que es:

$$\text{a) } M_0^2 = \frac{V_0^2}{a^2}$$

$$\text{b) } M_m^2 = \frac{V_m^2}{a^2} \quad (\text{A-24})$$

queda como expresión final para la ecuación (A-23) ,

$$\frac{\sin \delta}{V_m} \frac{\partial V_m}{\partial m} = - \frac{(1 + M_0^2 + r \cos \delta r c) \frac{\sin^2 \delta}{r} + \frac{\sin \delta}{r} \frac{\partial \delta}{\partial r}}{1 - M_m^2} \quad (\text{A-25})$$

La ecuación (A-25) se utilizará con frecuencia posteriormente

A-2-2: EXPRESION INTEGRAL

En movimientos estacionarios la expresión integral de la ecuación de continuidad es:

$$\iint_{\sigma} \rho \vec{V} d\sigma = G \quad (\text{A-26})$$

En movimientos que sean además axisimétricos y en aplicaciones a turbomáquinas resulta:

$$2\pi \int_{r_i}^{r_e} \rho V_z r dr = G \quad (\text{A-27})$$

Siendo R_i y R_e los radios interior y exterior de la corona circular correspondiente a la sección plana considerada de eje OZ y situada entre anillos de álabes, teniendo en cuenta la relación (A-7d) también se puede escribir que:

$$2\pi \int_{r_i}^{r_e} \rho (V_m \cos \delta) r dr = G \quad (\text{A-28})$$

A-3 ECUACION DE LA ENERGIA

Considerando que el movimiento es estacionario pueden tomarse las siguientes expresiones:

a) Estator

$$\frac{1}{2} V^2 + H = \int T ds + cte. + \int \frac{1}{\rho} (\nabla \cdot \tau_{ev}) \cdot \vec{V} dt \quad (A-29)$$

b) Rotor

$$H + \frac{1}{2} V^2 - \omega V\theta = \int T ds + cte. + \int \frac{1}{\rho} (\nabla \cdot \tau_{ev}) \cdot \vec{W} dt \quad (A-30)$$

válidas según una línea de corriente. En el supuesto de que el fluido sea ideal las ecuaciones (A-29) y (A-30) quedan reducidas a:

$$\frac{1}{2} V^2 + H = cte. \quad (A-31)$$

$$H + \frac{1}{2} V^2 - \omega V\theta = cte. \quad (A-32)$$

para estator y rotor respectivamente

APENDICE B

PROGRAMAS FORTRAN

B-1 DICCIONARIO DE VARIABLES

El nombre asignado a las variables en los programas que se presentan a continuación es común y se ha procurado, siempre - que ha sido posible, utilizar el mismo con el que figurá en to do el texto.

A continuación se identifican los nombres de algunas variables que ó bien nó han sido utilizadas anteriormente ó ha sido conveniente utilizarías con otro nombre en el programa. La rela ción de tales variables es:

$$EI = \xi;$$

$$D = \delta$$

$$SO = h/c$$

$$FI = \Phi$$

$$LAN = \lambda$$

$$RC = c_2/c_1$$

IER = indicador de error; toma el valor 1 si los resultados son correctos y 0 si son erróneos.

$$A = \psi$$

$$SOC = S_0$$

$$SOC2 = S_1$$

$$EM = \xi_m$$

$$PEN = M$$

$$M2MC = M_{2M}^2$$

$$M1MC = M_{1M}^2$$

$$S02C = S_1^2$$

$$E1 = \xi_1$$

$$E2 = \xi_2$$

$$E3 = \xi_3$$

$$ETA = \varphi$$

$$VT = V\theta$$

$$DE1 = \left(d\xi / d(z/c_2) \right)_{z/c_2=1}$$

$$V2C = V_2^2$$

GR = grado de reacción

$$VTC = V\theta^2$$

$$VMC = Vm^2$$

$$MTC = M\theta^2$$

$$MMC = Mm^2$$

$$M1C = M1^2$$

$$TD = \rho_2 / \rho_1$$

TDT = conjunto de términos de la ecuación del impulso que dependen de $d(Tit/Titn) / d\xi_i$

TDC = conjunto de términos de la ecuación del impulso en los que figura el radio de curvatura.

TDD = Resto de términos de la ecuación del impulso que dependen de las desviaciones radiales.

TN = Términos de la ecuación del impulso que no dependen de las desviaciones radiales.

$$DE2 = \left(d^2\xi / d(z/c_2)^2 \right)_{z/c_2=1}$$

$$DE3 = d \left[\left(d\xi / d(z/c_2) \right)_{z/c_2=1} \right] / d\xi_1$$

PROGRAMA 'A'

12/01

LINE - EFN - SENTENCIA FUENTE - IFN(S) -

```

REAL M2M,M2MC,LAN,M1MC,LAM,M2(101),M3(101)
DIMENSION V2Z(101),V2R(101),ALFA2(101),V3Z(101),V3R(101),ALFA3(101
),ALFA3R(101),ALFA2R(101),SA(4),GR(101),FM2R(101)
DOUBLE PRECISION X,E1(101),E2(101),E3(101),V2M(101),V3M(101),AUM,H
1,H2,Y(4),YB(4),XB,YB1(4),R(4,4),F,ENE,ETA,BETA
COMMON E1,SOC,SOC2,CA,B,PEN,M1MC,COMB,COMBI,FILAN,FILAN2,TMAG,EM,R
1C,SQ2C,A,FILAM,IER
DATA S,T,U,W/4*0.0/
READ(5,29)EI,M2M,ALFA2M,D,SO,FI,LAN,RC,RV,RV1
IF(EI.GT.1.) GO TO 57
WRITE(6,95)EI,M2M,ALFA2M,D,SO,FI,LAN,RC,RV,RV1
IER=1
LAN=LAN/RV
BETA2M=ALFA2M*0.3141592/18.
A=TAN(BETA2M)
CA=250.
SPAN=1.-EI
SOC=SO/SPAN
SOC2=SOC/RC
R=1.-D*(1.+EI)/SPAN
EM=0.5*(1.+EI)
PEN=2.*D/SPAN
M2MC=M2M**2
M1MC=M2MC/(RV**2*(1.+A**2)*(1.+0.165*M2MC)-0.165*M2MC)
TMAG=1.+0.165*M1MC
COMB=RV*A
COMBI=RV*A*EM
FILAN=FI/LAN
FILAN2=FILAN/LAN
FILAM=FILAN*EM
LAM=LAN*EM
SQ2C=SOC2**2
M=1+IFIX(200.*(1.003-EI))
NA=(1+M)/2
X=EM
Y(1)=EM
Y(3)=EM
Y(2)=RV*SQRT(1.+A**2)
Y(4)=SQRT(RV1**2+(COMB-FILAN)**2)
DO 10 J=1,M
IF(J.LE.NA) K=NA+J-1
IF(J.GT.NA) K=2*NA-J
IF(J.EQ.1) GO TO 331
N=1
1 AUM=200*N
IF(J.GT.NA) AUM=-AUM
H=1.DOO/AUM
H2=H/2.DOO
IF(J.LE.NA) NI=K-1
IF(J.GT.NA) NI=K+1
X=E1(NI)
Y(1)=E2(NI)
Y(2)=V2M(NI)
Y(3)=E3(NI)
Y(4)=V3M(NI)

```

LINE - EFN - SENTENCIA FUENTE - IFN(S) -

```

DO 173 I=1,N
DO 5 I=1,4
R(I,1)=F(I,X,Y)
IF(IER.EQ.0) GO TO 56
YB(I)=Y(I)+H2*R(I,1)
XB=X+H2
X=X+H
DO 6 I=1,4
R(I,2)=F(I,XB,YB)
IF(IER.EQ.0) GO TO 56
YB1(I)=Y(I)+H2*R(I,2)
DO 7 I=1,4
R(I,3)=F(I,XB,YB1)
IF(IER.EQ.0) GO TO 56
YB(I)=Y(I)+H*R(I,3)
DO 8 I=1,4
IF(IER.EQ.0) GO TO 56
R(I,4)=F(I,X,YB)
DO 9 I=1,4
Y(I)=Y(I)+(H/6.0)*(R(I,1)+2.0*(R(I,2)+R(I,3))+R(I,4))
CONTINUE
SA(1)=ABS(S-Y(1))
SA(2)=ABS(T-Y(2))
SA(3)=ABS(U-Y(3))
SA(4)=ABS(W-Y(4))
IF((ABS(S-Y(1)).GT.1.E-6).OR.(ABS(T-Y(2)).GT.1.E-6)) GO TO 330
IF((ABS(U-Y(3)).LT.1.E-6).AND.(ABS(W-Y(4)).LT.1.E-6)) GO TO 331
S=Y(1)
T=Y(2)
U=Y(3)
W=Y(4)
N=2*N
IF(N.GT.4) GO TO 70
GO TO 1
WRITE(6,71) N,K
FORMAT(1H ,25X,2HN=,I2,3X,2HK=,I3)
WRITE(6,73)(SA(I),I=1,4)
FORMAT(3X,13HERROR IGUAL A,3X,4(E8.2,3X))
E1(K)=X
E2(K)=Y(1)
V2M(K)=Y(2)
E3(K)=Y(3)
V3M(K)=Y(4)
ENE=3.-2.*DEXP(CA*(E1-X)*[1.-X])
ETA=DATAN(ENE*(Y(1)-X)*SOC)
BETA=DATAN(A*DCOS(ETA))
V2Z(K)=Y(2)*DCOS(ETA)*DCOS(BETA)
V2R(K)=Y(2)*DSIN(ETA)*DCOS(BETA)
VT=Y(2)*DSIN(BETA)
BETA2=ATAN(VT/V2Z(K))
ALFA2(K)=BETA2*57.2958
V2C=Y(2)**2
RICO=V2C
TIT=B+PEN*X
CORR=MIMC/(TIT*TMAG-0.165*V2C*MIMC)
M2(K)=SQRT(V2C*CORR)

```

LINE - EFN - SENTENCIA FUENTE - IFN(S) -

```

IF(M2(K).GT.1.15) IER=0
IF(IER.EQ.0) GO TO 56
BABI=(VT-Y(1)/LAM)/V2Z(K)
BETA2R=ATAN(BABI)
ALFA2R(K)=BETA2R*57.2958
FM2R(K)=M2(K)*COS(BETA2)/COS(BETA2R)
DE1=(RC*(Y(1)-X)*((3.*ENE-ENE**2-2.)*0.5*RC-(ENE-1.))+Y(3)-Y(1))*B
INE
ETA=ATAN(DE1*SOC2)
V2C=Y(4)**2
VT=(Y(1)*VT-FILAM)/Y(3)
VM=SQRT(V2C-VT**2)
V3Z(K)=VM*DCOS(ETA)
V3R(K)=VM*DSIN(ETA)
BETA2=ATAN(VT/V3Z(K))
ALFA3(K)=BETA2*57.2958
BABI=(VT-Y(3)/LAM)/V3Z(K)
BETA2R=ATAN(BABI)
ALFA3R(K)=BETA2R*57.2958
RT=TIT-0.33*M1MC*(0.5*V2C+FILAN2)/TMAG
CORR=M1MC/(TMAG*RT)
GR(K)=1.+0.5*(V2C-RICD)/FILAN2
M3(K)=SQRT(V2C*CORR)
WRITE(6,200)IER,K
FORMAT(5X,4HIER=,I2,3X,2HK=,I2)
LAN=LAN*RV
WRITE(6,99)EI,ALFA2M,D,M2M,SO,FI,LAN,RV,RV1
WRITE(6,100)
DO 103 K=1,M,2
WRITE(6,72)E1(K),E2(K),V2Z(K),V2R(K),ALFA2(K),ALFA2R(K),M2(K)
1,FM2R(K)
WRITE(6,101)
DO 104 K=1,M,2
WRITE(6,12)E1(K),E3(K),V3Z(K),V3R(K),ALFA3(K),ALFA3R(K),M3(K),GR(K)
1)
GO TO 32
FORMAT(10F6.0)
FORMAT(1H1,5X,10(F6.3,5X))
FORMAT(1H ,20X,6HR1/RE1,8X,6HR2/RE1,8X,6HV2Z/V1,4X,6HV2R/V1,5X,5HA
1LFA2,4X,6HALFA2R,6X,2HM2,5X,3HM2R,/)
FORMAT(1H ,20X,2(D10.4,4X),2(F6.3,4X),2(F6.2,4X),2(F4.2,4X))
FORMAT(1H1,20X,6HR1/RE1,8X,6HR3/RE1,8X,6HV3Z/V1,4X,6HV3R/V1,5X,5HA
1LFA3,4X,6HALFA3R,6X,2HM3,3X,10HGRAD.REAC.,/)
FORMAT(1H ,20X,2(D10.4,4X),2(F6.3,4X),2(F6.2,4X),F4.2,8X,F5.2)
FORMAT(1H1,5X,8HR1/RE1=,F4.2,3X,7HALFA2M=,F3.0,3X,6HDELTA=,F5.3,3
1X,4HM2M=,F4.2,3X,5HH/C1=,F4.2,3X,3HFI=,F4.2,3X,6HLANDA=,F4.2,3X,7H
2V2Z/V1=,F4.2,3X,7HV3Z/V1=,F4.2,/)
STOP
END

```

SUBPROGRAMA "A"

12/01,

PEPE - EFN - SENTENCIA FUENTE - IFN(S) -

```
DOUBLE PRECISION FUNCTION F(I,X,Y)
REAL M1MC
DOUBLE PRECISION X,Y(4),ENE,ETA,VTC,YC,V2C,T1T,CORR,MTC,M2C,MMC,M1
LC,DESV,TMACH,TD,FC,DG1,TDT,TDC,TDD1,TDD2,TDD,TEN,DESVI,DE1,DE2,RT,
LDG2,DE3 ,BETA,VMC,VZ,TN,VT,VM
COMMON EI,SOC,SOC2,CA,B,PEN,M1MC,COMB,COMBI,FILAN,FILANZ,TMAG,EM,R
LC,SQ2C ,A,FILAM,IER
GO TO (1,2,7,8),I
ENE=3.-2.*DEXP(CA*(EI-X)*(1.-X))
DESV=(Y(1)-X)*ENE
ETA=DATAN(DESV*SOC)
BETA=DATAN(A*DCOS(ETA))
VT=Y(2)*DSIN(BETA)
VTC=VT**2
VM=Y(2)*DCOS(BETA)
VMC=VM**2
V2C=Y(2)**2
T1T=B+PEN*X
CORR=M1MC/(T1T*TMAG-0.165*V2C*M1MC)
MTC=VTC*CORR
M2C=V2C*CORR
MMC=CORR*VMC
IF(MMC.GT.0.9D00) MMC=0.1D00
M1C=M1MC/T1T
TMACH=1.+0.165*M1C
TD=((1.+0.165*M2C)/TMACH)**3.030303
FC=TD*X/Y(1)
VZ=VM*DCOS(ETA)
F=FC/VZ
DG1=F
RETURN
TDT=0.5*PEN*(Y(2)-1./Y(2))/T1T
EN=ENE-1.
TDC=SOC*FC*DSIN(ETA)*(DCOS(ETA)**2)*EN*DCOS(BETA)
TDD1=(1.+MTC)*DESV/Y(1)-EN*(DSIN(ETA)**2)*ENE
TDD2=ENE*VZ
TDD=SCC*(TDD2-TDD1*FC)*DSIN(ETA)*DCOS(BETA)/(1.-MMC)
TN=-FC*DSIN(BETA)*A/Y(1)
F=TDC*TDD+TDT*TN
RETURN
TEN=(3.*ENE-ENE**2-2.)*0.5*RC-EN
DESVI=ENE*(Y(3)-Y(1))
DE1=RC*DESV*TEN+DESVI
DE2=RC*EN*DESV*(RC-ENE*(1.+0.5*RC*EN))+EN*DESVI
VTC=((Y(1)*VT-FILAM)/Y(3))**2
V2C=Y(4)**2
VMC=V2C-VTC
IF(VMC)3,3,4
F=1.D00
IER=0
RETURN
VM=DSQRT(VMC)
ETA=DATAN(DE1*SOC2)
VZ=VM*DCOS(ETA)
BETA=VM/Y(4)
```

PEPE - EFN - SENTENCIA FUENTE - IFN(S) -

```

RT=T1T-0.33*M1MC*(0.5*V2C+FILAN2)/TMAG
CORR=M1MC/(TMAG*RT)
MTC=VTC*CORR
MMC=CCRR*VMC
TD=(T1T/(TMACH*RT))**3.030303
FC=TD*X/Y(3)
F=FC/VZ
DG2=F
RETURN
3 DE3=ENE*RC*(DG1-1.)*TEN+ENE*(DG2-DG1)
TDT=(FILAN2+C.5*(V2C-1.))*PEN/(T1T*Y(4))
TDD1=(DCOS(ETA)*DSIN(ETA)*DE2*SQ2C-(1.+MTC)*DE1*SQC2/Y(3))*FC
TDD2=-DCOS(ETA)*SQC2*DE3*VM
TDD=(TDD1+TDD2)*DSIN(ETA)/(1.-MMC)*BETA
TDC=(DCOS(ETA)**3)*SQ2C*DE2*FC*BETA
TN=-FC*VTC/(Y(3)*VZ*Y(4))
F=TDC+TDD+TDT+TN
RETURN
END

```

PROGRAMA "B"

12/01

LINCOR - EFN - SENTENCIA FUENTE - IFN(S) -

```
REAL M2M,M2MC,LAN,M1MC,LAM,M2(101),M3(101)
DIMENSION VZ(101),VZR(101),ALFA2(101),V3Z(101),V3R(101),ALFA3(101),
ALFA3R(101),ALFA2R(101),SA(4),GR(101),FM2R(101)
DOUBLE PRECISION X,E1(101),E2(101),E3(101),V2M(101),V3M(101),AUM,H
L,H2,Y(4),YB(4),XB,YB1(4),R(4,4),F,ENE,ETA
COMMON EI,SOC,SOC2,CA,B,PEN,M1MC,COMB,COMBI,FILAN,FILAN2,TMAG,EM,R
LC,SOC2,IER
DATA S,T,U,W/4*0.0/
READ(5,29)EI,M2M,ALFA2M,D,SO,FI,LAN,RC,RV,RV1
IF(EI.GT.1.) GO TO 57
WRITE(6,95)EI,M2M,ALFA2M,D,SO,FI,LAN,RC,RV,RV1
IER=1
LAN=LAN/RV
BETA2M=ALFA2M*0.3141592/18.
A=TAN(BETA2M)
CA=250.
SPAN=1.-EI
SOC=SC/SPAN
SOC2=SOC/RC
R=1.-D*(1.+EI)/SPAN
EM=0.5*(1.+EI)
PEN=2.*D/SPAN
M2MC=M2M**2
M1MC=M2MC/(RV**2*(1.+A**2)*(1.+0.165*M2MC)-0.165*M2MC)
TMAG=1.+0.165*M1MC
COMB=RV*A
COMBI=RV*A*EM
FILAN=FI/LAN
FILAN2=FILAN/LAN
LAM=LAN*EM
SOC2=SOC2**2
M=1+IFIX(200.*(1.003-EI))
NA=(1+M)/2
X=EM
Y(1)=EM
Y(3)=EM
Y(2)=RV
Y(4)=RV1
DO 10 J=1,M
IF(J.LE.NA) K=NA+J-1
IF(J.GT.NA) K=2*NA-J
IF(J.EQ.1) GO TO 331
N=1
1 AUM=200*N
IF(J.GT.NA) AUM=-AUM
H=1.000/AUM
H2=H/2.000
IF(J.LE.NA) NI=K-1
IF(J.GT.NA) NI=K+1
X=E1(NI)
Y(1)=E2(NI)
Y(2)=V2M(NI)
Y(3)=E3(NI)
Y(4)=V3M(NI)
DO 173 L=1,N
```

LINCOR - EFN - SENTENCIA FUENTE - IFN(S) -

```

DO 5 I=1,4
R(I,1)=F(I,X,Y)
IF(IER.EQ.0) GO TO 56
YB(I)=Y(I)+H2*R(I,1)
XB=X+H2
X=X+H
DO 6 I=1,4
R(I,2)=F(I,XB,YB)
IF(IER.EQ.0) GO TO 56
YB1(I)=Y(I)+H2*R(I,2)
DO 7 I=1,4
R(I,3)=F(I,XB,YB1)
IF(IER.EQ.0) GO TO 56
YB(I)=Y(I)+H*R(I,3)
DO 8 I=1,4
R(I,4)=F(I,X,YB)
IF(IER.EQ.0) GO TO 56
DO 9 I=1,4
Y(I)=Y(I)+(H/6.0)*(R(I,1)+2.0*(R(I,2)+R(I,3))+R(I,4))
) CONTINUE
SA(1)=ABS(S-Y(1))
SA(2)=ABS(T-Y(2))
SA(3)=ABS(U-Y(3))
SA(4)=ABS(W-Y(4))
IF((ABS(S-Y(1)).GT.1.E-6).OR.(ABS(T-Y(2)).GT.1.E-6)) GO TO 330
IF((ABS(U-Y(3)).LT.1.E-6).AND.(ABS(W-Y(4)).LT.1.E-6)) GO TO 331
) S=Y(1)
T=Y(2)
U=Y(3)
W=Y(4)
N=2*N
IF(N.GT.4) GO TO 70
GO TO 1
) WRITE(6,71) N,K
) FORMAT(1H ,25X,2HN=,I2,3X,2HK=,I3)
WRITE(6,73)(SA(I),I=1,4)
) FORMAT(3X,13HERROR IGUAL A,3X,4(E8.2,3X))
) E1(K)=X
E2(K)=Y(1)
V2M(K)=Y(2)
E3(K)=Y(3)
V3M(K)=Y(4)
ENE=3.-2.*DEXP(CA*(E1-X)*(1.-X))
ETA=DATAN(ENE*(Y(1)-X)*SOC)
V2Z(K)=Y(2)*DCOS(ETA)
V2R(K)=Y(2)*DSIN(ETA)
VT=COMB1/Y(1)
BETA2=ATAN(VT/V2Z(K))
ALFA2(K)=BETA2*57.2958
V2C=Y(2)**2+VT**2
RICO=V2C
TIT=B+PEN*X
CORR=M1MC/(TIT*TMAG-0.165*V2C*M1MC)
) #2(K)=SQRT(V2C+CORR)
IF(M2(K).GT.1.15) IER=0
IF(IER.EQ.0) GO TO 56

```

LINCOR - EFN - SENTENCIA FUENTE - IFN(S) -

```

BABI=(VT-Y(1)/LAM)/V2Z(K)
BETA2R=ATAN(BABI)
ALFA2R(K)=BETA2R*57.2958
FM2R(K)=M2(K)*COS(BETA2)/COS(BETA2R)
DEL=(RC*(Y(1)-X)*((13.*ENE-ENE**2-2.)*0.5*RC-(ENE-1.))+Y(3)-Y(1))*E
1NE
ETA=ATAN(DEL*SOC2)
V3Z(K)=Y(4)*DCOS(ETA)
V3R(K)=Y(4)*DSIN(ETA)
VT=EM*(COMB-FILAN)/Y(3)
BETA2=ATAN(VT/V3Z(K))
ALFA3(K)=BETA2*57.2958
BABI=(VT-Y(3)/LAM)/V3Z(K)
BETA2R=ATAN(BABI)
ALFA3R(K)=BETA2R*57.2958
V2C=Y(4)**2+VT**2
RT=TIT-0.33*MIMC*(0.5*V2C+FILAN2)/TMAG
CORR=MIMC/(TMAG*RT)
GR(K)=1.+0.5*(V2C-RICO)/FILAN2
M3(K)=SQRT(V2C*CORR)
WRITE(6,200)IER,K
FORMAT(5X,4HIER=,I2,3X,2HK=,I2)
LAN=LAN*RV
WRITE(6,99)EI,ALFA2M,D,M2M,SO,FI,LAN,RV,RV1
WRITE(6,100)
DO 103 K=1,M,2
WRITE(6,72)E1(K),E2(K),V2Z(K),V2R(K),ALFA2(K),ALFA2R(K),M2(K)
1,FM2R(K)
WRITE(6,101)
DO 104 K=1,M,2
WRITE(6,12)E1(K),E3(K),V3Z(K),V3R(K),ALFA3(K),ALFA3R(K),M3(K),GR(K)
1)
GO TO 32
FORMAT(10F6.0)
FORMAT(1H1,5X,10(F6.3,5X))
FORMAT(1H ,20X,6HR1/RE1,8X,6HR2/RE1,8X,6HV2Z/V1,4X,6HV2R/V1,5X,5HA
1LFA2,4X,6HALFA2R,6X,2HM2,5X,3HM2R,/)
FORMAT(1H1,20X,6HR1/RE1,8X,6HR3/RE1,8X,6HV3Z/V1,4X,6HV3R/V1,5X,5HA
1LFA3,4X,6HALFA3R,6X,2HM3,3X,10HGRAD.REAC.,/)
FORMAT(1H ,2CX,2(D10.4,4X),2(F6.3,4X),2(F6.2,4X),2(F4.2,4X))
FORMAT(1H ,20X,2(D10.4,4X),2(F6.3,4X),2(F6.2,4X),F4.2,8X,F5.2)
FORMAT(1H1,5X,8HR11/RE1=,F4.2,3X,7HALFA2M=,F3.0,3X,6HDELTA=,F5.3,3
1X,4HM2M=,F4.2,3X,5HH/C1=,F4.2,3X,3HFI=,F4.2,3X,6HLANDA=,F4.2,3X,7H
2V2Z/V1=,F4.2,3X,7HV3Z/V1=,F4.2,/)
STOP
END

```

SUBPROGRAMA "A"

12/0

PEPE - EFN - SENTENCIA FUENTE - IFN(S) -

```
DOUBLE PRECISION FUNCTION F(I,X,Y)
REAL M1MC
DOUBLE PRECISION X,Y(4),ENE,ETA,VTC,YC,V2C,T1T,CORR,MTC,M2C,MMC,M1
IC,DESV,TMACH,TD,FC,DG1,TDT,TDC,TDD1,TDD2,TDD,TEN,DESVI,DE1,DE2,RT,
IDG2,DE3
COMMON EI,SOC,SOC2,CA,B,PEN,M1MC,COMB,COMBI,FILAN,FILAN2,TMAG,EM,R
IC,SOC2,IER
GO TO (1,2,7,8),I
VTC=(COMBI/Y(1))**2
YC=Y(2)**2
V2C=VTC+YC
T1T=B+PEN*X
CORR=M1MC/(T1T*TMAG-0.165*V2C*M1MC)
MTC=VTC*CORR
M2C=V2C*CORR
MMC=CORR*YC
IF(MMC.GT.0.9000) MMC=0.1000
M1C=M1MC/T1T
ENE=3.-2.*DEXP(CA*(EI-X)*(1.-X))
DESV=(Y(1)-X)*ENE
ETA=DATAN(DESV*SOC)
TMACH=1.+0.165*M1C
TD=((1.+0.165*M2C)/TMACH)**3.030303
FC=TD*X/Y(1)
F=FC/(Y(2)*DCOS(ETA))
DG1=F
RETURN
2 TDT=0.5*PEN*(Y(2)+(VTC-1.)/Y(2))/T1T
EN=ENE-1.
TDC=SOC*FC*DSIN(ETA)*(DCOS(ETA)**2)*EN
TDD1=(1.+MTC)*DESV/Y(1)-EN*(DSIN(ETA)**2)*ENE
TDD2=ENE*DSIN(ETA)*DCOS(ETA)*Y(2)
TDD=SOC*(TDD2-TDD1*FC*DSIN(ETA))/(1.-MMC)
F=TDC*TDD+TDT
RETURN
7 TEN=(3.*ENE-ENE**2-2.)*0.5*RC-EN
DESVI=ENE*(Y(3)-Y(1))
DE1=RC*DESV*TEN+DESVI
DE2=RC*EN*DESV*(RC-ENE*(1.+0.5*RC*EN))+EN*DESVI
VTC=(EM*(COMB-FILAN)/Y(3))**2
YC=Y(4)**2
V2C=VTC+YC
RT=T1T-0.33*M1MC*(0.5*V2C+FILAN2)/TMAG
IF(RT)3,3,4
3 IER=0
F=1.000
RETURN
CORR=M1MC/(TMAG*RT)
MTC=VTC*CORR
MMC=CORR*YC
TD=(T1T/(TMACH*RT))**3.030303
ETA=DATAN(DE1*SOC2)
FC=TD*X/Y(3)
F=FC/(Y(4)*DCOS(ETA))
DG2=F
```

PEPE - EFN - SENTENCIA FUENTE - IFN(S) -

```
RETURN
8 DE3=ENE*RC*(DG1-1.)*TEN+ENE*(DG2-DG1)
  TDT=(FILAN2+0.5*(V2C-1.))*PEN/(T1T*Y(4))
  TDD1=(DCOS(ETA)*DSIN(ETA)*DE2*SO2C-(1.+MTC)*DE1*SOC2/Y(3))*FC
  TDD2=-DCOS(ETA)*SOC2*DE3*Y(4)
  TDD=(TDD1+TDD2)*DSIN(ETA)/(1.-MMC)
  TDC=(DCOS(ETA)**3)*SO2C*DE2*FC
  F=TDC+TDD+TDT
RETURN
END
```

PROGRAMA "C"

01/1

LINA - EFN - SENTENCIA FUENTE - IFN(S) -

```
REAL M2M,M2MC,LAN,M1MC,LAM,M2(101),M3(101),M1M,LANP
DIMENSION V2Z(101),V2R(101),ALFA2(101),V3Z(101),V3R(101),ALFA3(101
),ALFA3R(101),ALFA2R(101),SA(4),GR(101),FM2R(101),ERR(2)
DOUBLE PRECISION X,E1(101),E2(101),E3(101),V2M(101),V3M(101),AUM,H
1,H2,Y(4),YB(4),XB,YB1(4),R(4,4),F,ENE,ETA,BETA
COMMON EI,SOC,CA,B,PEN,M1MC,TMAG,EM,IER
DATA S,T,U,W/4*0.0/
READ(5,29) EI,EI2,EE2,D,M1M,SO,LANP
IF(EI.GT.1.) GO TO 57
CA=250.
SPAN=1.-EI
SOC=SC/SPAN
B=1.-D*(1.+EI)/SPAN
EM=0.5*(1.+EI)
PEN=2.*D/SPAN
A=TAN(65./57.2958)
RV=1.175
M1MC=M1M**2
M2MC=M1MC
P1MC=P2MC/(RV**2*(1.+A**2)*(1.+0.165*M2MC)-0.165*M2MC)
M1M=SQRT(M1MC)
TMAG=1.+0.165*M1MC
LAN=LANP
LAM=LAN*EM
M=1+IFIX(200.*(1.003-EI))
V2I=2.24
IP=1
IER=1
X=EI
Y(1)=EI2
Y(2)=V2I
DO 10 K=1,M
IF(K.EQ.1) GO TO 331
N=1
AUM=200*N
H=1.000/AUM
H2=H/2.000
NI=K-1
X=E1(NI)
Y(1)=E2(NI)
Y(2)=V2M(NI)
DO 173 L=1,N
DO 5 I=1,2
R(1,1)=F(I,X,Y)
IF(IER.EQ.0) GO TO 56
YB(I)=Y(I)+H2*R(1,1)
XB=X+H2
X=X+H
DO 6 I=1,2
R(1,2)=F(I,XB,YB)
IF(IER.EQ.0) GO TO 56
YB1(I)=Y(I)+H2*R(1,2)
DO 7 I=1,2
R(1,3)=F(I,XB,YB1)
IF(IER.EQ.0) GO TO 56
```

LINA - EFN - SENTENCIA FUENTE - IFN(S) -

```

YB(I)=Y(I)+H*R(I,3)
DO 8 I=1,2
IF(IER.EQ.0) GO TO 56
R(I,4)=F(I,X,YD)
DO 9 I=1,2
Y(I)=Y(I)+(H/6.0)*(R(I,1)+2.0*(R(I,2)+R(I,3))+R(I,4))
CONTINUE
SA(1)=ABS(S-Y(1))
SA(2)=ABS(T-Y(2))
IF((SA(1).LT.1.E-6).AND.(SA(2).LT.1.E-6)) GO TO 331
S=Y(1)
T=Y(2)
N=2*N
IF(N.GT.4) GO TO 70
GO TO 1
WRITE(6,71) N,K
FORMAT(1H ,25X,2HN=,I2,3X,2HK=,I3)
WRITE(6,73)(SA(I),I=1,2)
FORMAT(3X,13HERROR IGUAL A,3X,4(E8.2,3X))
E1(K)=X
E2(K)=Y(1)
V2M(K)=Y(2)
ENE=3.-2.*DEXP(CA*(E1-X)*(1.-X))
ETA=DATAN(ENE*(Y(1)-X)*SOC)
BETA2=65./57.2958
A=TAN(BETA2)
BETA=DATAN(A*DCOS(ETA))
V2Z(K)=Y(2)*DCOS(ETA)*DCOS(BETA)
V2R(K)=Y(2)*DSIN(ETA)*DCOS(BETA)
VT=Y(2)*DSIN(BETA)
ALFA2(K)=BETA2*57.2958
V2C=Y(2)**2
RICO=V2C
TIT=B+PEN*X
CORR=MIMC/(TIT+TMAG-0.165*V2C*MIMC)
M2(K)=SQRT(V2C*CORR)
IF(M2(K).GT.1.15) IER=0
IF(IER.EQ.0) GO TO 56
BABI=(VT-Y(1)/LAM)/V2Z(K)
BETA2R=ATAN(BABI)
ALFA2R(K)=BETA2R*57.2958
FM2R(K)=M2(K)*COS(BETA2)/COS(BETA2R)
CONTINUE
WRITE(6,200) IER,K
FORMAT(5X,4HIER=,I2,3X,2HK=,I2)
WRITE(6,95) E1,EI2,EE2,D,MIM,SO,LAMP
FORMAT(1H1,15X,7(F7.4,5X),/)
WRITE(6,100)
DO 103 K=1,M,2
WRITE(6,72)E1(K),E2(K),V2Z(K),V2R(K),ALFA2(K),ALFA2R(K),M2(K)
1,FM2R(K)
ERR(IP)=E2(K)-EE2
IF(ABS(ERR(IP)).LT.1.E-3) GO TO 57
IF(IP.EQ.2) GO TO 87
V2I=V2I+0.01
IP=IP+1

```

LINA - EFN - SENTENCIA FUENTE - IFN(S) -

GO TO 90

IP=1

DEREZ=(ERR(2)-ERR(1))*100.

VZI=VZI-ERR(2)/DEREZ

GO TO 90

FORMAT(1H ; 20X, 6HR1/RE1, 8X, 6HR2/RE1, 8X, 6HV2Z/V1, 4X, 6HV2R/V1, 5X, 5I
1LFAZ, 4X, 6HALFAZR, 6X, 2HM2, 5X, 3HMZR, /)

FORMAT(1H ; 20X, 2(D10.4, 4X), 2(F6.3, 4X), 2(F6.2, 4X), 2(F4.2, 4X))

FORMAT(7F6.0)

STOP

END

SUBPROGRAMA "C"

01/19/

PEPE - EFN - SENTENCIA FUENTE - IFN(S) -

```
DOUBLE PRECISION FUNCTION F(I,X,Y)
REAL M1MC
DOUBLE PRECISION X,Y(4),ENE,ETA,VTC,YC,V2C,T1T,CORR,MTC,M2C,MMC,M1
1C,DESV, TMACH,TD,FC,DG1,TD1, TDC, TDD1, TDD2, TDD, TEN, DESVI, DE1, DE2, RT,
1DG2, DE3 , BETA,VMC,VZ,TN,VT,VM
COMMON EI,SOC,CA,B,PEN,M1MC, TMAG,EM, IER
GO TO(1,2),I
ENE=3.-2.*DEXP(CA*(EI-X)*(1.-X))
DESV=(Y(1)-X)*ENE
ETA=DATAN(DESV*SOC)
BETA2=65./57.2958
A=TAN(BETA2)
BETA=DATAN(A*DCOS(ETA))
VT=Y(2)*DSIN(BETA)
VTC=VT**2
VM=Y(2)*DCOS(BETA)
VMC=VM**2
V2C=Y(2)**2
T1T=B+PEN*X
CORR=M1MC/(T1T*TMAG-0.165*V2C*M1MC)
MTC=VTC*CORR
M2C=V2C*CORR
MMC=CORR*VMC
IF((MMC.GT.0.9DC0).OR.(CORR.LT.0.D00)) IER=0
IF(IER)3,3,4
F=1.D00
RETURN
M1C=M1MC/T1T
TMACH=1.+0.165*M1C
TD=((1.+0.165*M2C)/TMACH)**3.030303
FC=TD*X/Y(1)
VZ=VM*DCOS(ETA)
F=FC/VZ
RETURN
TDT=0.5*PEN*(Y(2)-1./Y(2))/T1T
EN=ENE-1.
TDC=SCC*FC*DSIN(ETA)*(DCOS(ETA)**2)*EN*DCOS(BETA)
TDD1=(1.+MTC)*DESV/Y(1)-EN*(DSIN(ETA)**2)*ENE
TDD2=ENE*VZ
TDD=SCC*(TDD2-TDD1*FC)*DSIN(ETA)*DCOS(BETA)/(1.-MMC)
TN=-FC*DSIN(BETA)*A/Y(1)
F=TDC+TDD+TDT+TN
RETURN
END
```

LISTA DE REFERENCIAS

- (1) PIRTLE, J.C. "GE4 Supersonic Transport Engine Development Progress and Status" SAE paper 690373, April 1.969.
- (2) TARIFA C.S. and BOLLAIN,A. "Design of Gas Turbine Blades for Automotive Application" I.A. Congress of F.I.S.I.T.A. (Tokio) Mayo 1.964.
- (3) BARNES, J.F. and FRAY, D.E. "Some Aspects of Research at the N.G.T.E. on Internal air cooled Turbine Blades" Proc. I.M.E., 178, 1.963.
- (4) BROWN, T.W.F. "High Temperature Turbine Machinery for Marine Propulsion" Proc. IME, 168 (1.954).
- (5) MORLOCK J.H. "Axial Flow Turbines" Butterworths, 1.966
- (6) SMITH L.H. "The Radial Equilibrium Equation of Turbomachinery" Trans.ASME, ser. A, vol 88, 1.966 - pp-1-12.
- (7) NOVAK, A.R. "Streamline Curvature Computing Procedures - for Fluid-Flow Problems" Trans.ASME, Oct. 1.967, pp 478.
- (8) PEREZ DEL NOTARIO, P. "Bombas Turbinas y compresores" Apunte E.T.S.I. Aeronauticos.

- (9) STANITZ, J.D. "Design of Two-Dimensional Channels With Prescribed Velocity Distributions Along the Channel walls" Part 1 - "Relaxation solutions" Naca Tech. Note 2593 (1.952)
- (10) WU, C.H., BROWN, C.A. and PRIAN "An approximate Method of Determining the subsonic Flow in an Arbitrary Stream Filament of Revolution cut by Arbitrary Turbomachine Blades" Naca TN. 2702 June 1.952.
- (11) AINLEY, D.G. and MATHIESON, G.C.R. "A method of Performance estimation for Axial Flow Turbines" A.R.C., R.M 2974 (1.957)
- (12) DUNAVANT, J.C. and ERWIN, J.R. "Investigation of a Related series of turbines Blade Profiles in Cascades, Naca, T.N 3802 (1.956).
- (13) BARNES J.F. and DUNHAM, J. "Aerodynamic and Thermal Considerations in Designing Axial Flow Turbine Blades" Proceed. I.M.E, vol 183, April 1.969 pp-11
- (14) SMITH, S.F. "A Simple Correlation of Turbine Efficiency" J.R. Aero.Soc. 1.965, vol 69, N° 655.

- (15) DORMAN, T.E., WELNA, H. "The Application of controlled-vortex aerodynamics to Advanced Axial flow - Turbines" Trans. ASME July 68, pp 245.
- (16) The COLLEGE OF AERONAUTICS "Steady State Heat Transfer in root Cooled Blade" Depart. of Aircraft Prop. Cranfield. 1.969.
- (17) SMITH, L.H. "A Practical Solution of a Three-Dimensional Problem of axial flow Turbomachinery" -- Trans. ASME, 75, 1.953, pp 789.
- (18) RANNIE "An Approximate method for Calculating Three Dimensional flow in axial Turbomachines" - J. of. Aero. Sci. vol 23, 1.956, pp 543.
- (19) JANSEN, W. and MOFFAT W.C. "The off Design Analysis of -- Axial-Flow Compressors" Trans. ASME ser. A, Oct. 1.967, pp 453.
- (20) ROBERTS M.S. AND SHIPMAN, J. "Two-point Boundary value -- Problems: Shooting Methods" American Elsevier, 1.972.
- (21) FOX, L. "Numerical solution of Ordinary and Partial Differential Equations" Pergamon Press, 1.962.
- (22) FOX, L. and MAYERS, D.F. "Computing methods for Scientists and Engineers" Oxford University Press, - 1.968.

- (23) CRAIG, H.R.M. AND COX, H.J. "Performance Estimation of Axial-flow Turbines" *Proced. of I.M.E.*
- (24) SMITH L.H. "Secondary flow in Axial-flow Turbomachinery" *Trans. ASME*, Oct. 1.955 pp -- 1.066 vol. 185, 1.970-71, pp 407.
- (25) SMITH, J.W. "Applied Numerical Methods for Digital Computation with Fortran" *Int. Text-Book Company*, 1.967.
- (26) BRIONES F. "Cálculo Numérico" *C.C.U.M.*, 1.970.
- (27) SMITH L.H. "Sweep and Dihedral Effects in Axial--flow Turbomachinery" *Trans. ASME ser. D* vol. 85, 1.963, pp-401-416.